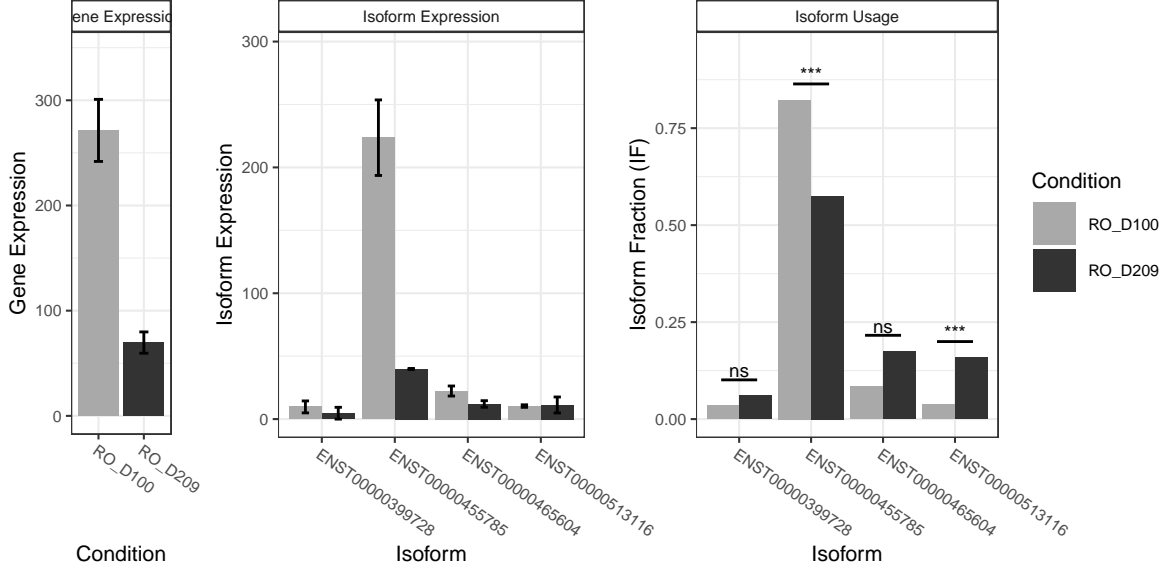
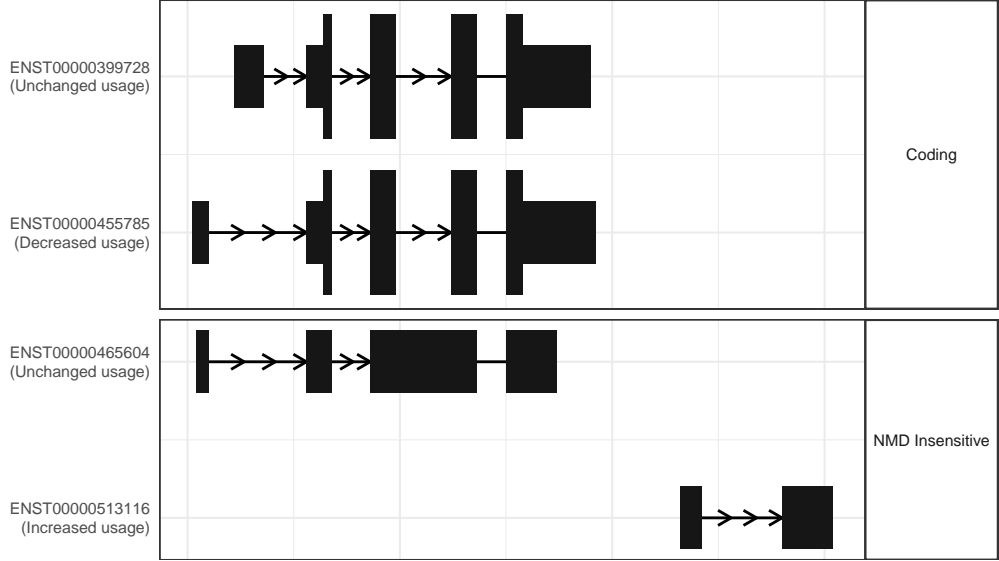
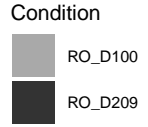
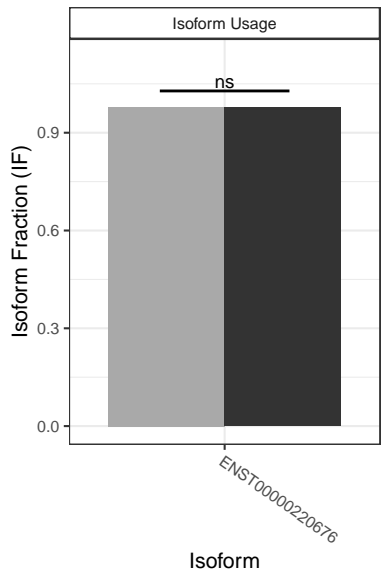
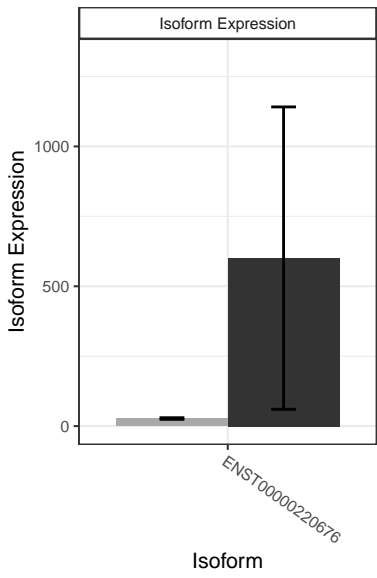
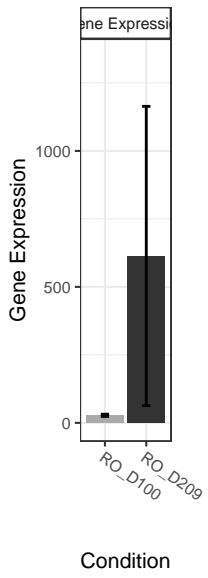
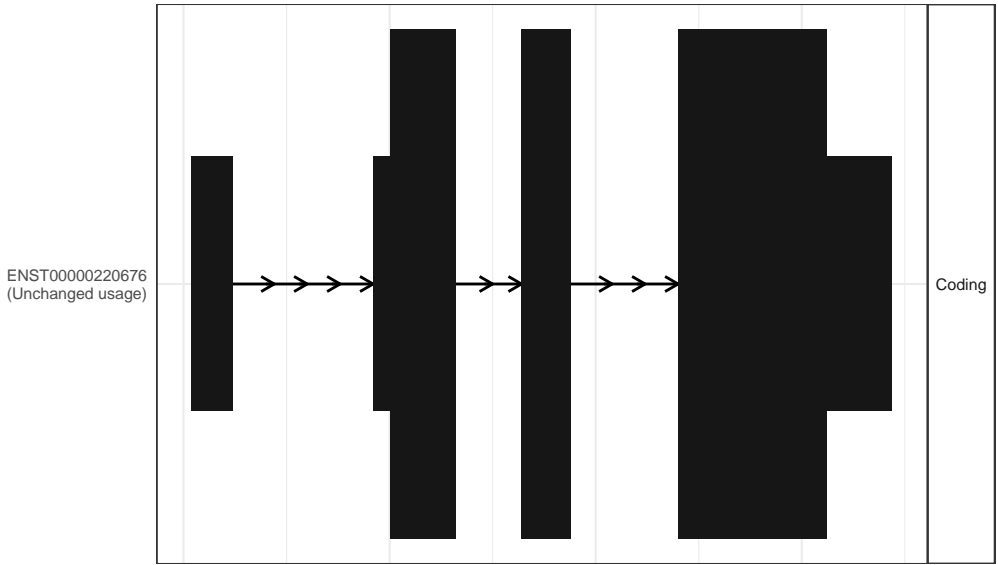


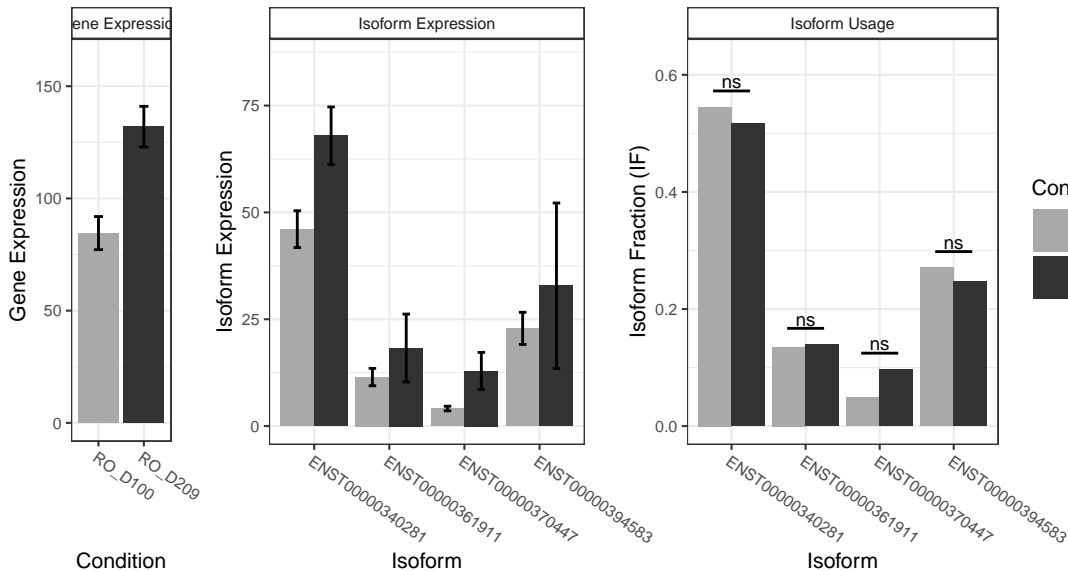
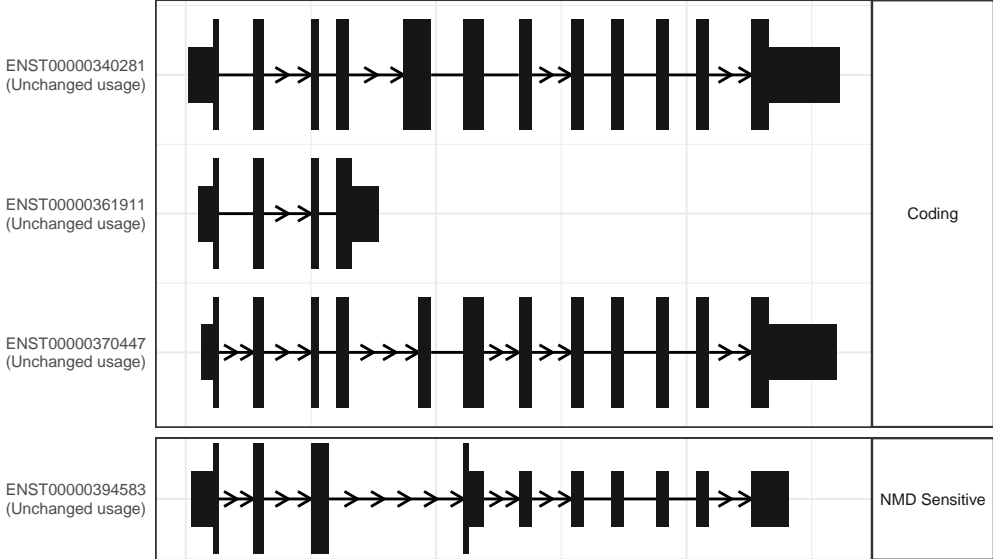
The isoform switch in STMN1 (RO_D100 vs RO_D209)



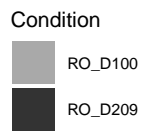
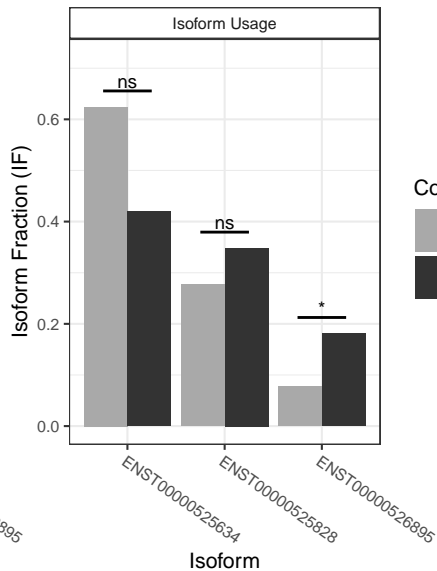
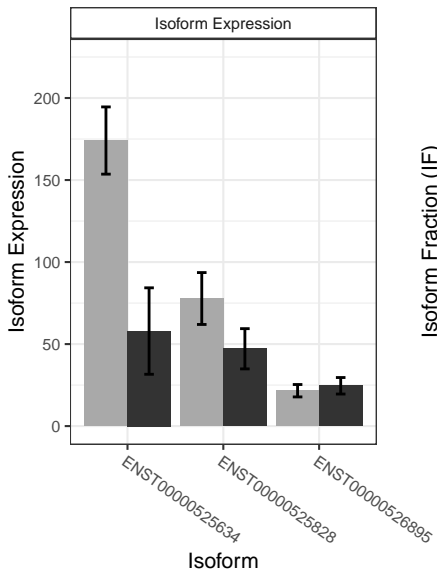
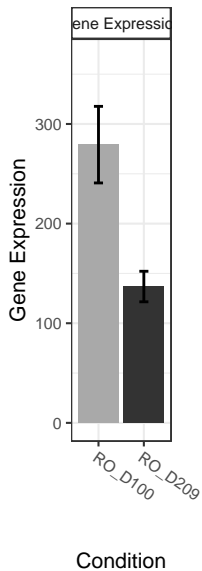
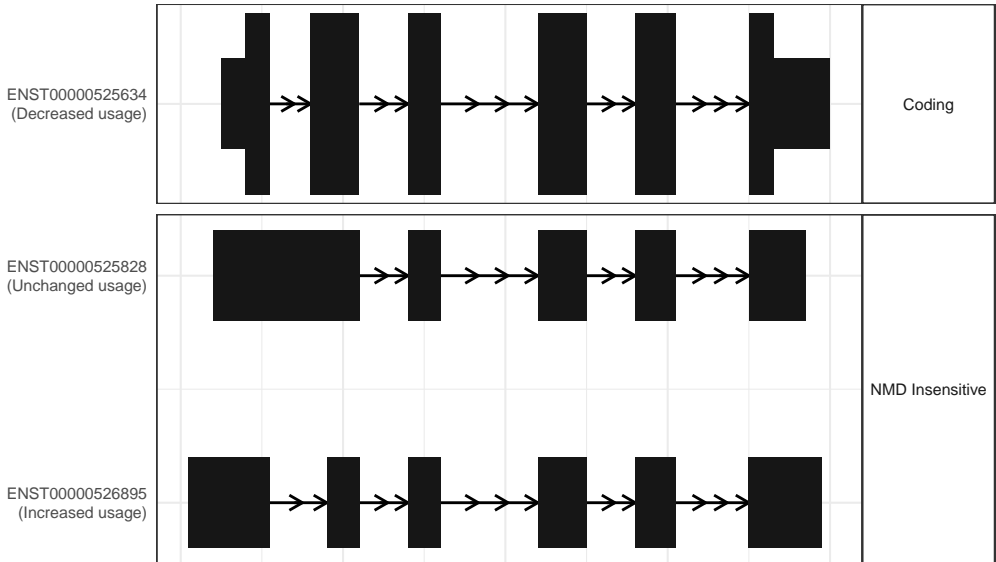
The isoform switch in RP1 (RO_D100 vs RO_D209)



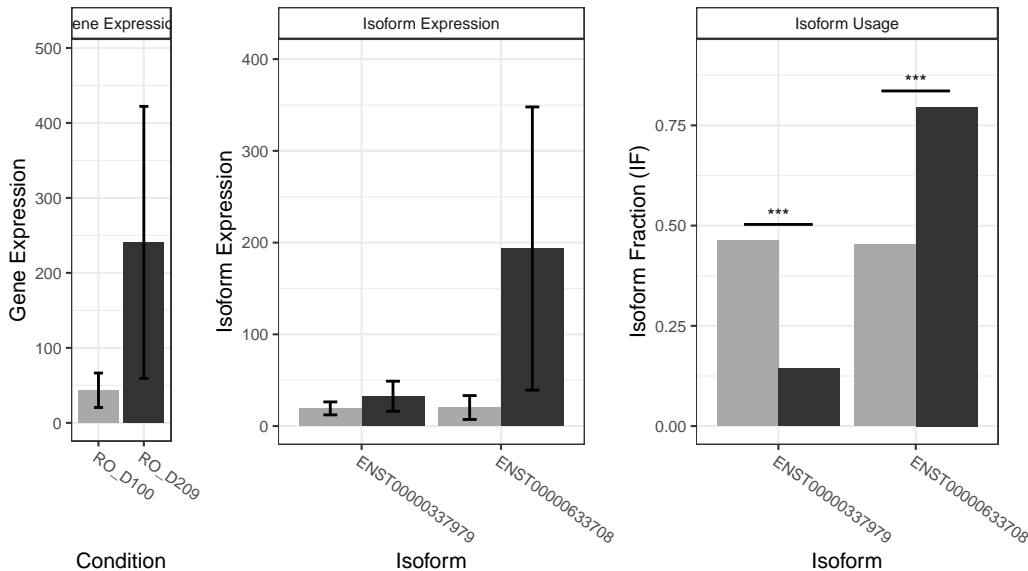
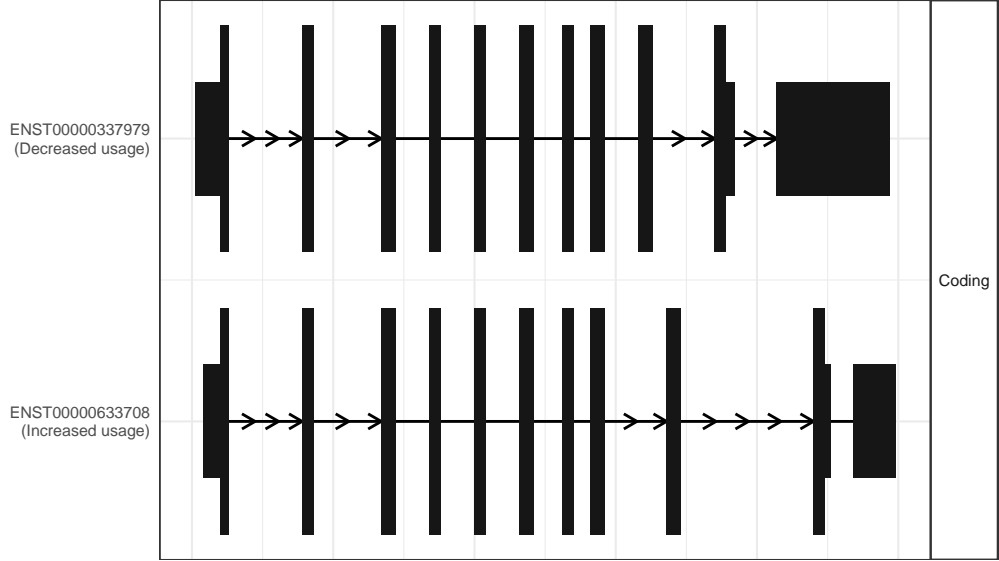
The isoform switch in ZNF326 (RO_D100 vs RO_D209)



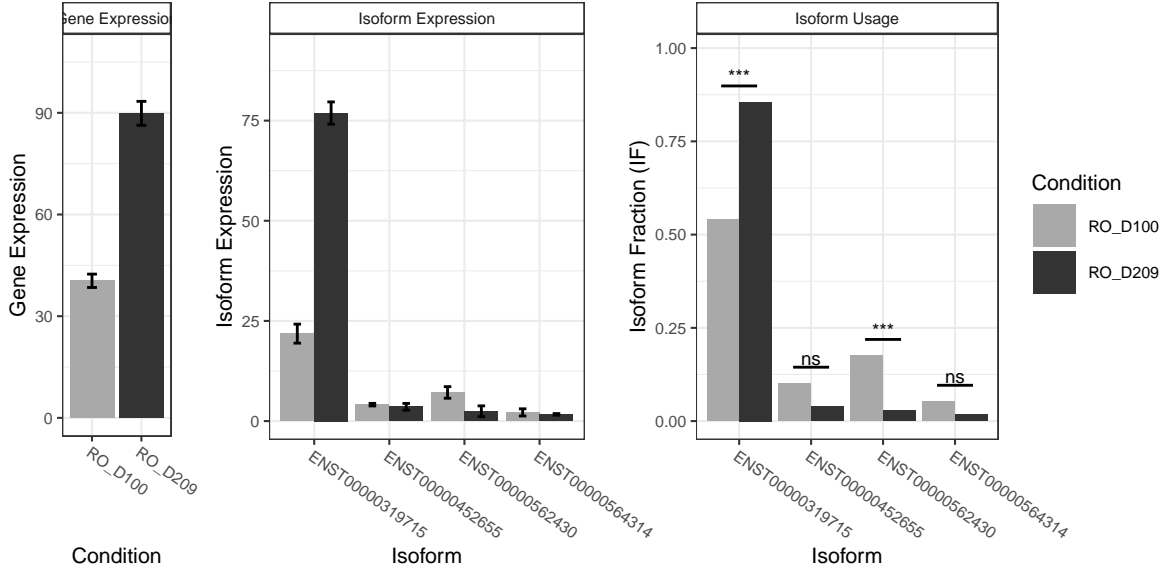
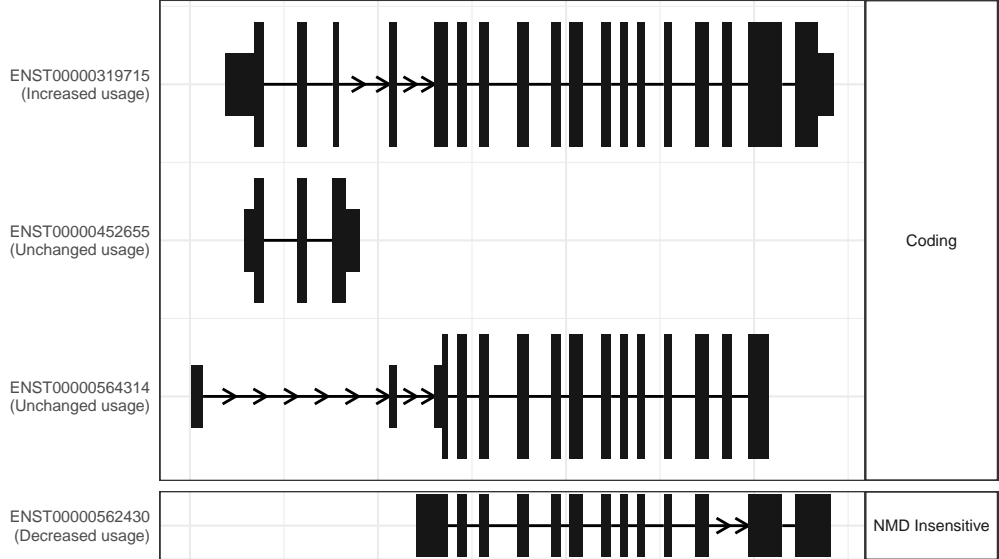
The isoform switch in RPS13 (RO_D100 vs RO_D209)



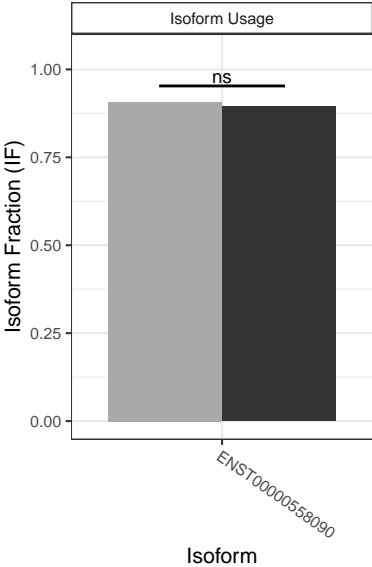
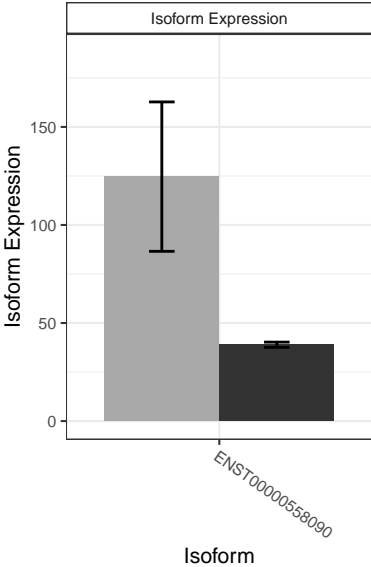
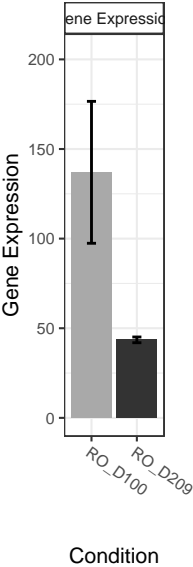
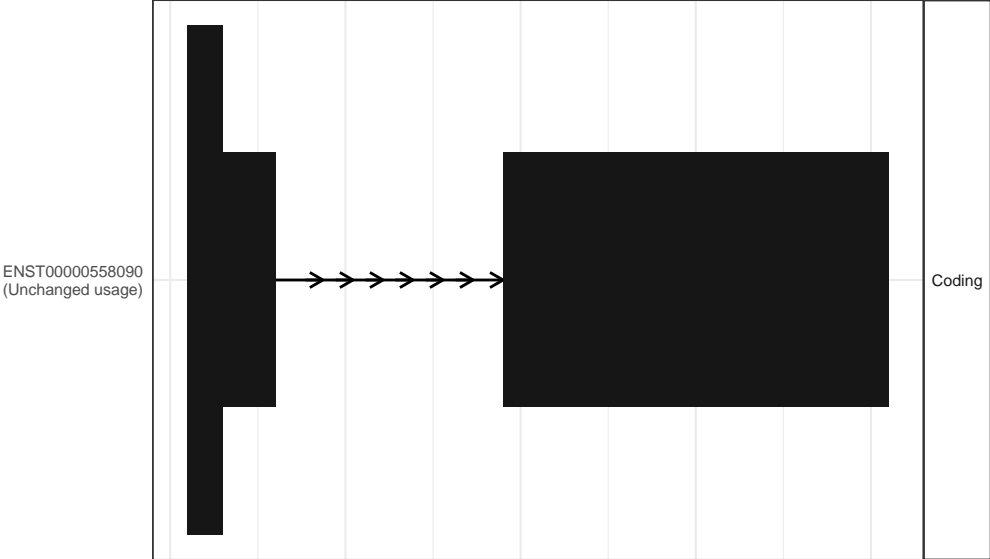
The isoform switch in STX3 (RO_D100 vs RO_D209)



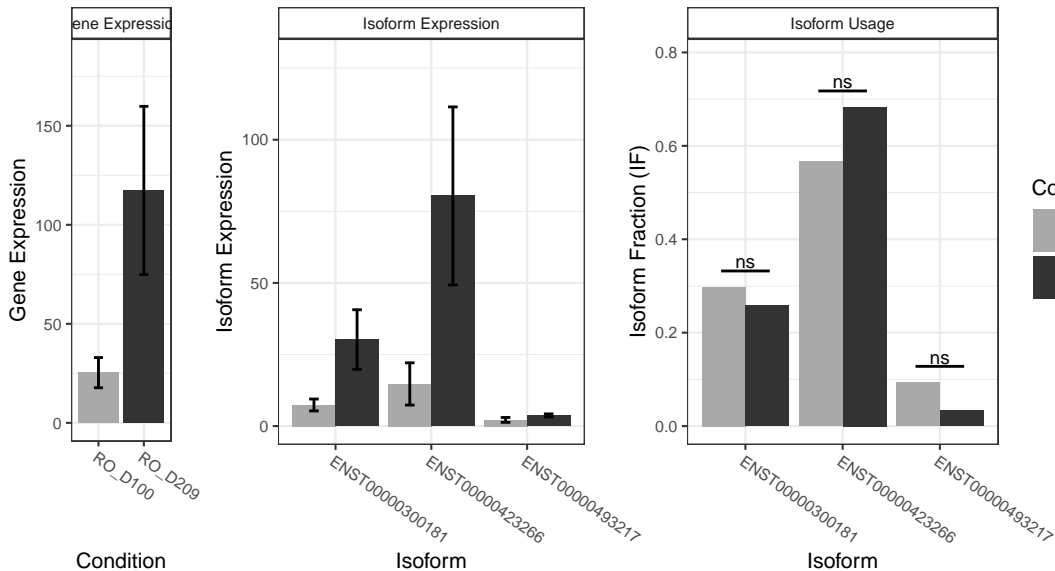
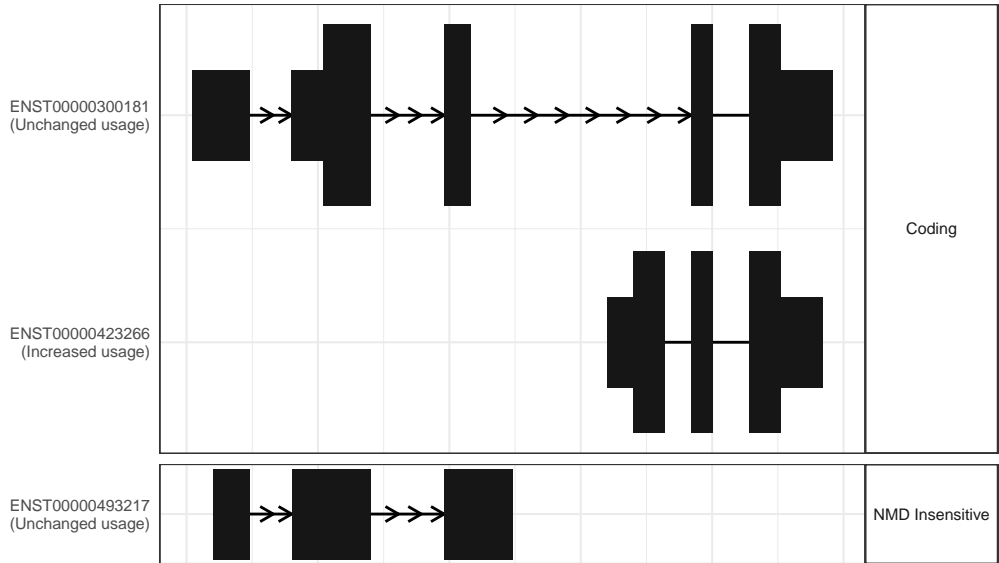
The isoform switch in RBBP6 (RO_D100 vs RO_D209)



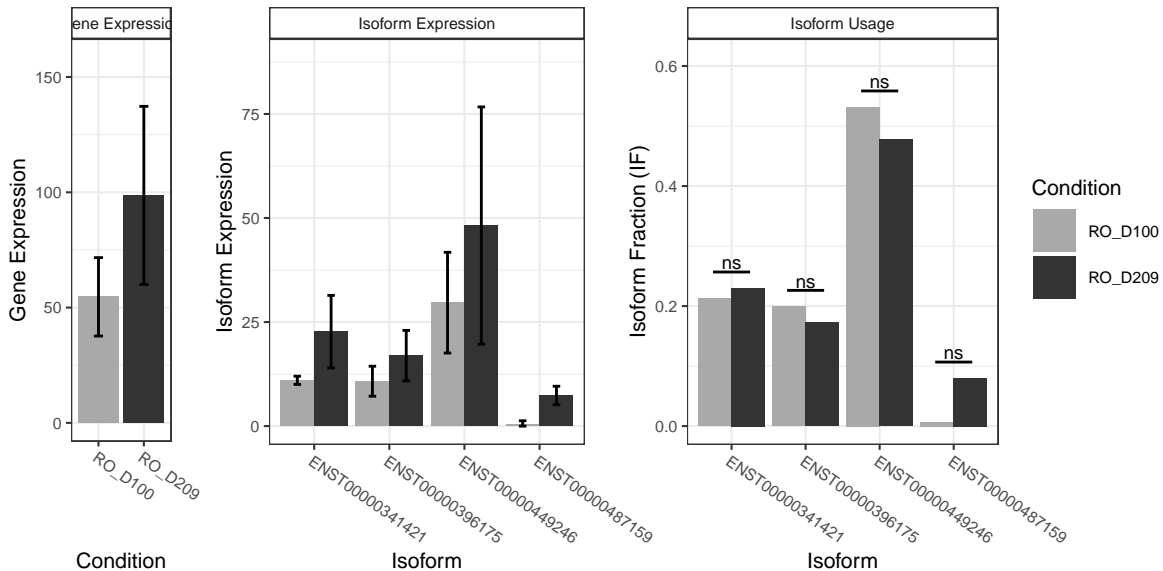
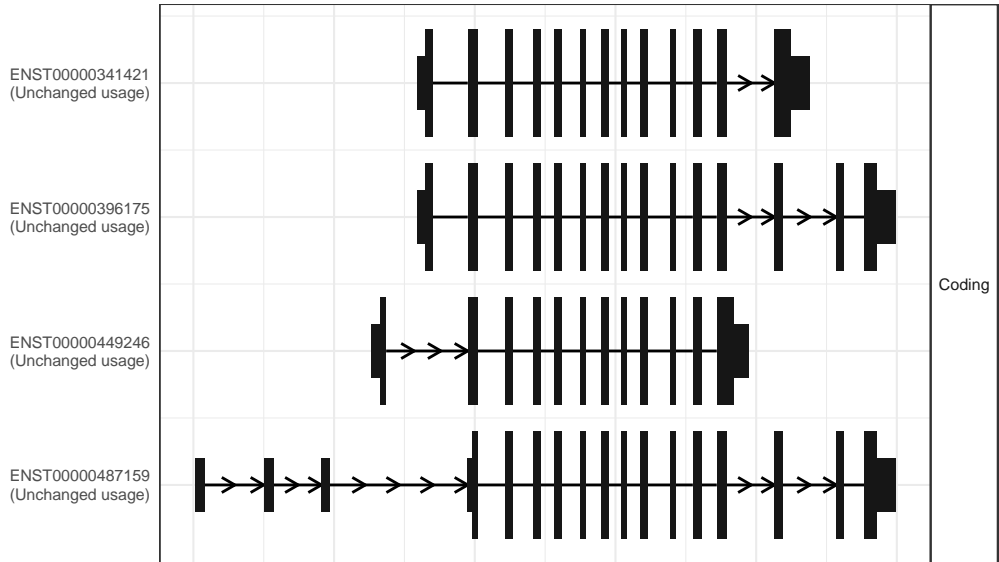
The isoform switch in HOMER2 (RO_D100 vs RO_D209)



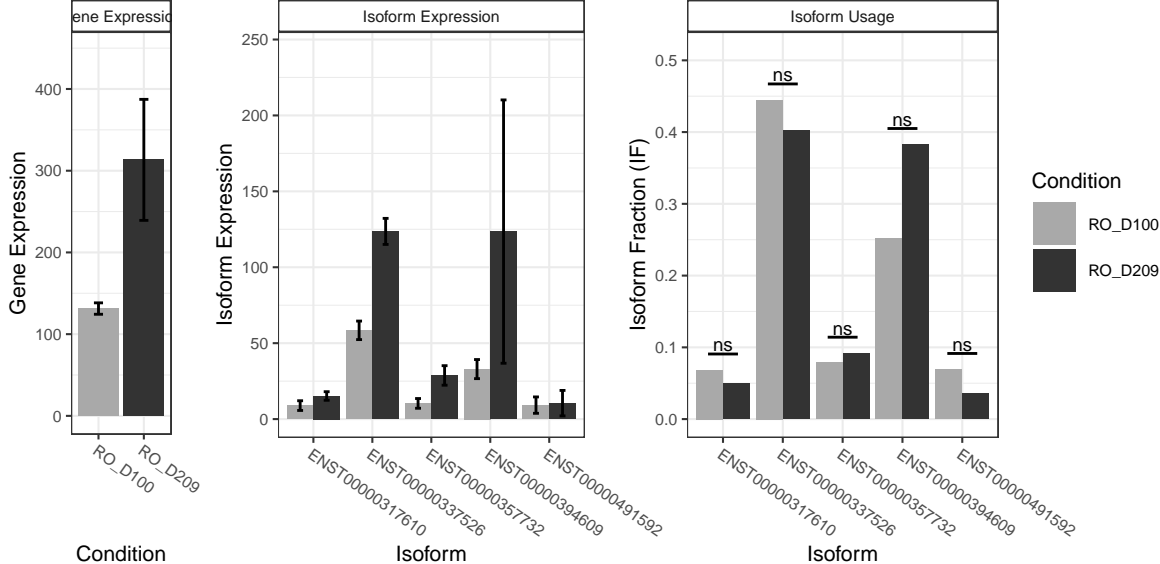
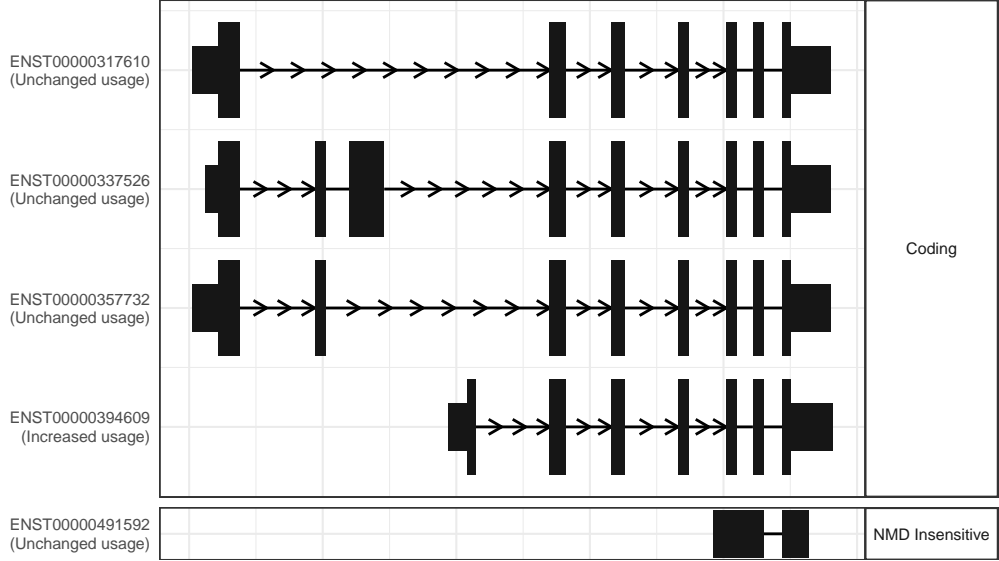
The isoform switch in TSC22D4 (RO_D100 vs RO_D209)



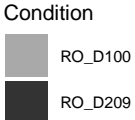
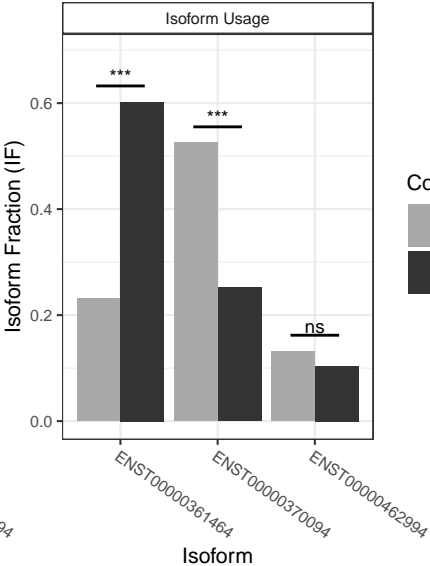
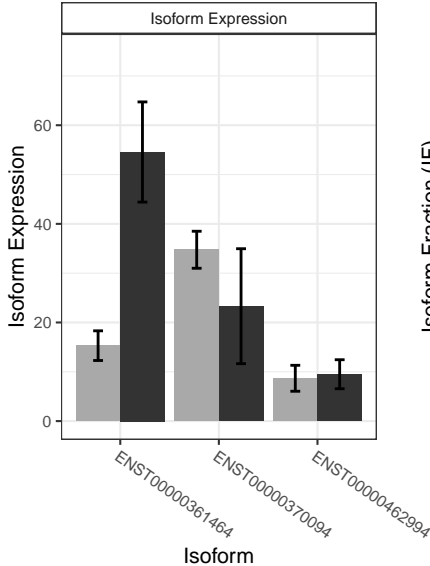
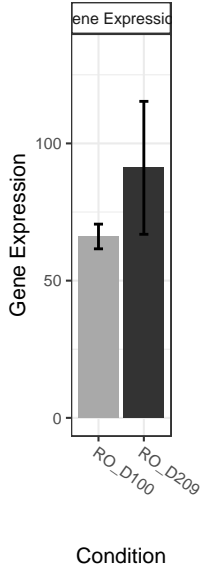
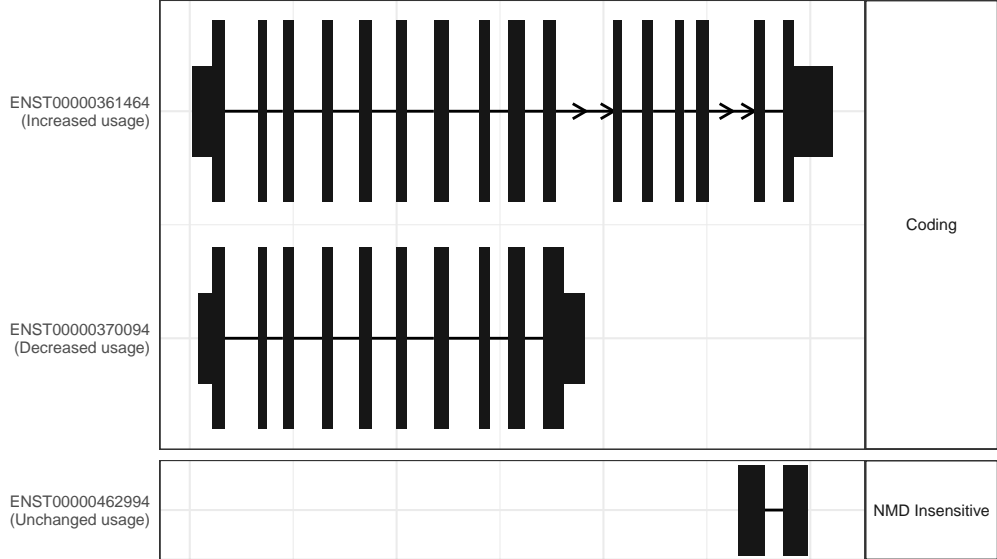
The isoform switch in TRAK1 (RO_D100 vs RO_D209)



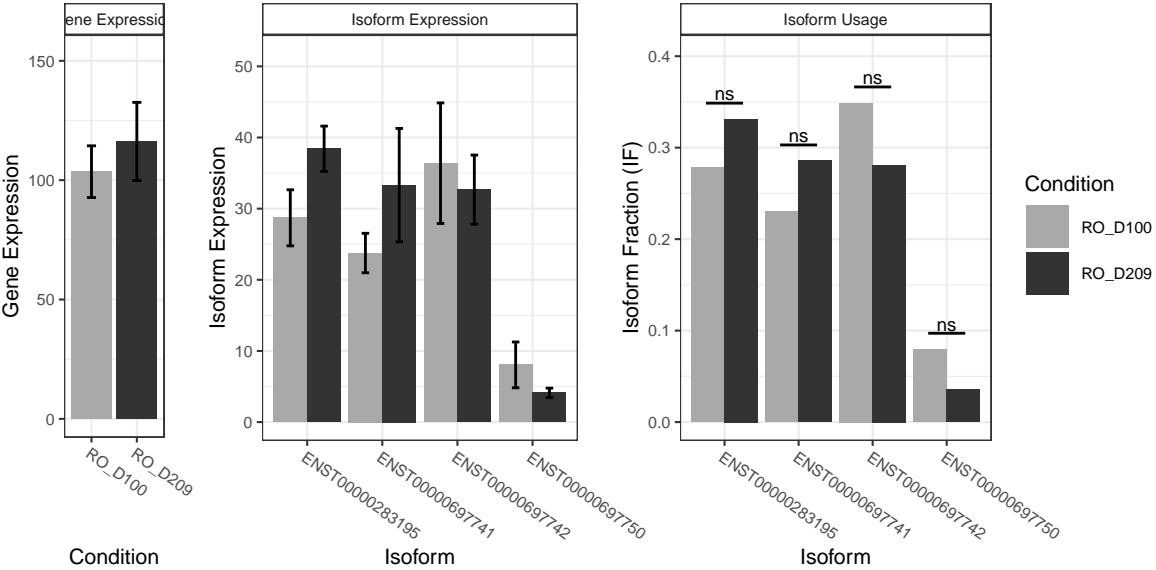
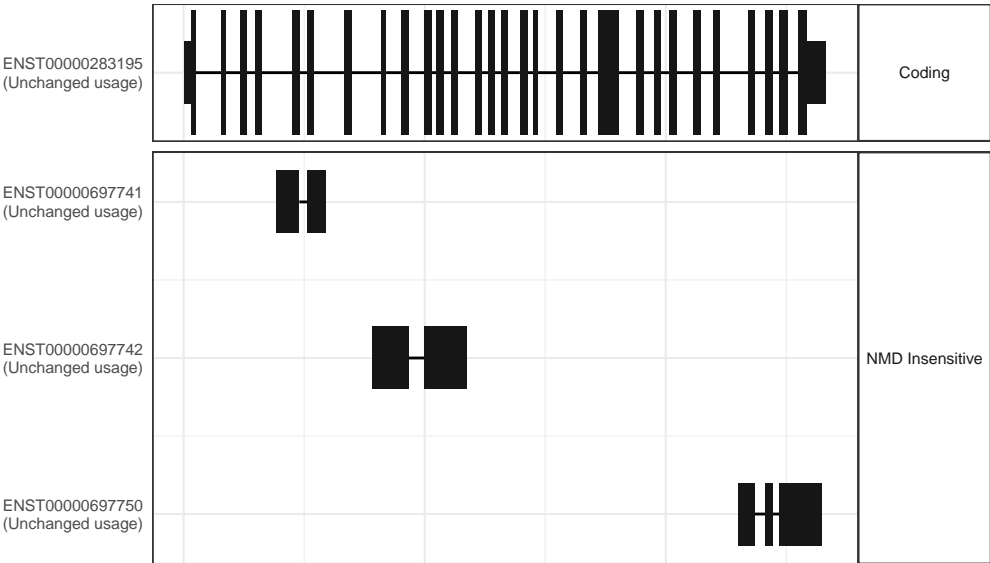
The isoform switch in RTN4 (RO_D100 vs RO_D209)



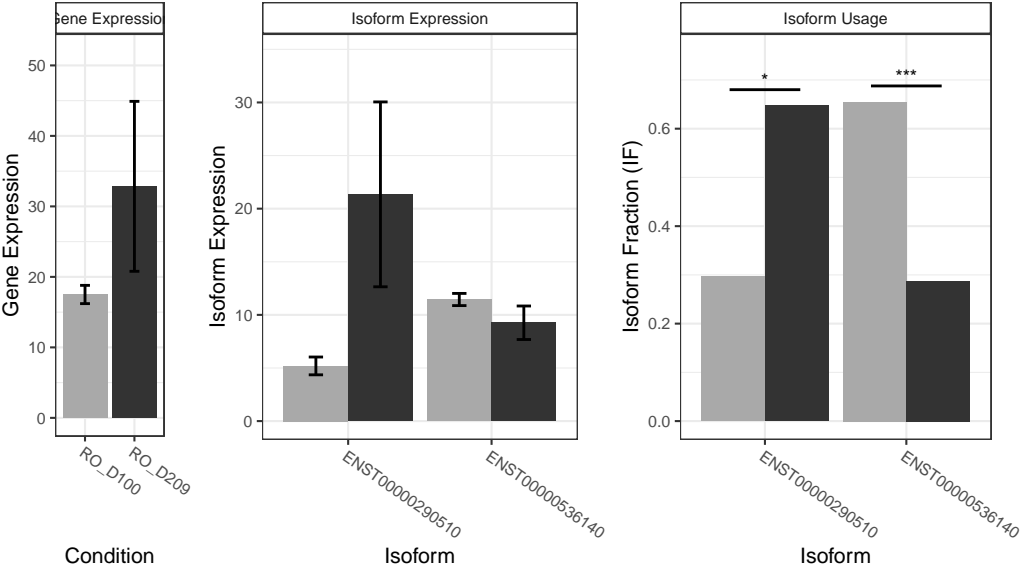
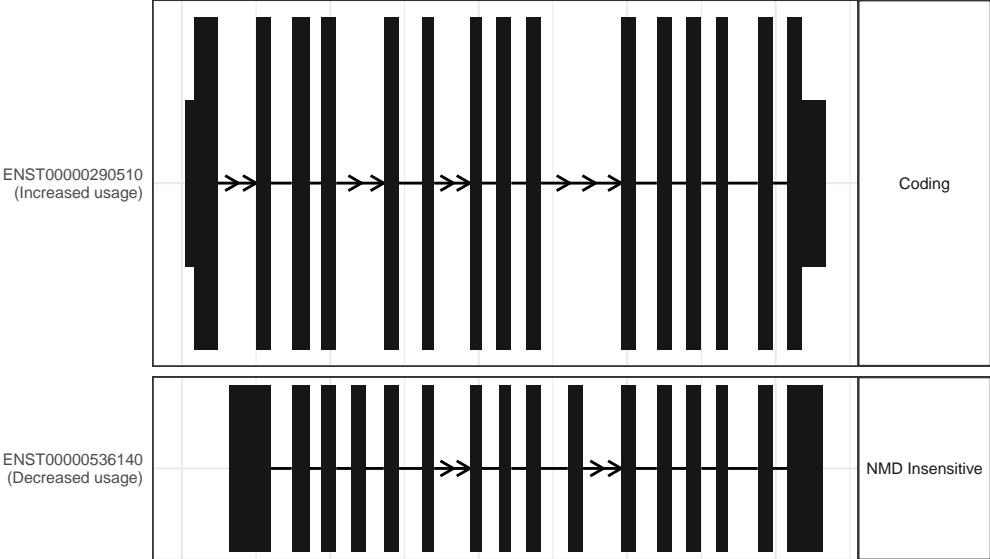
The isoform switch in OGA (RO_D100 vs RO_D209)



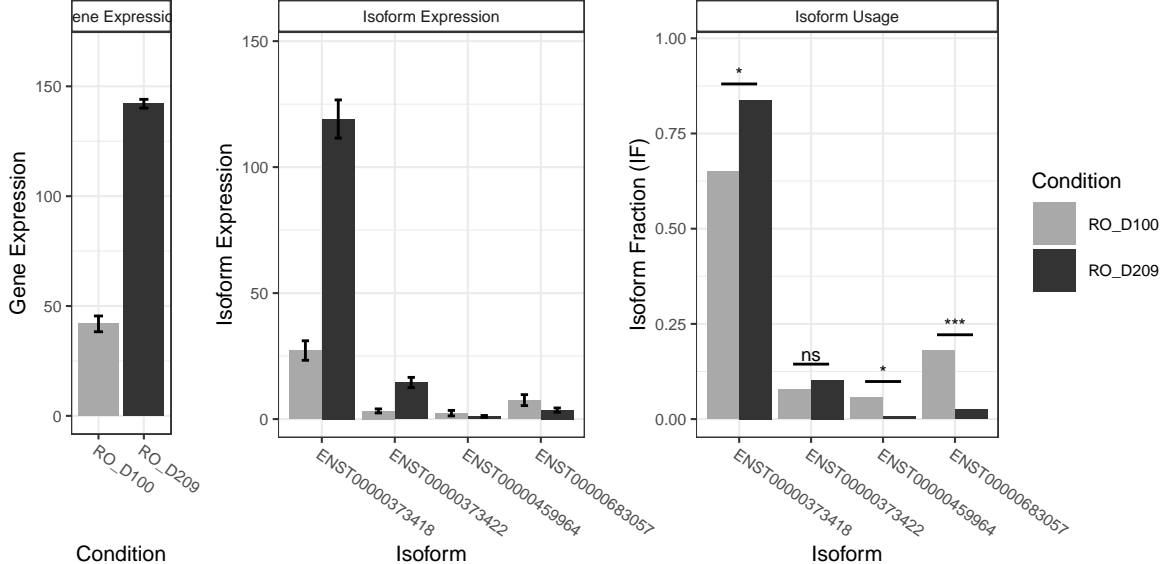
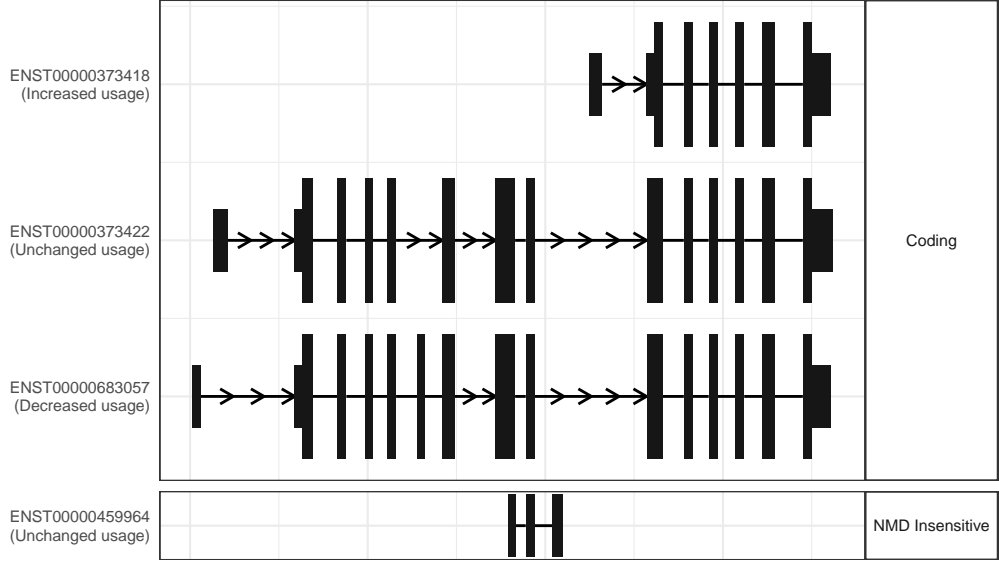
The isoform switch in RANBP2 (RO_D100 vs RO_D209)



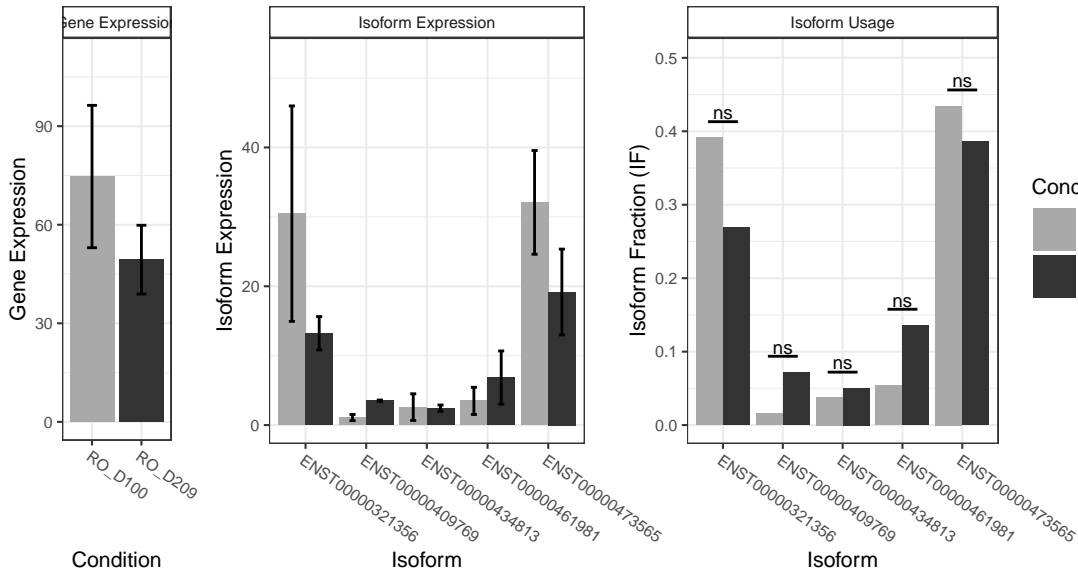
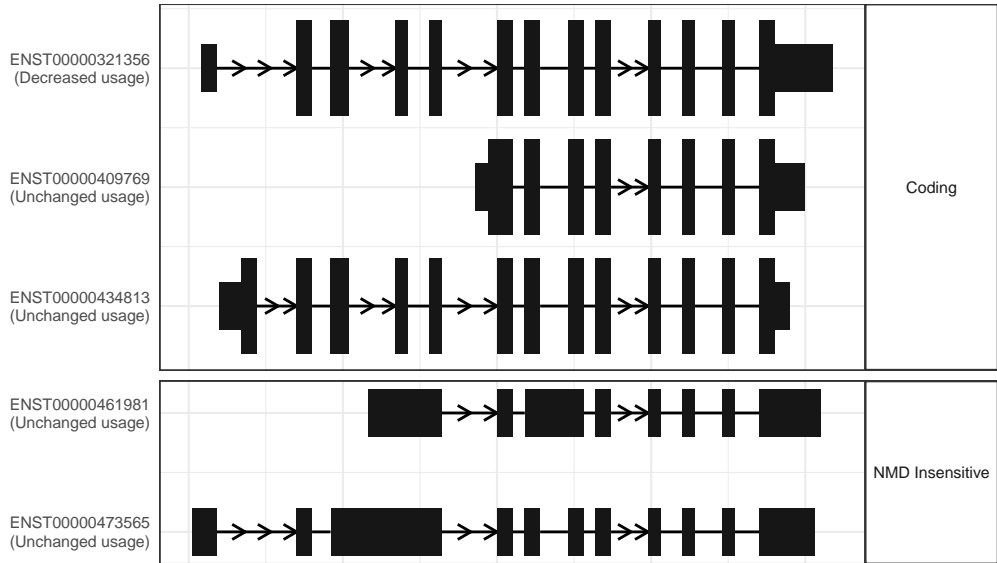
The isoform switch in P3H3 (RO_D100 vs RO_D209)



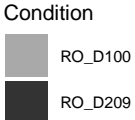
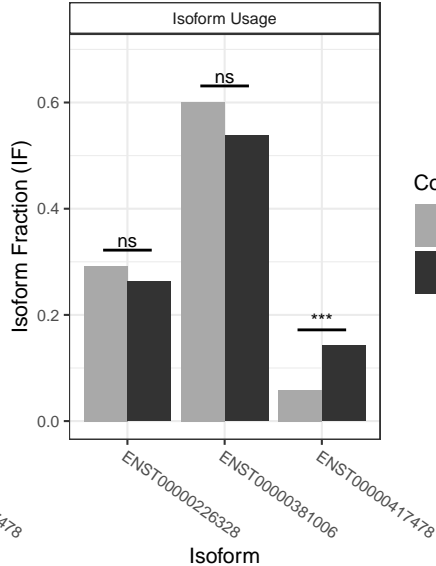
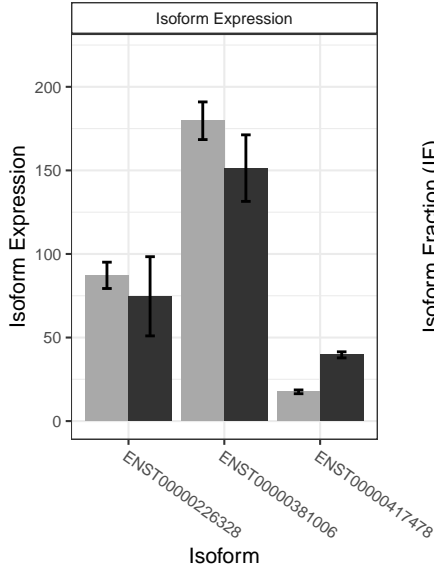
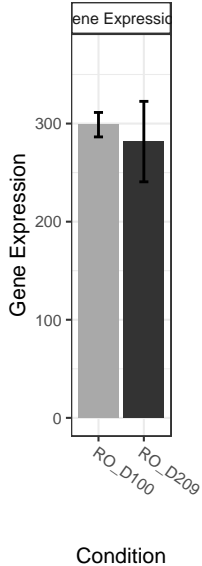
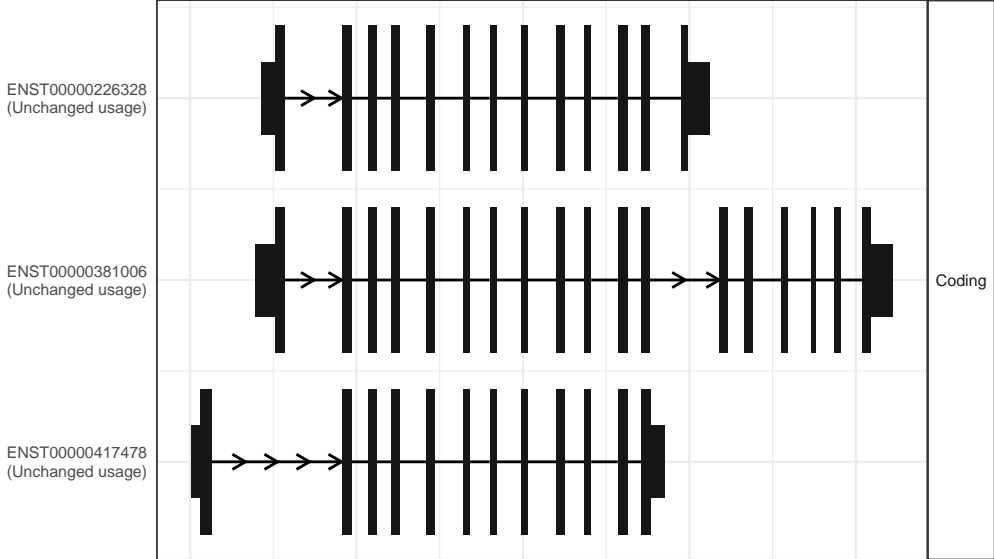
The isoform switch in PHC2 (RO_D100 vs RO_D209)



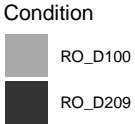
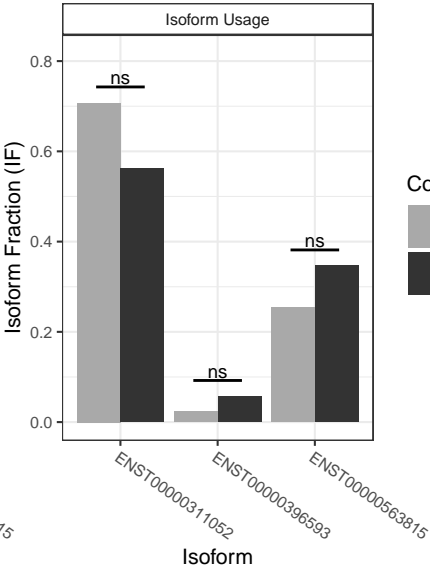
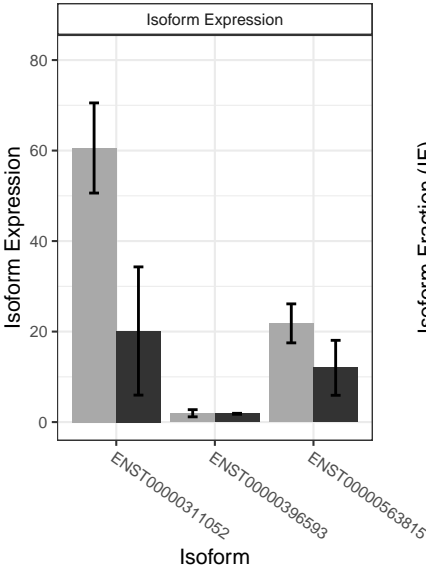
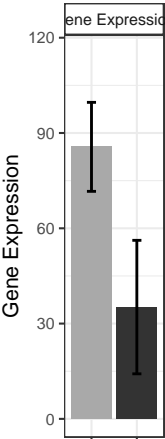
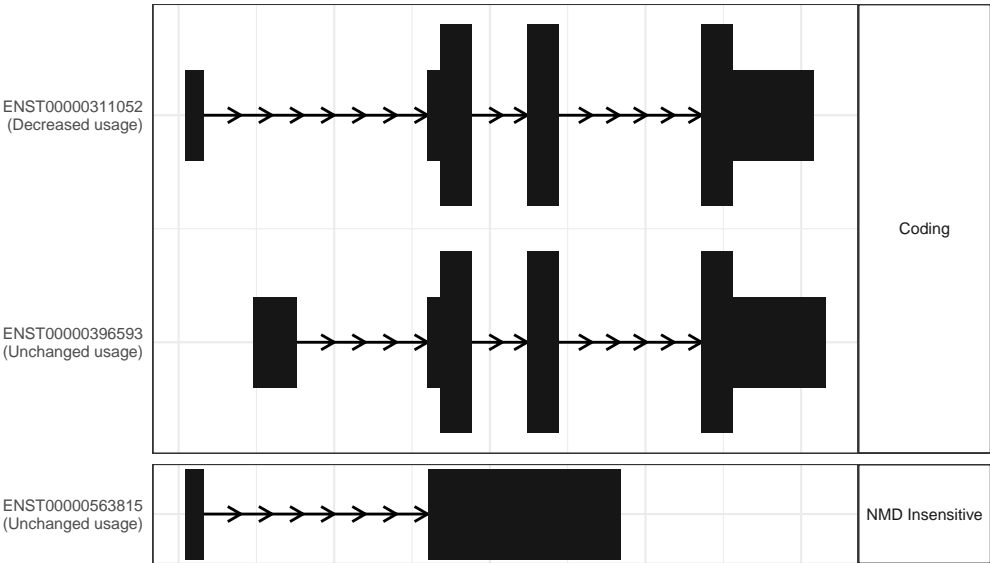
The isoform switch in CLK1 (RO_D100 vs RO_D209)



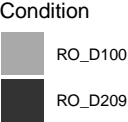
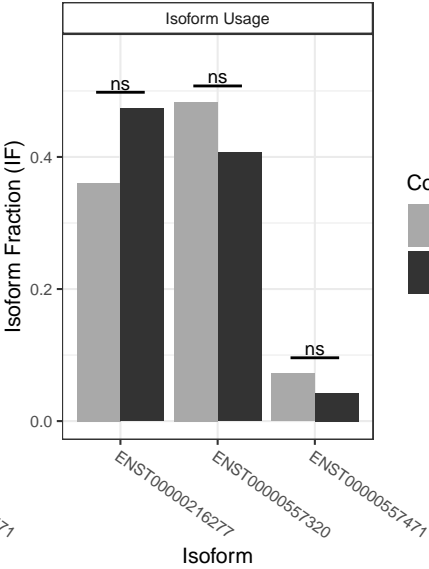
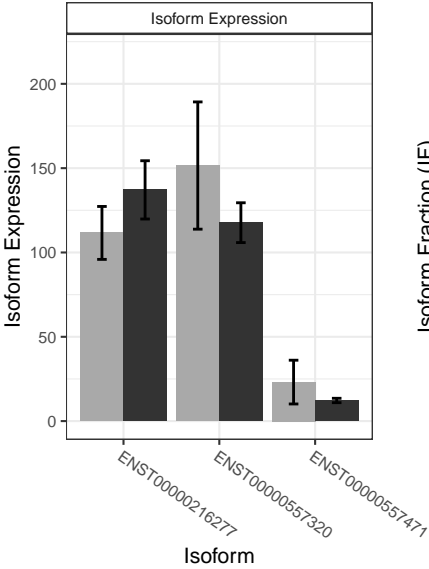
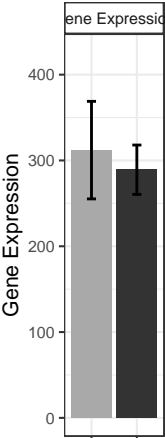
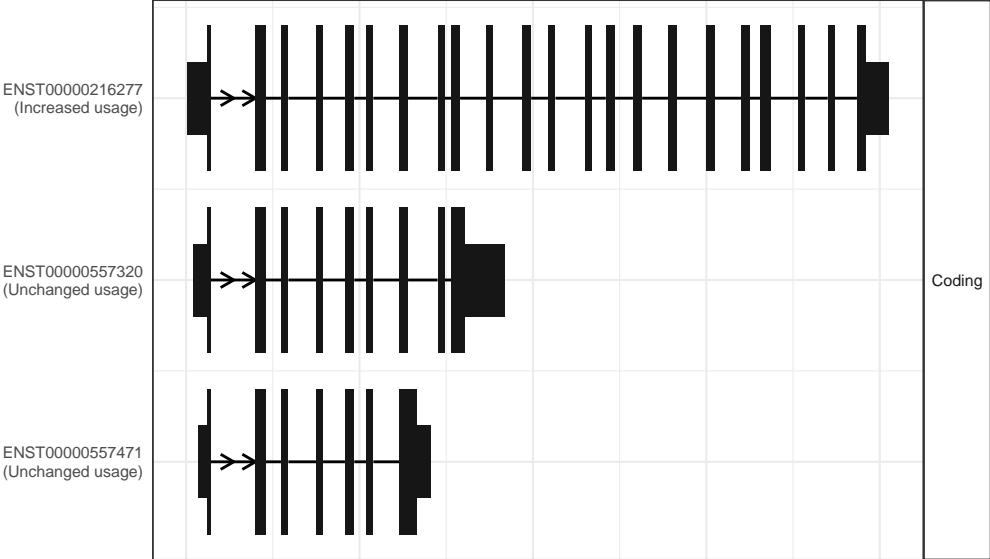
The isoform switch in RUFY3 (RO_D100 vs RO_D209)



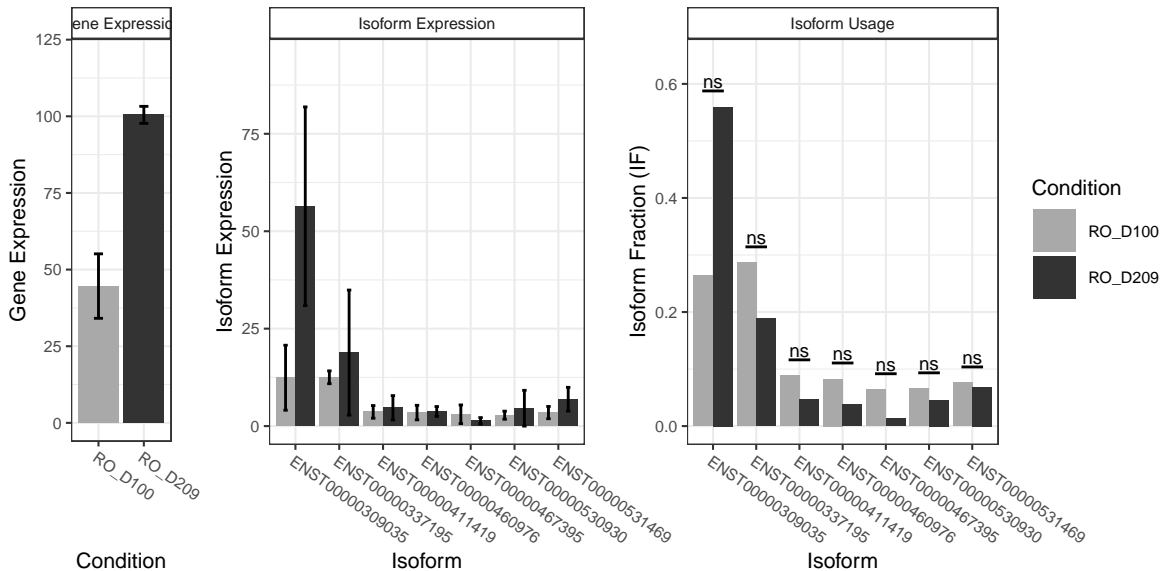
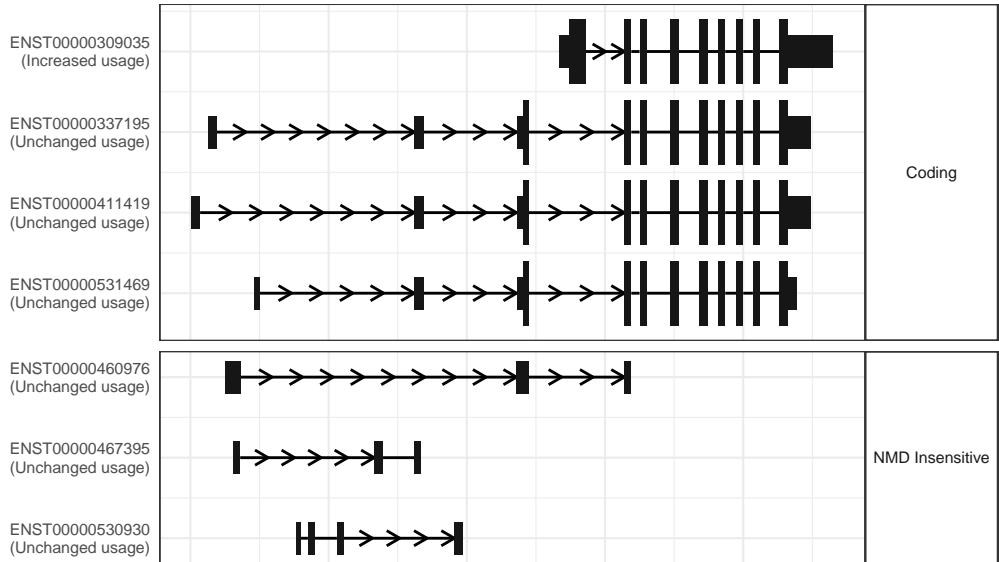
The isoform switch in CARHSP1 (RO_D100 vs RO_D209)



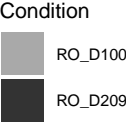
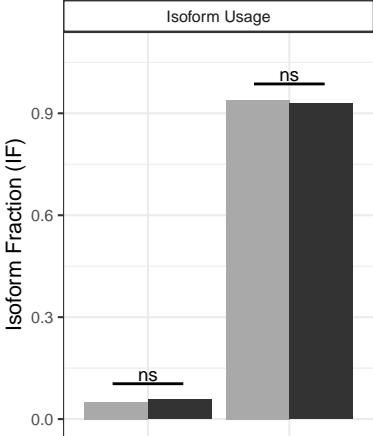
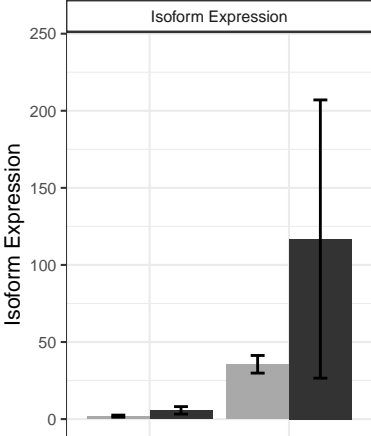
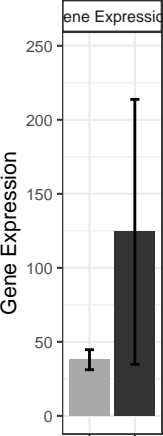
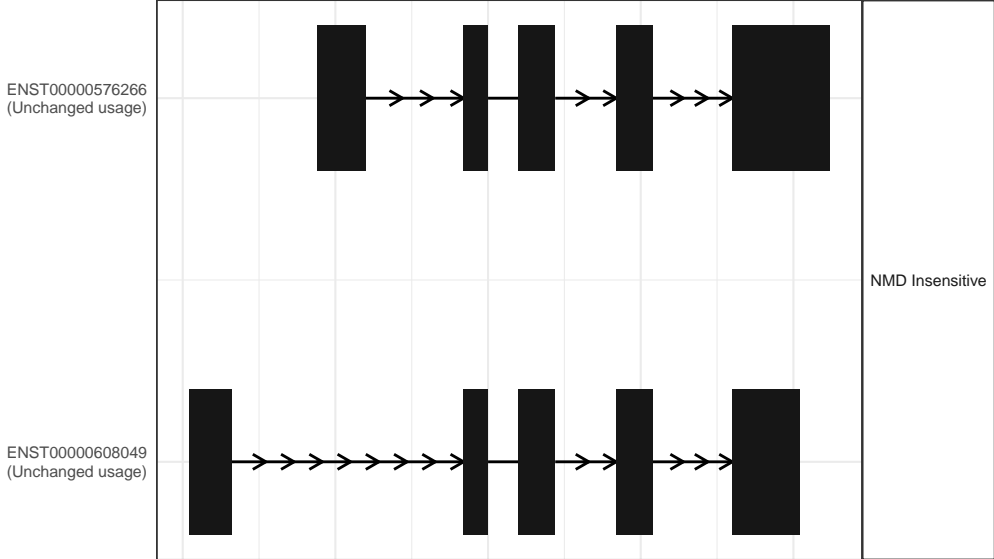
The isoform switch in PAPOLA (RO_D100 vs RO_D209)



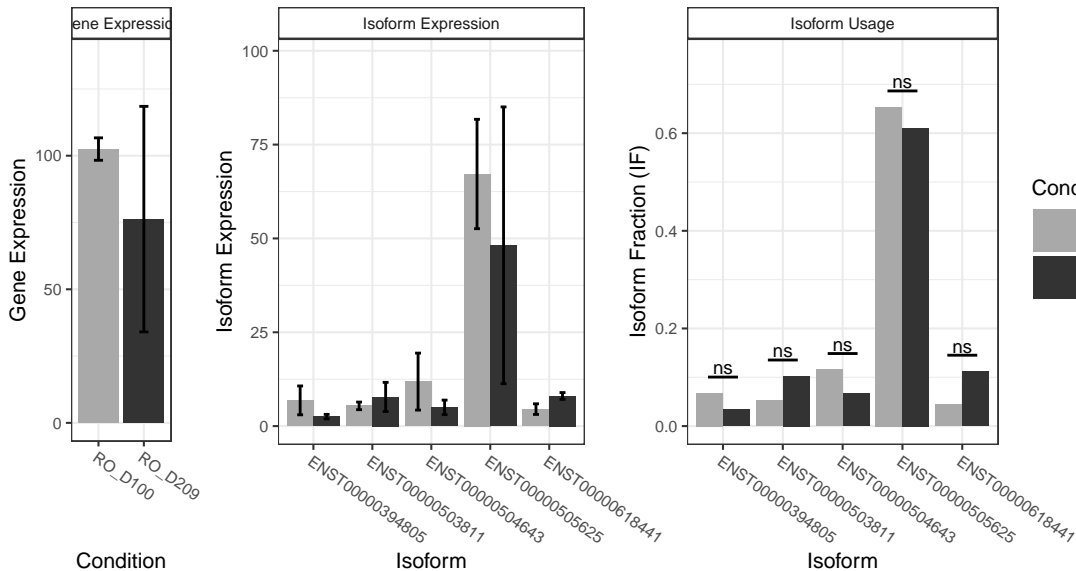
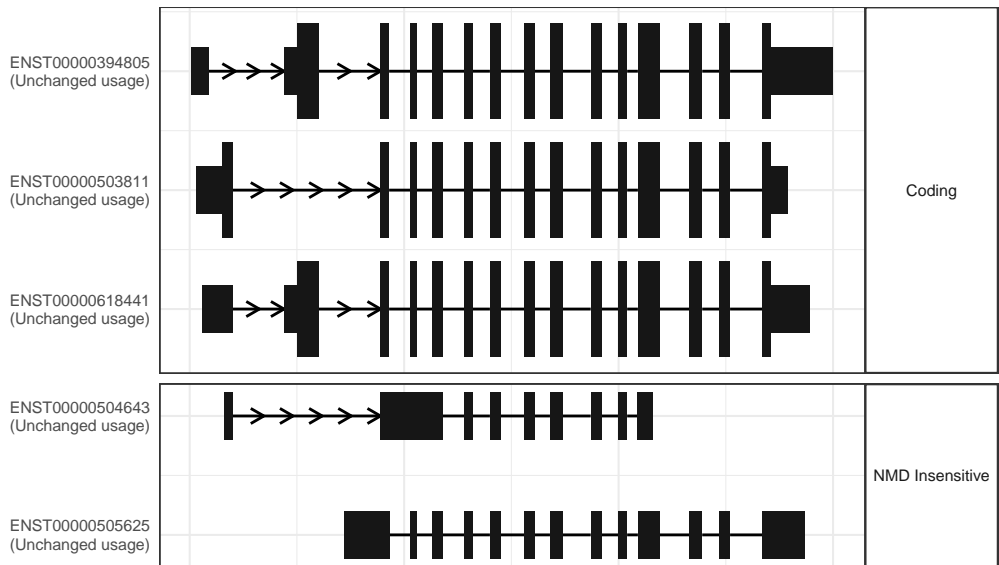
The isoform switch in CTBP2 (RO_D100 vs RO_D209)



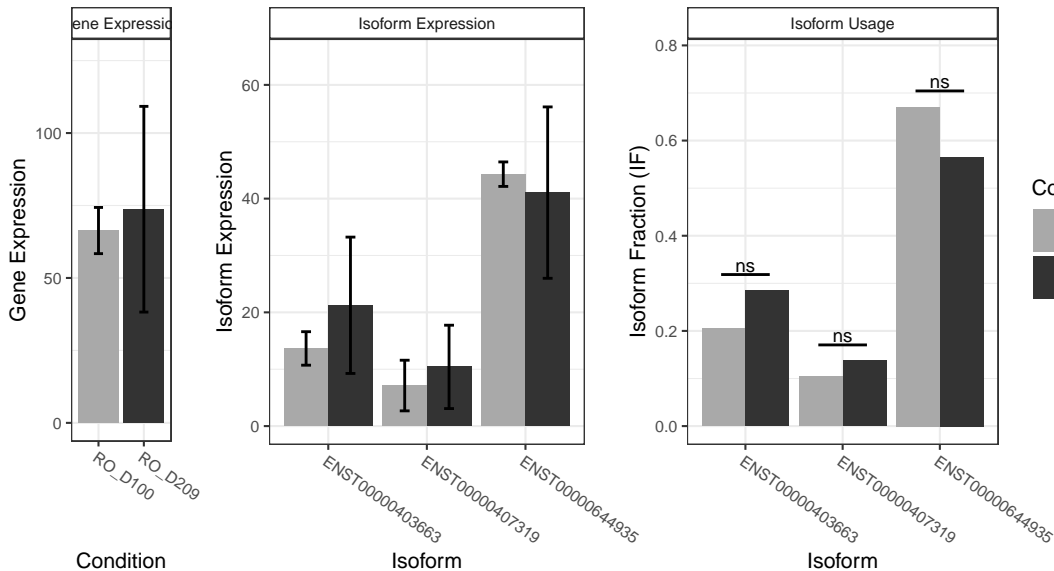
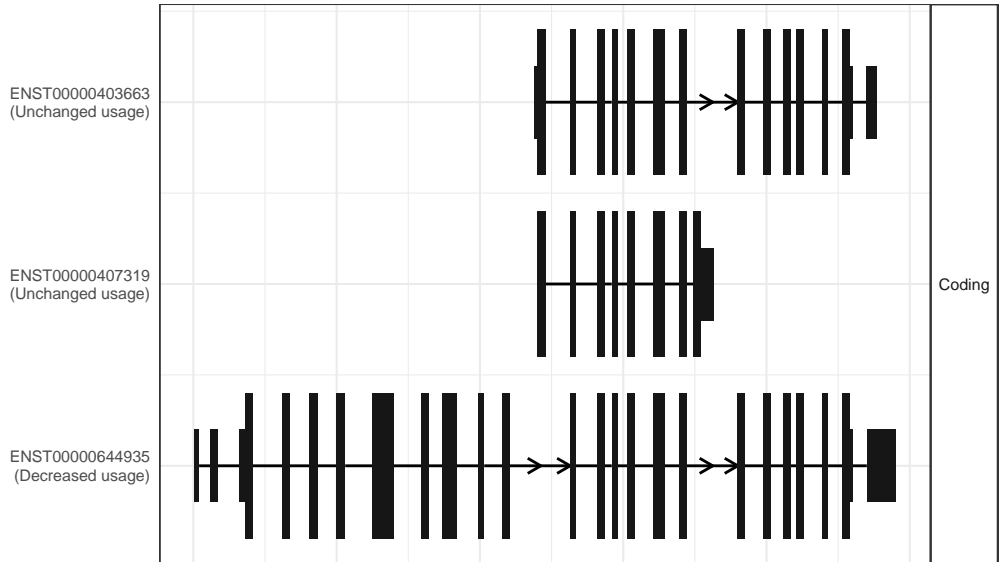
The isoform switch in ROCK1P1 (RO_D100 vs RO_D209)



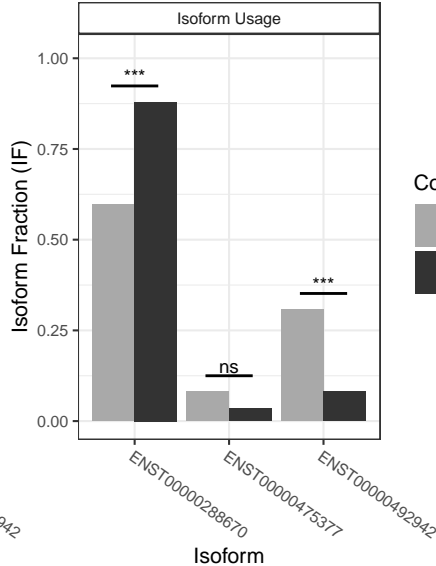
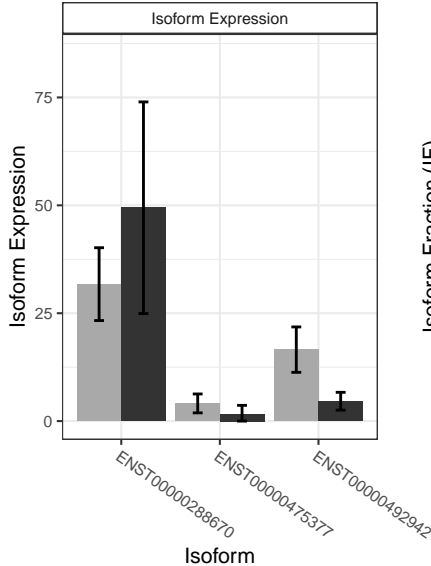
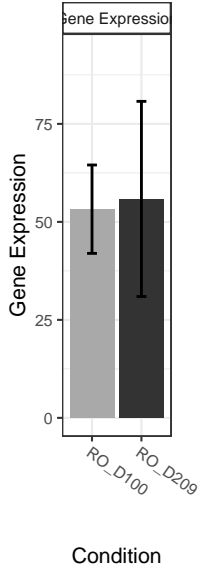
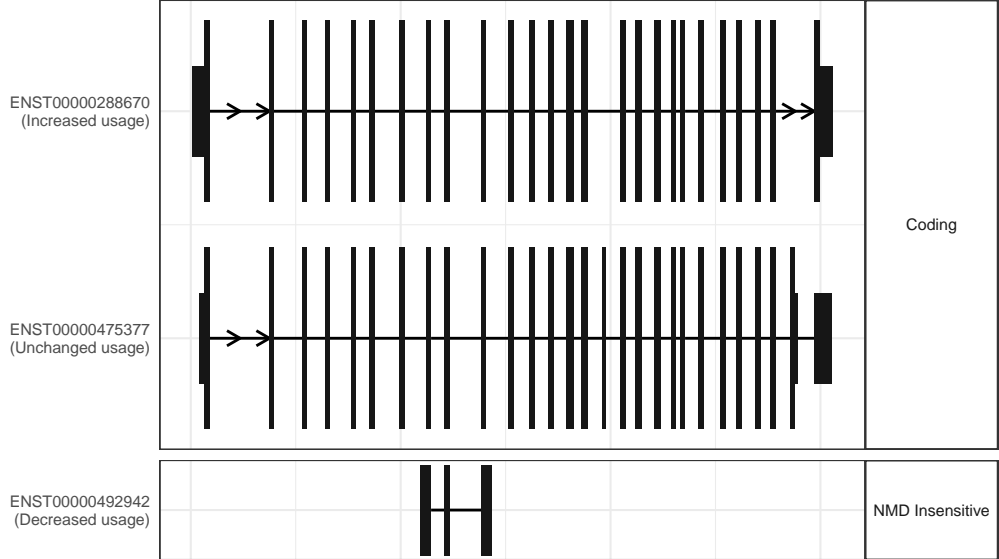
The isoform switch in MATR3 (RO_D100 vs RO_D209)



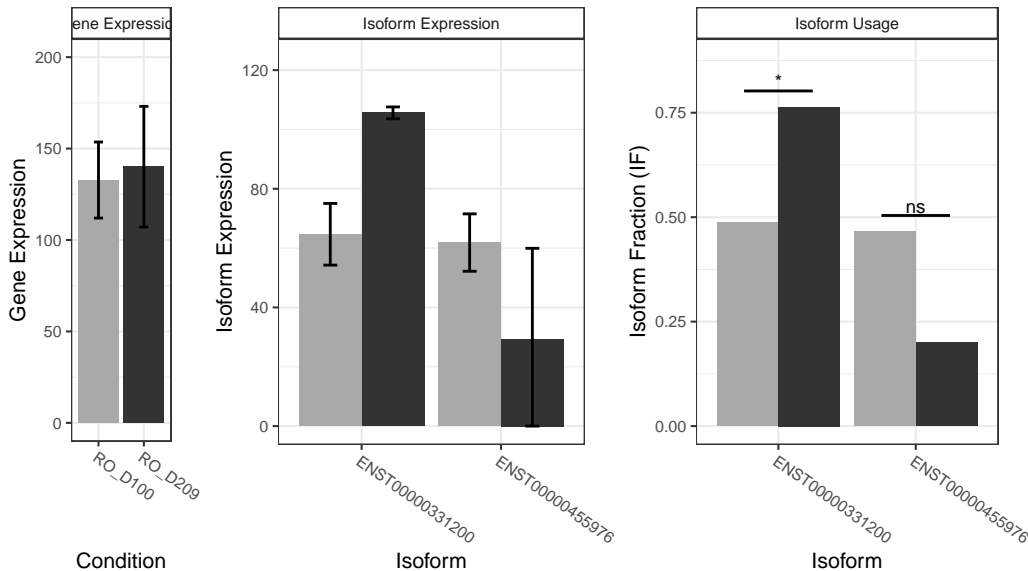
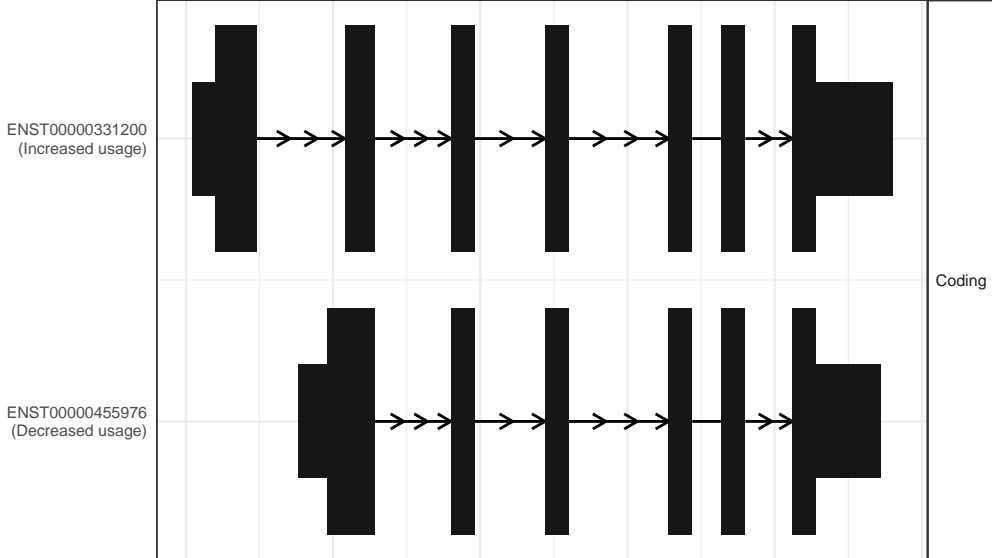
The isoform switch in TRIOBP (RO_D100 vs RO_D209)



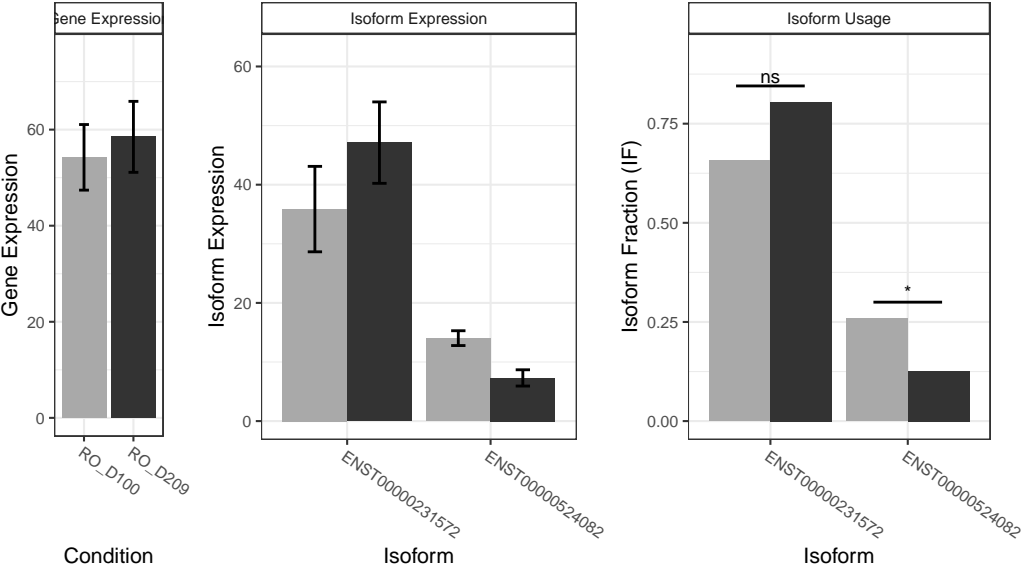
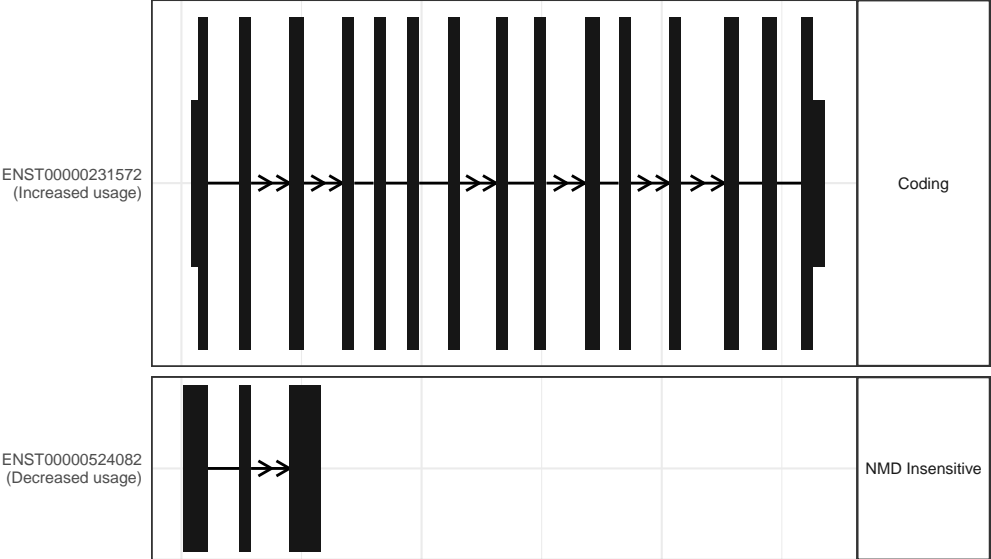
The isoform switch in FMNL2 (RO_D100 vs RO_D209)



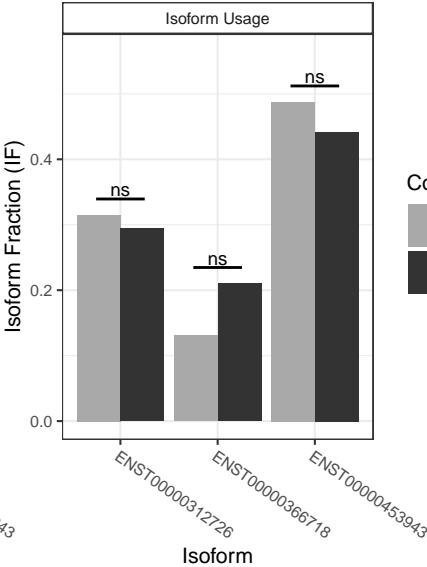
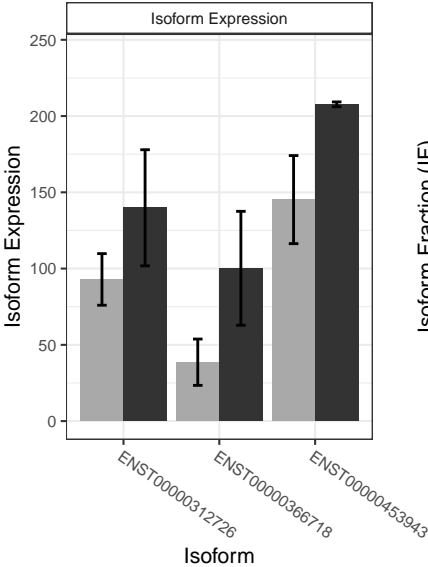
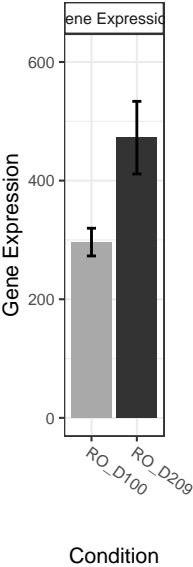
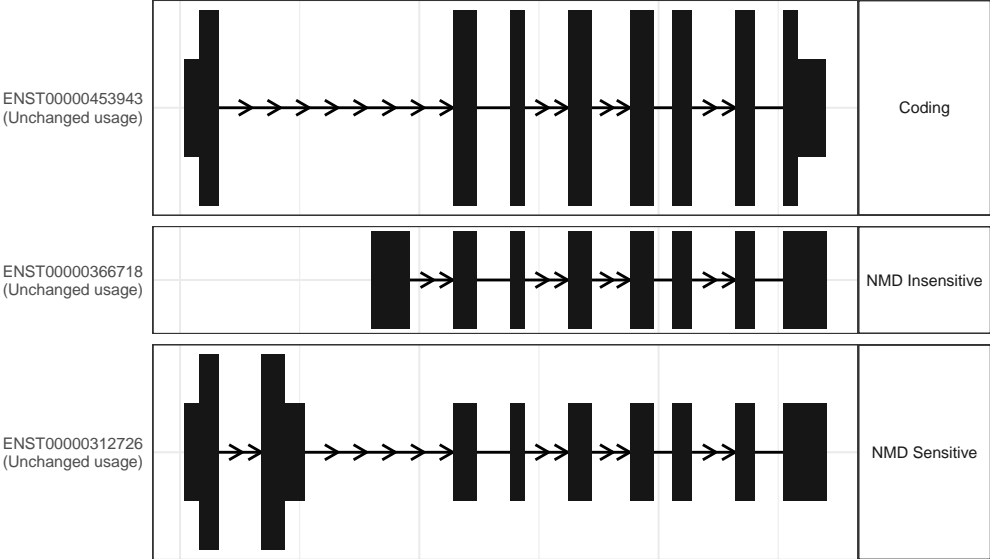
The isoform switch in DUT (RO_D100 vs RO_D209)



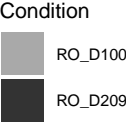
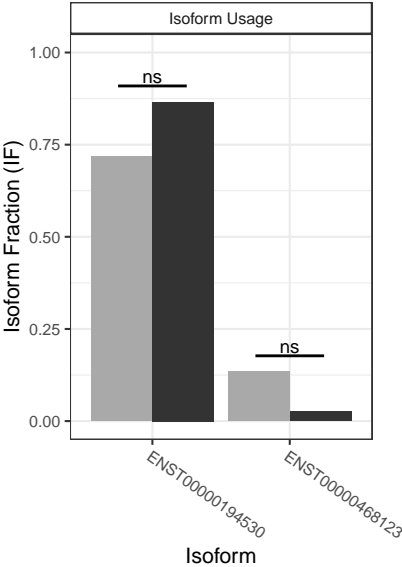
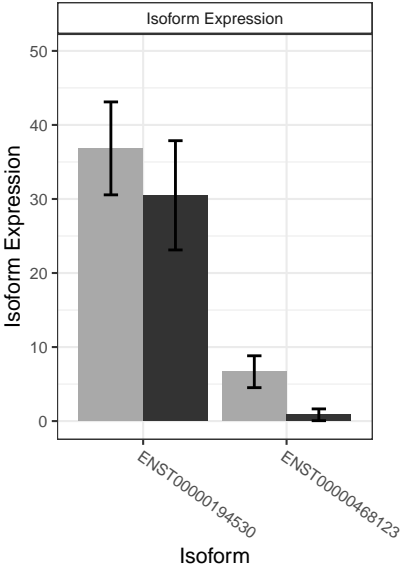
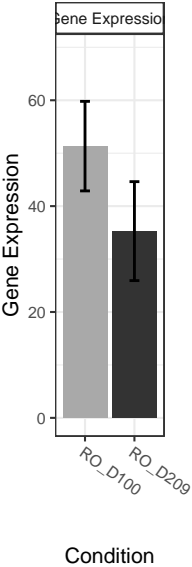
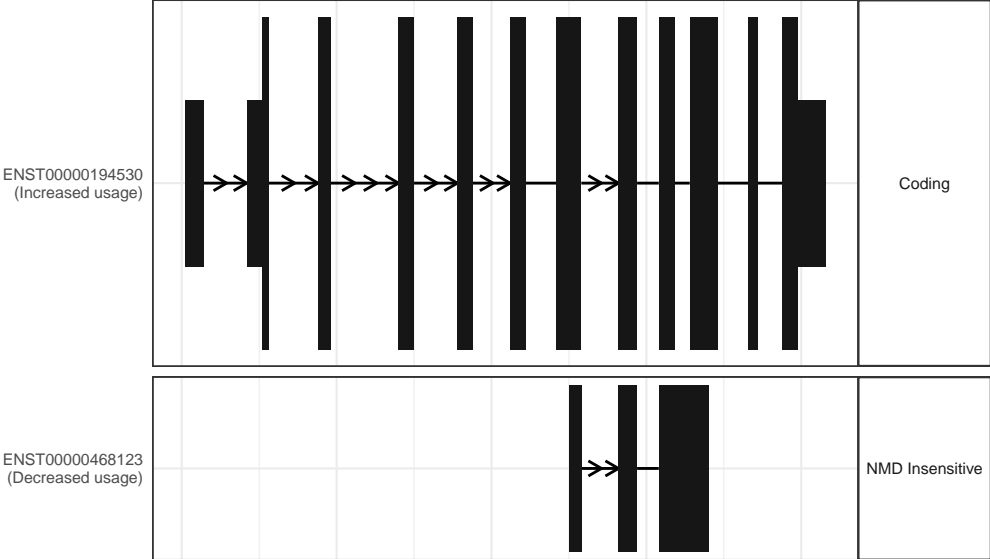
The isoform switch in RARS1 (RO_D100 vs RO_D209)



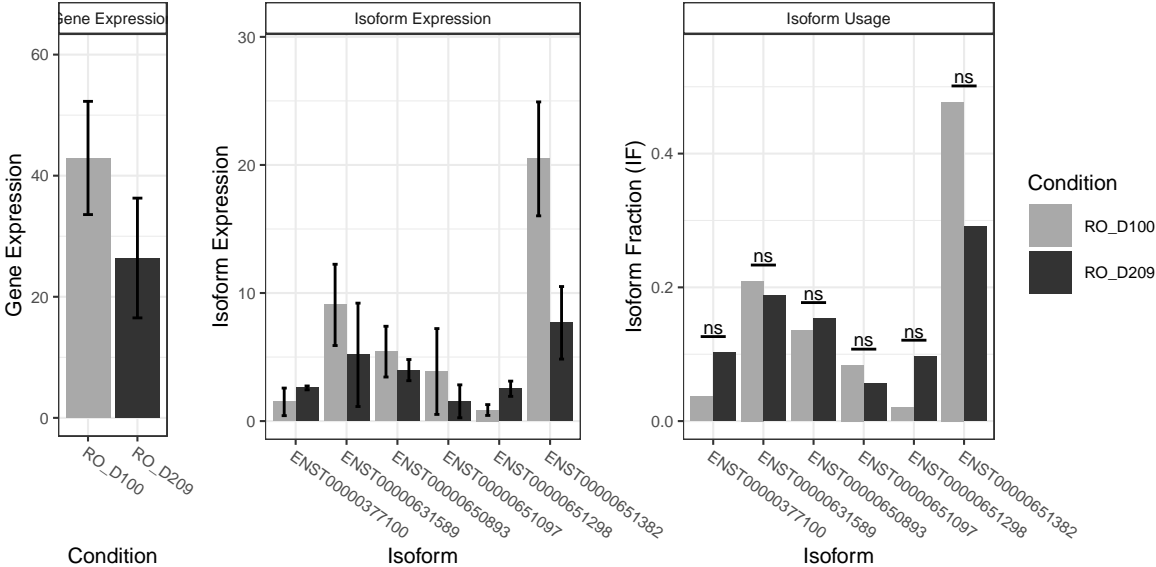
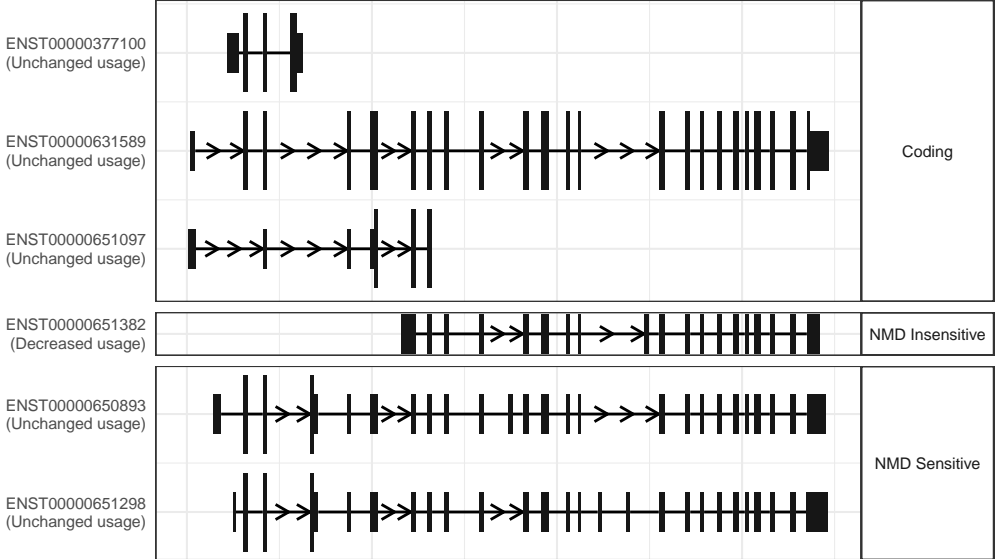
The isoform switch in GUK1 (RO_D100 vs RO_D209)



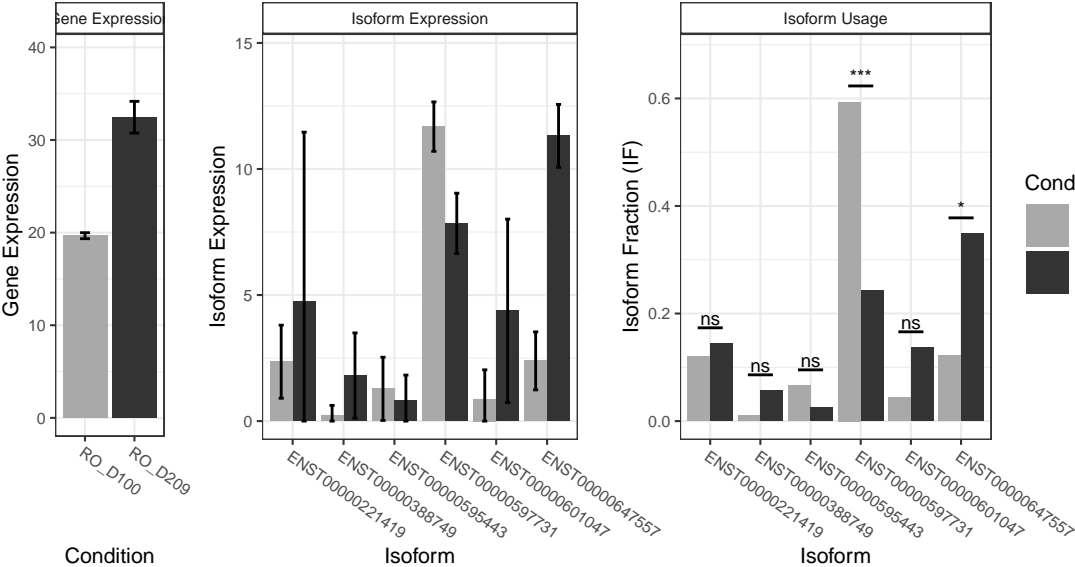
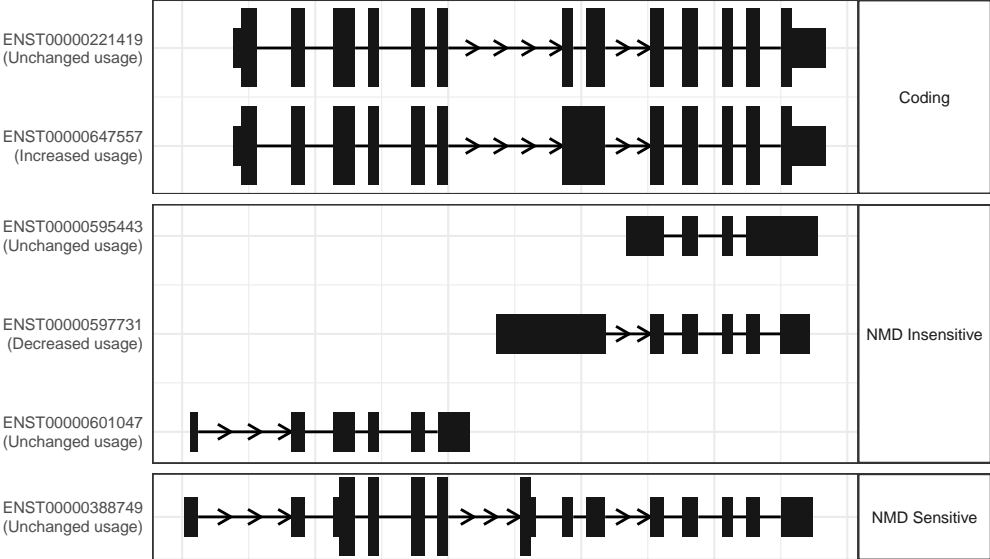
The isoform switch in STRADB (RO_D100 vs RO_D209)



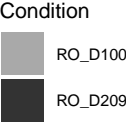
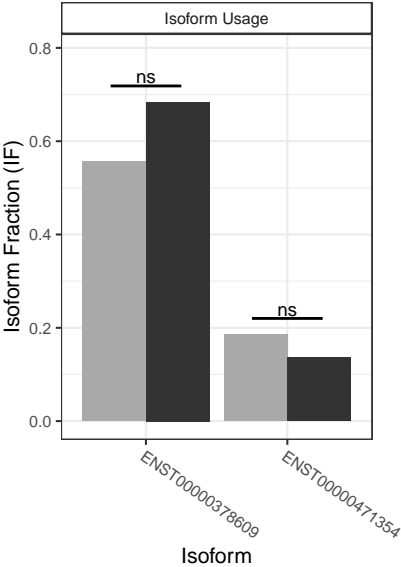
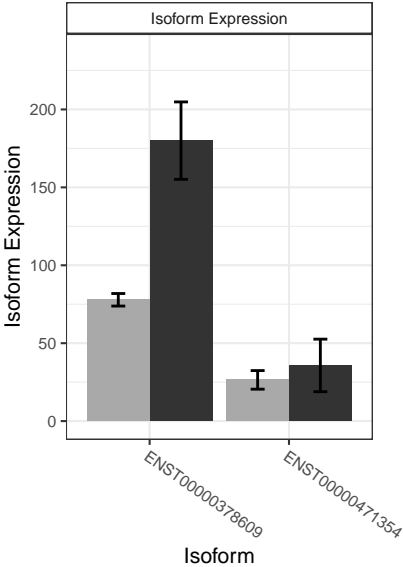
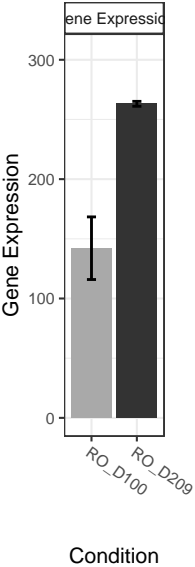
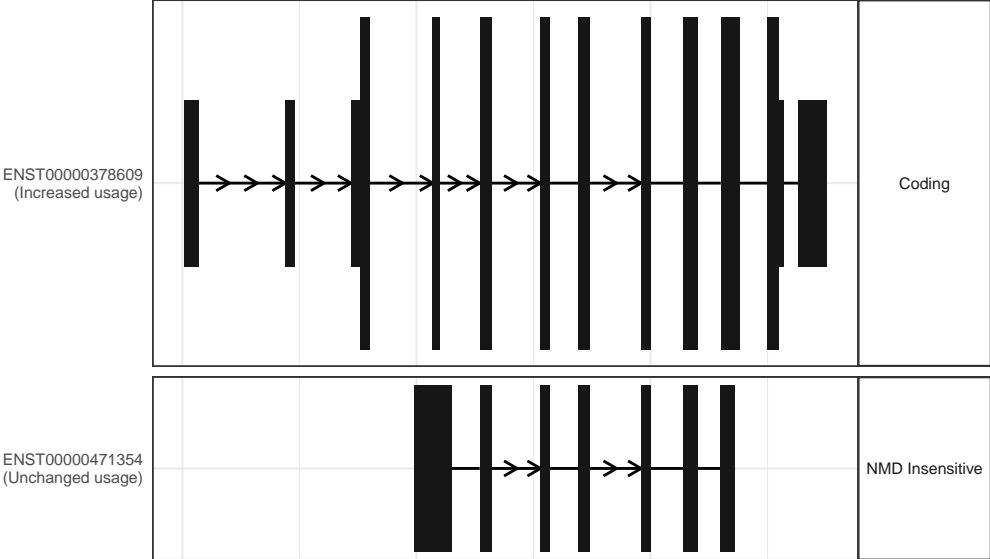
The isoform switch in MLLT10 (RO_D100 vs RO_D209)



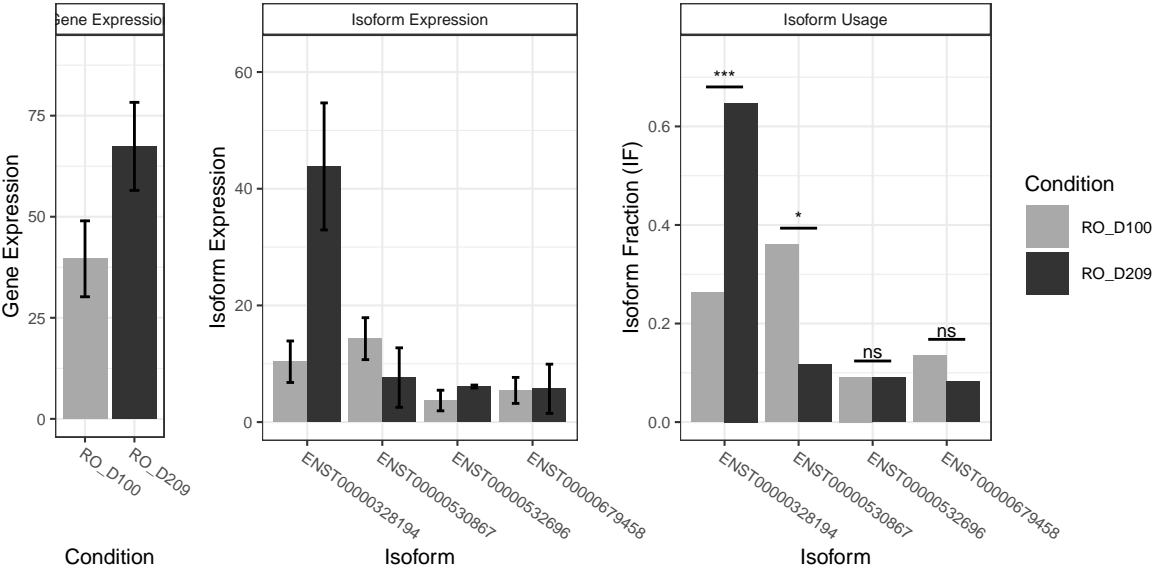
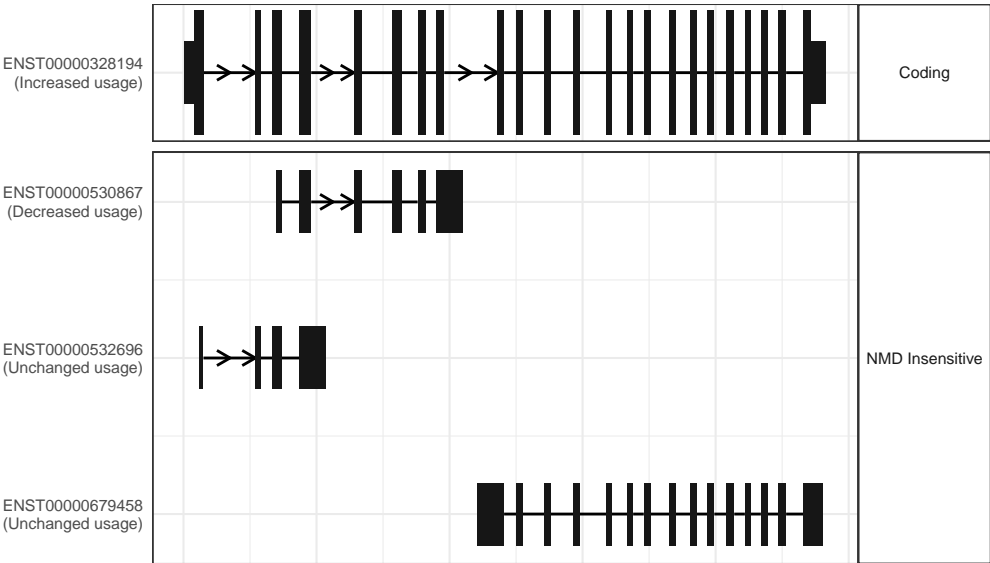
The isoform switch in HNRNPL (RO_D100 vs RO_D209)



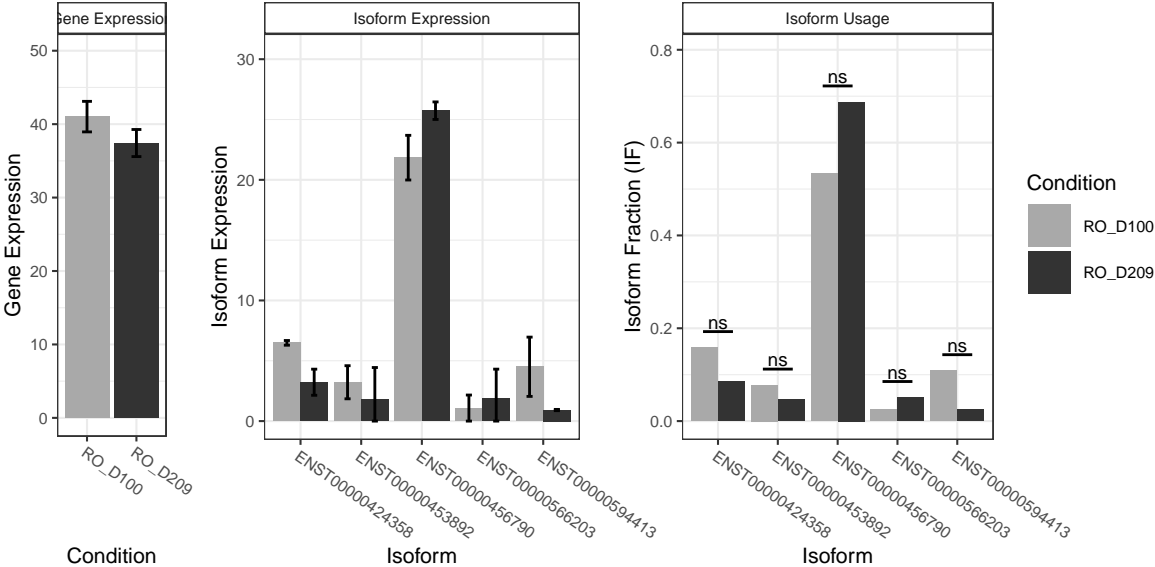
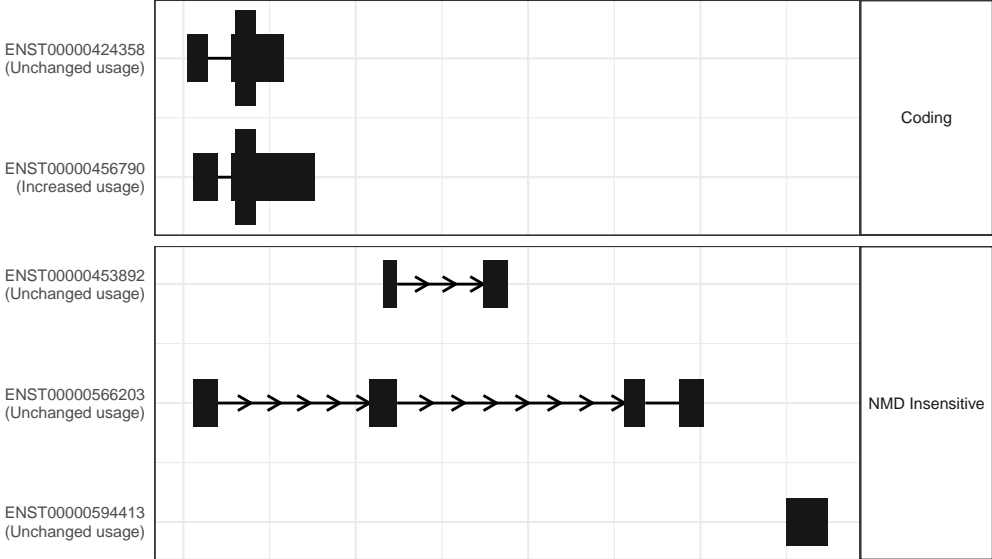
The isoform switch in GNB1 (RO_D100 vs RO_D209)



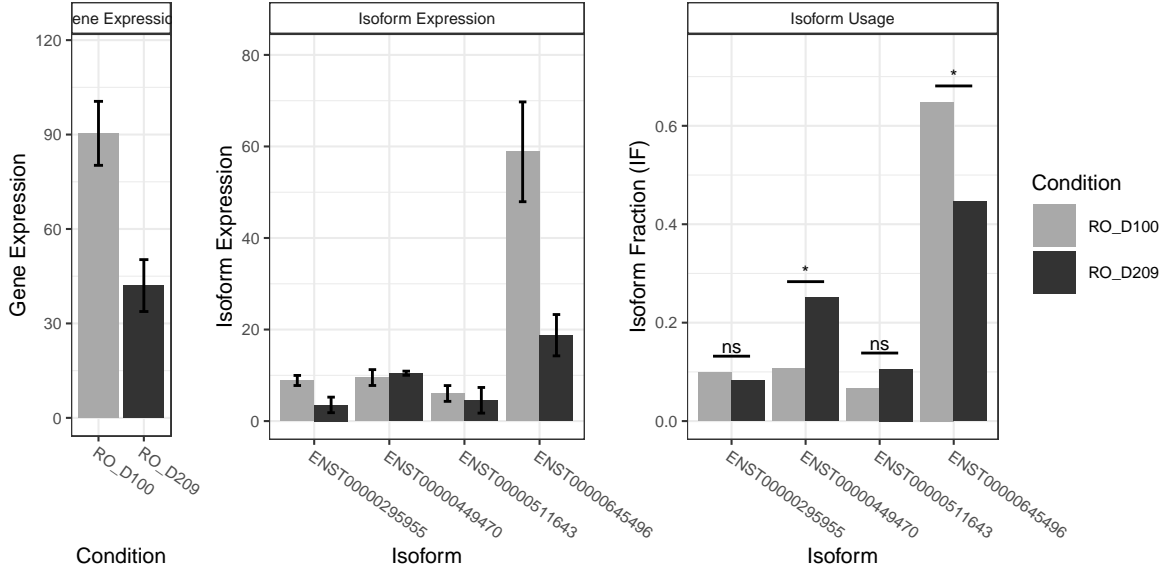
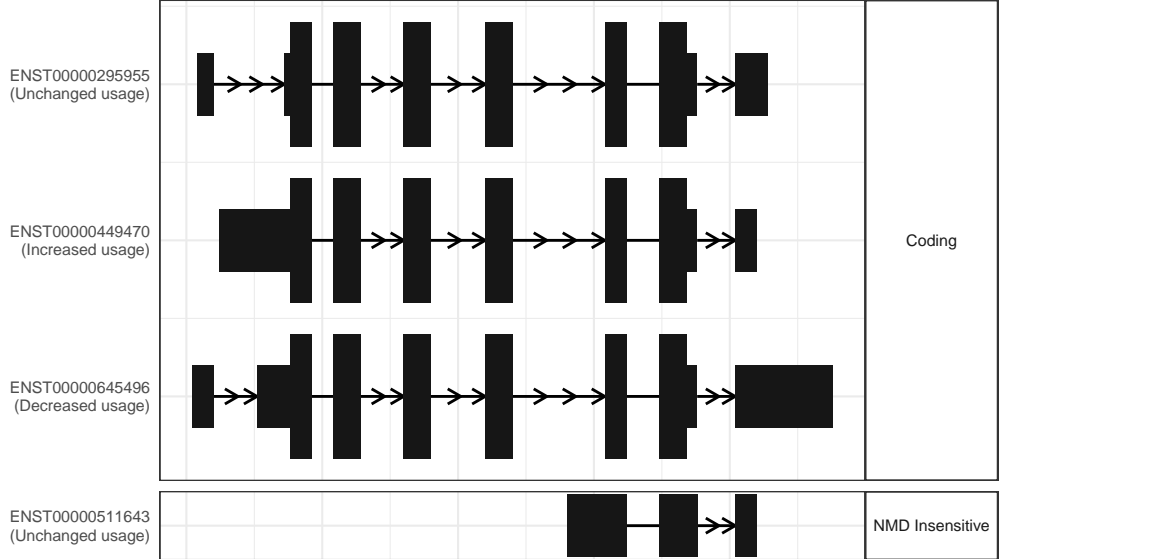
The isoform switch in DENND5A (RO_D100 vs RO_D209)



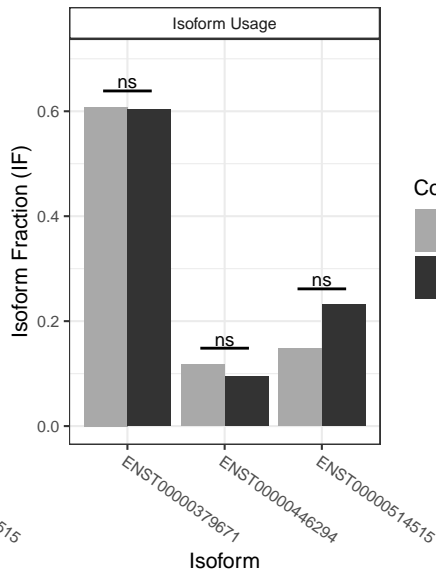
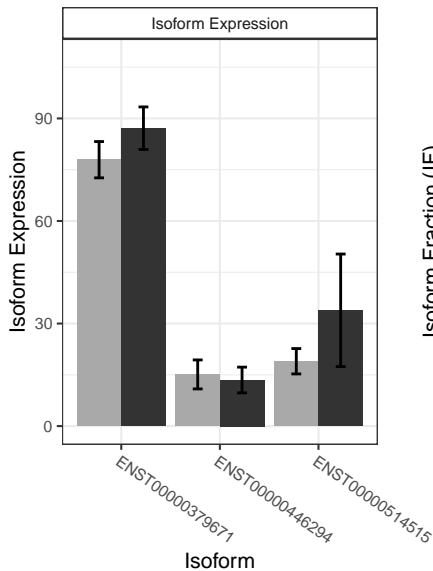
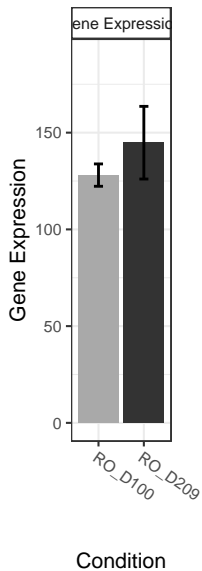
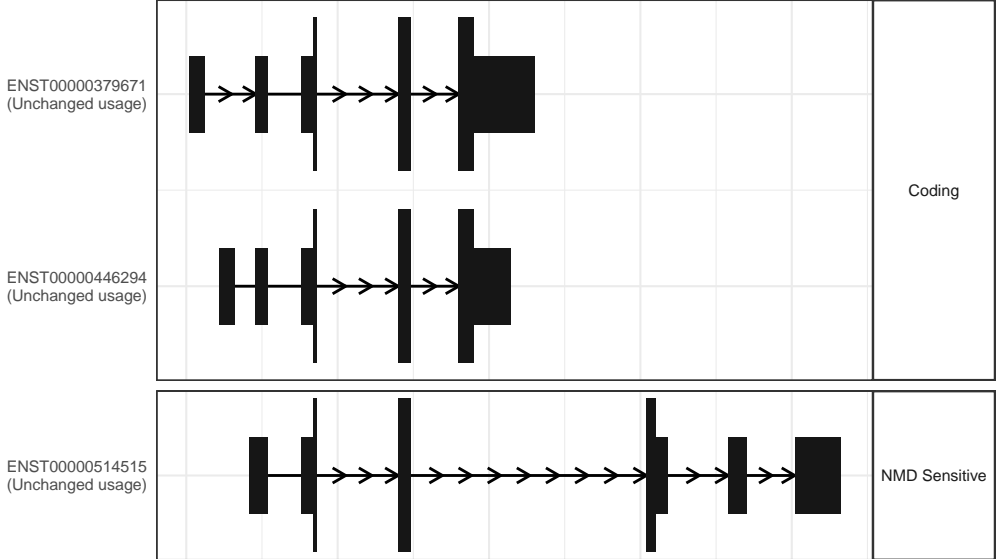
The isoform switch in MMP24OS (RO_D100 vs RO_D209)



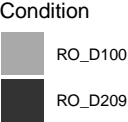
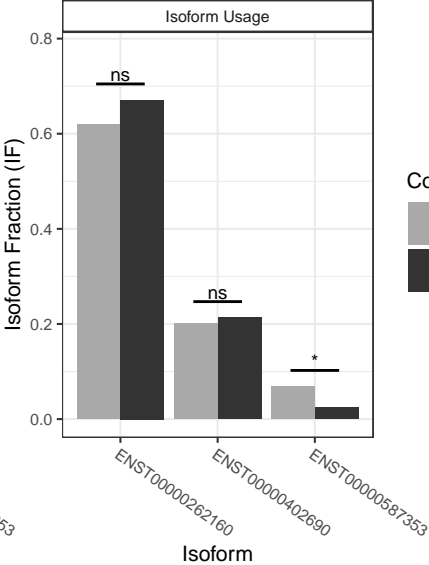
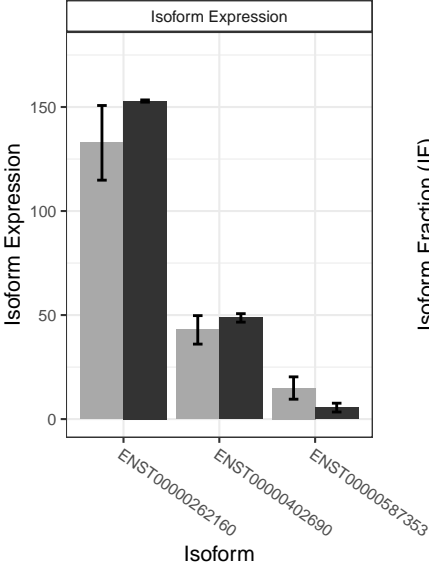
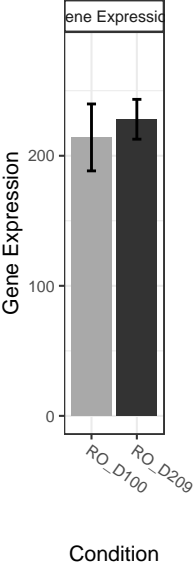
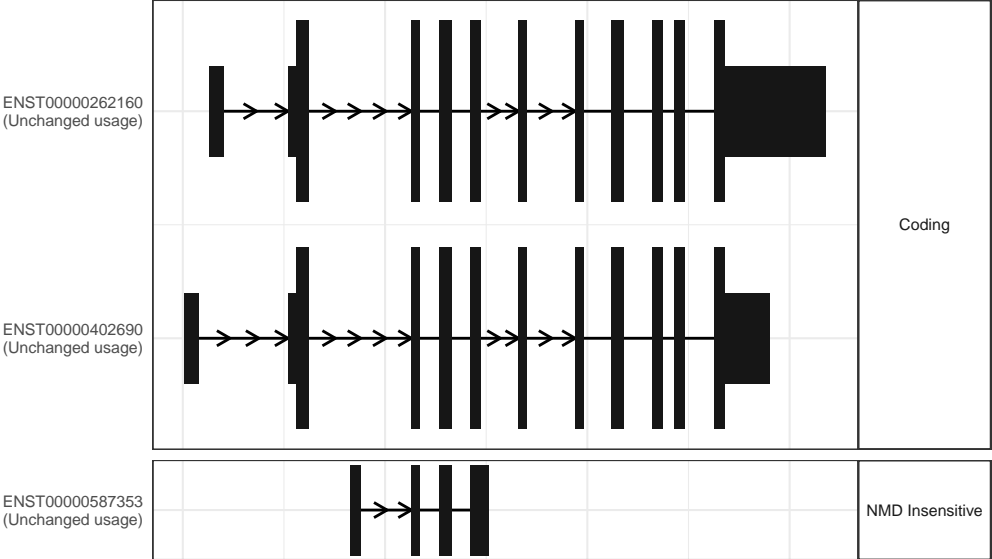
The isoform switch in RPL9 (RO_D100 vs RO_D209)



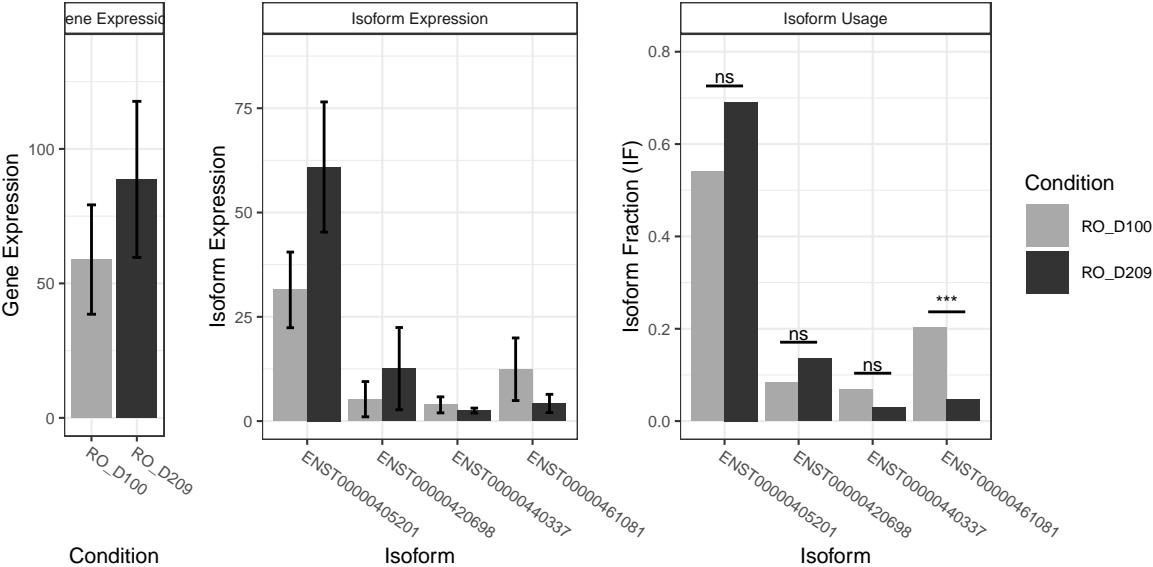
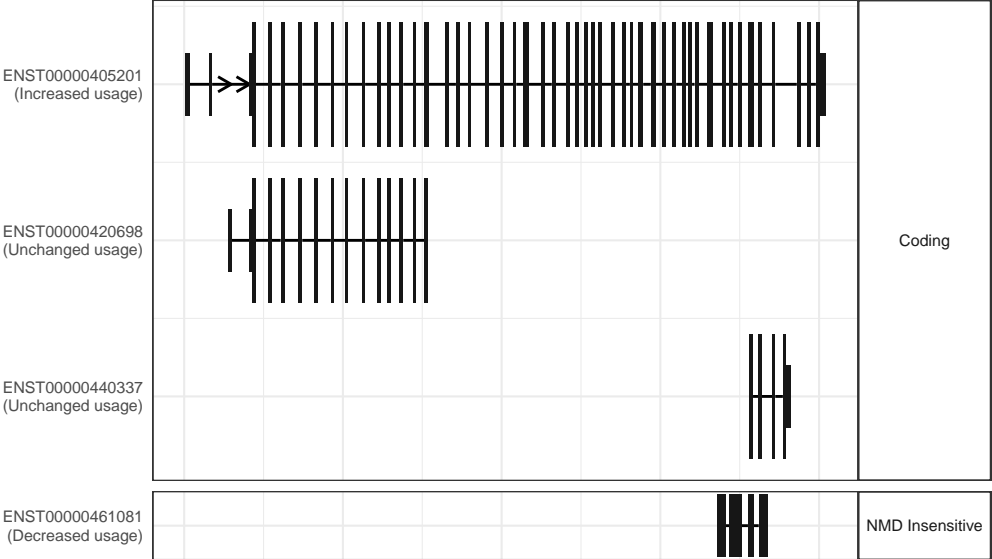
The isoform switch in NREP (RO_D100 vs RO_D209)



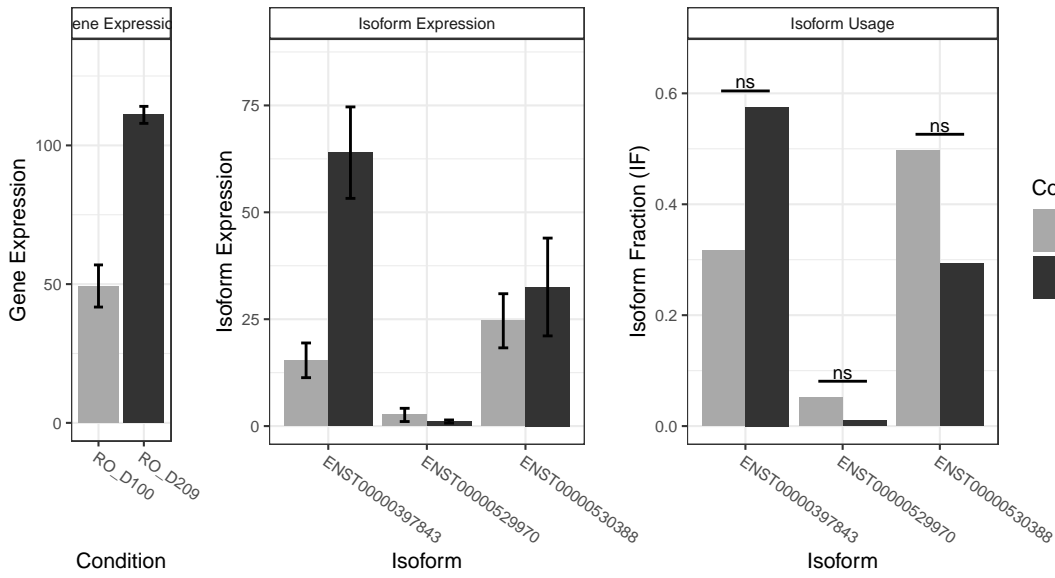
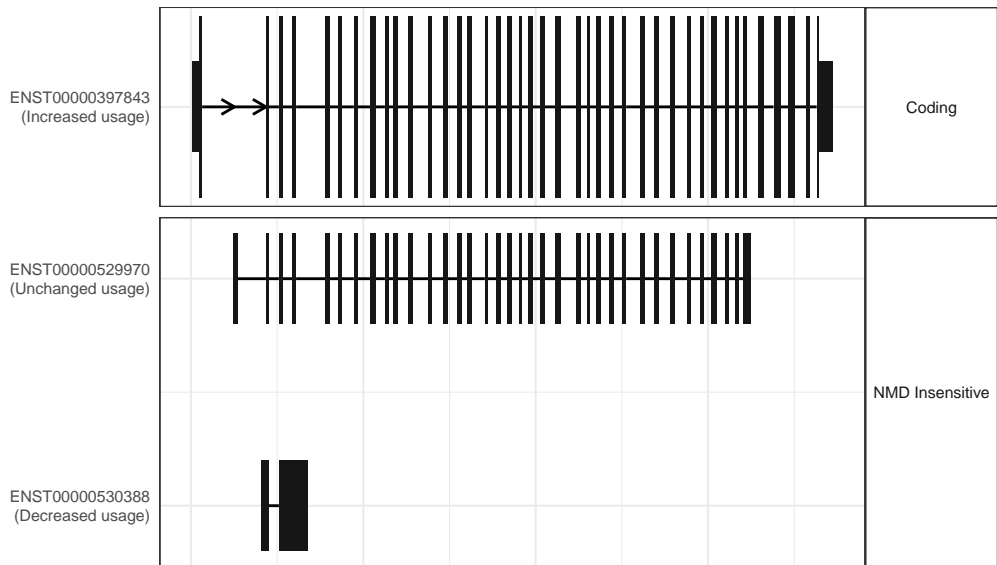
The isoform switch in SMAD2 (RO_D100 vs RO_D209)



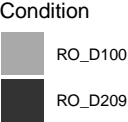
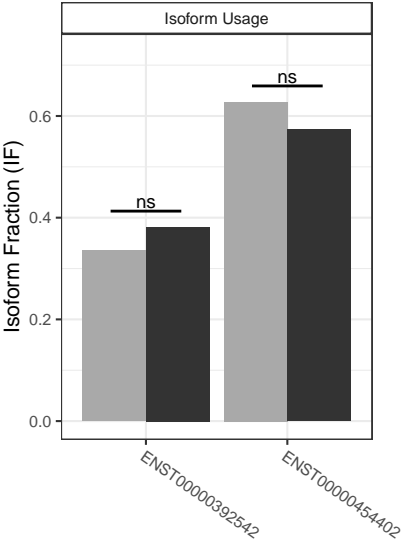
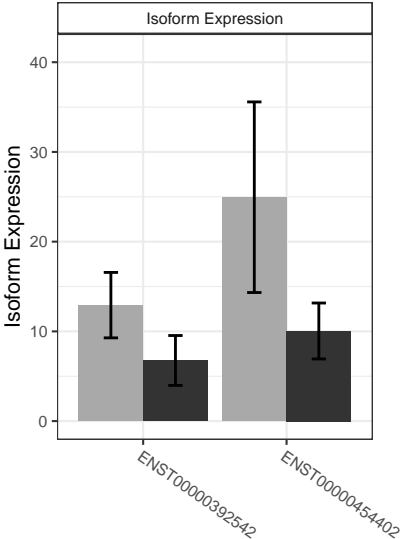
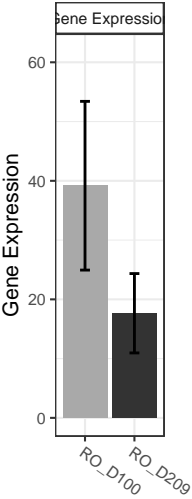
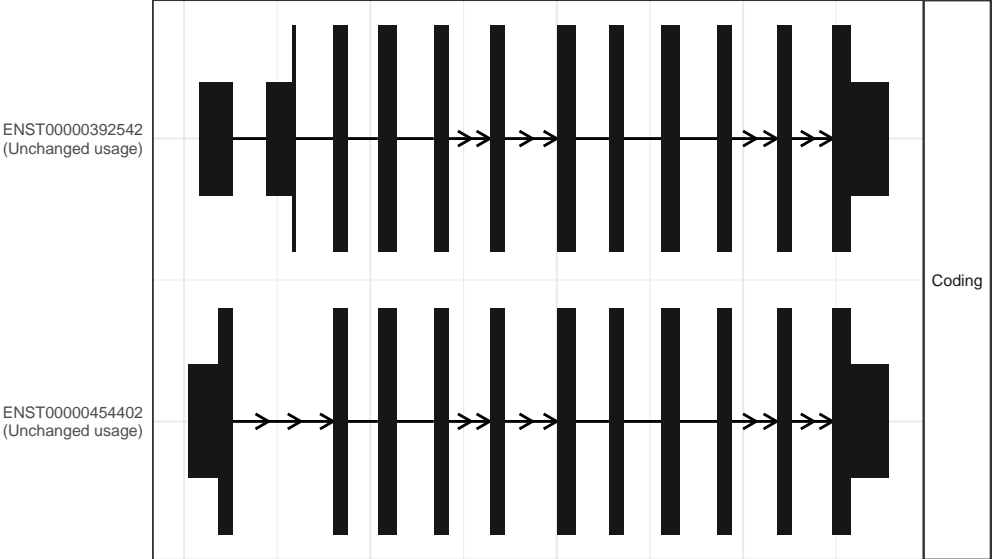
The isoform switch in NCOR2 (RO_D100 vs RO_D209)



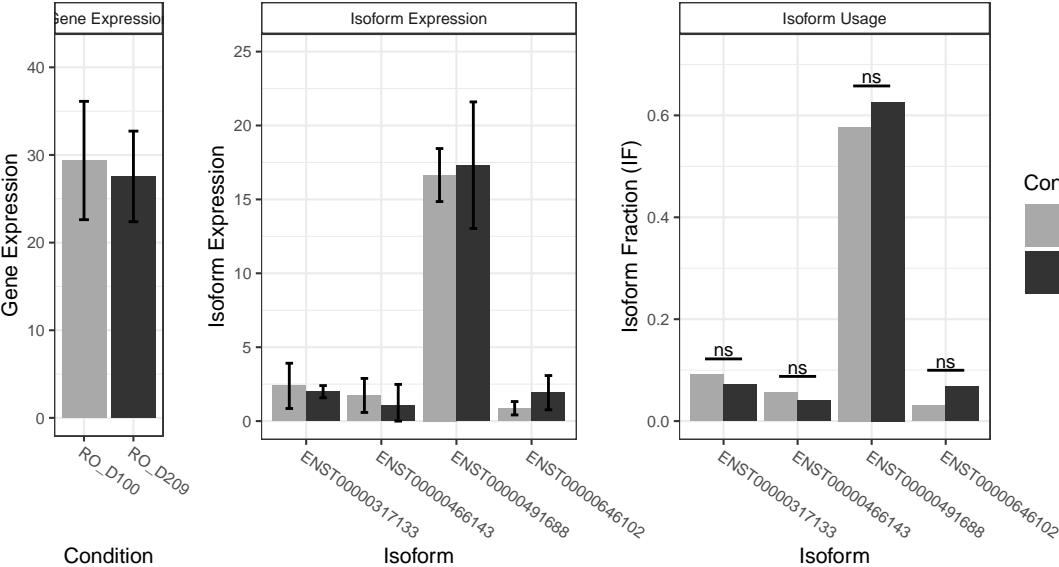
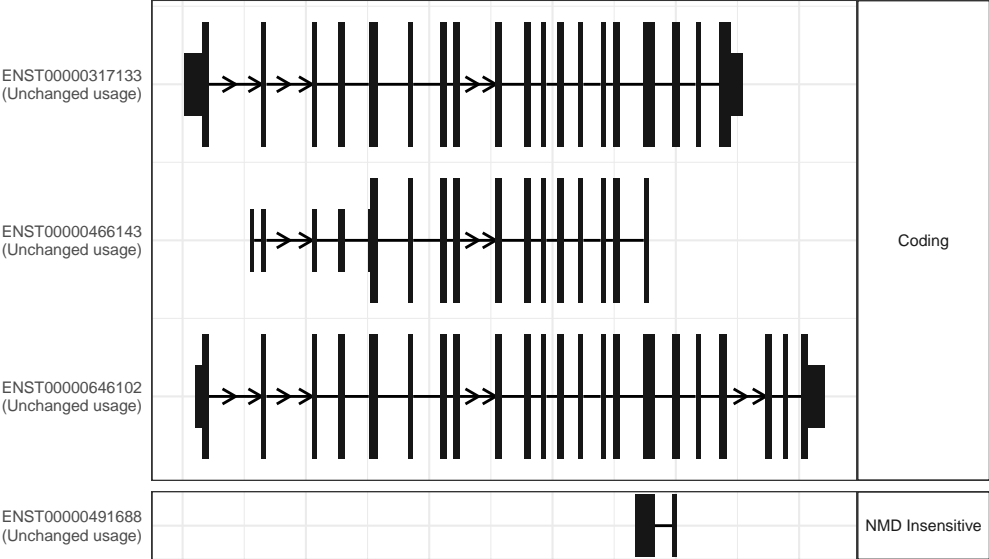
The isoform switch in ARHGEF12 (RO_D100 vs RO_D209)



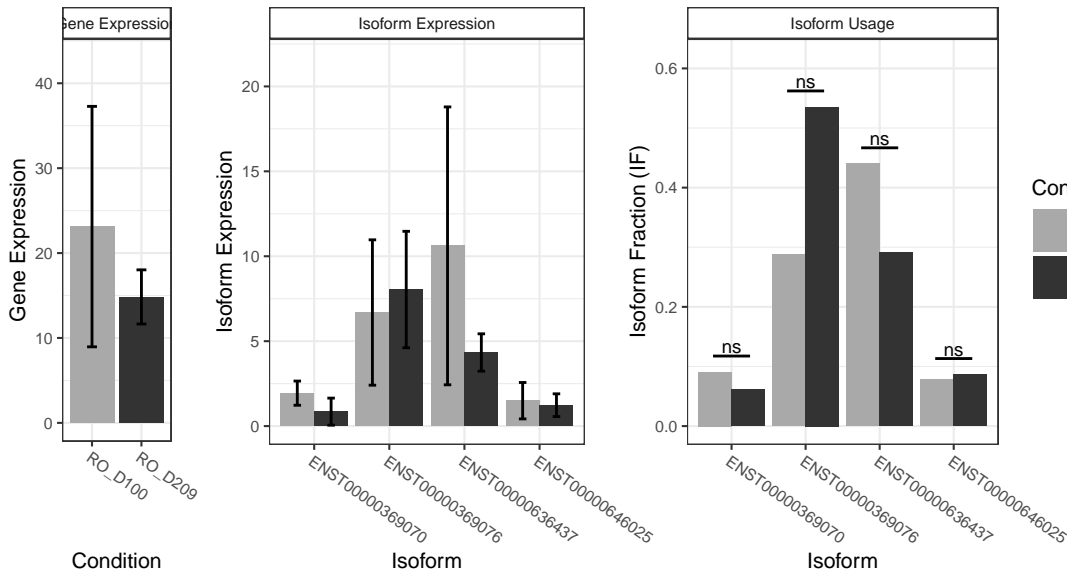
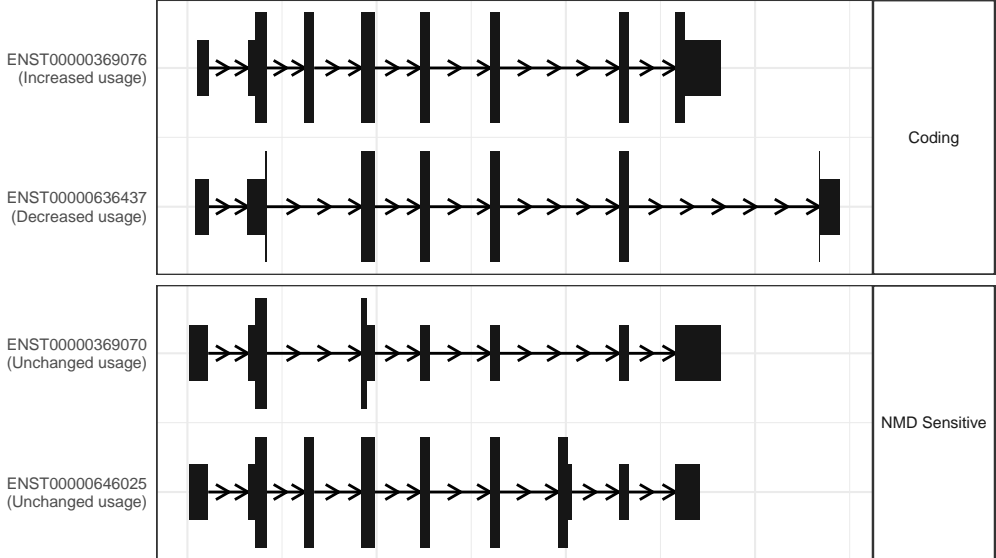
The isoform switch in RFC5 (RO_D100 vs RO_D209)



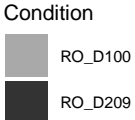
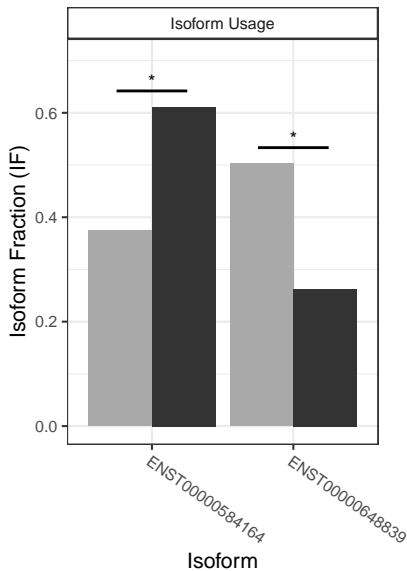
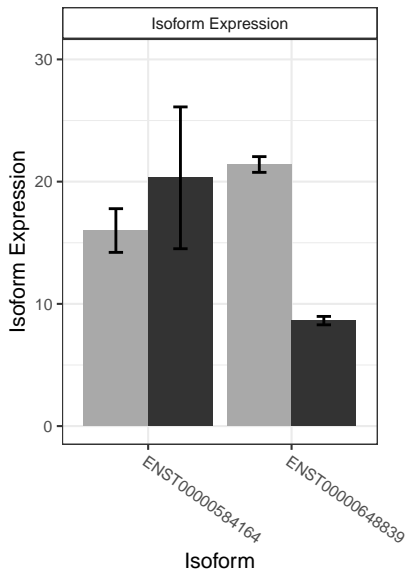
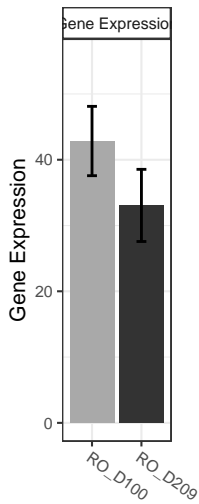
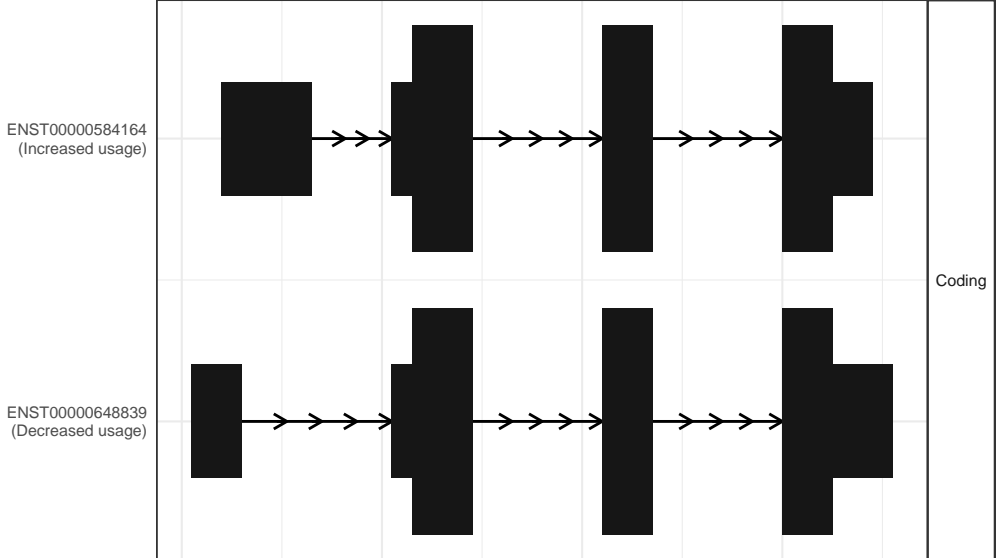
The isoform switch in ARHGEF7 (RO_D100 vs RO_D209)



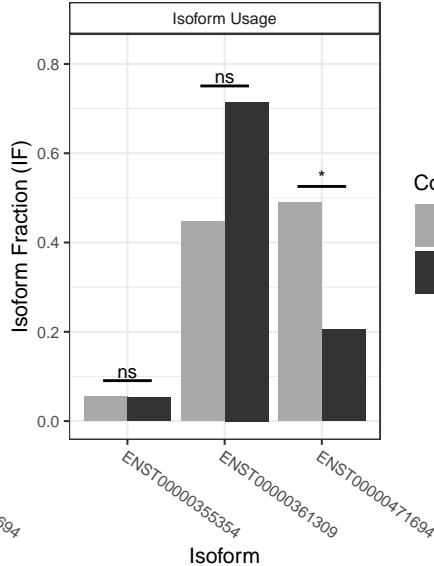
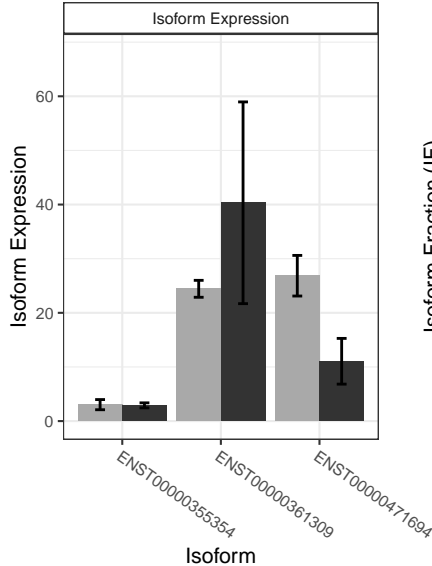
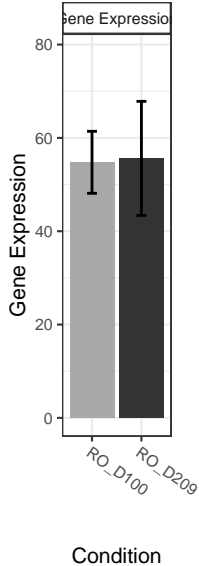
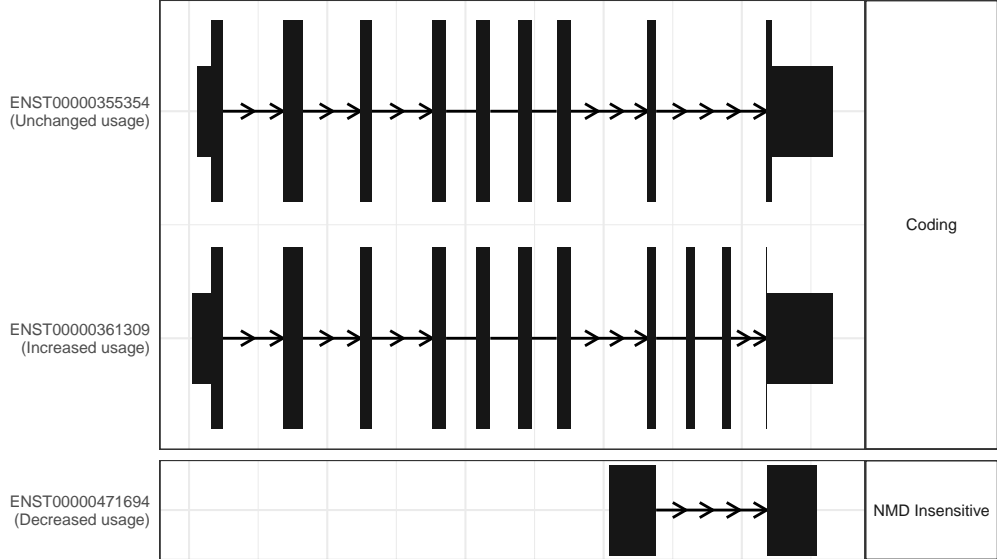
The isoform switch in ATG5 (RO_D100 vs RO_D209)



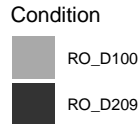
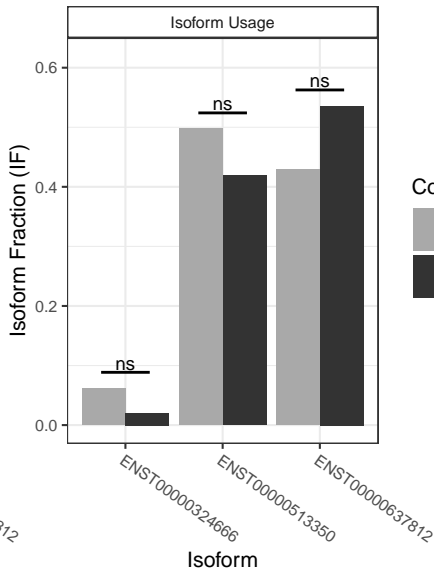
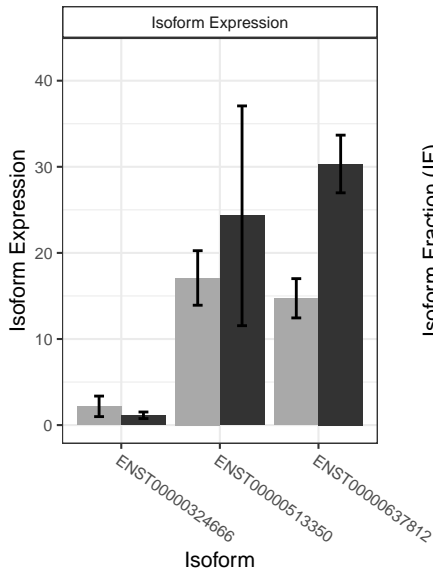
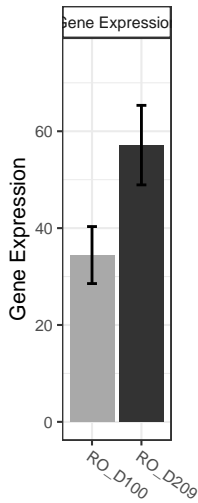
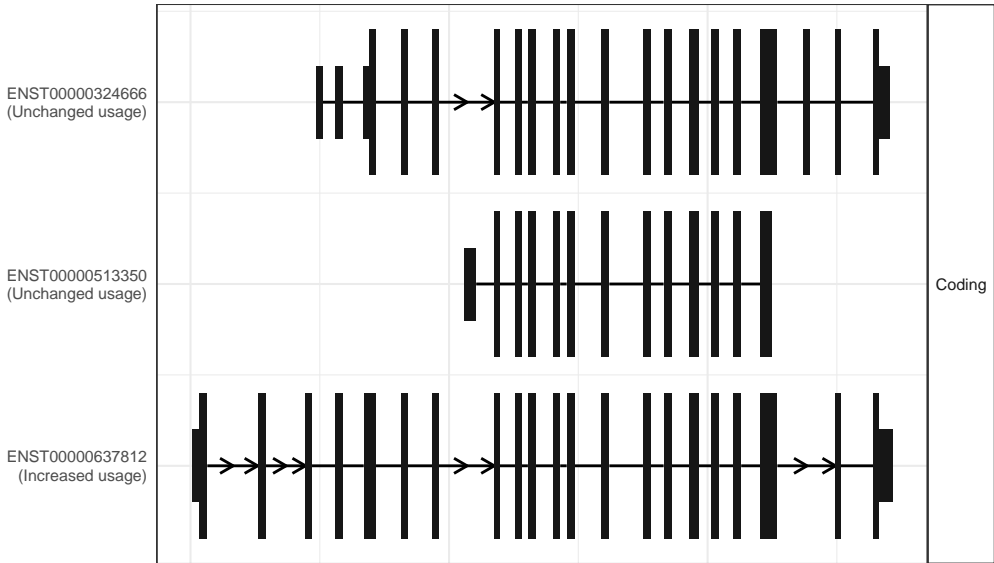
The isoform switch in RPL26 (RO_D100 vs RO_D209)



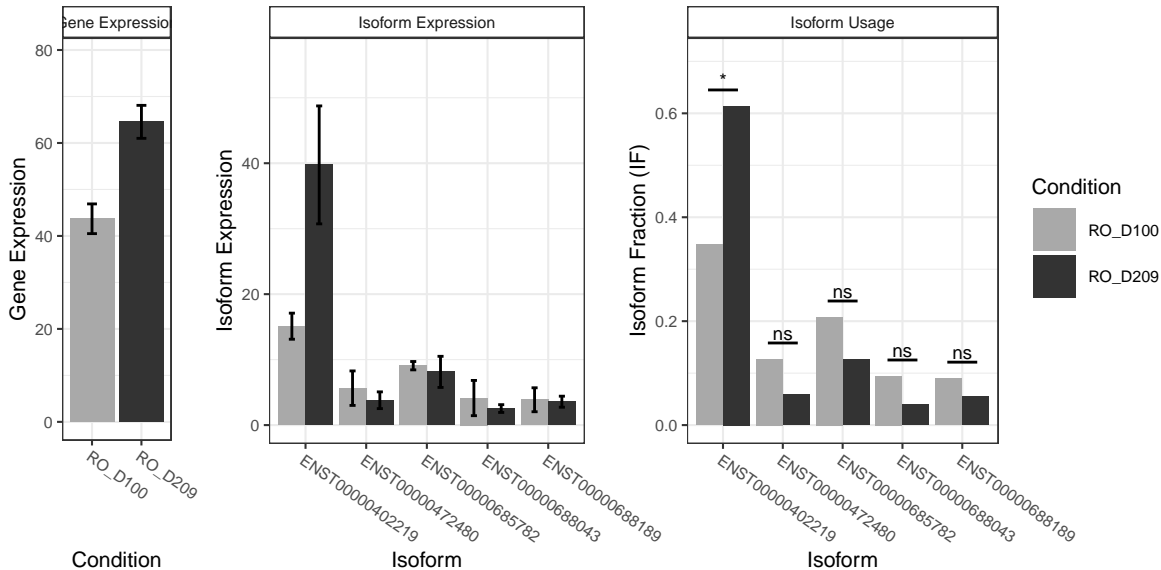
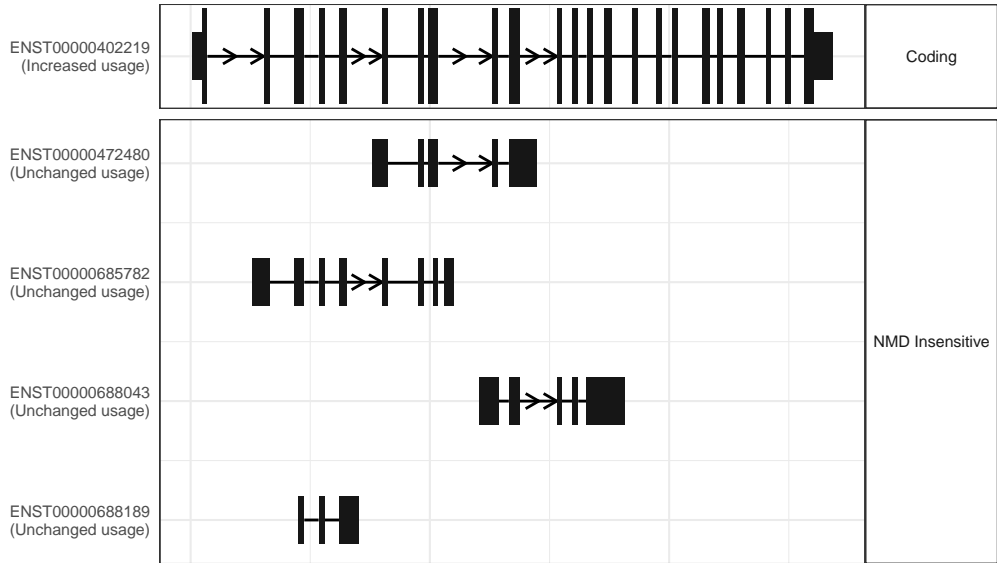
The isoform switch in CD47 (RO_D100 vs RO_D209)



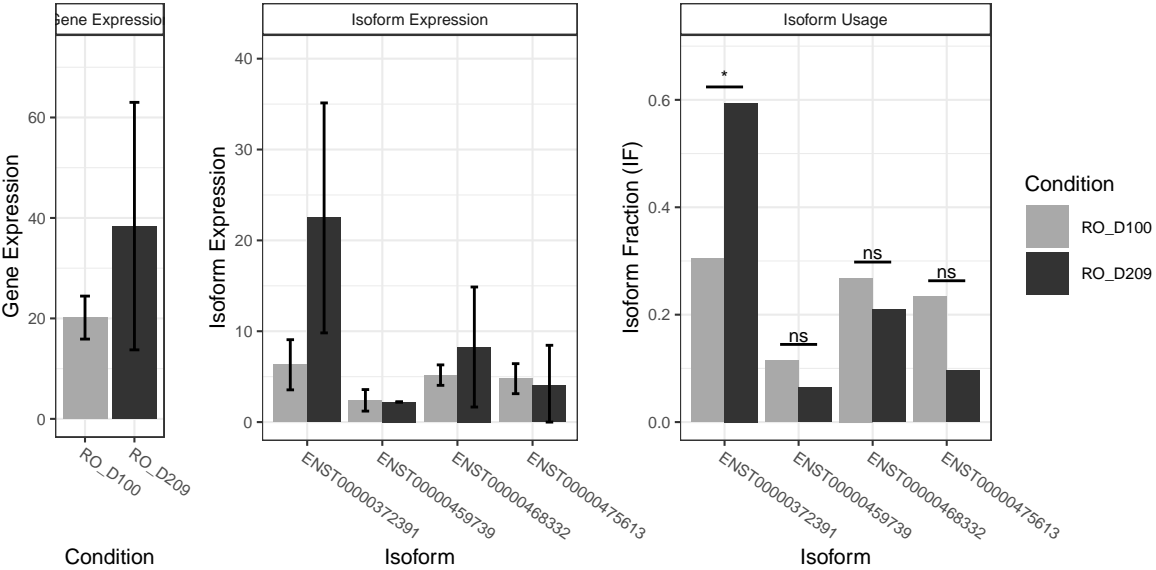
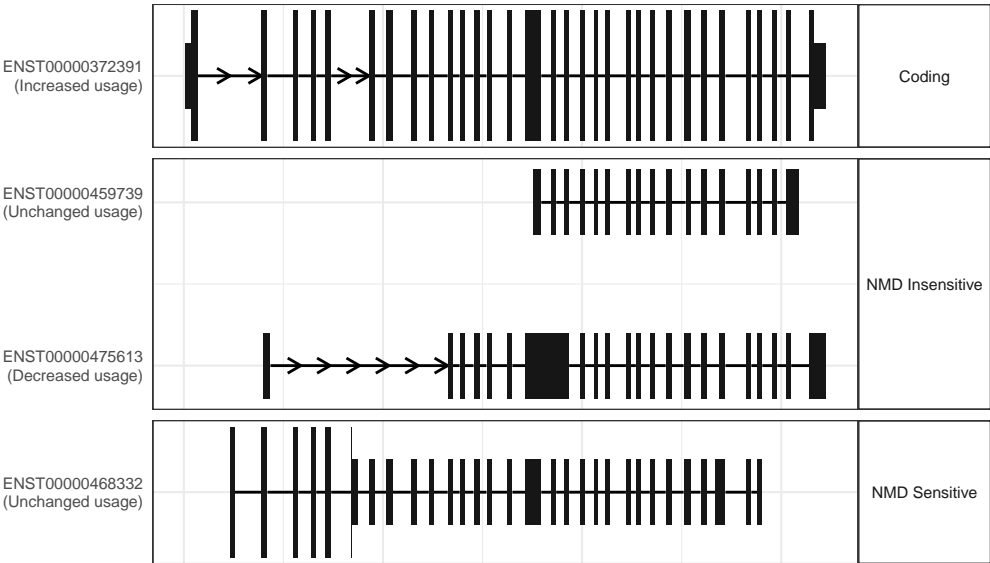
The isoform switch in FAM193A (RO_D100 vs RO_D209)



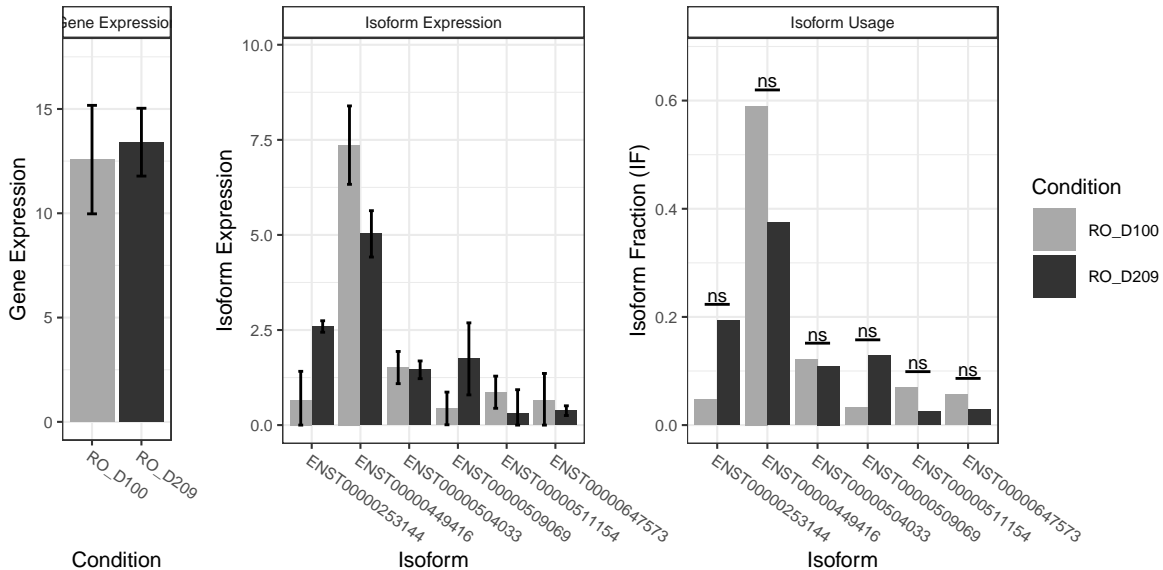
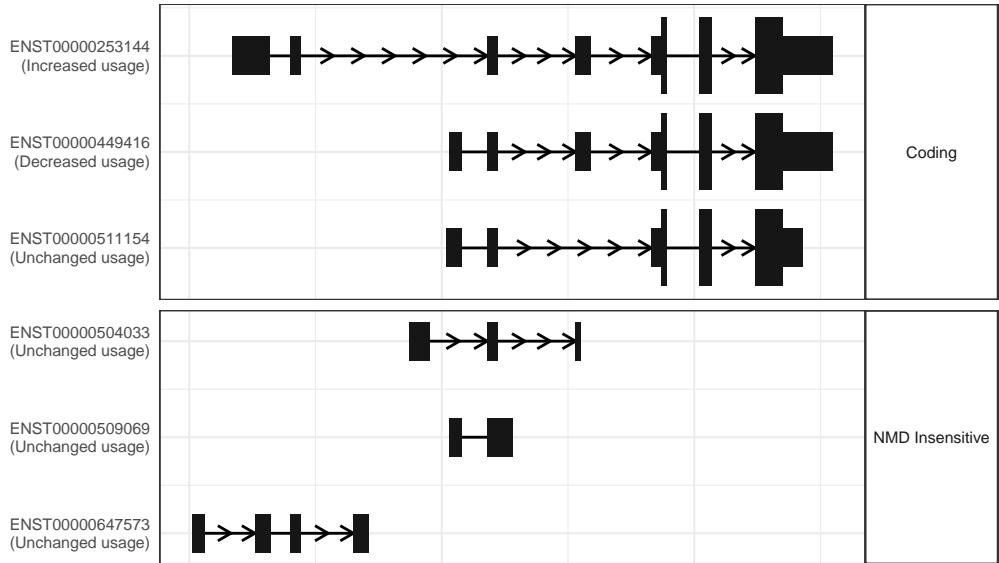
The isoform switch in SOS1 (RO_D100 vs RO_D209)



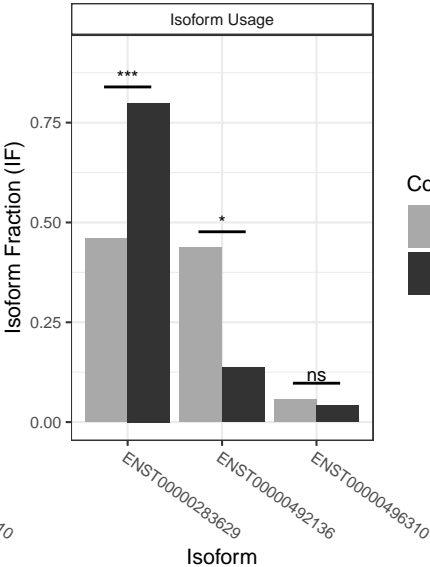
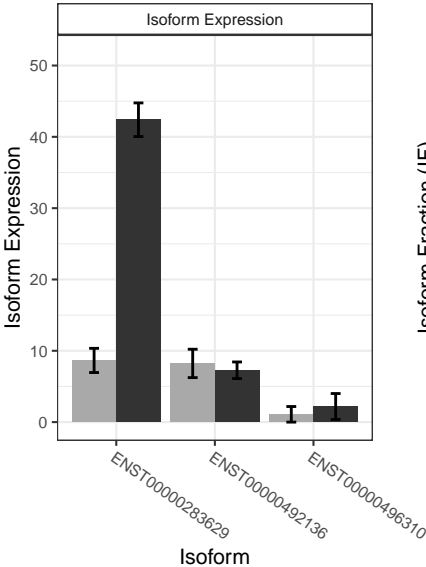
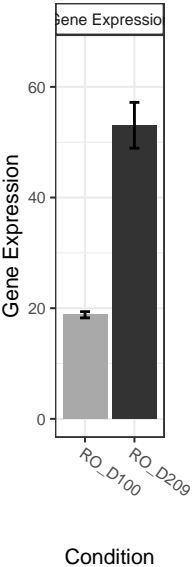
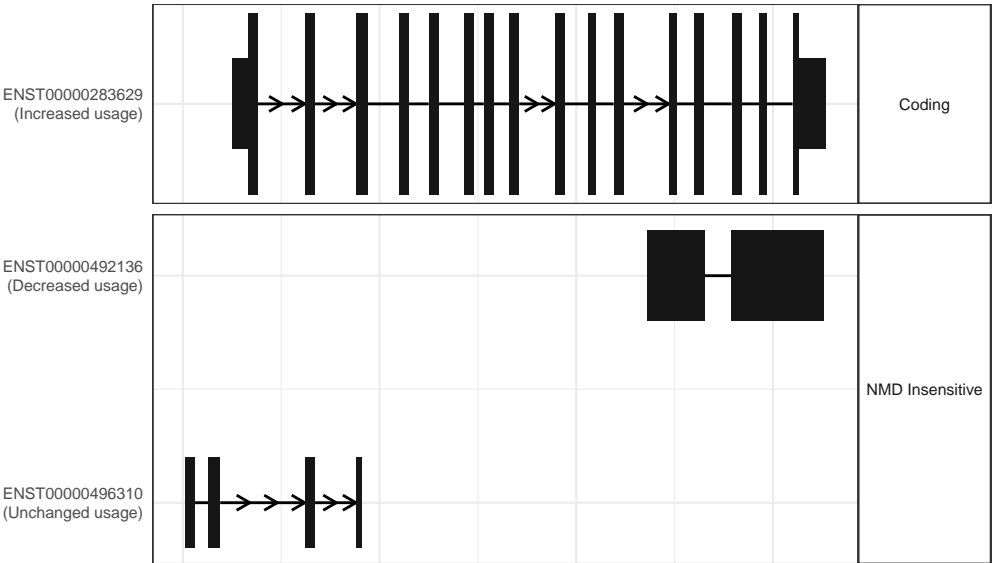
The isoform switch in DLG5 (RO_D100 vs RO_D209)



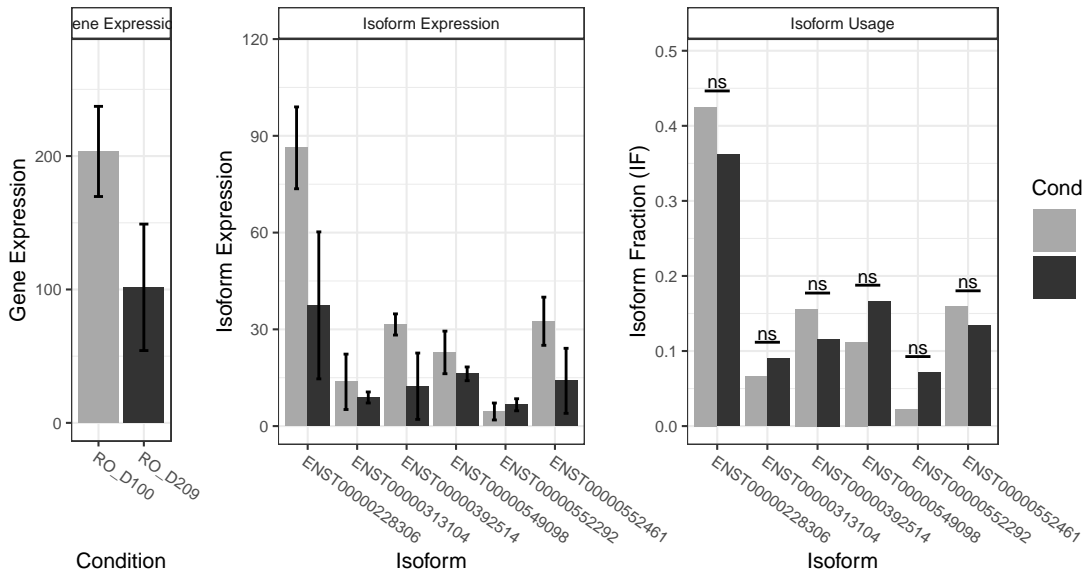
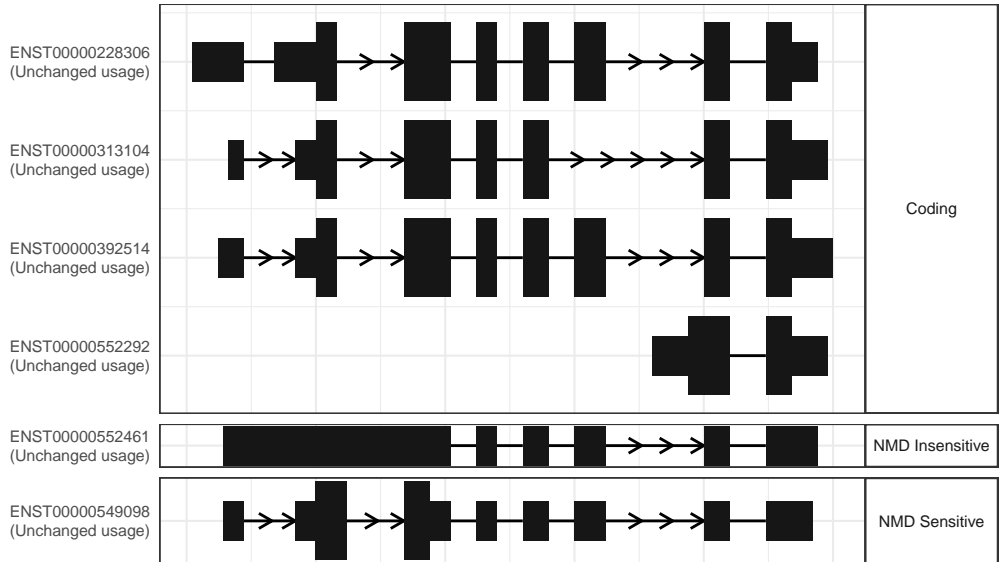
The isoform switch in ZNF331 (RO_D100 vs RO_D209)



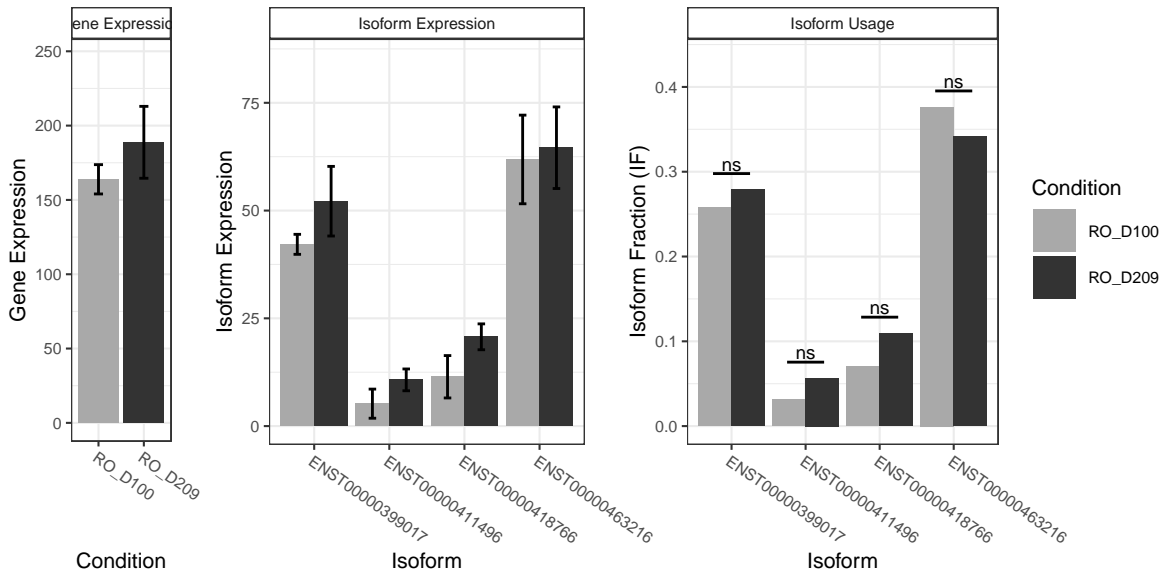
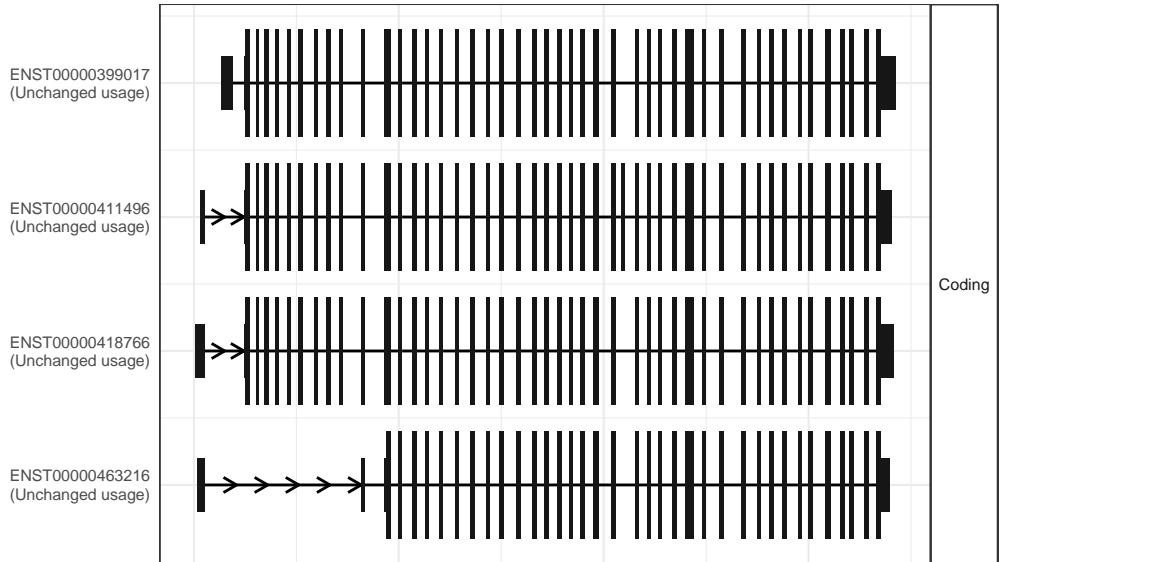
The isoform switch in UBP1 (RO_D100 vs RO_D209)



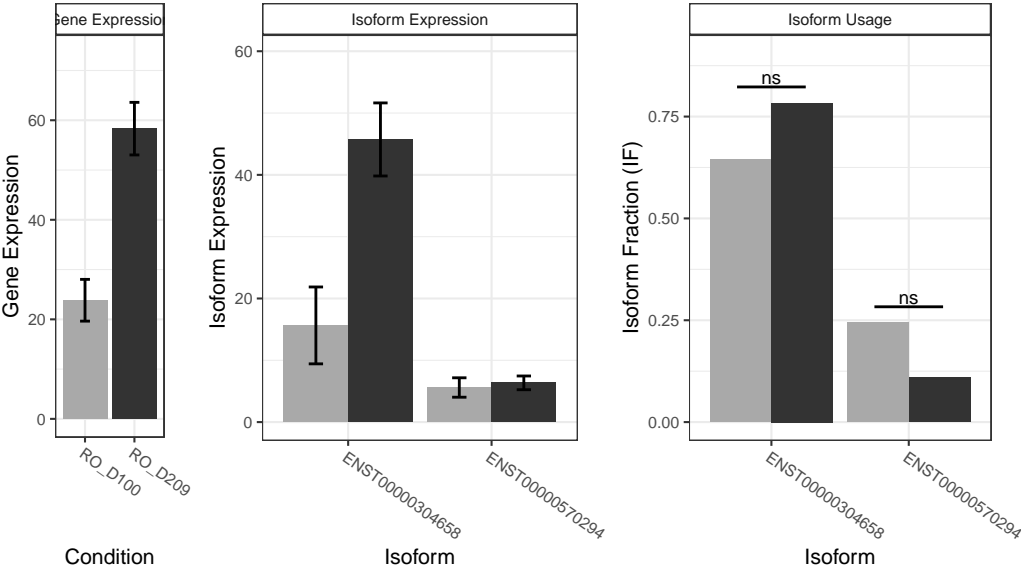
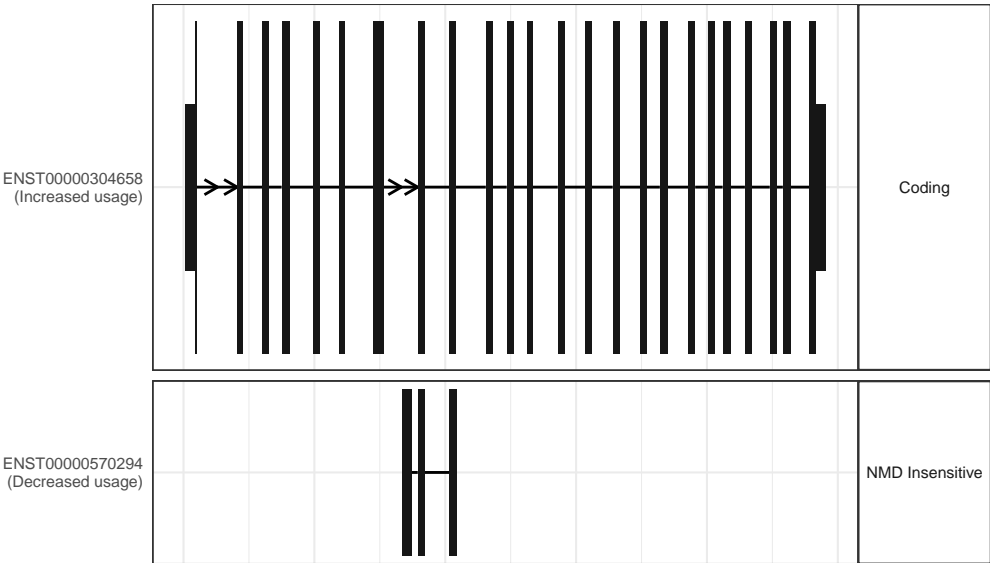
The isoform switch in RPLP0 (RO_D100 vs RO_D209)



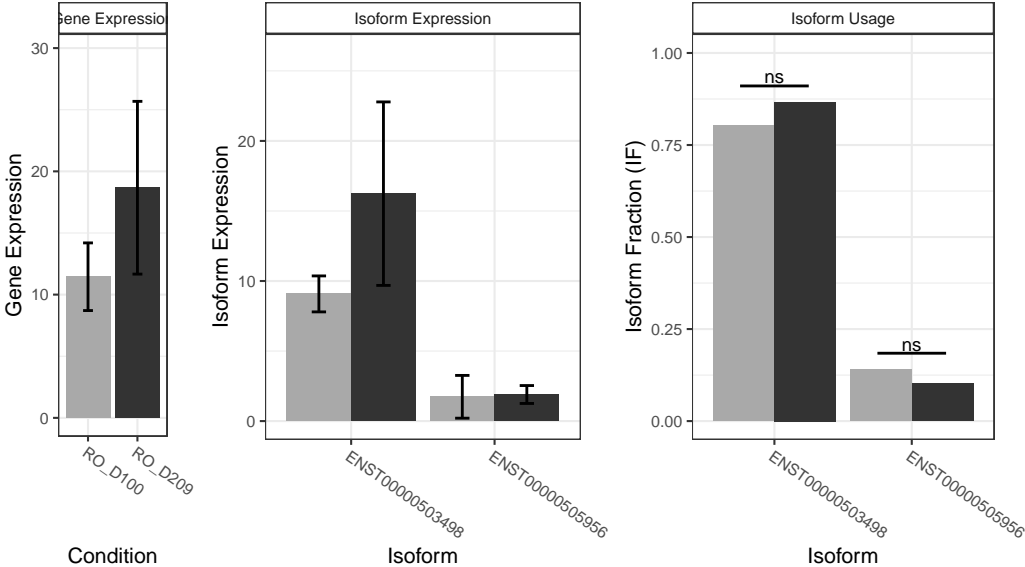
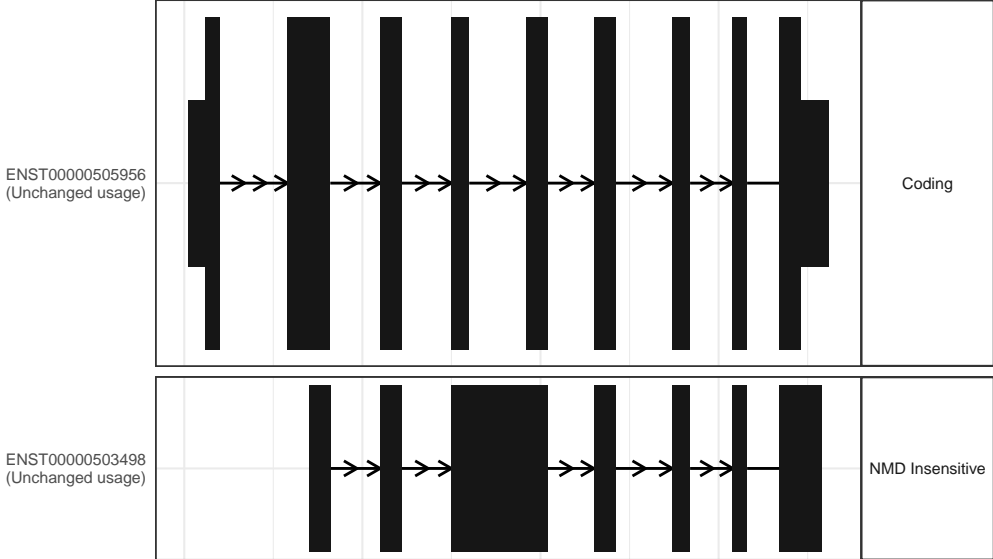
The isoform switch in TTC3 (RO_D100 vs RO_D209)



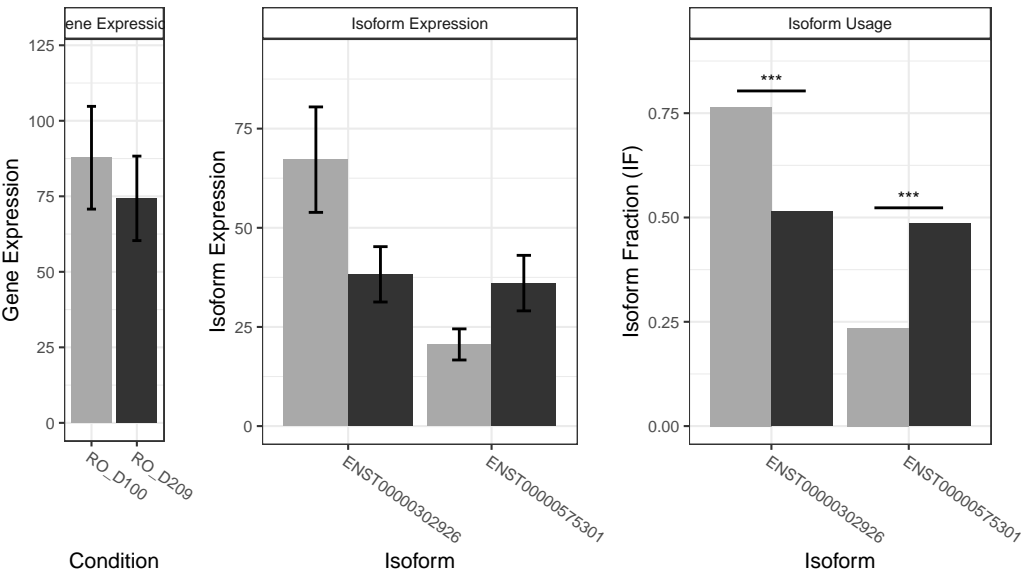
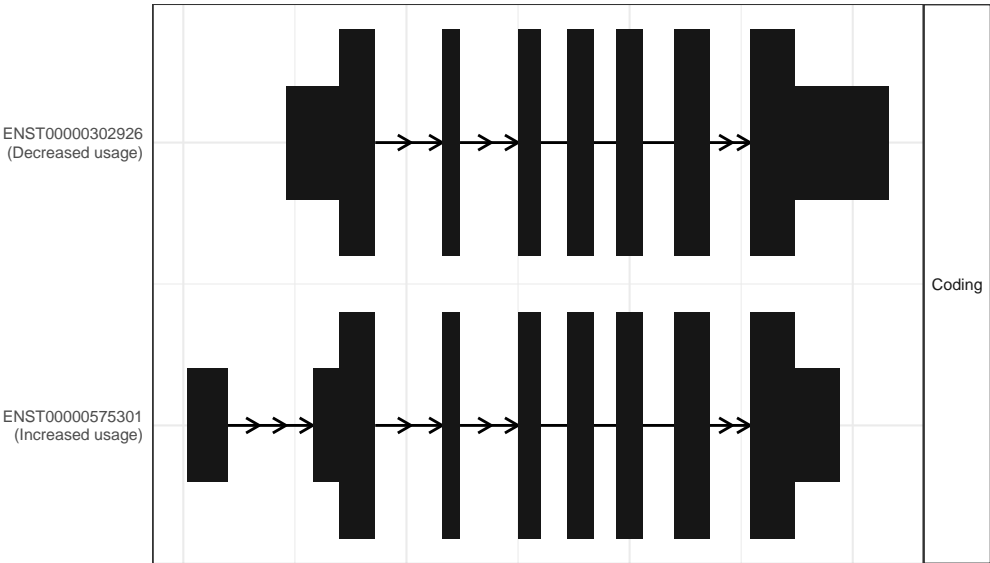
The isoform switch in XPO6 (RO_D100 vs RO_D209)



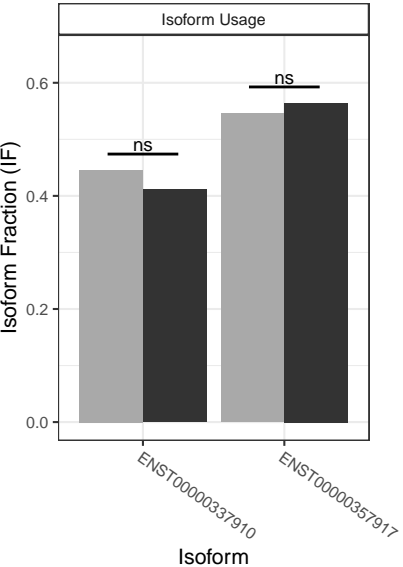
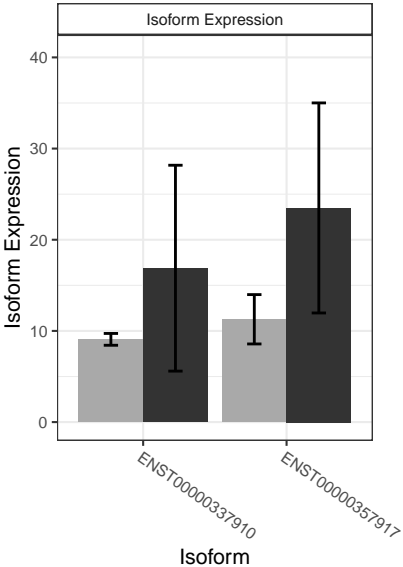
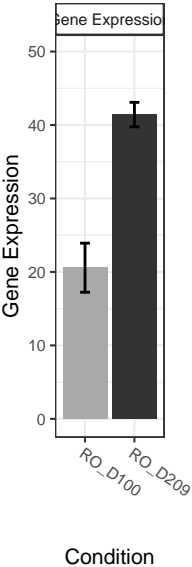
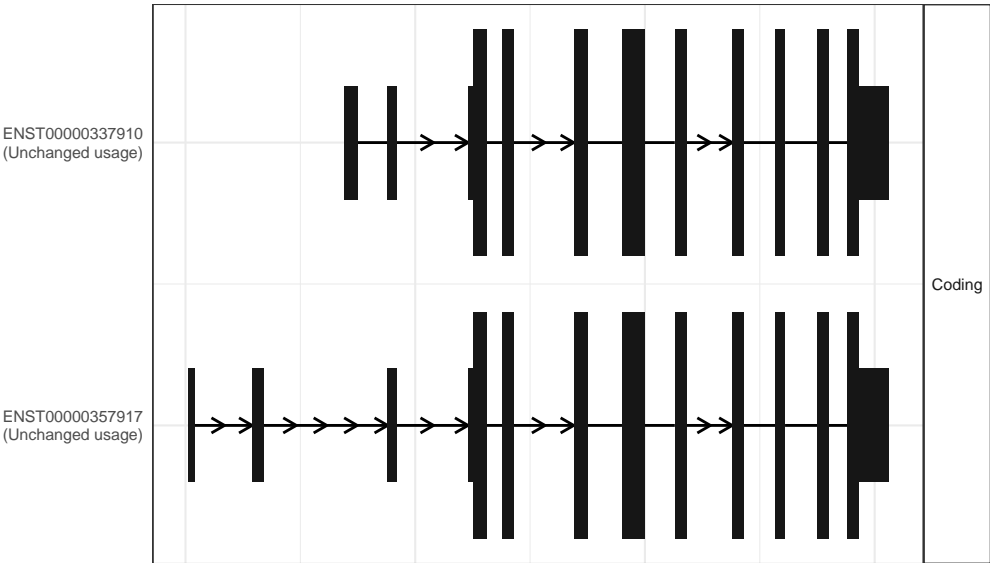
The isoform switch in EFCAB12 (RO_D100 vs RO_D209)



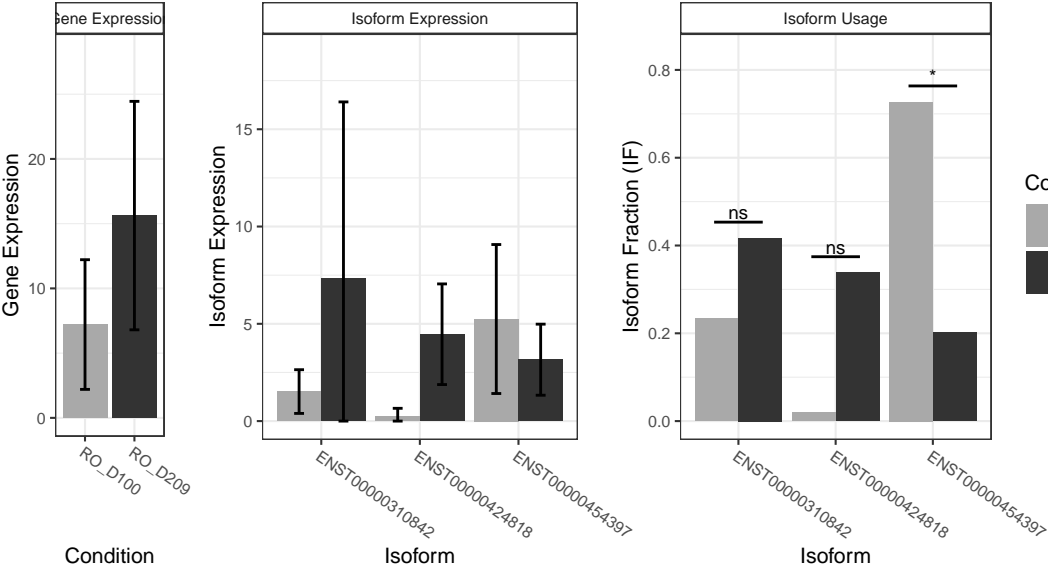
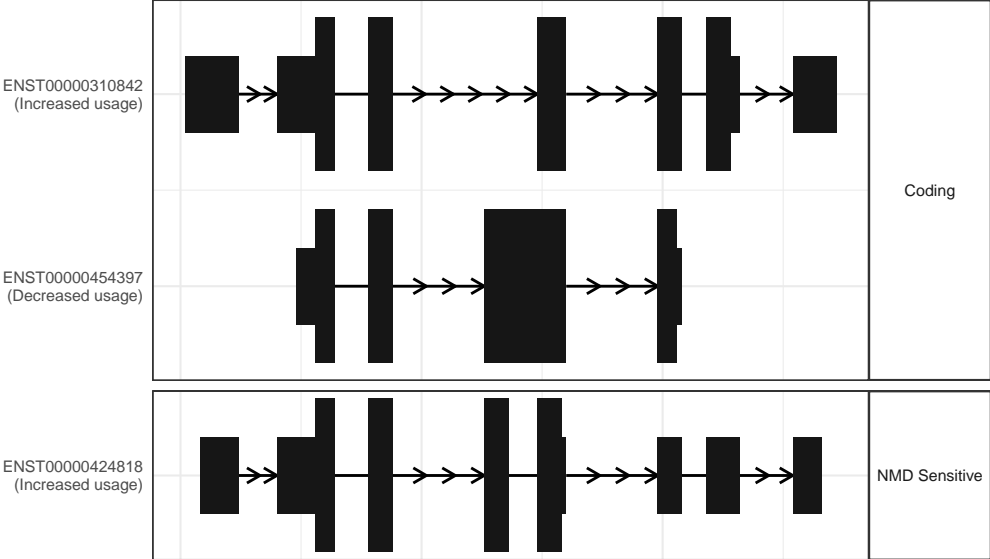
The isoform switch in NLGN2 (RO_D100 vs RO_D209)



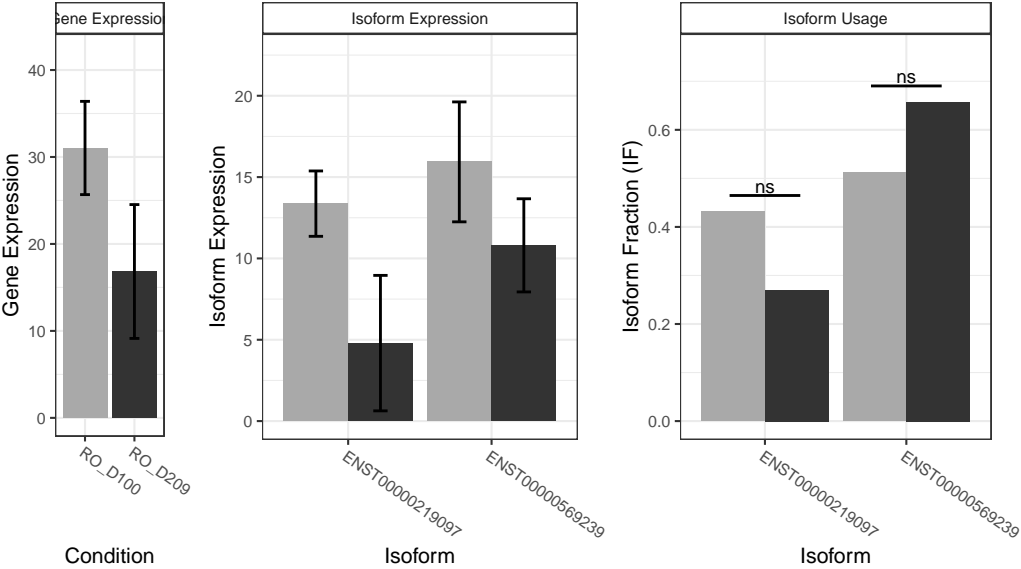
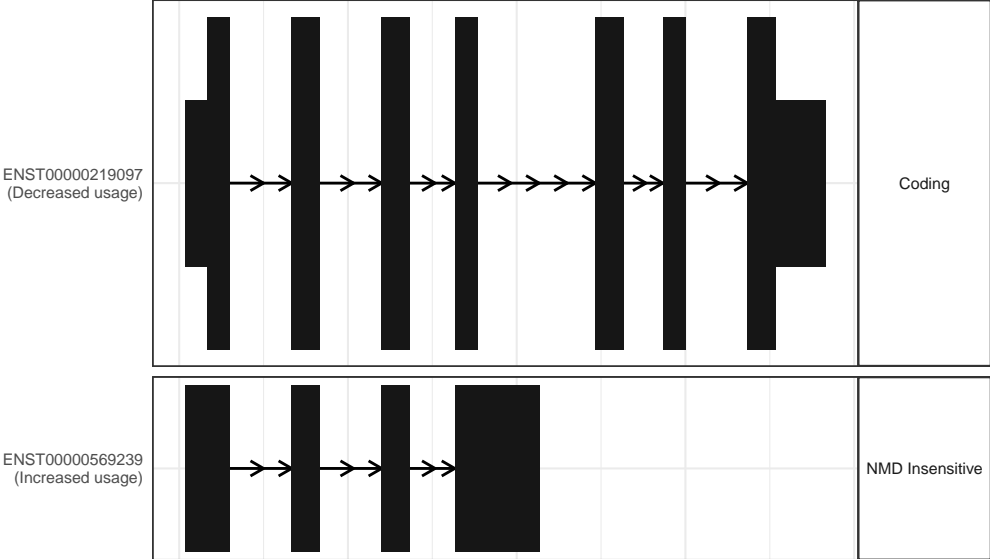
The isoform switch in RHOBTB1 (RO_D100 vs RO_D209)



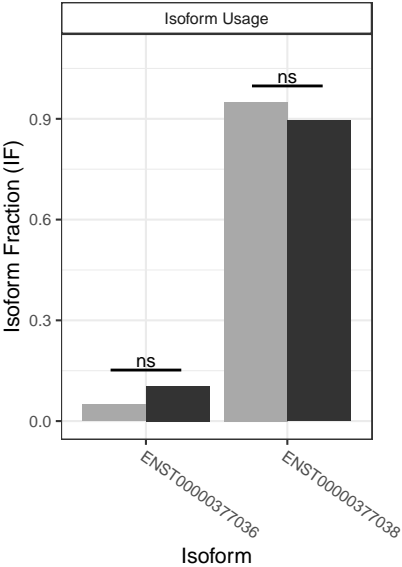
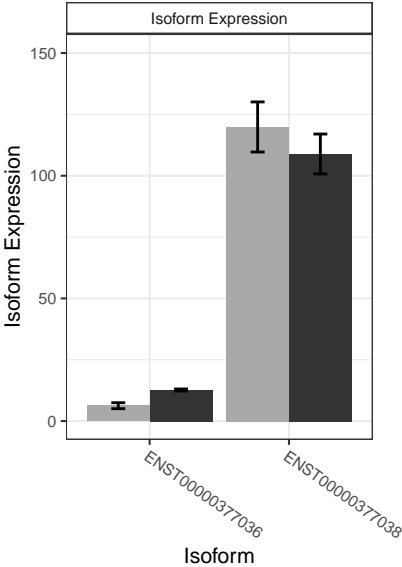
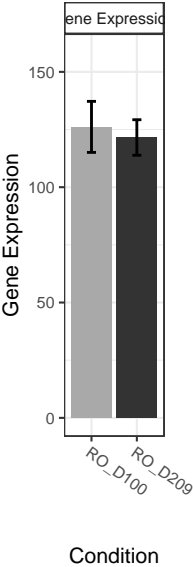
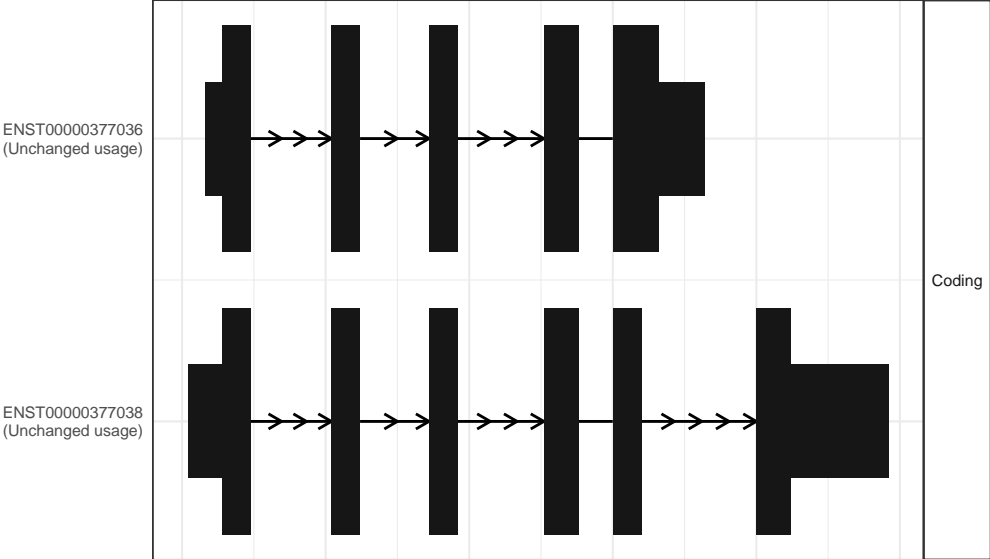
The isoform switch in POMZP3 (RO_D100 vs RO_D209)



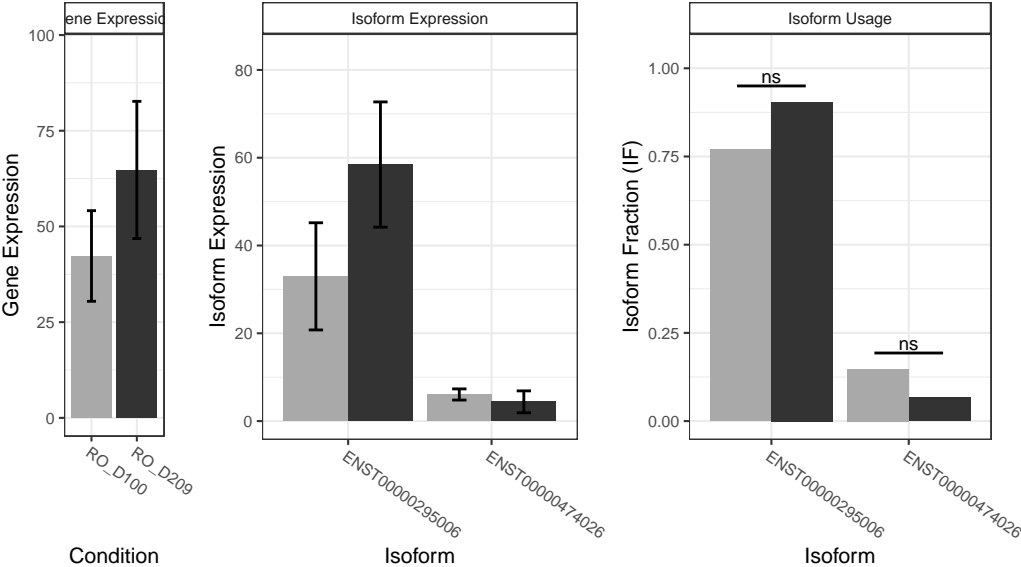
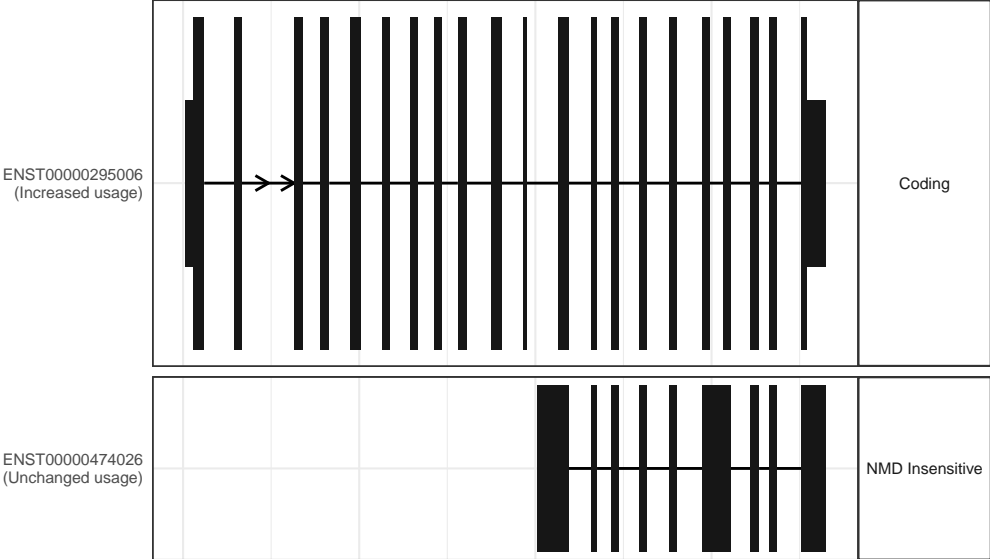
The isoform switch in ORC6 (RO_D100 vs RO_D209)



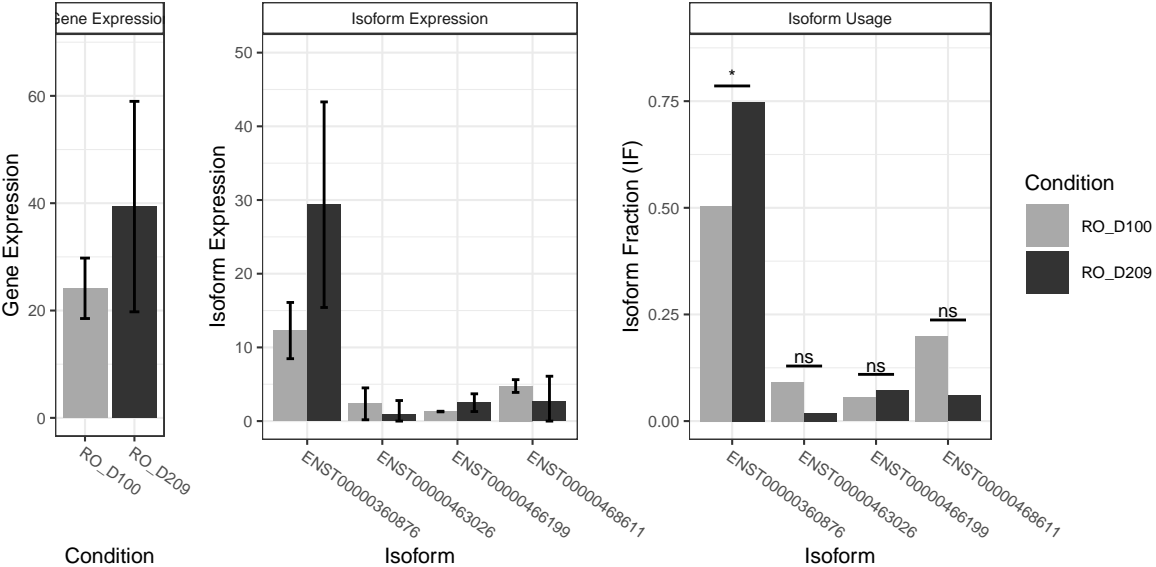
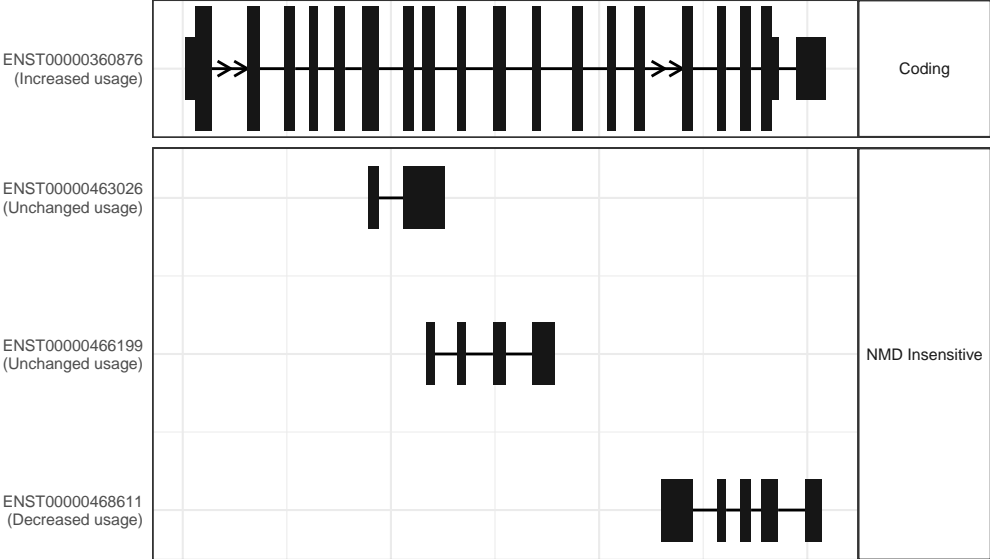
The isoform switch in DFFA (RO_D100 vs RO_D209)



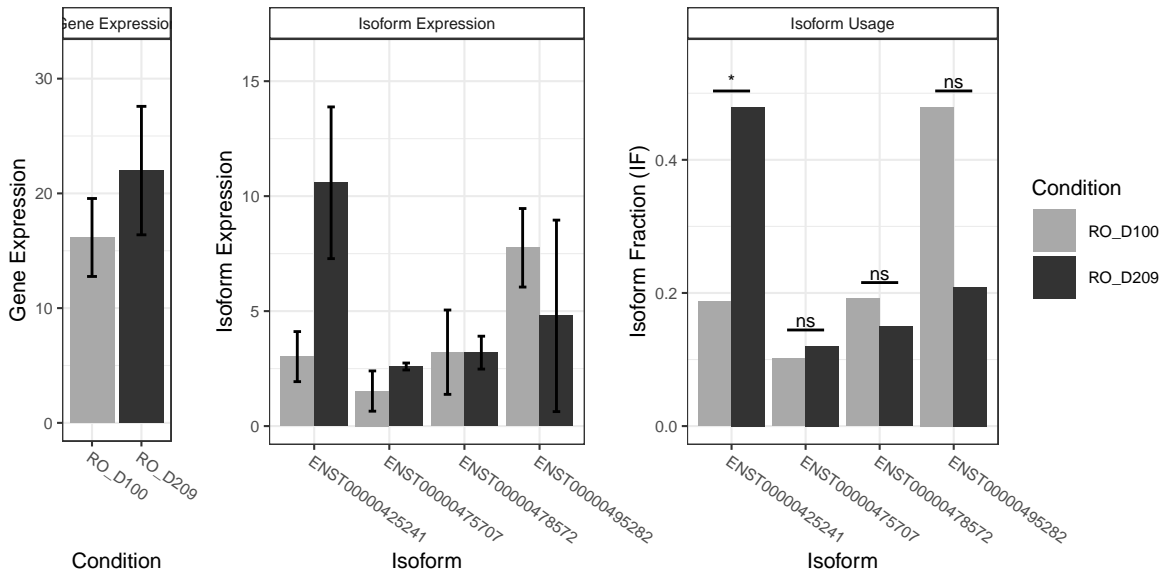
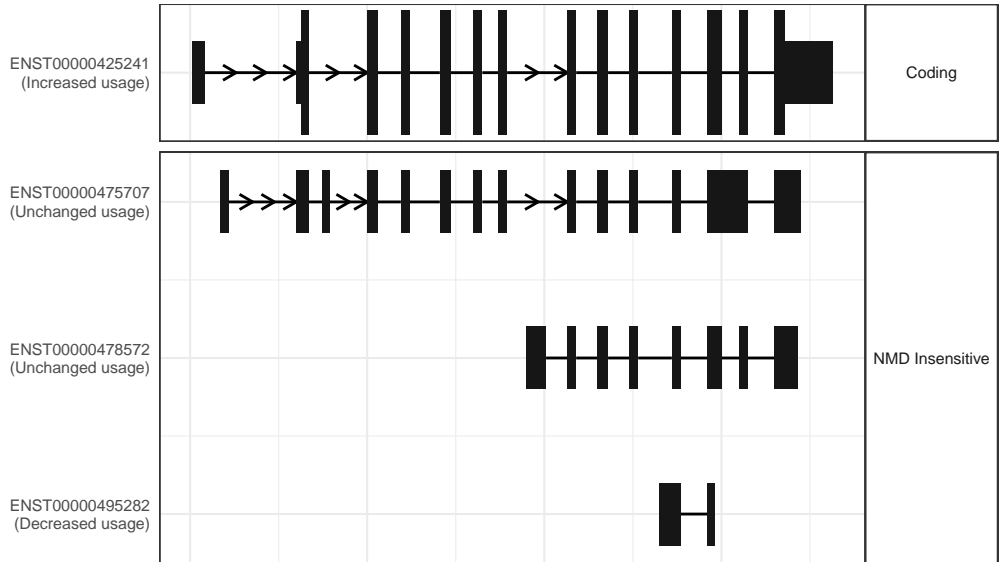
The isoform switch in CAPN2 (RO_D100 vs RO_D209)



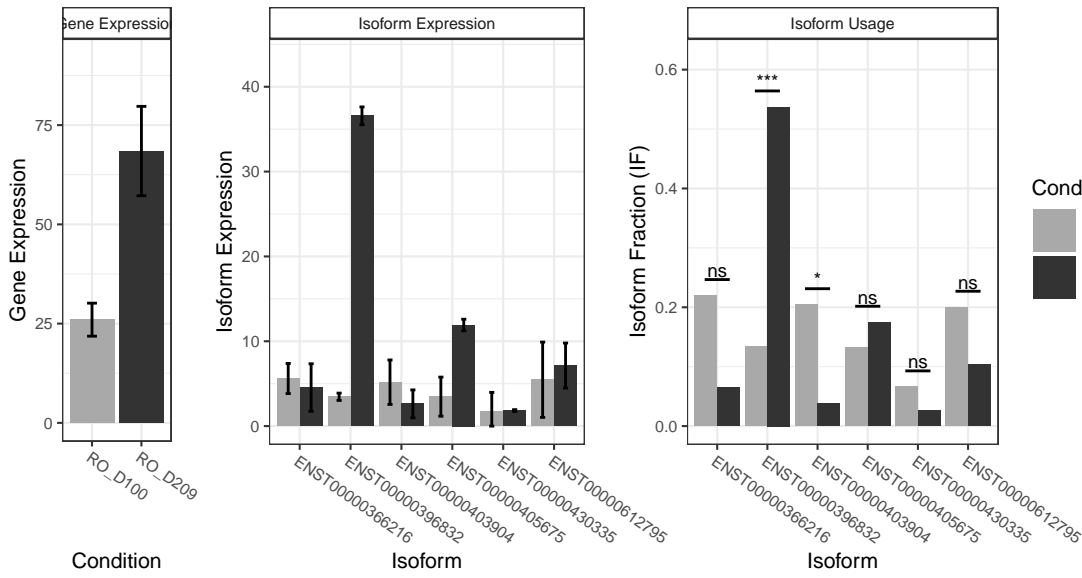
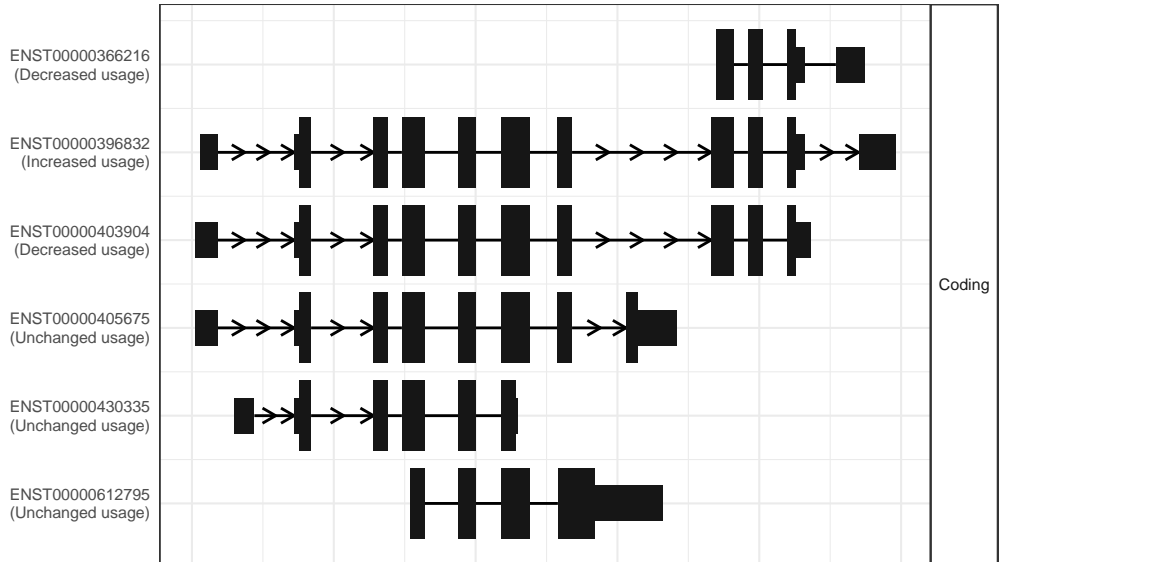
The isoform switch in EIF3B (RO_D100 vs RO_D209)



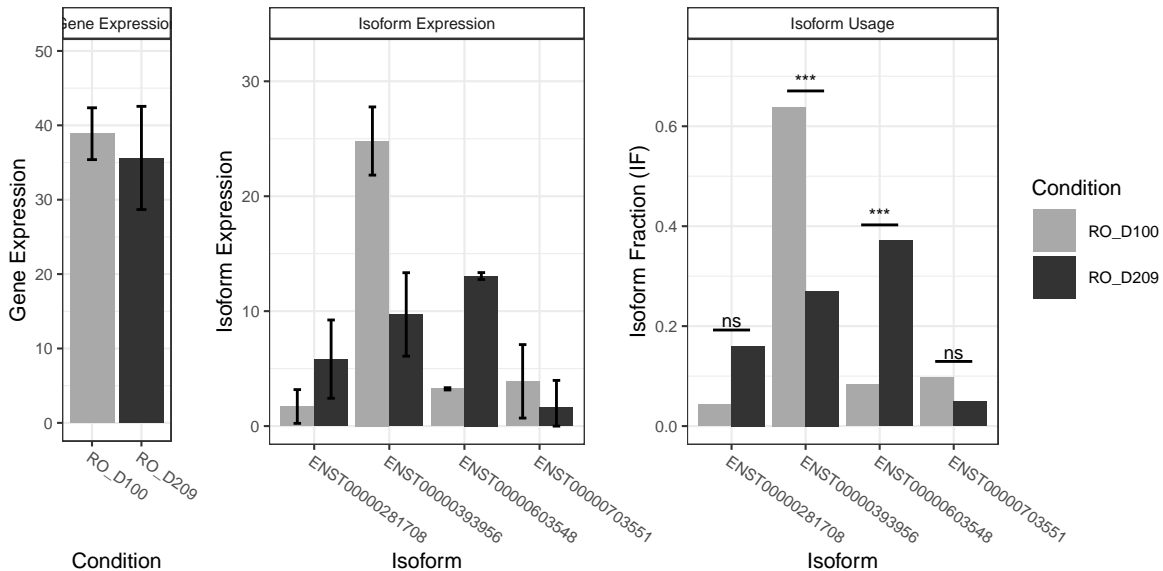
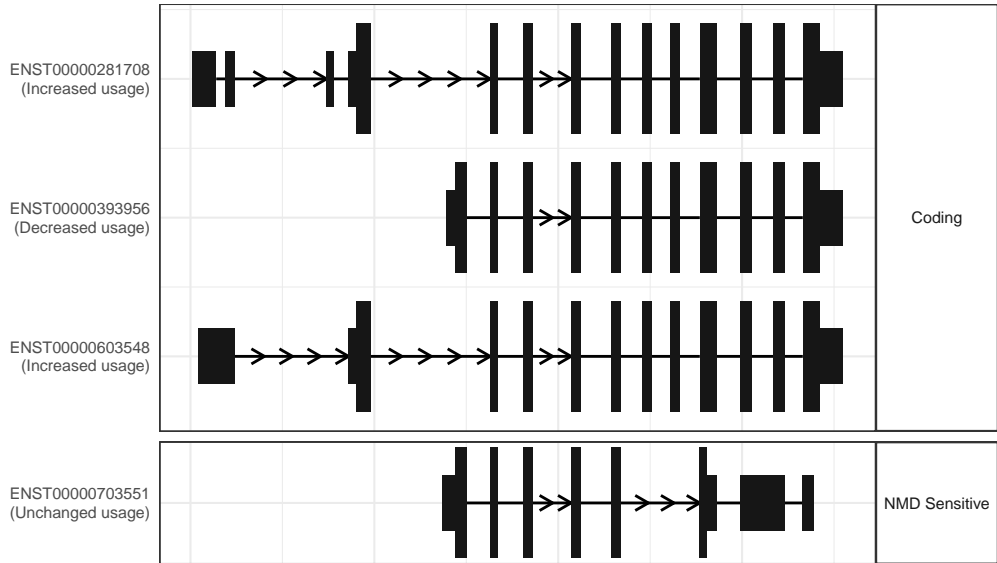
The isoform switch in NR2C2 (RO_D100 vs RO_D209)



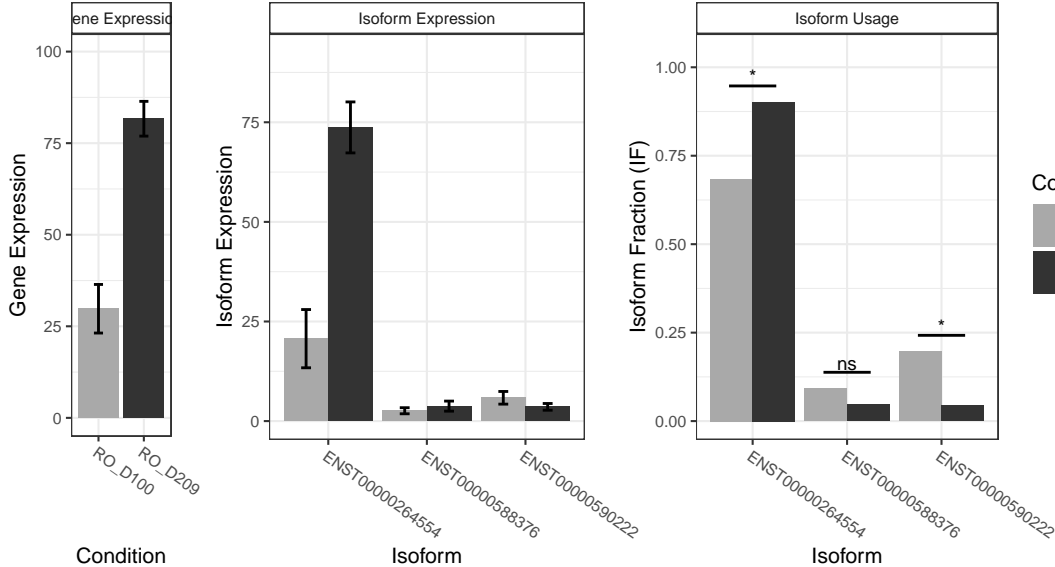
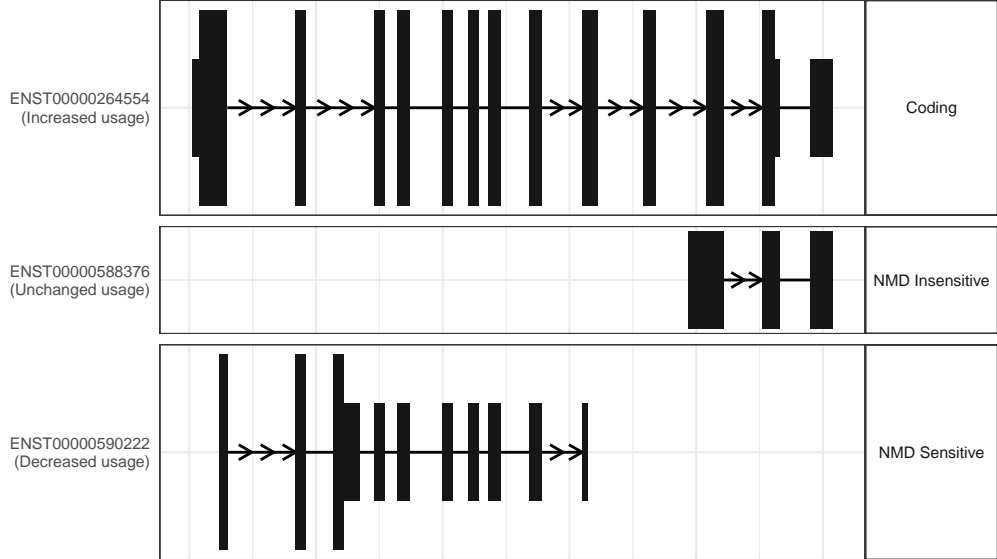
The isoform switch in CSNK1E (RO_D100 vs RO_D209)



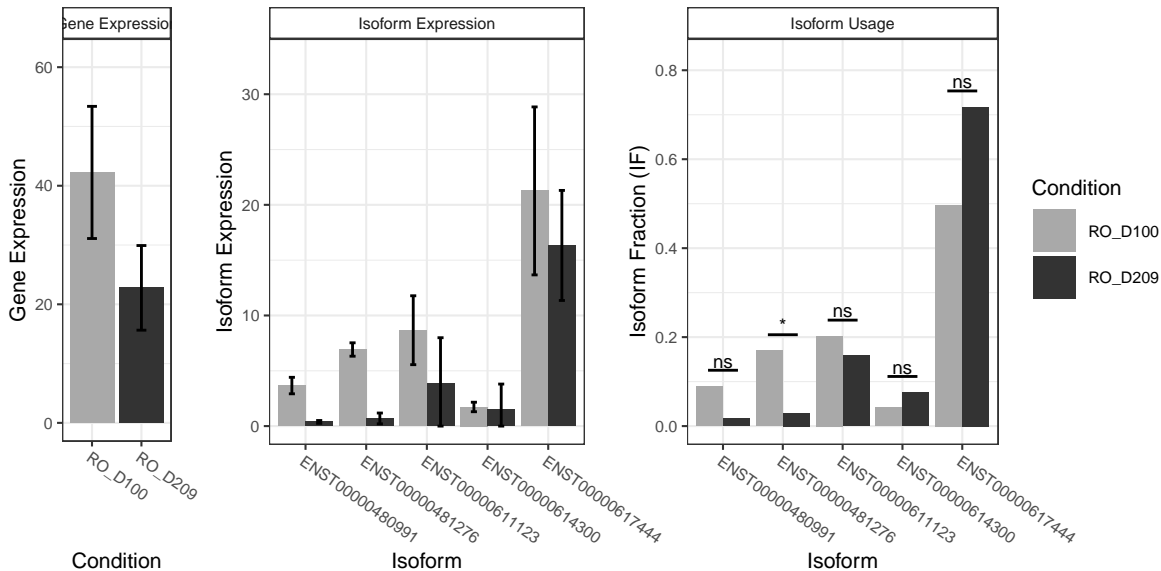
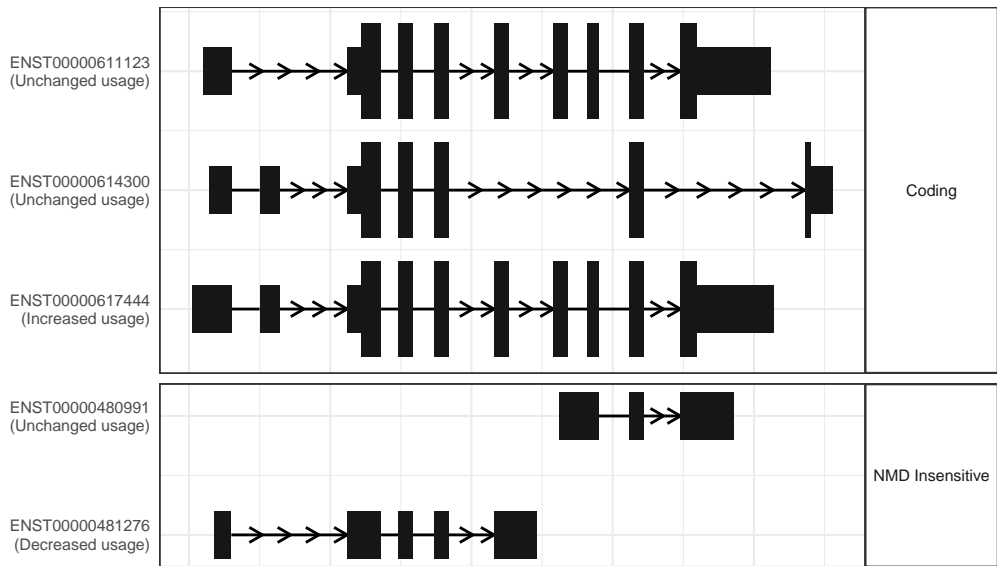
The isoform switch in FBXW7 (RO_D100 vs RO_D209)



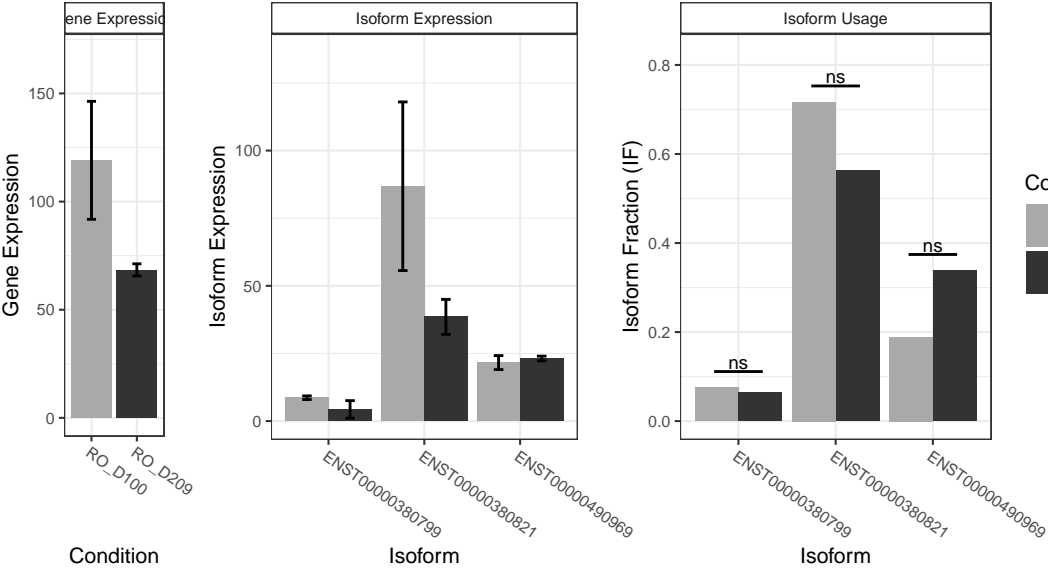
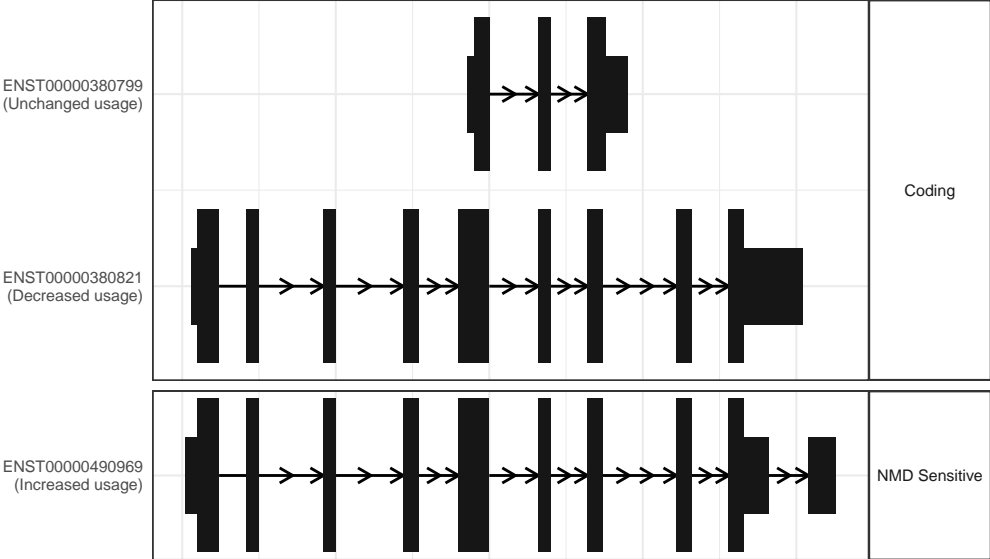
The isoform switch in SHC2 (RO_D100 vs RO_D209)



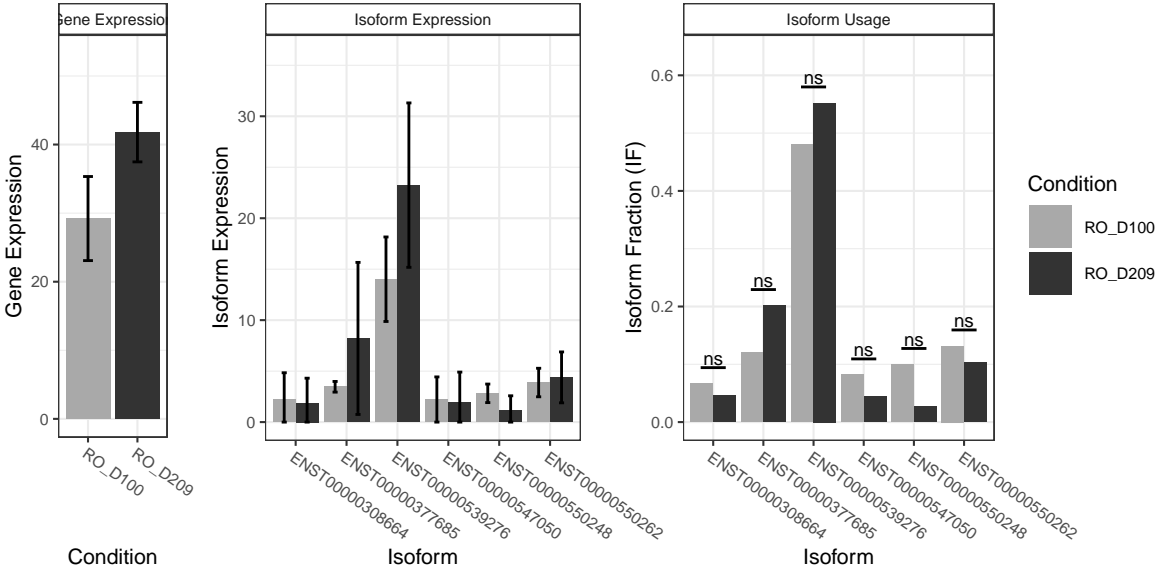
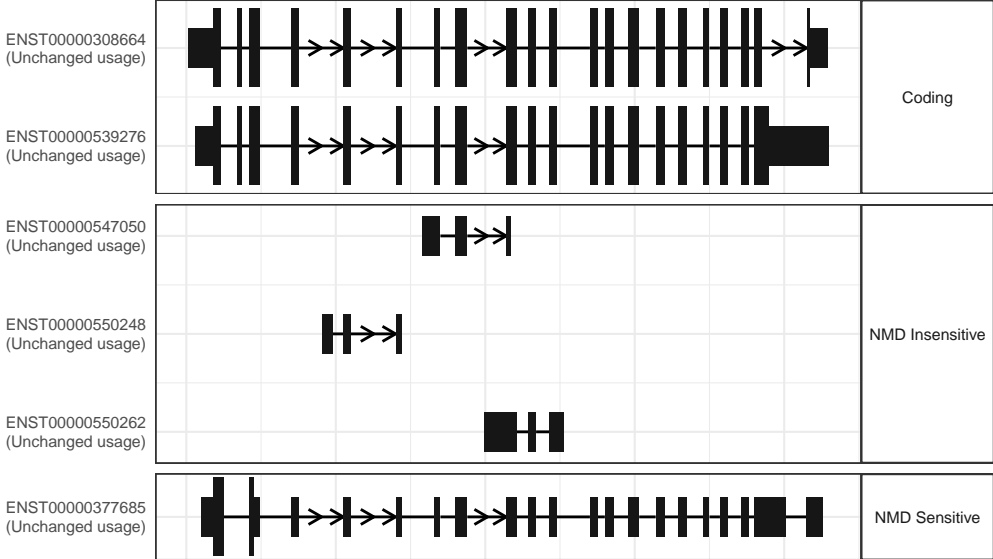
The isoform switch in SLC35E2B (RO_D100 vs RO_D209)



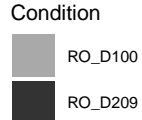
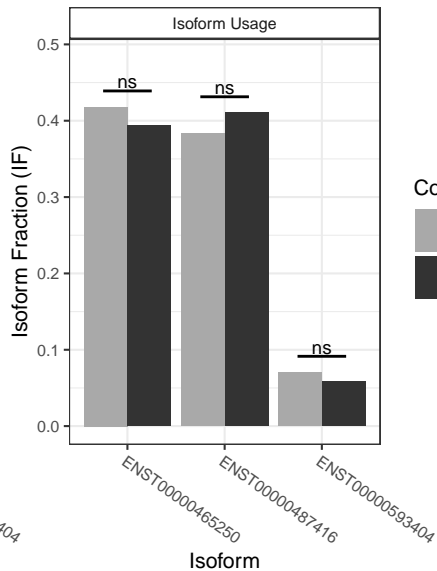
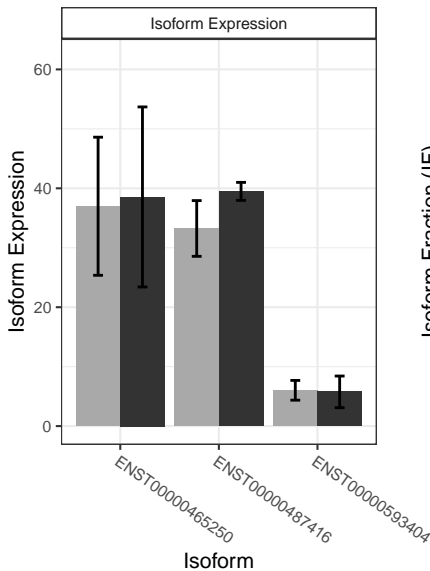
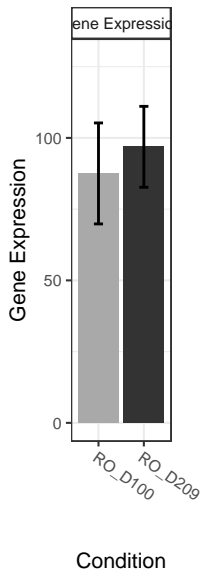
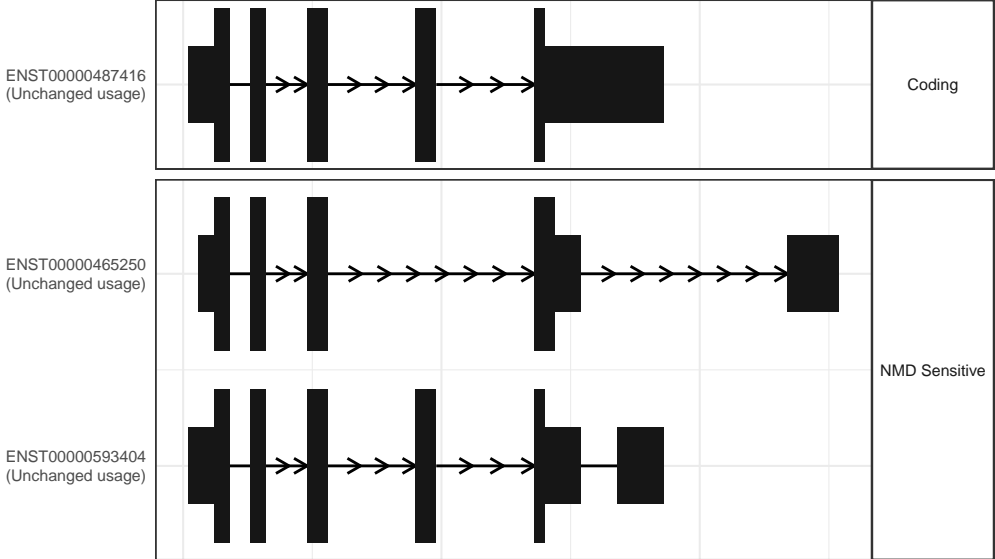
The isoform switch in SNAPC3 (RO_D100 vs RO_D209)



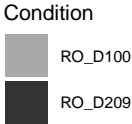
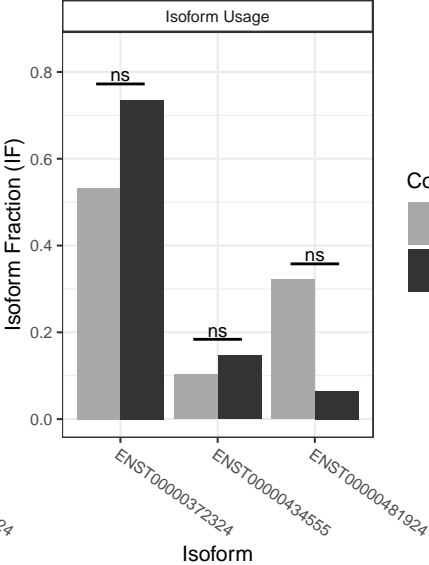
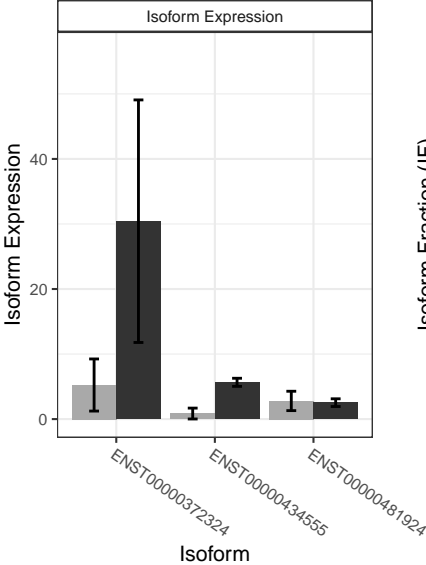
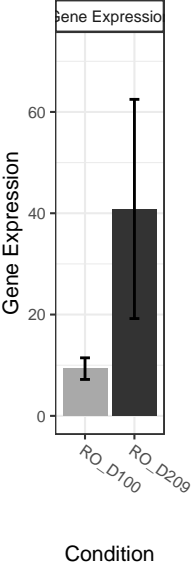
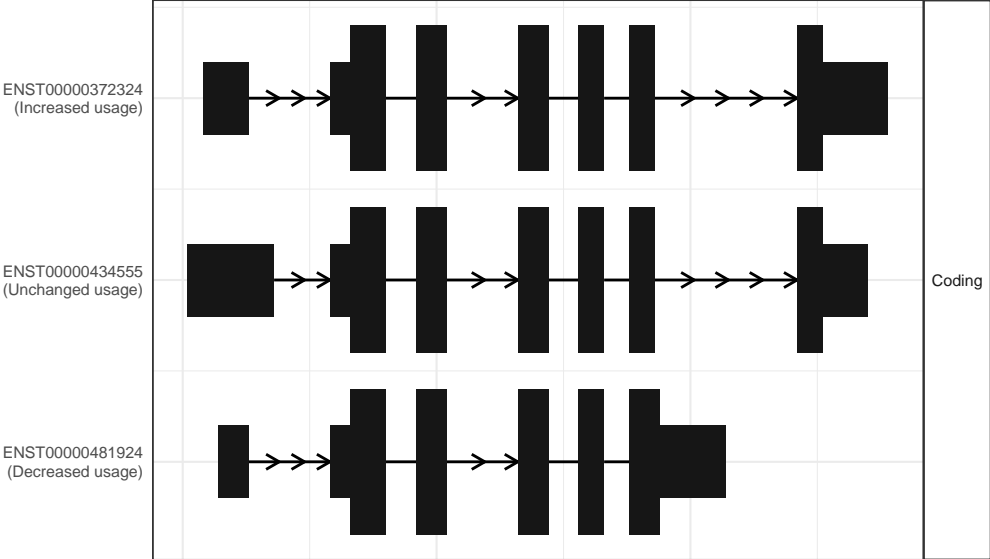
The isoform switch in ATP2A2 (RO_D100 vs RO_D209)



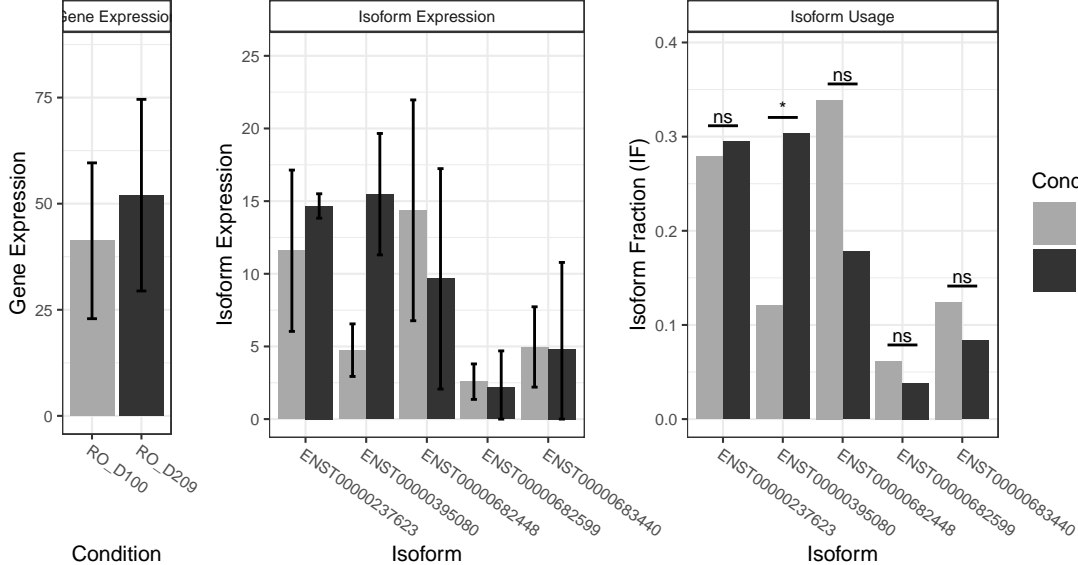
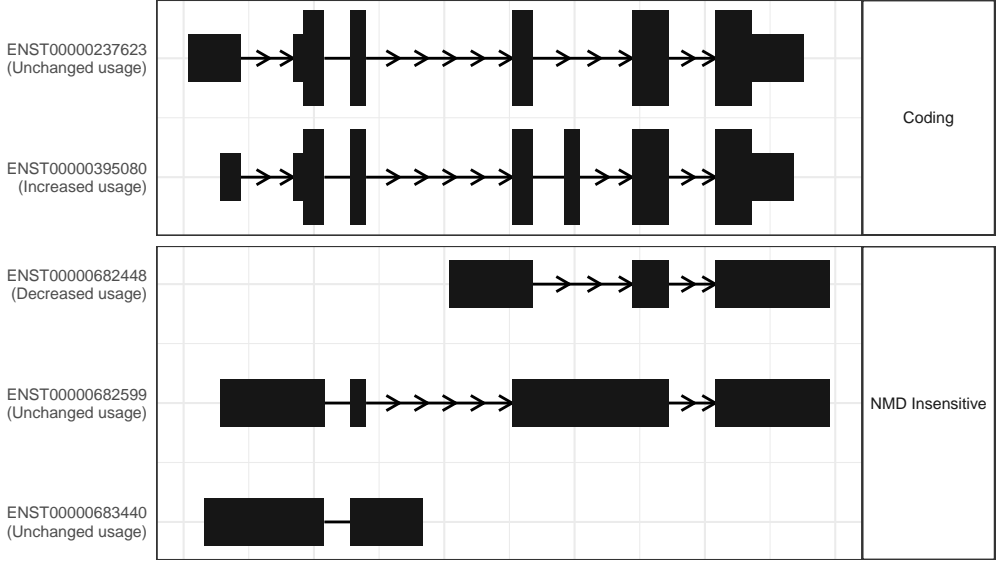
The isoform switch in SMIM7 (RO_D100 vs RO_D209)



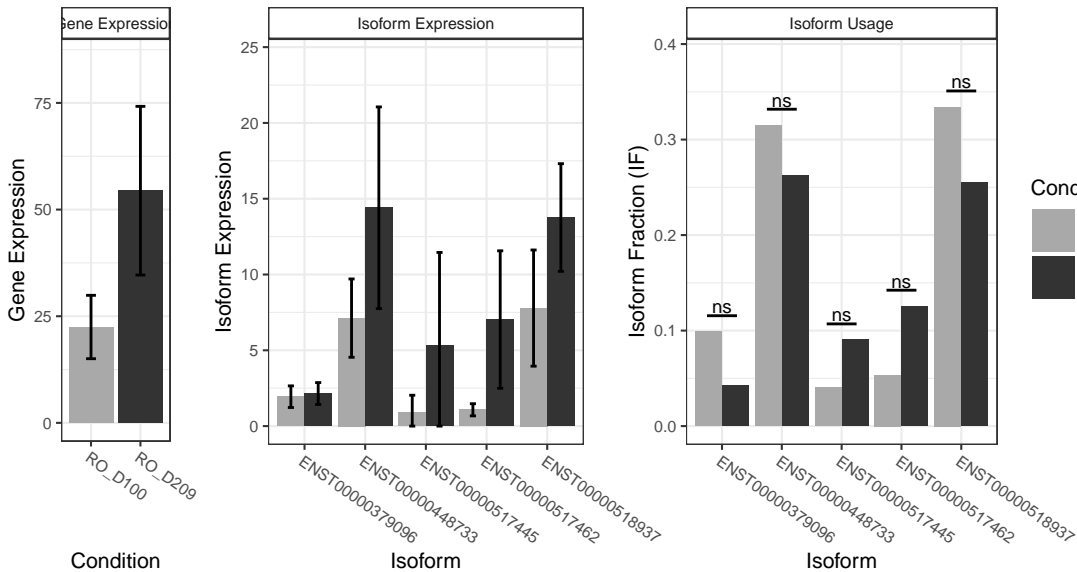
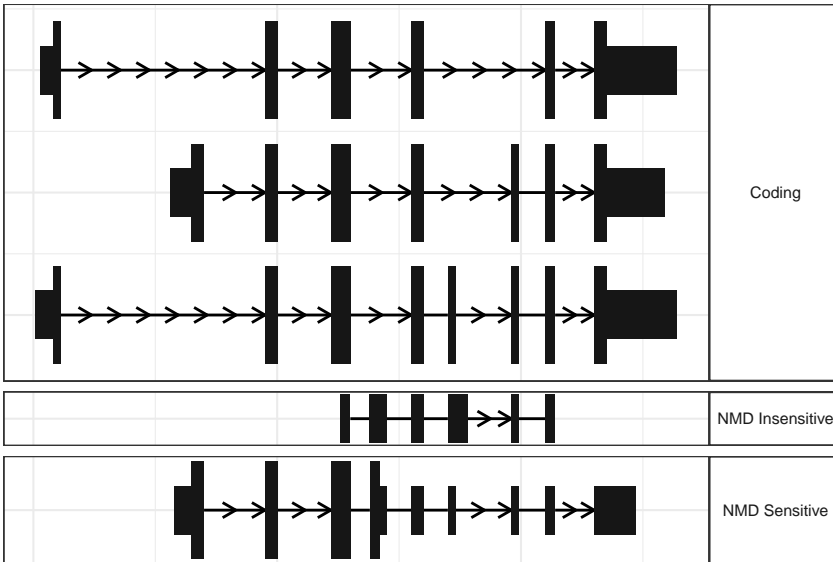
The isoform switch in B4GALT2 (RO_D100 vs RO_D209)



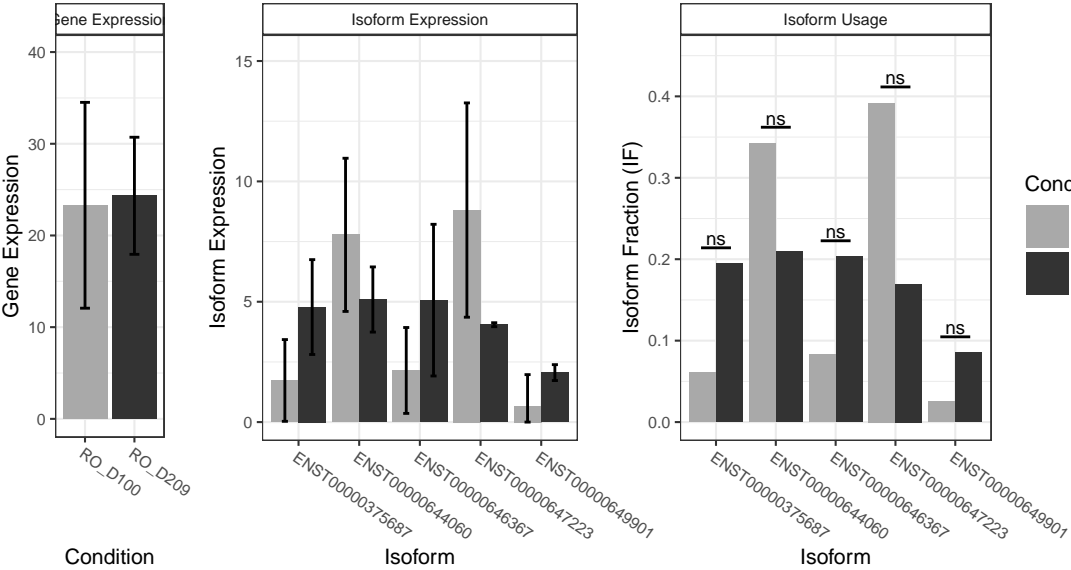
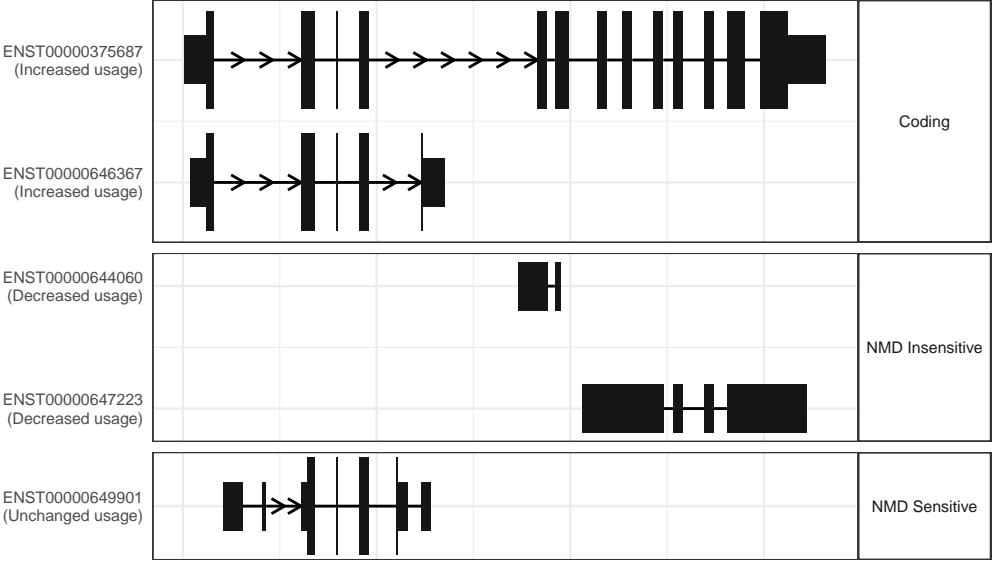
The isoform switch in SPP1 (RO_D100 vs RO_D209)



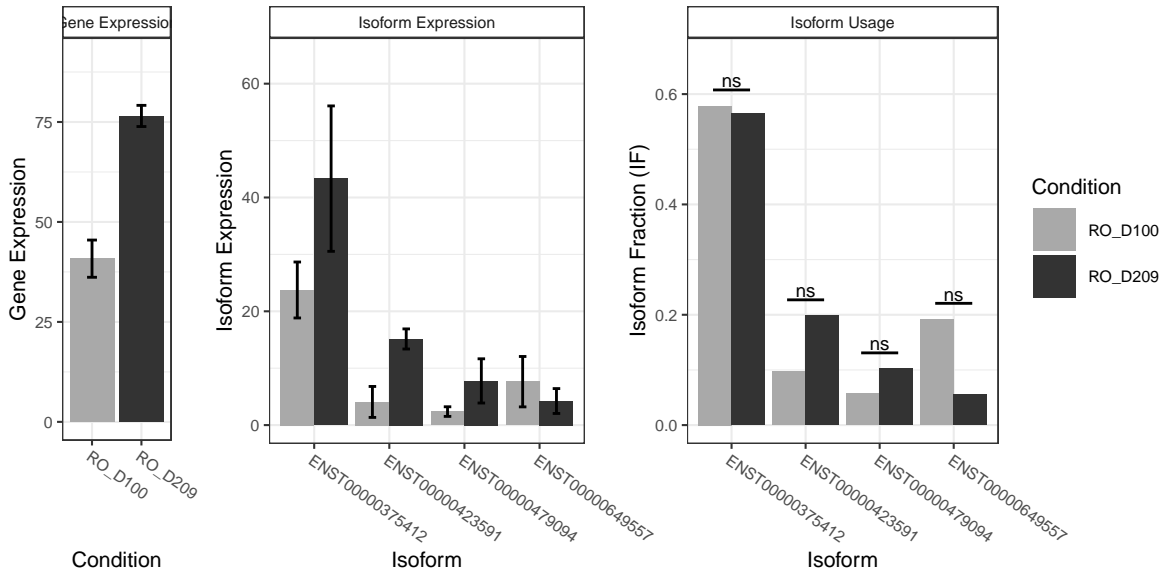
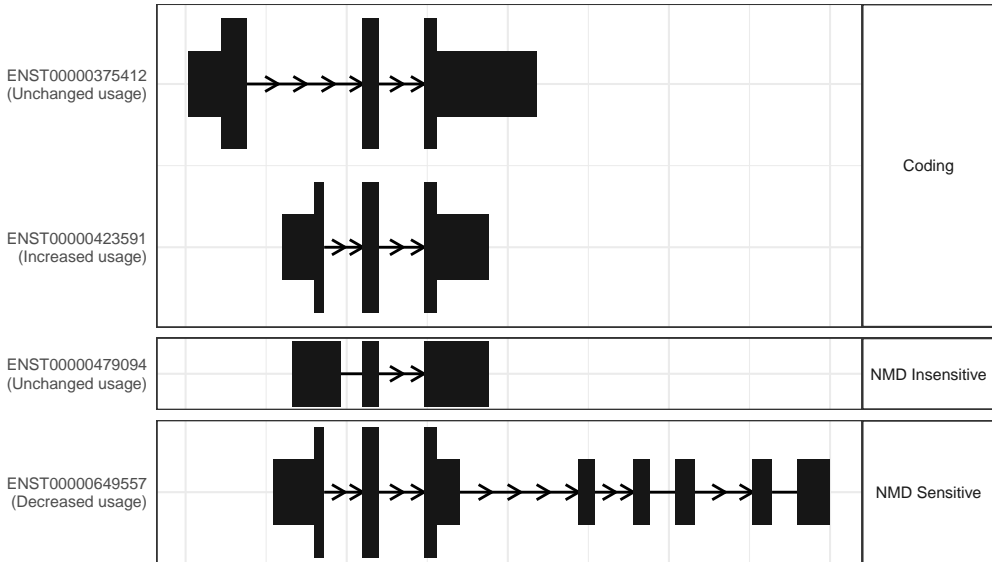
The isoform switch in TPD52 (RO_D100 vs RO_D209)



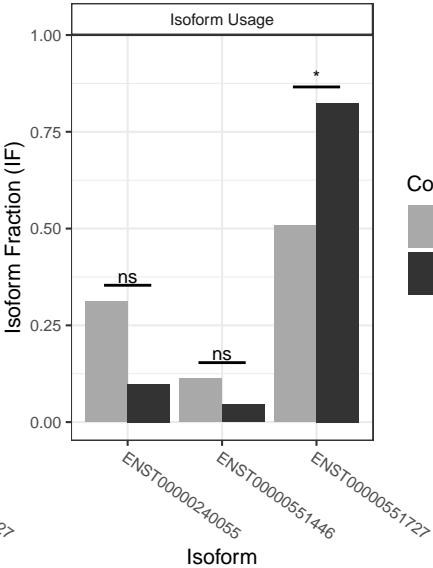
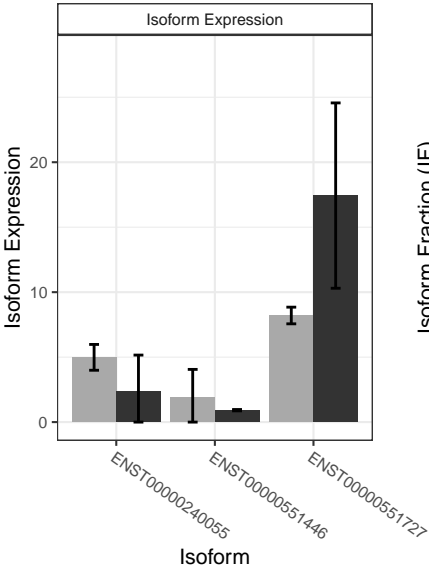
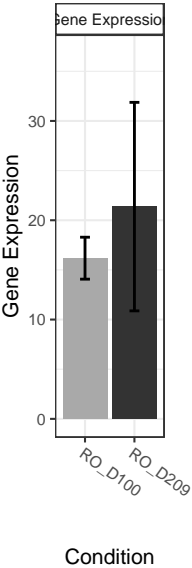
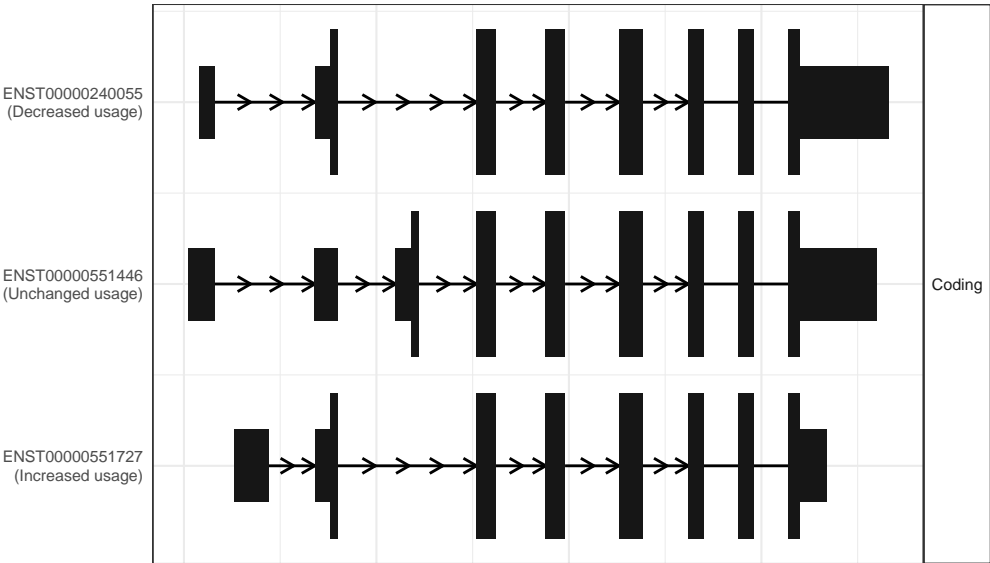
The isoform switch in ASXL1 (RO_D100 vs RO_D209)



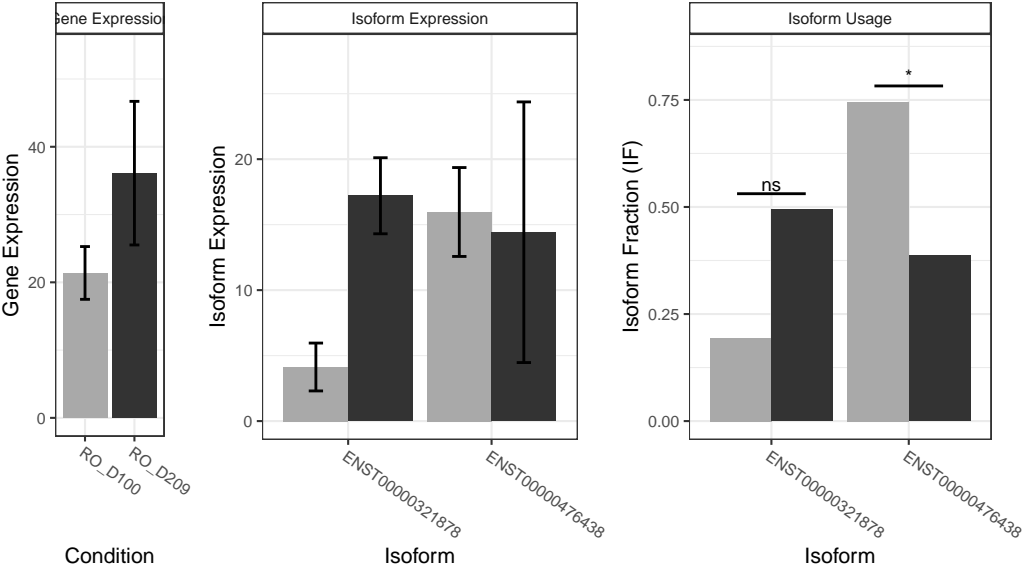
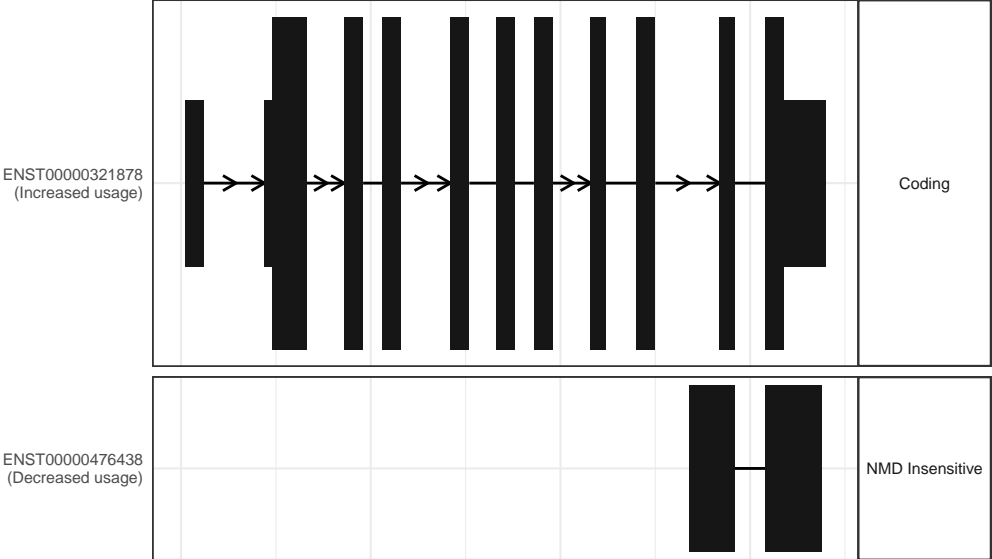
The isoform switch in FAM120AOS (RO_D100 vs RO_D209)



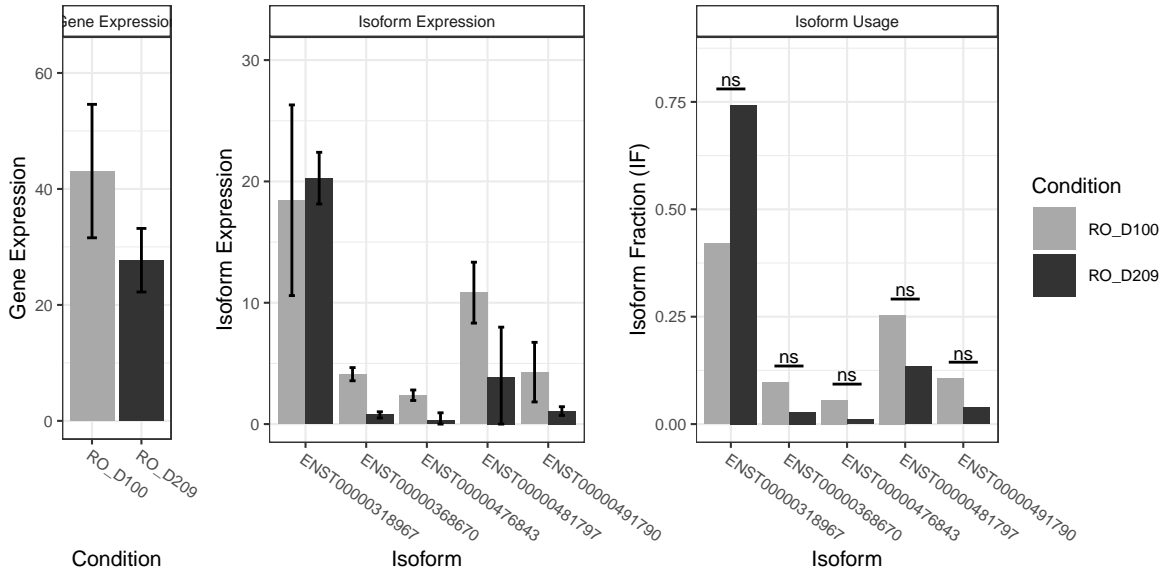
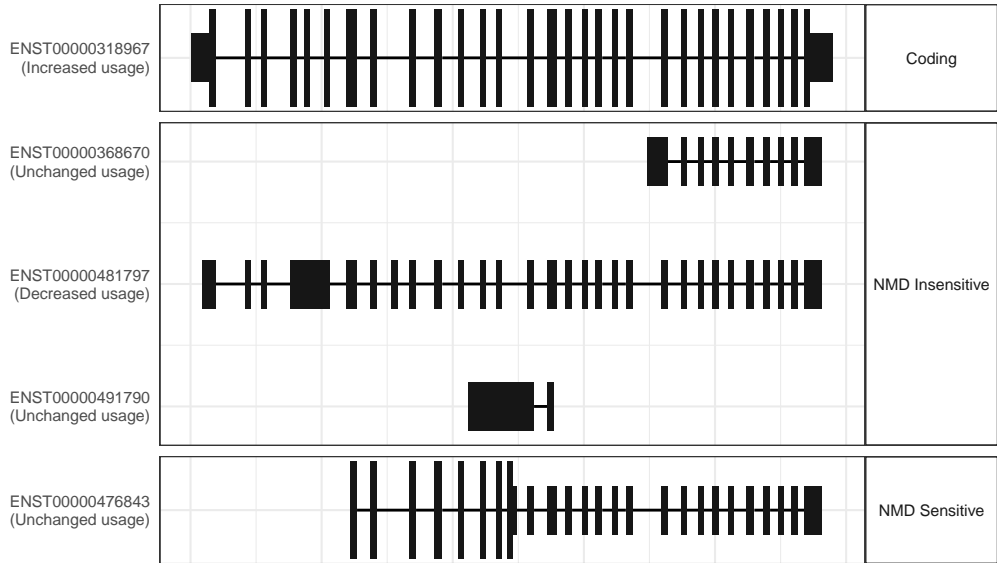
The isoform switch in NFYB (RO_D100 vs RO_D209)



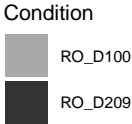
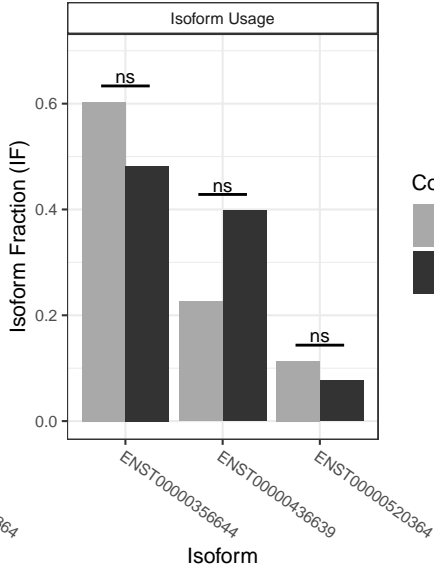
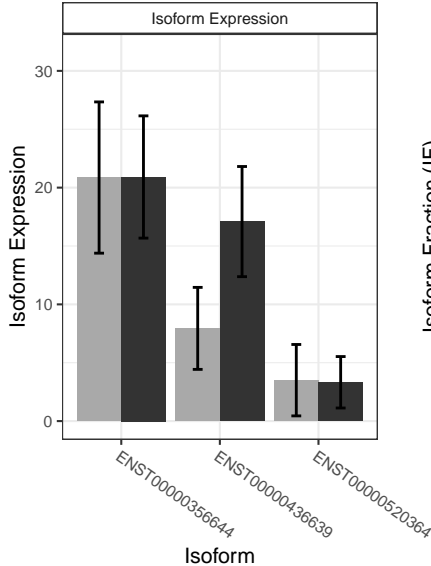
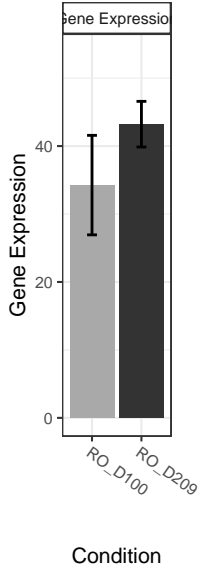
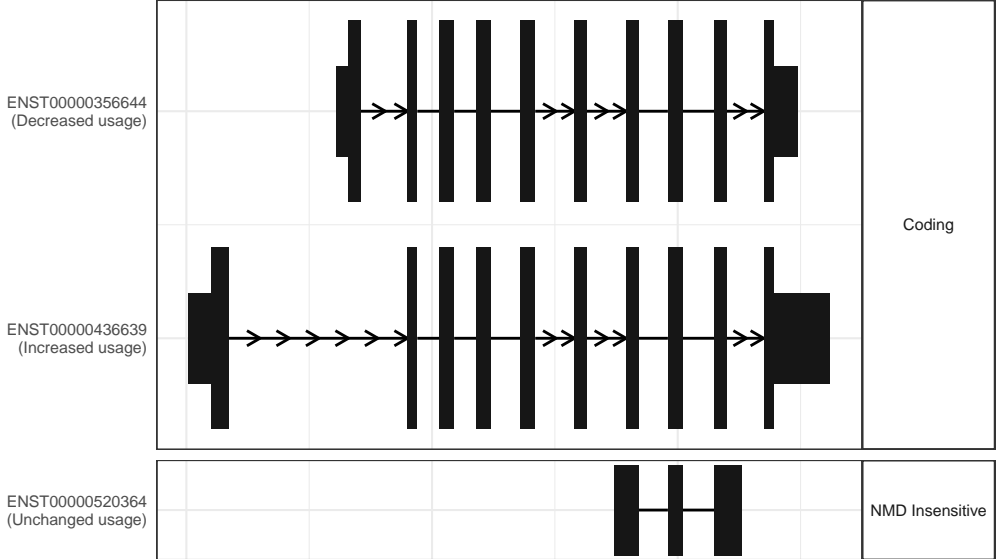
The isoform switch in PIGQ (RO_D100 vs RO_D209)



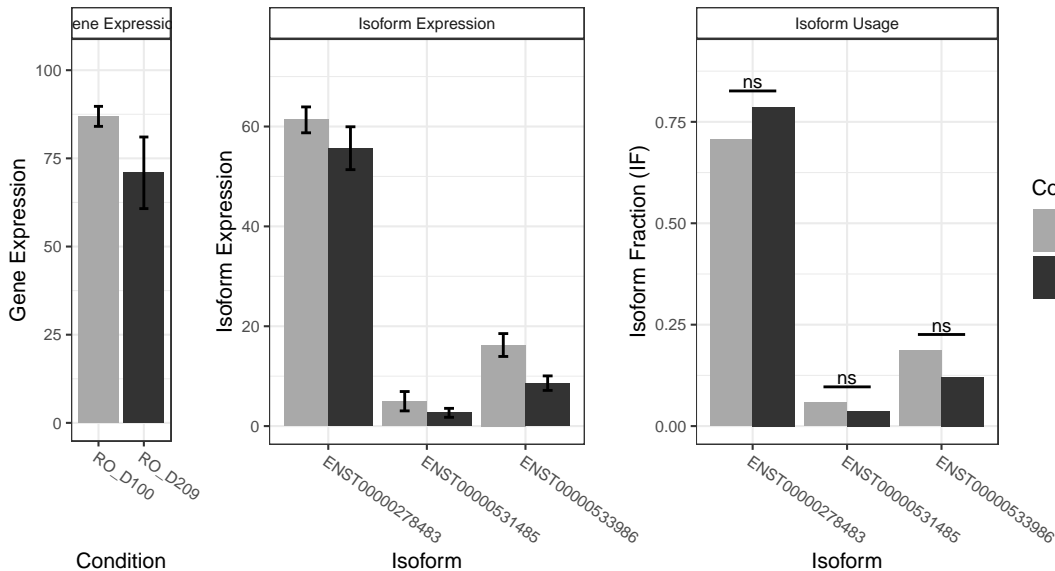
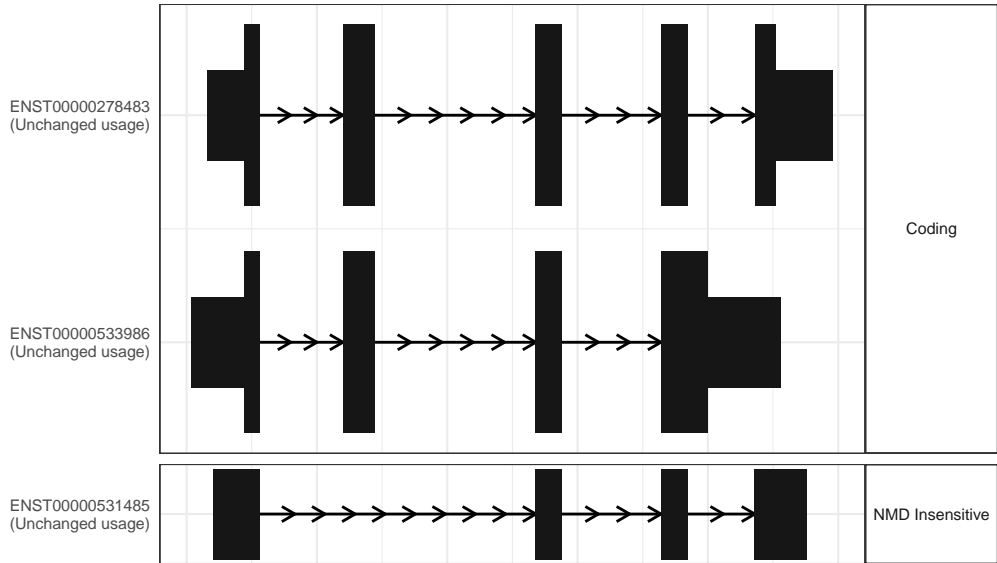
The isoform switch in INTS3 (RO_D100 vs RO_D209)



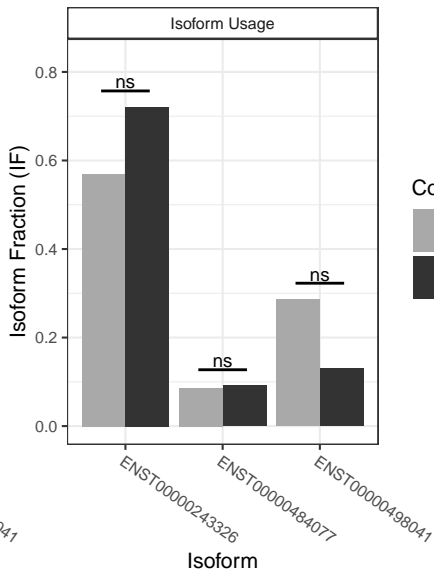
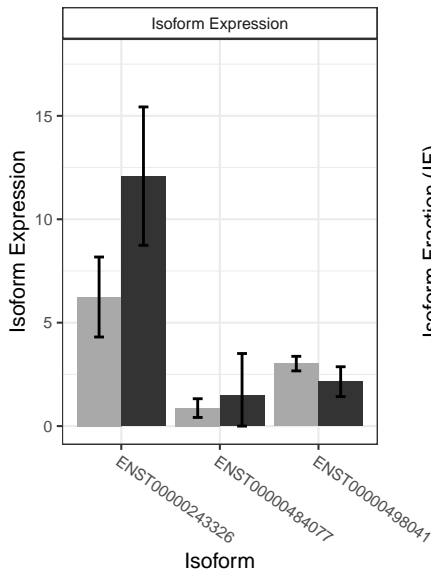
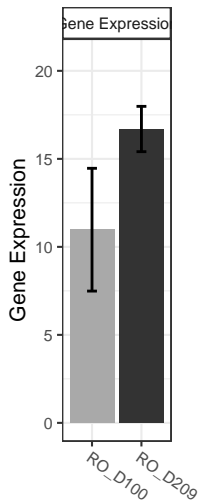
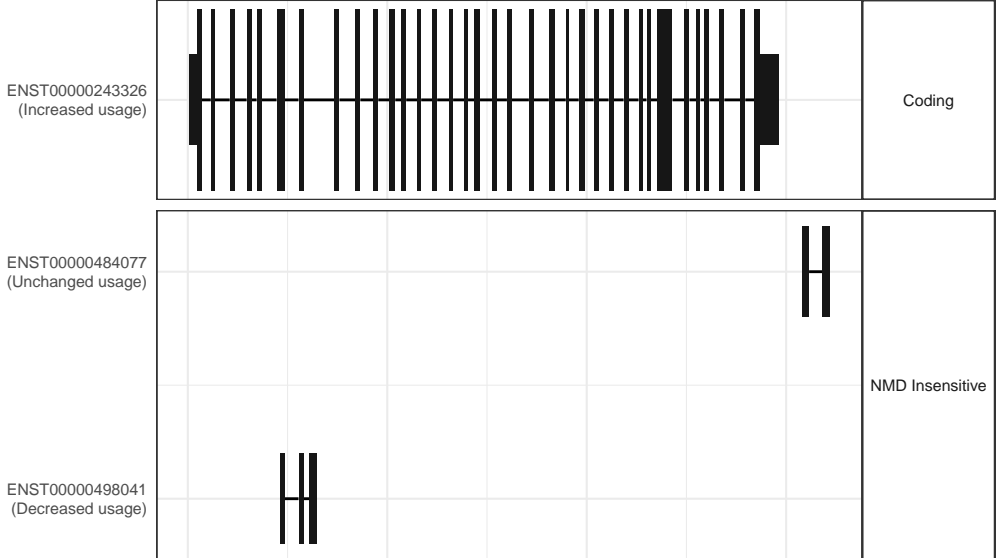
The isoform switch in SESN1 (RO_D100 vs RO_D209)



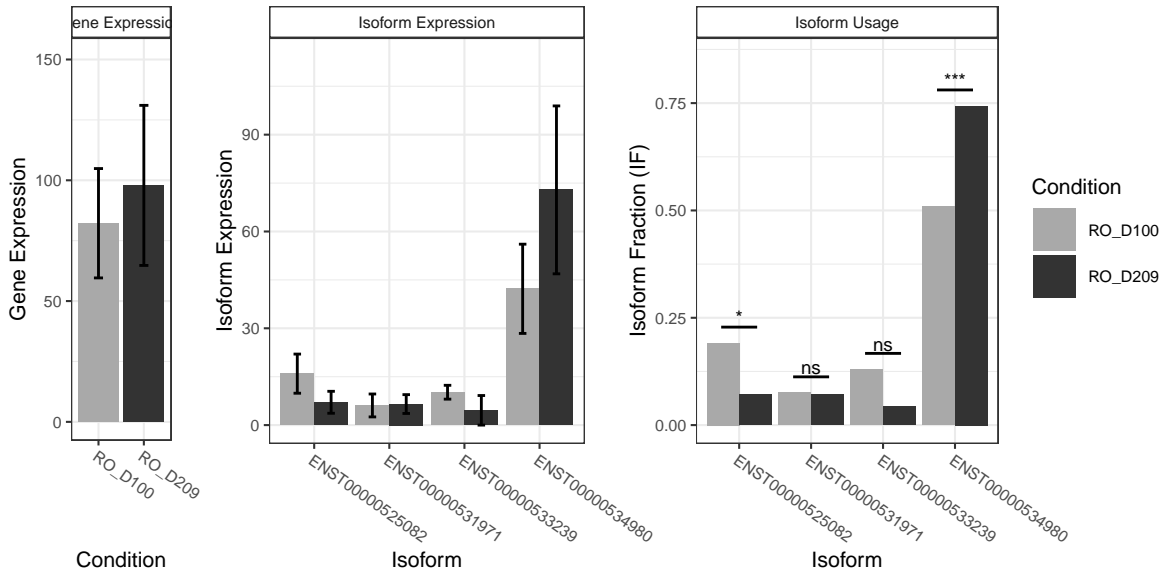
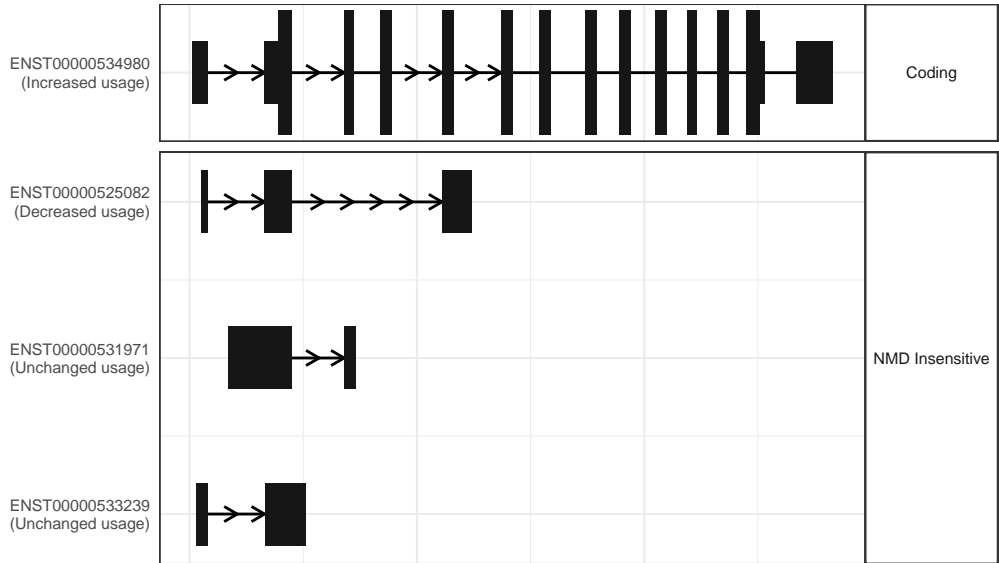
The isoform switch in HIKESHI (RO_D100 vs RO_D209)



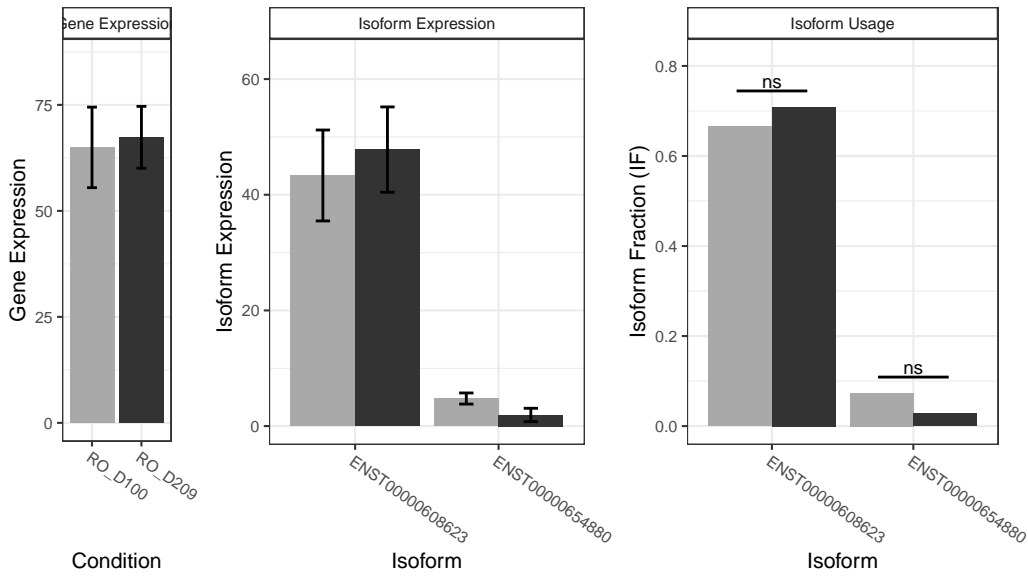
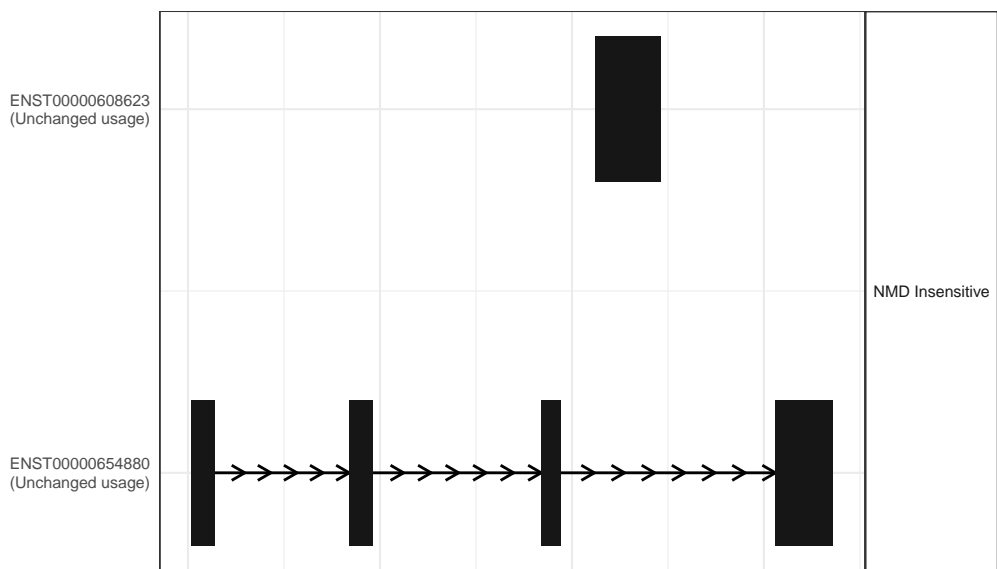
The isoform switch in RIF1 (RO_D100 vs RO_D209)



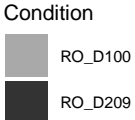
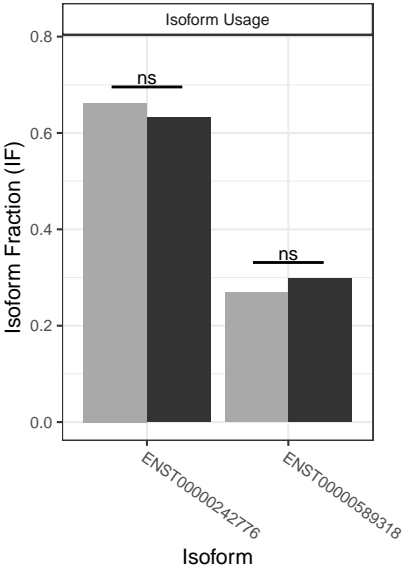
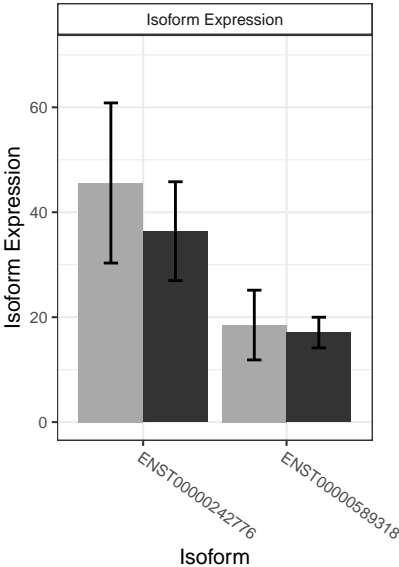
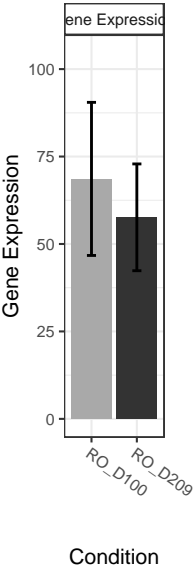
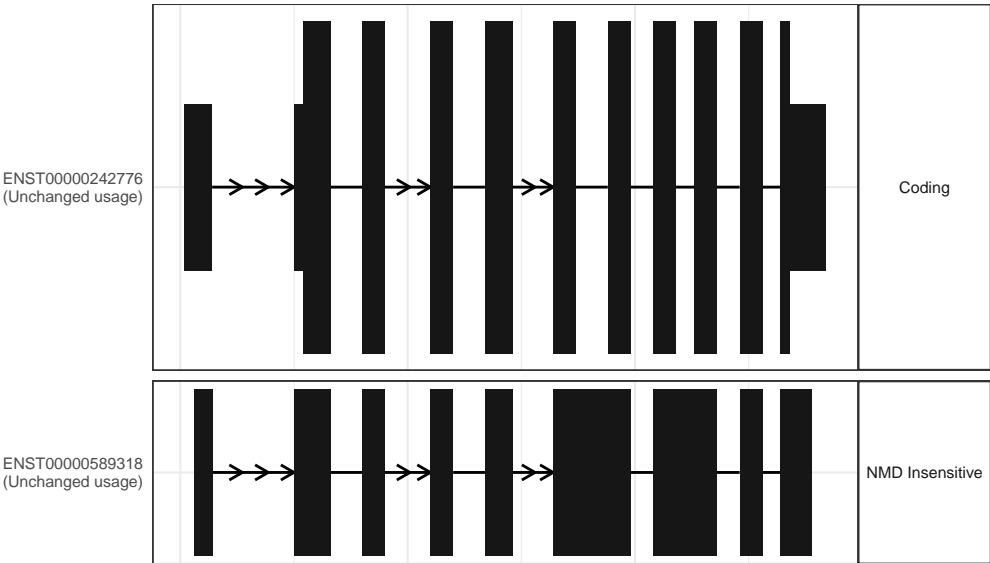
The isoform switch in DDX6 (RO_D100 vs RO_D209)



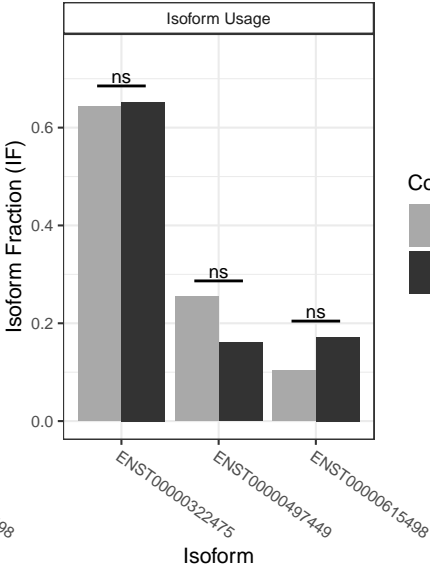
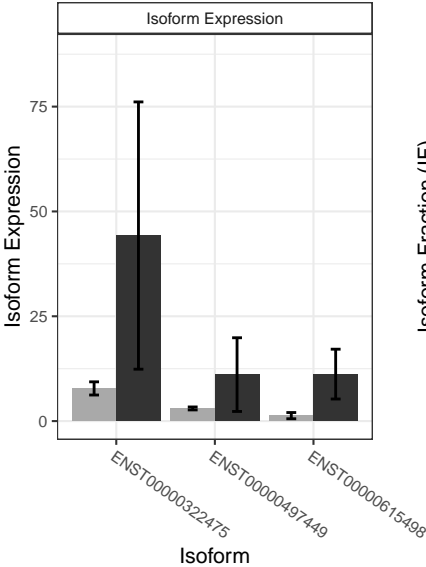
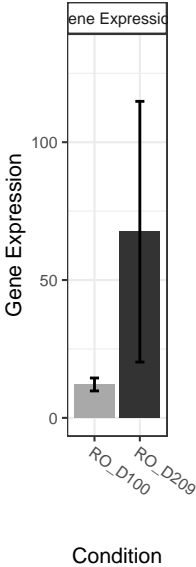
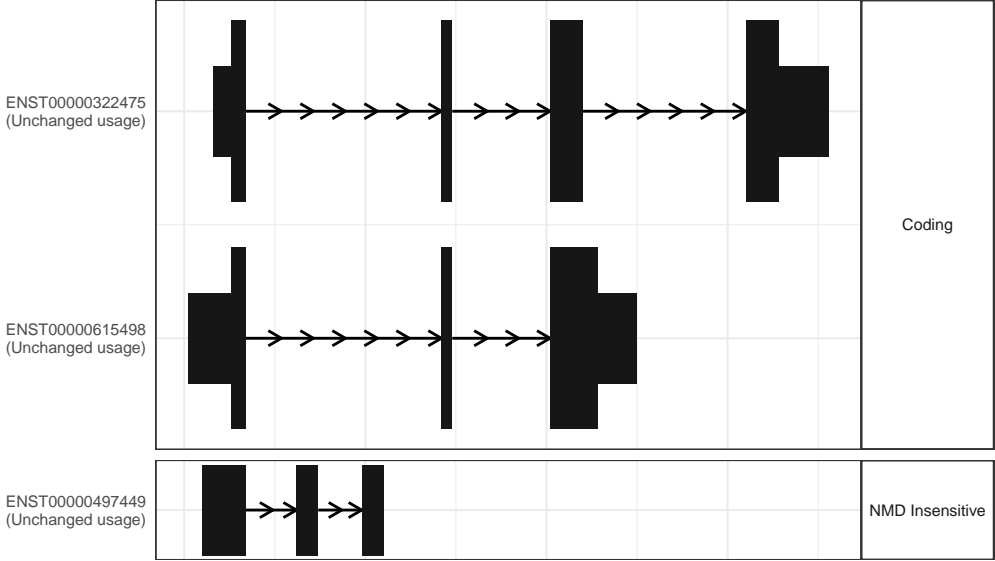
The isoform switch in LINC01278 (RO_D100 vs RO_D209)



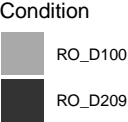
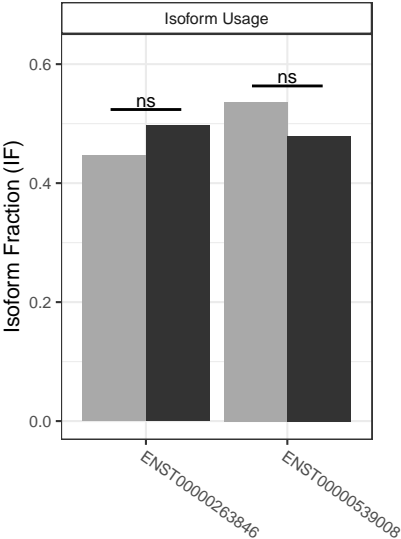
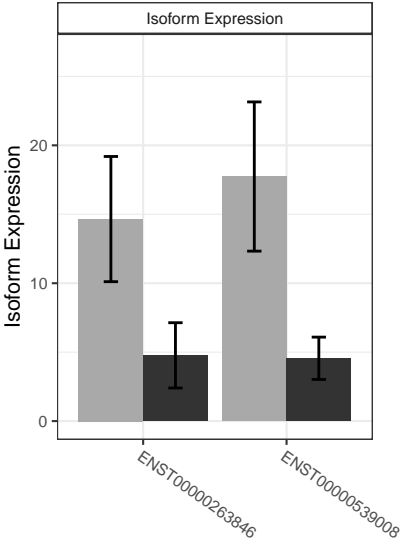
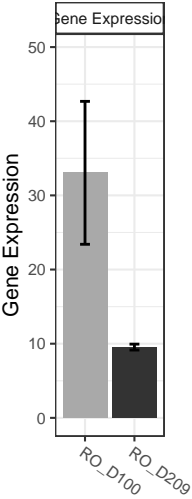
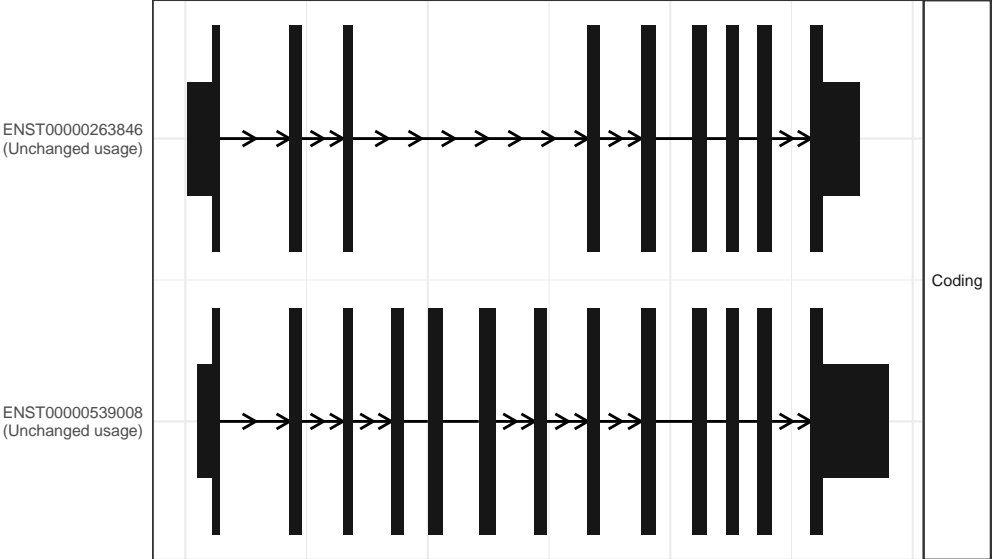
The isoform switch in DDX39A (RO_D100 vs RO_D209)



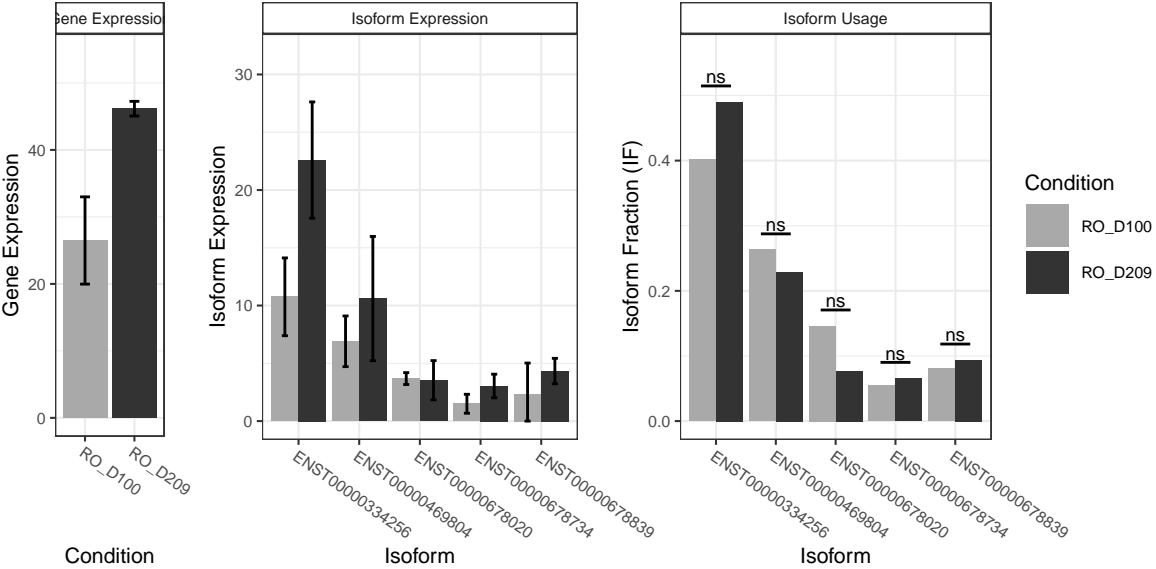
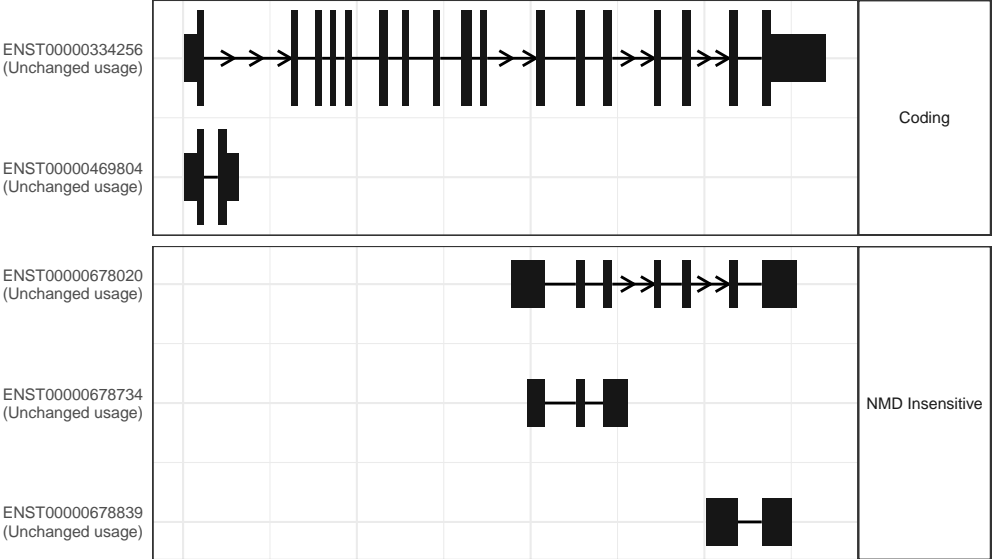
The isoform switch in FAM124A (RO_D100 vs RO_D209)



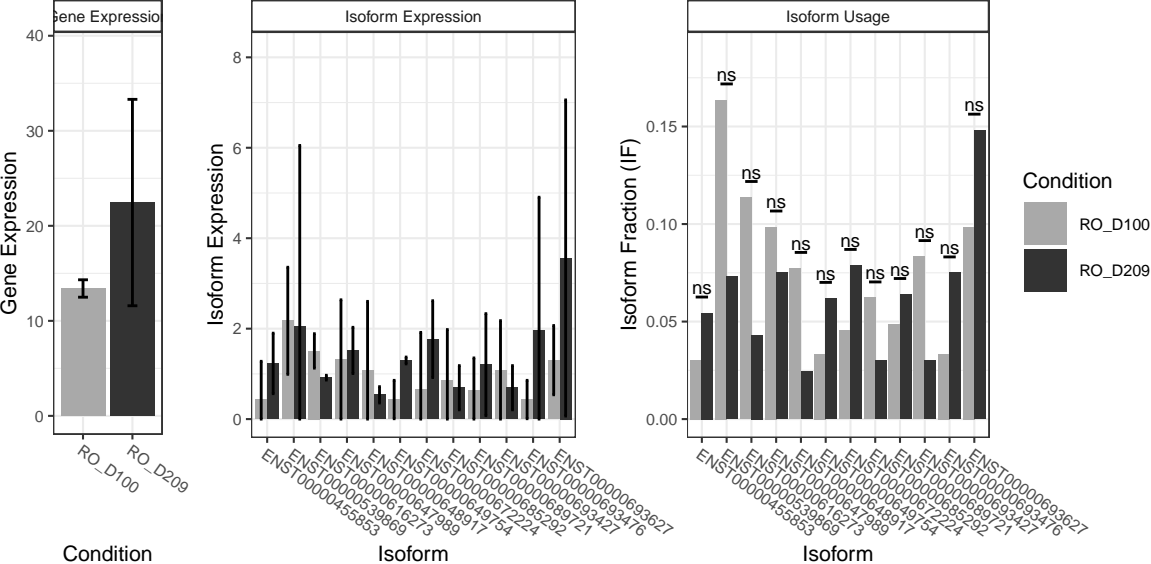
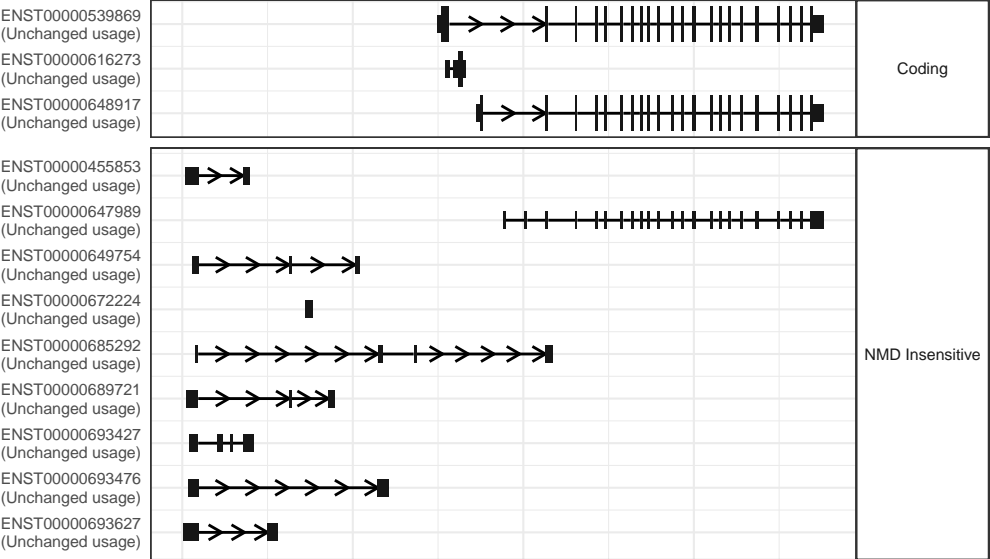
The isoform switch in SYT7 (RO_D100 vs RO_D209)



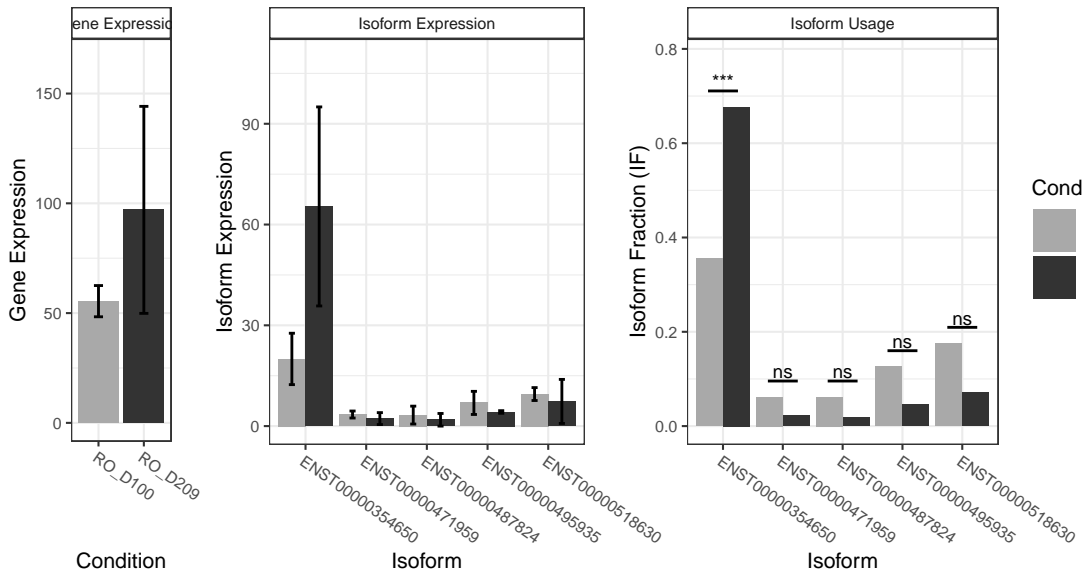
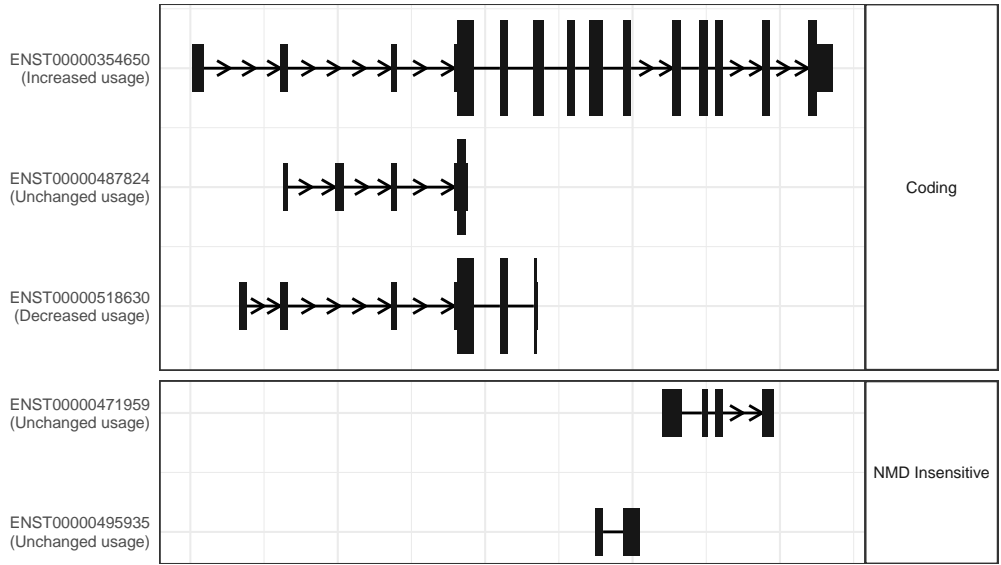
The isoform switch in KPNA4 (RO_D100 vs RO_D209)



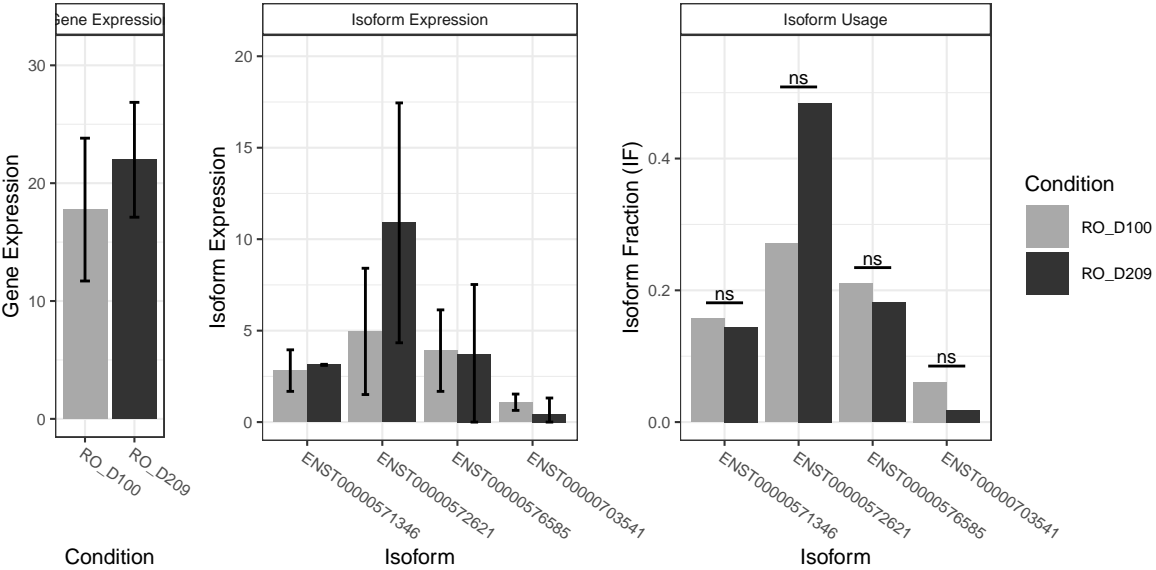
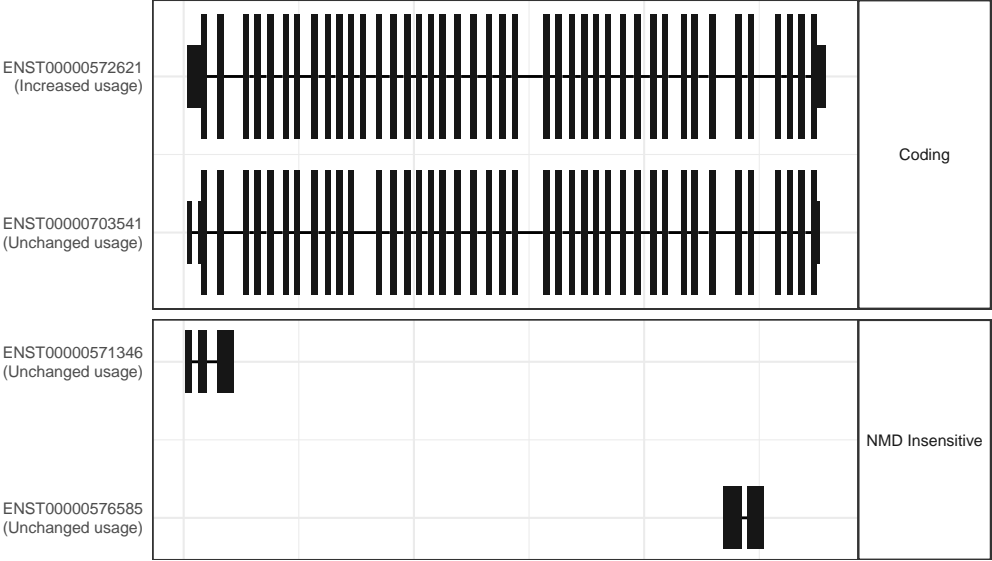
The isoform switch in PDE10A (RO_D100 vs RO_D209)



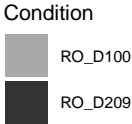
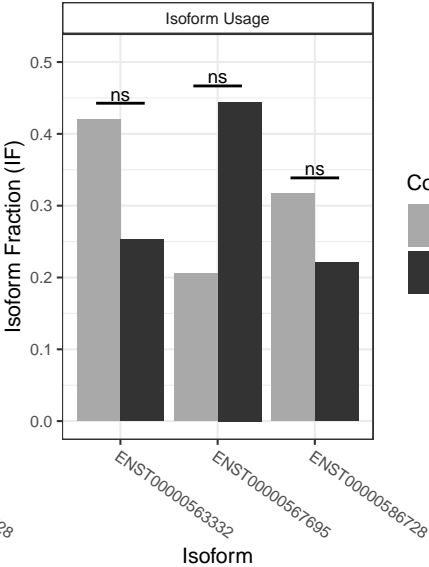
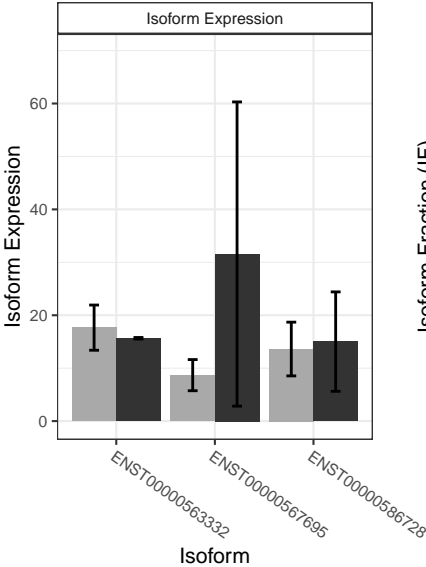
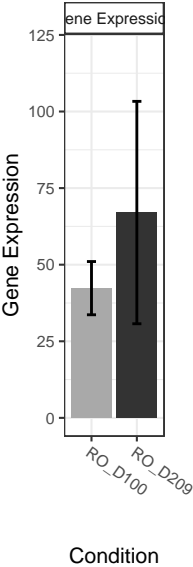
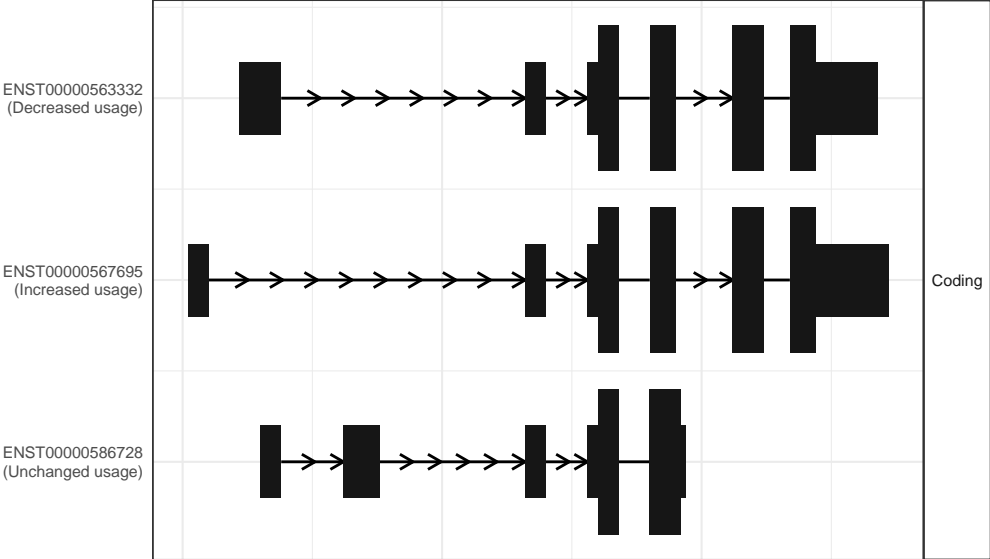
The isoform switch in FYN (RO_D100 vs RO_D209)



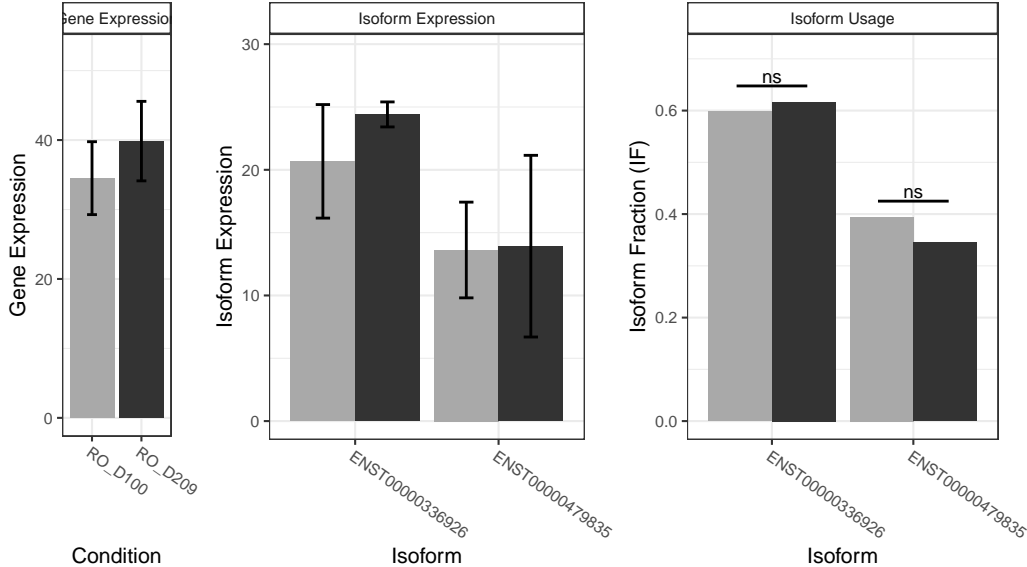
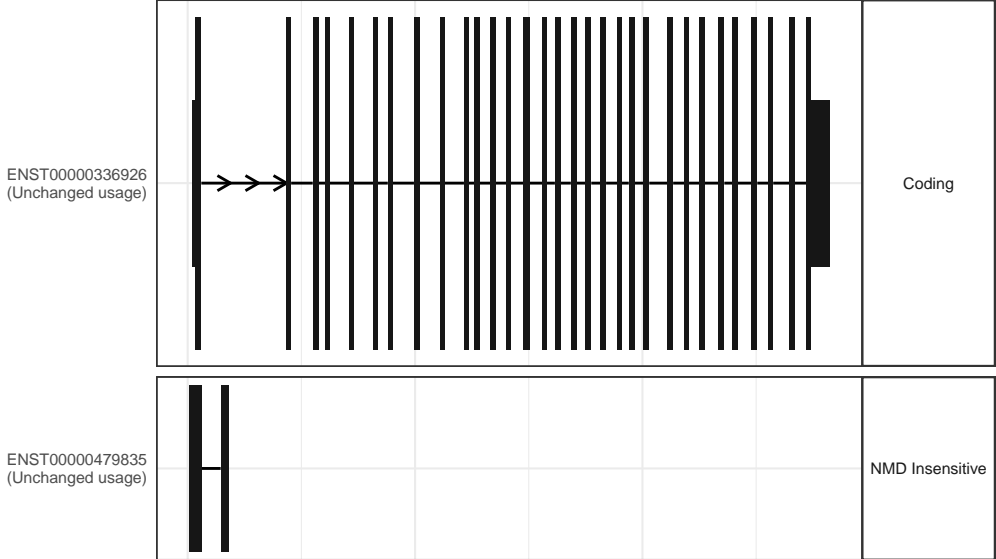
The isoform switch in PRPF8 (RO_D100 vs RO_D209)



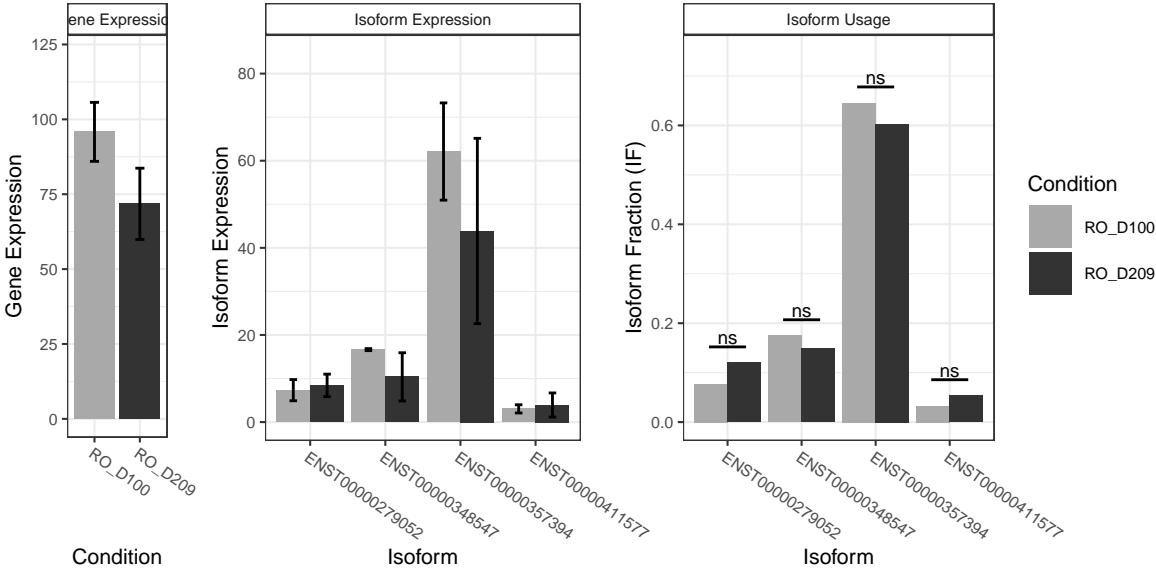
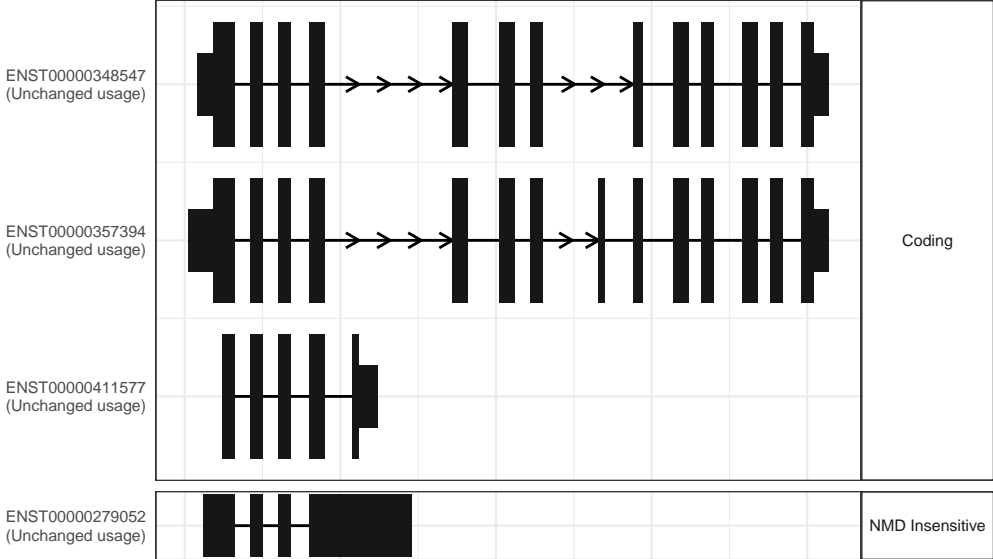
The isoform switch in CDIP1 (RO_D100 vs RO_D209)



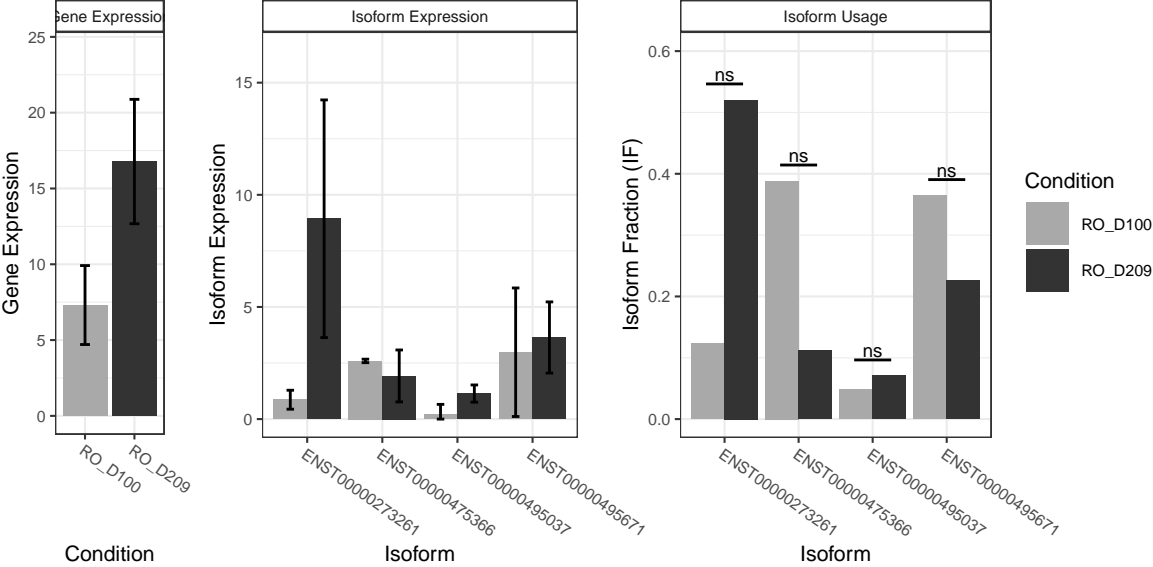
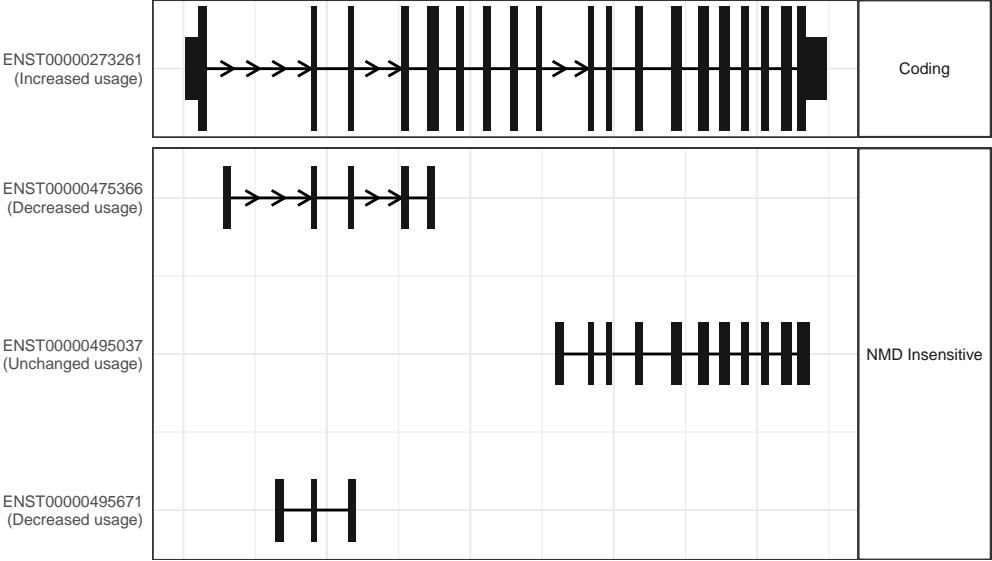
The isoform switch in HIP1 (RO_D100 vs RO_D209)



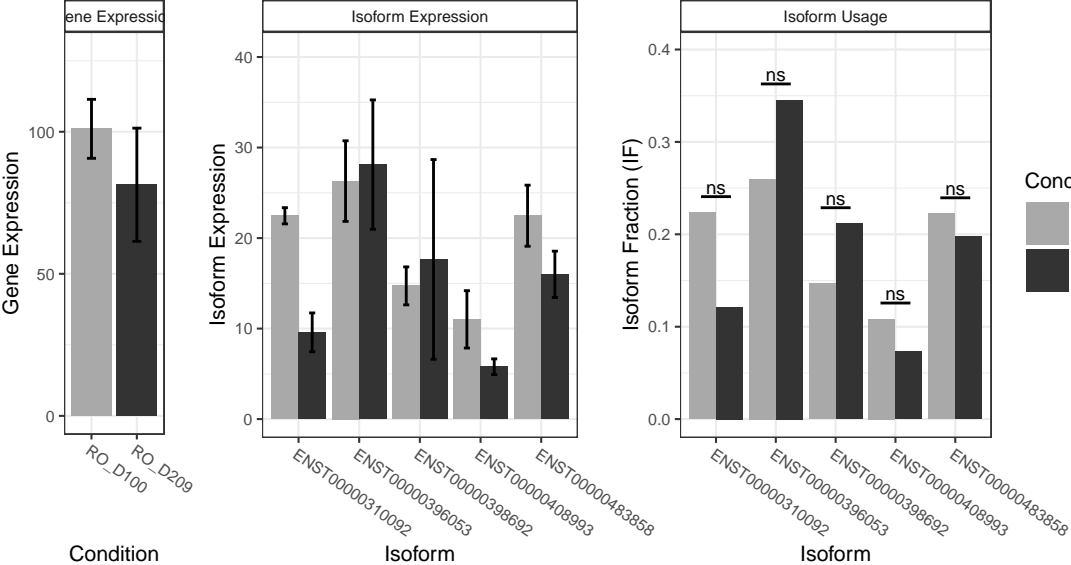
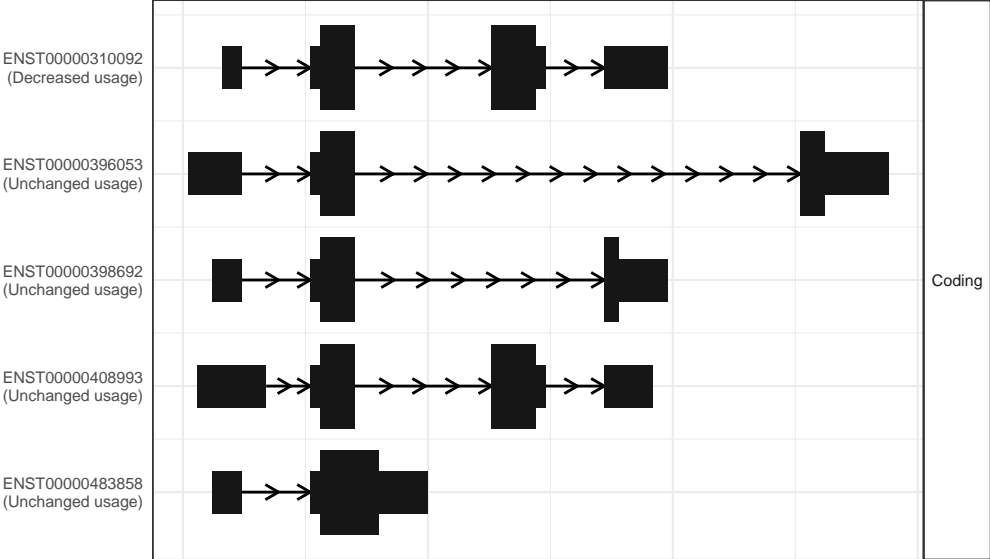
The isoform switch in ERGIC3 (RO_D100 vs RO_D209)



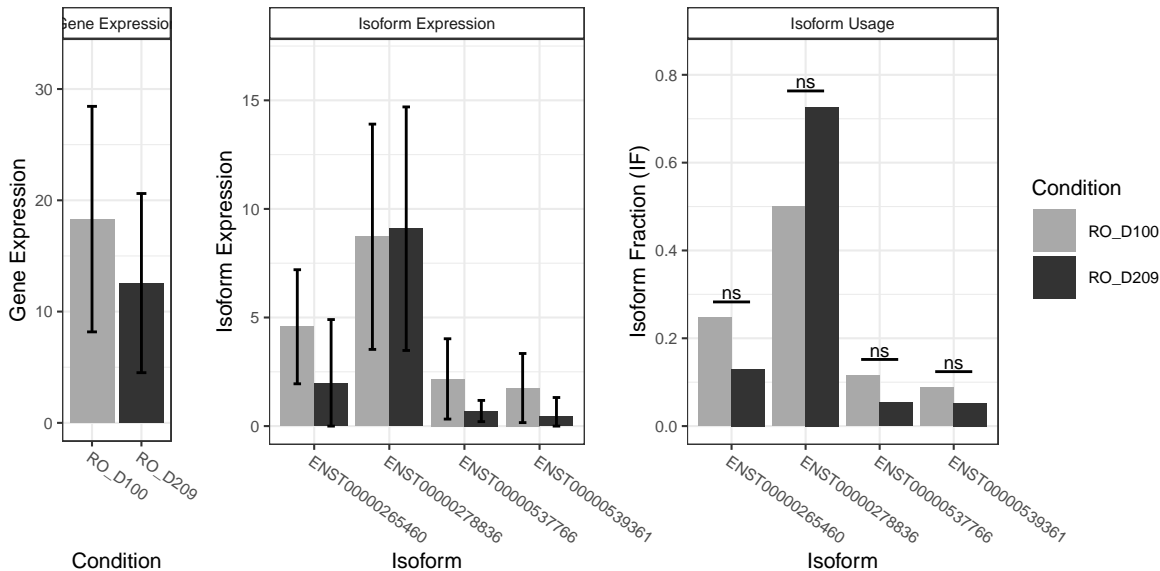
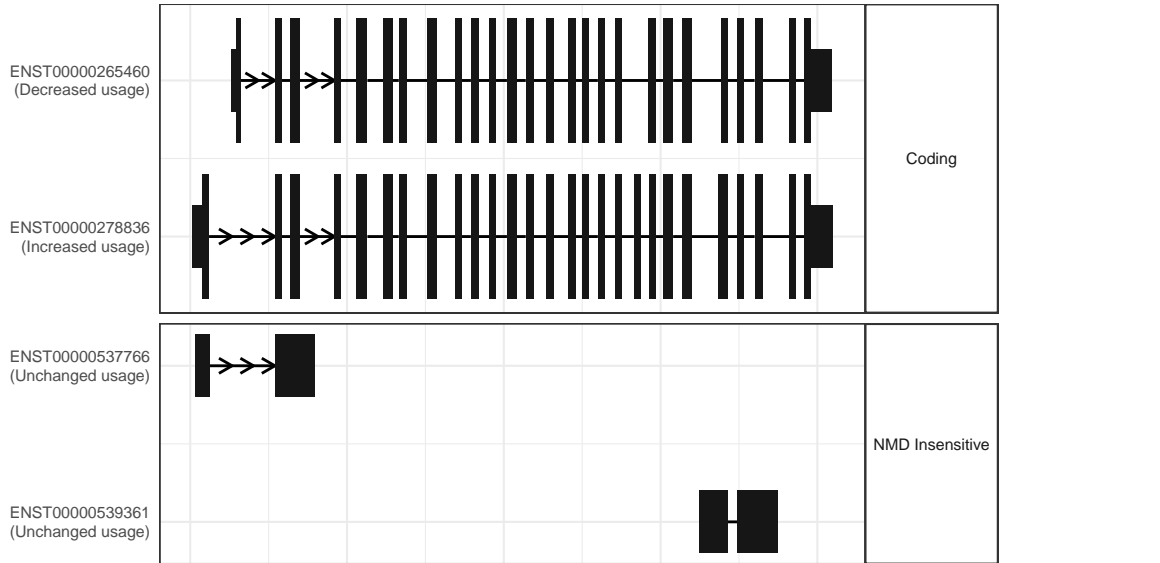
The isoform switch in LRIG1 (RO_D100 vs RO_D209)



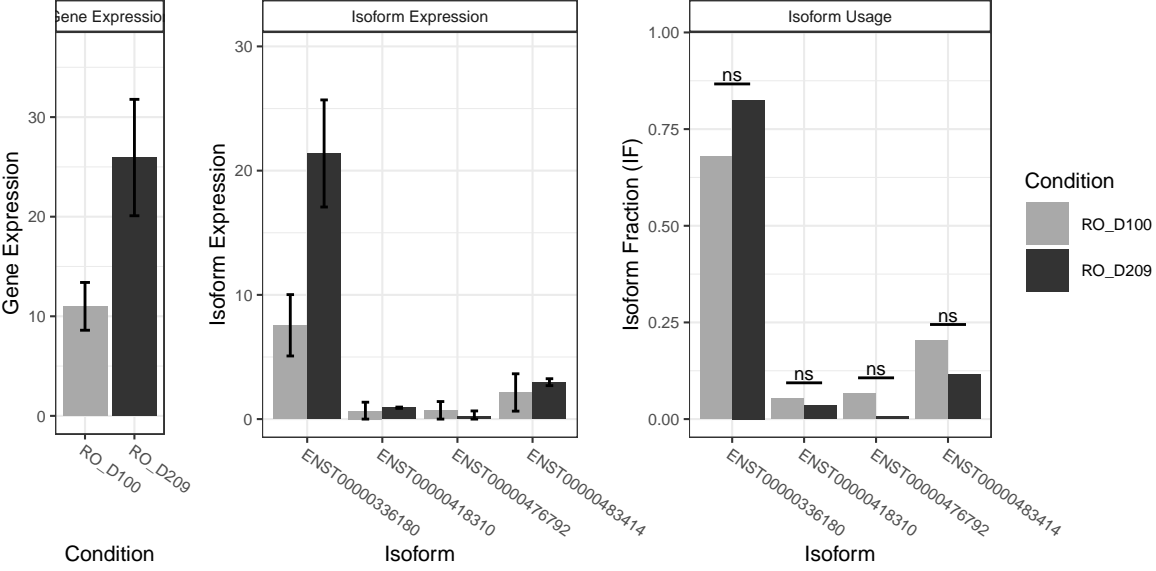
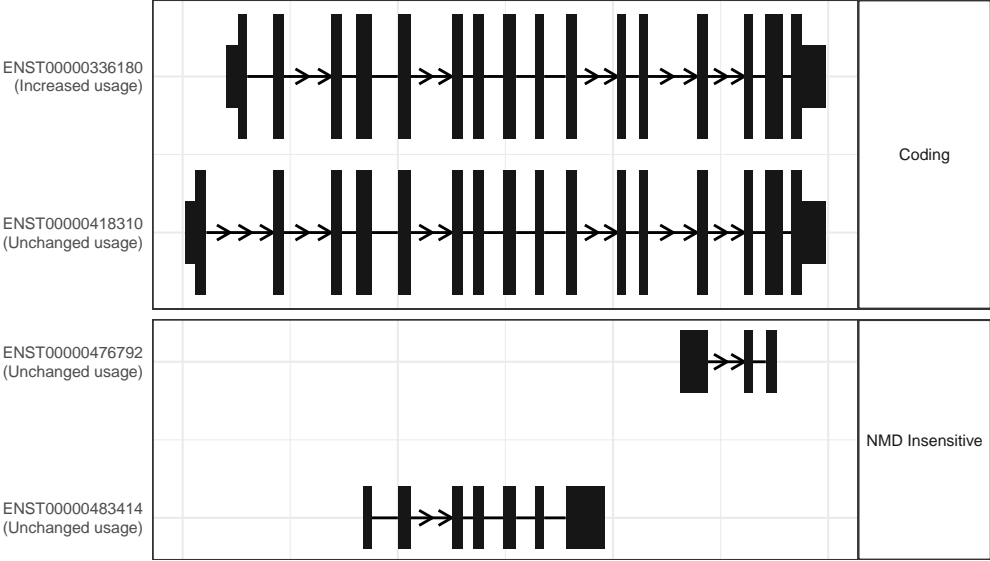
The isoform switch in RBM4 (RO_D100 vs RO_D209)



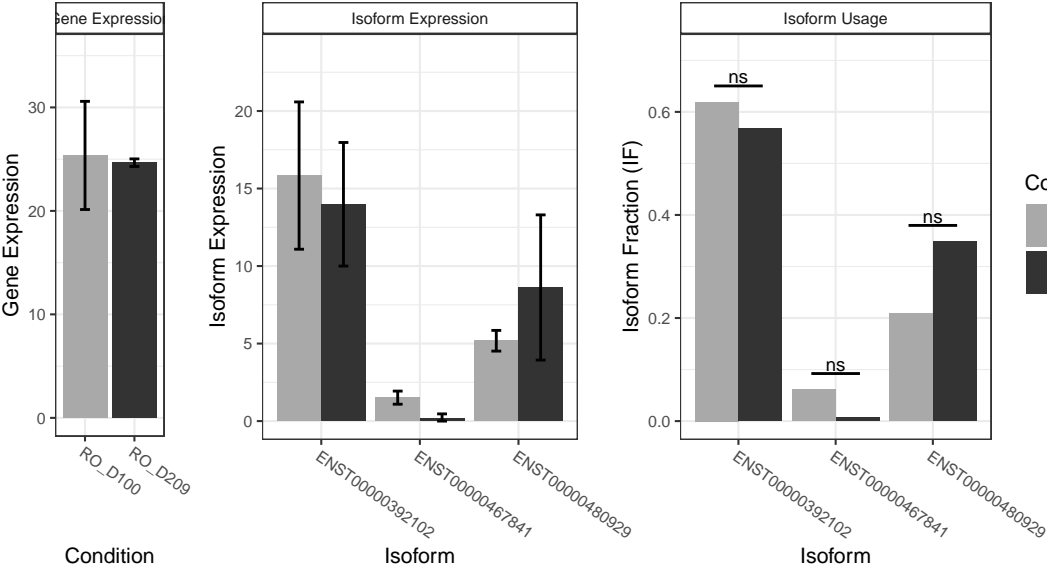
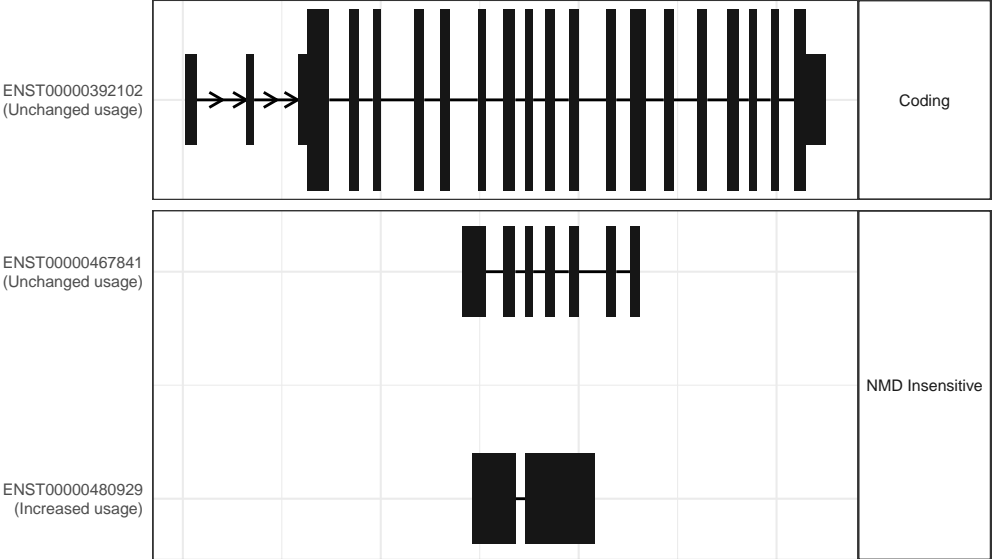
The isoform switch in MYRF (RO_D100 vs RO_D209)



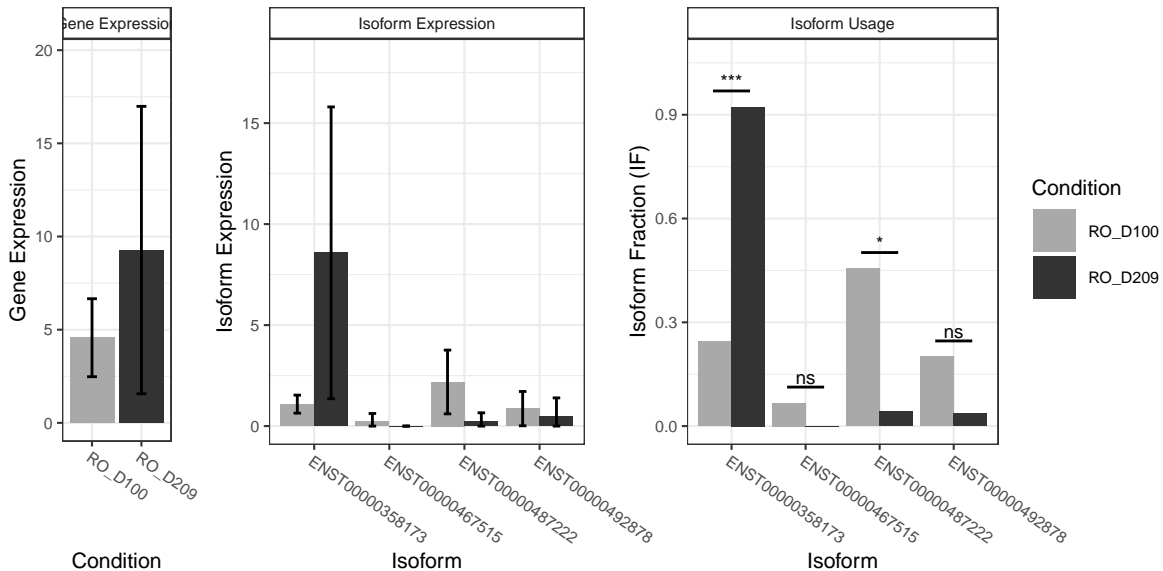
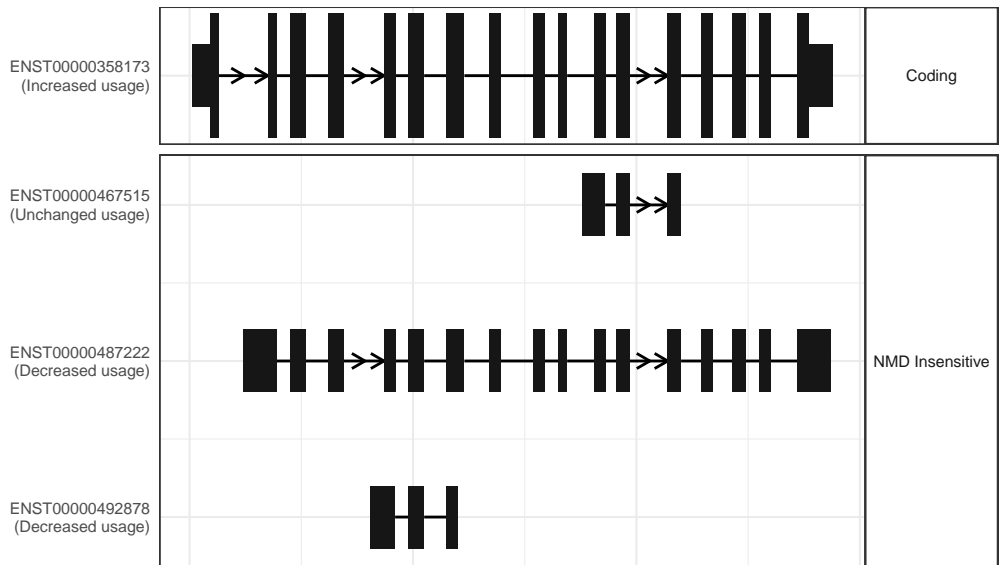
The isoform switch in LIMK1 (RO_D100 vs RO_D209)



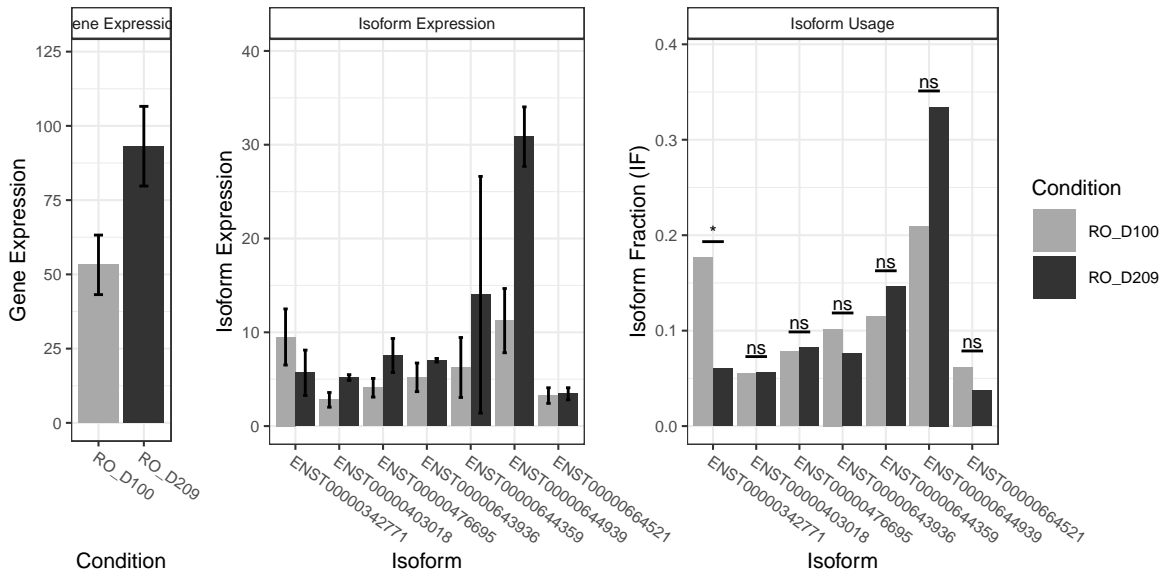
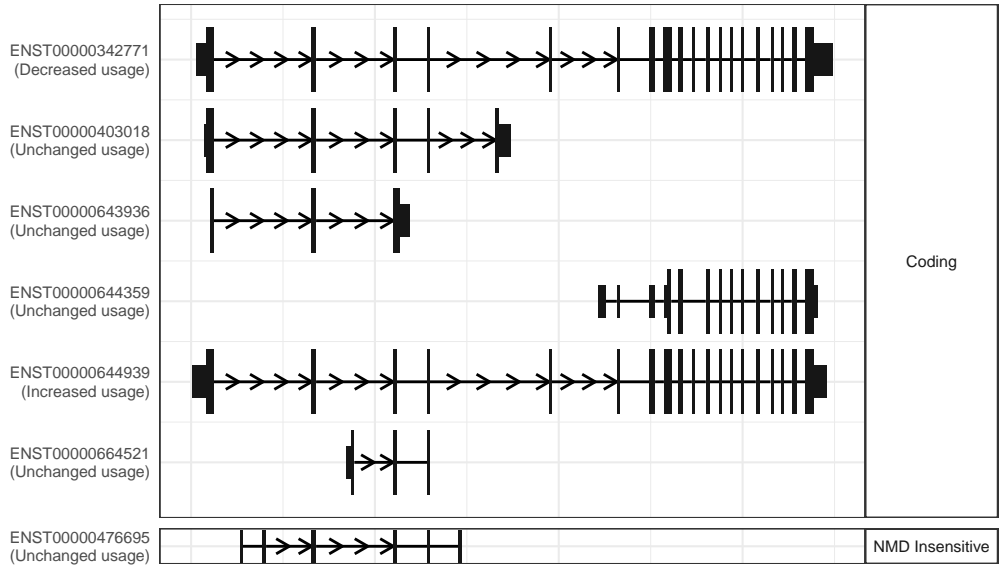
The isoform switch in TTLL4 (RO_D100 vs RO_D209)



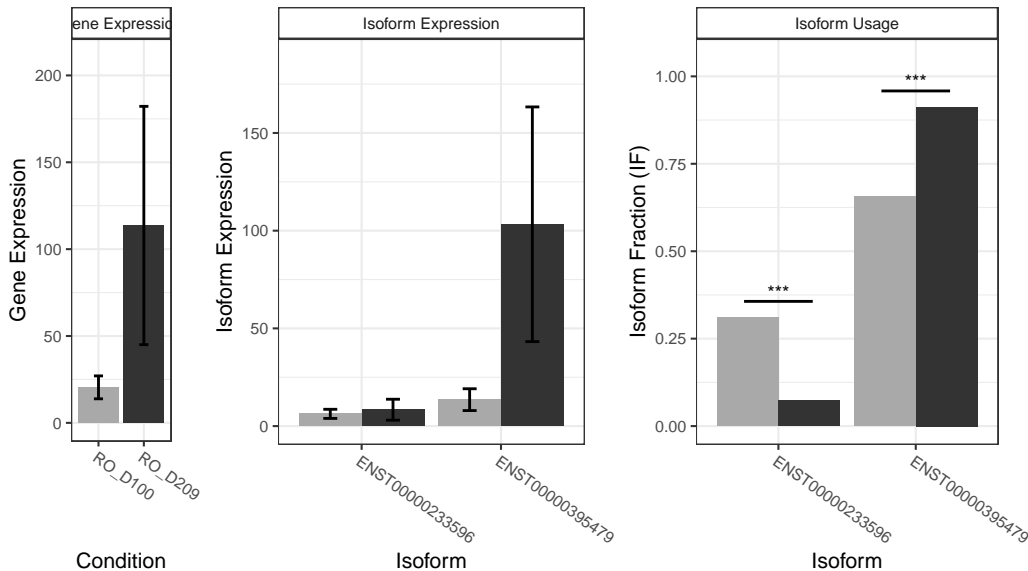
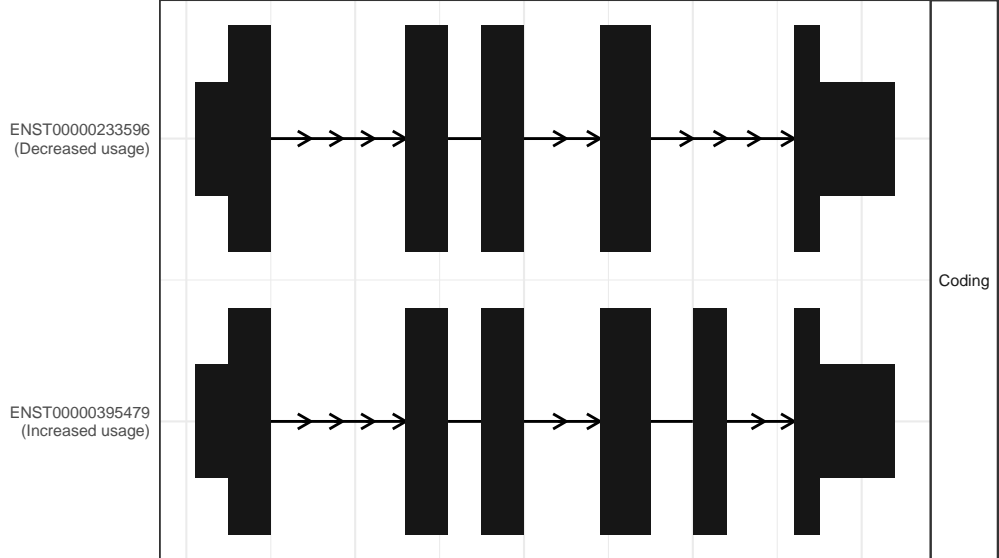
The isoform switch in EPHB4 (RO_D100 vs RO_D209)



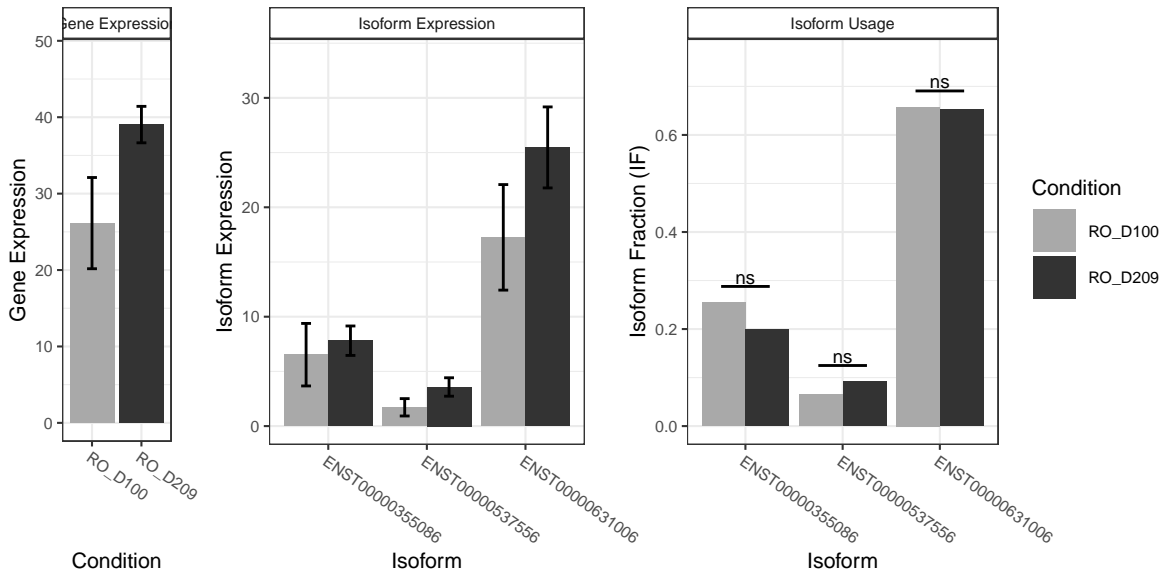
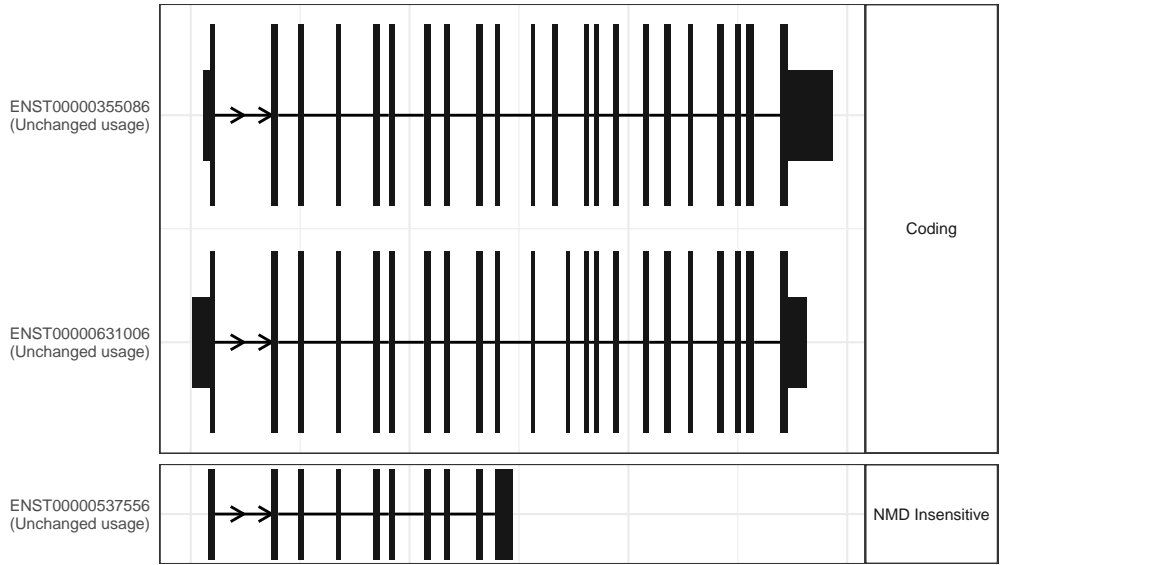
The isoform switch in AUTS2 (RO_D100 vs RO_D209)



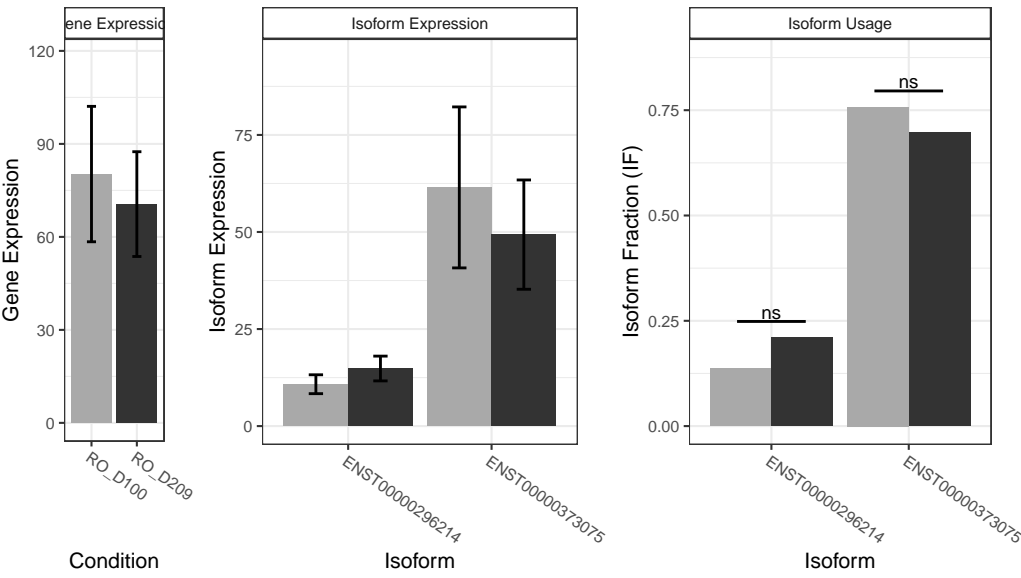
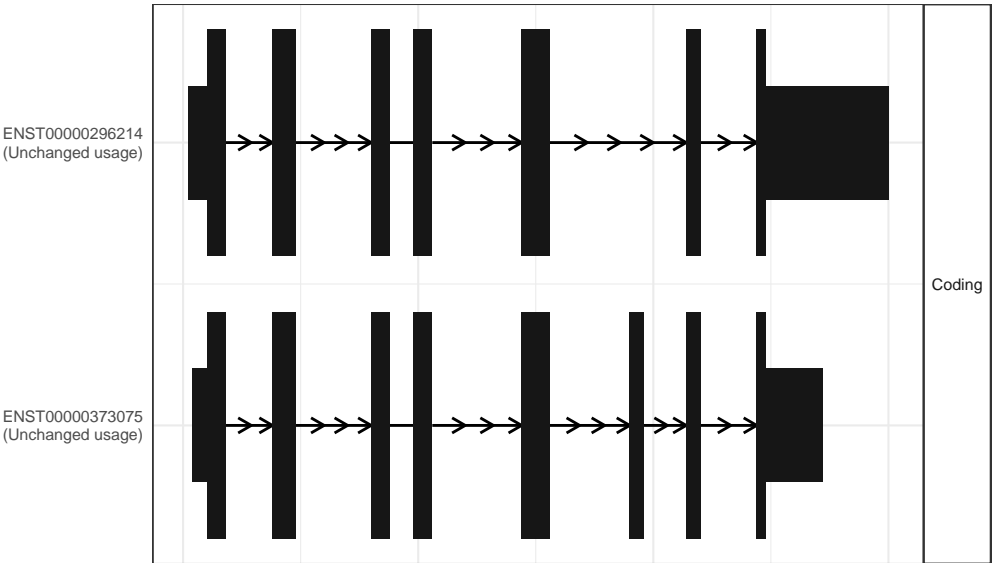
The isoform switch in REEP6 (RO_D100 vs RO_D209)



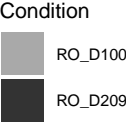
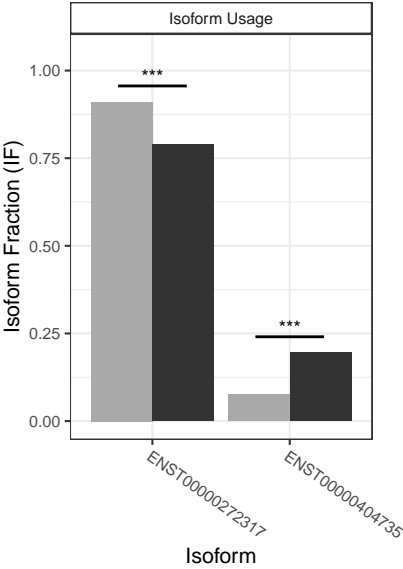
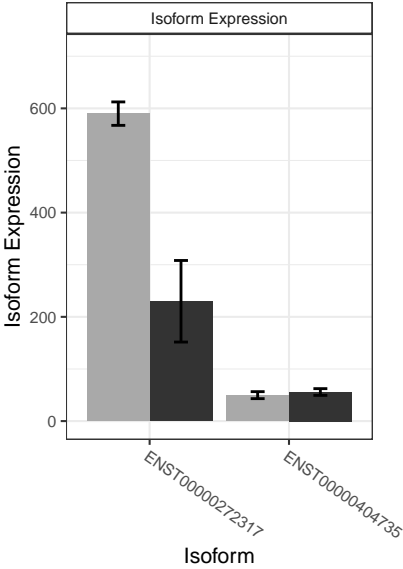
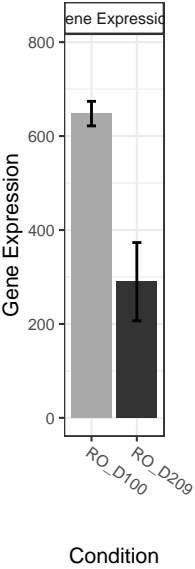
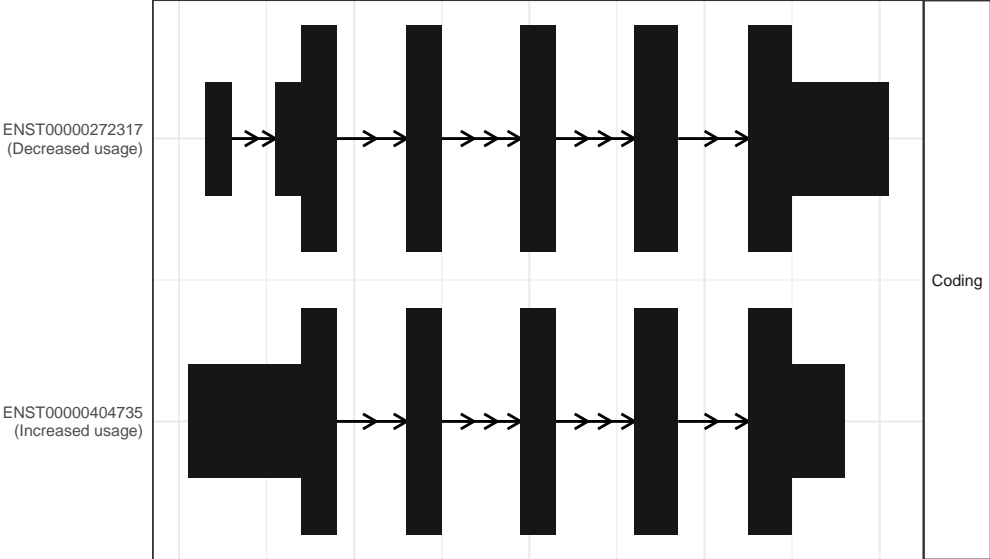
The isoform switch in SRGAP1 (RO_D100 vs RO_D209)



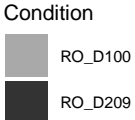
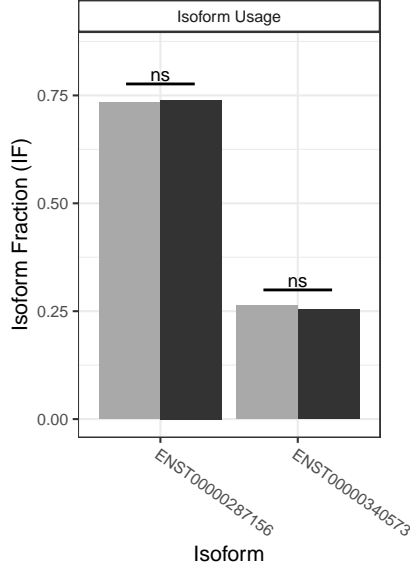
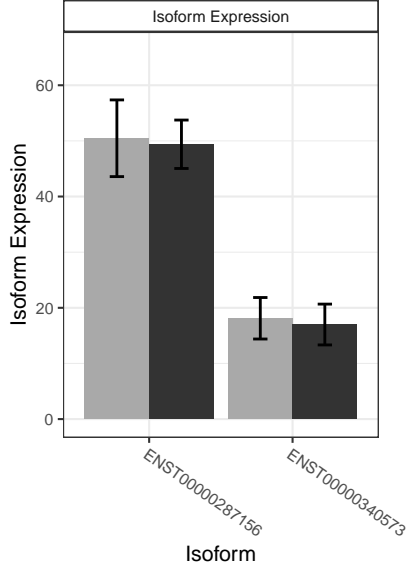
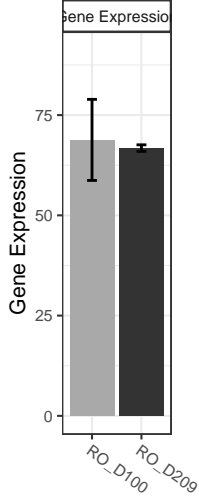
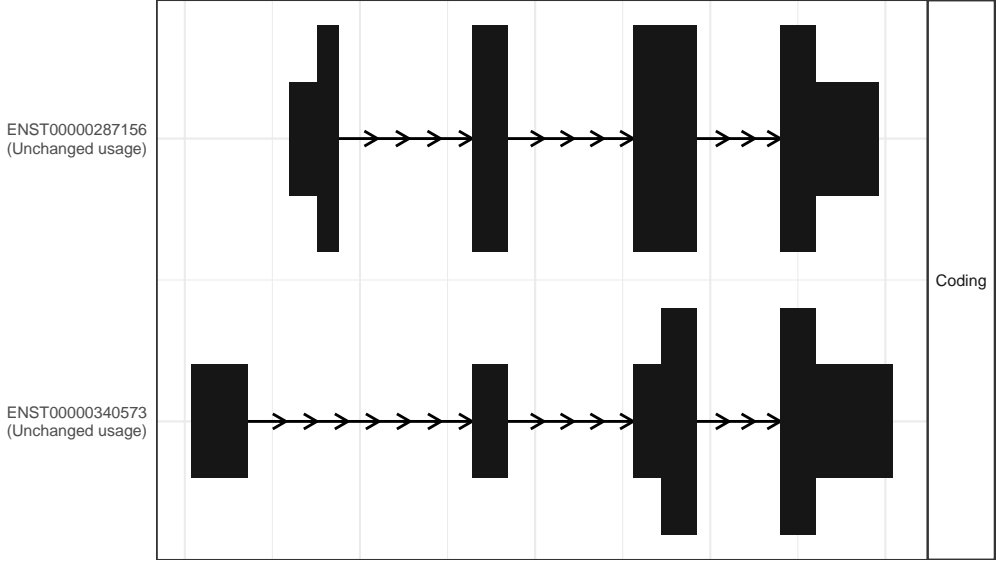
The isoform switch in MEAF6 (RO_D100 vs RO_D209)



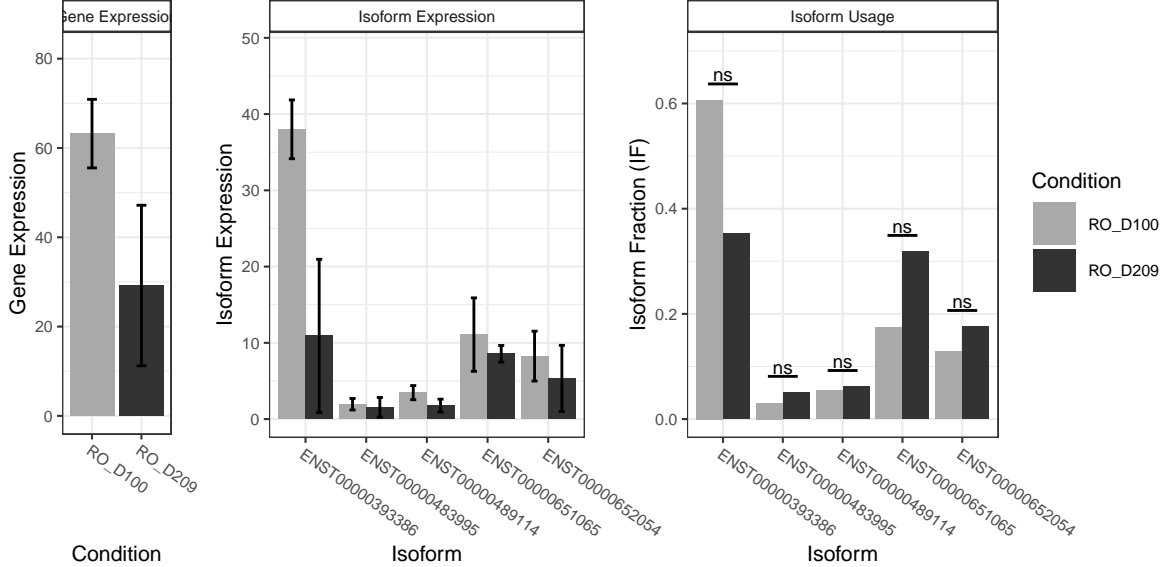
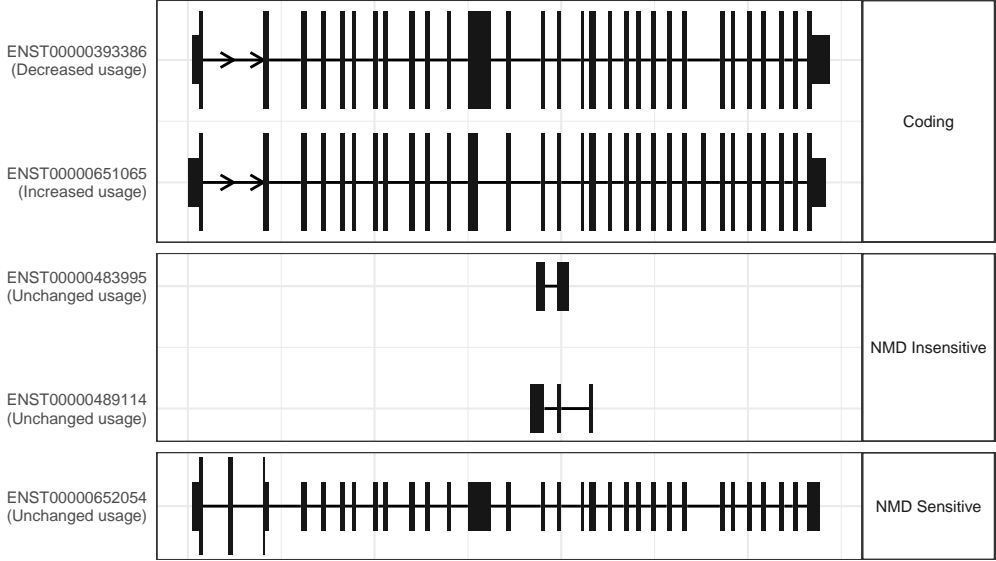
The isoform switch in RPS27A (RO_D100 vs RO_D209)



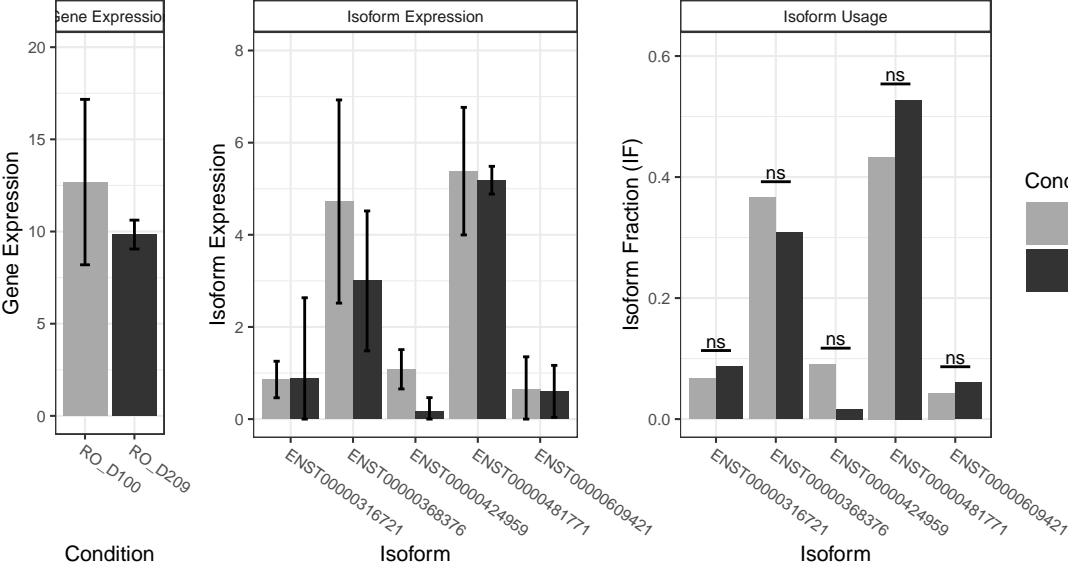
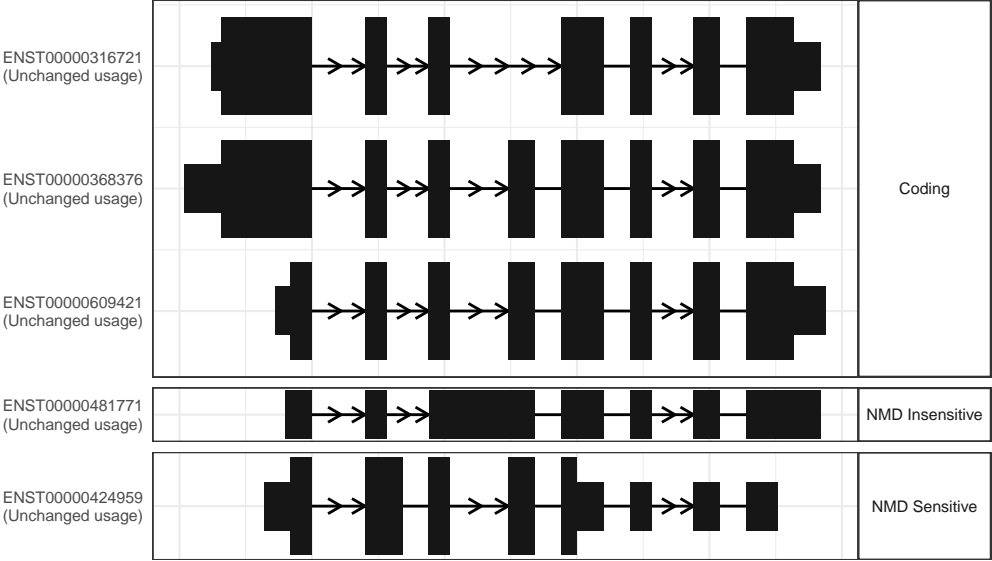
The isoform switch in UBE2L6 (RO_D100 vs RO_D209)



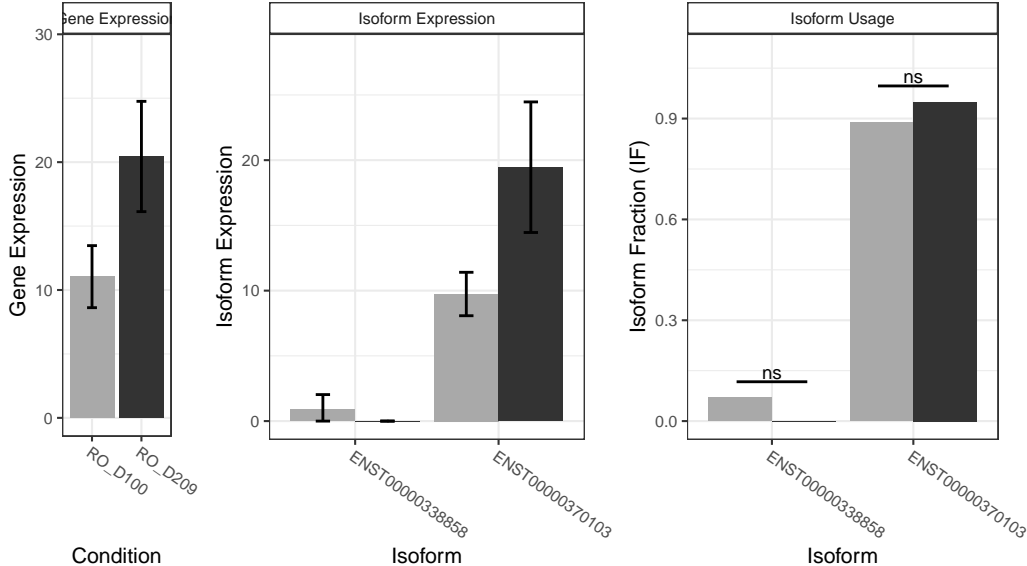
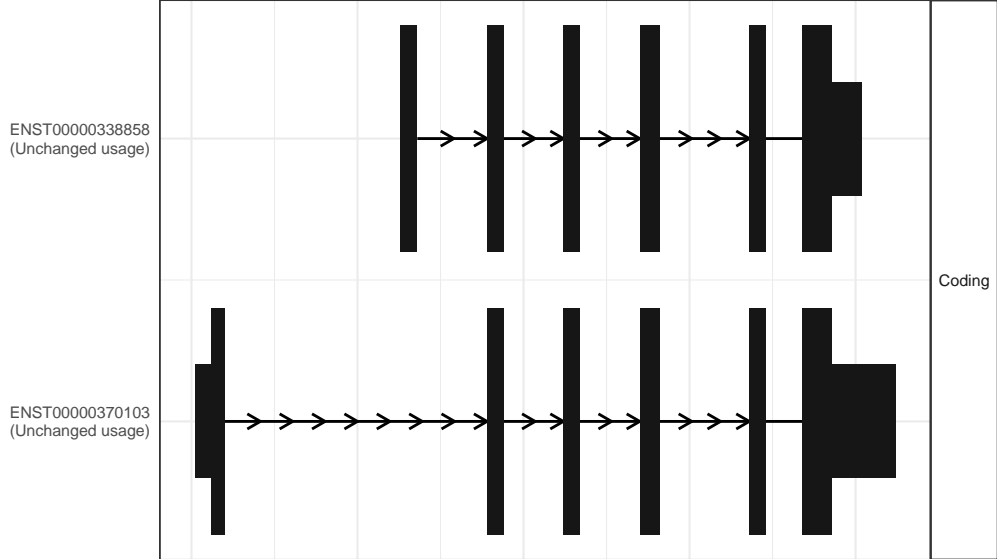
The isoform switch in PTPRZ1 (RO_D100 vs RO_D209)



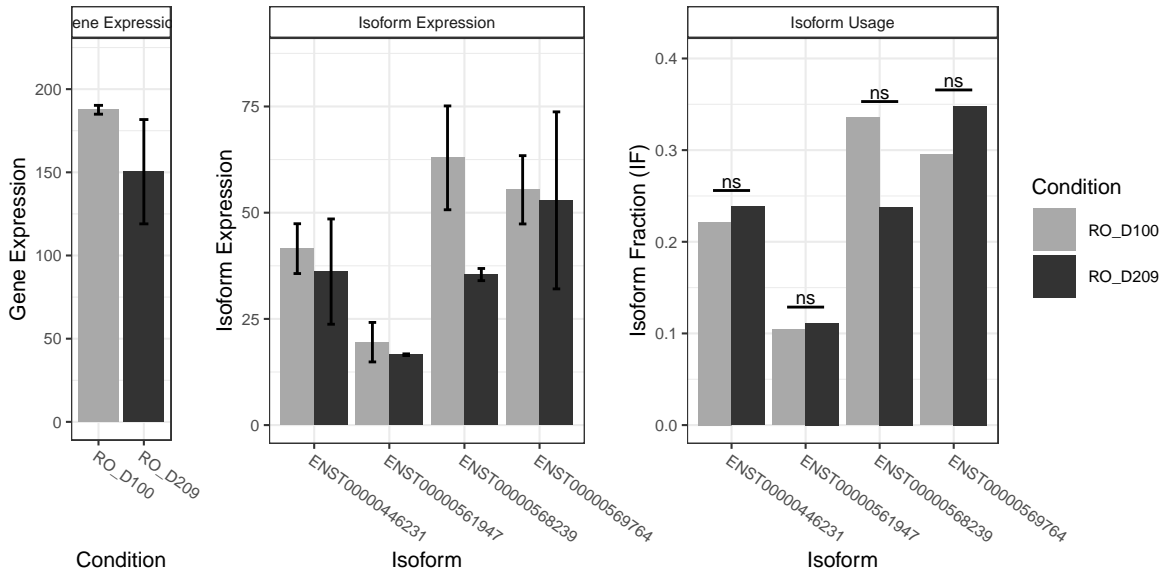
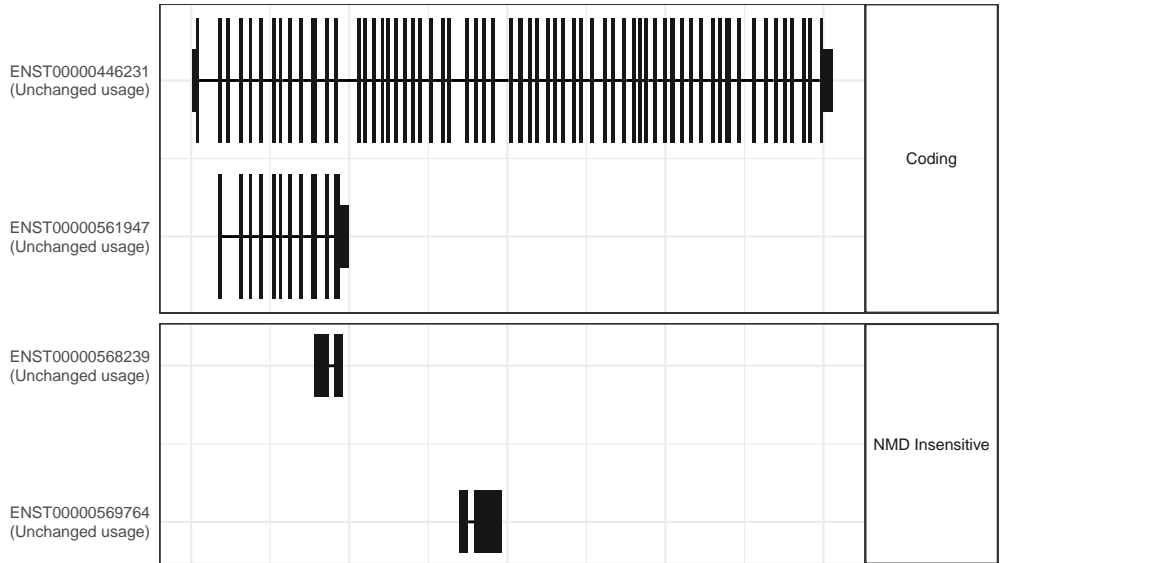
The isoform switch in MTX1 (RO_D100 vs RO_D209)



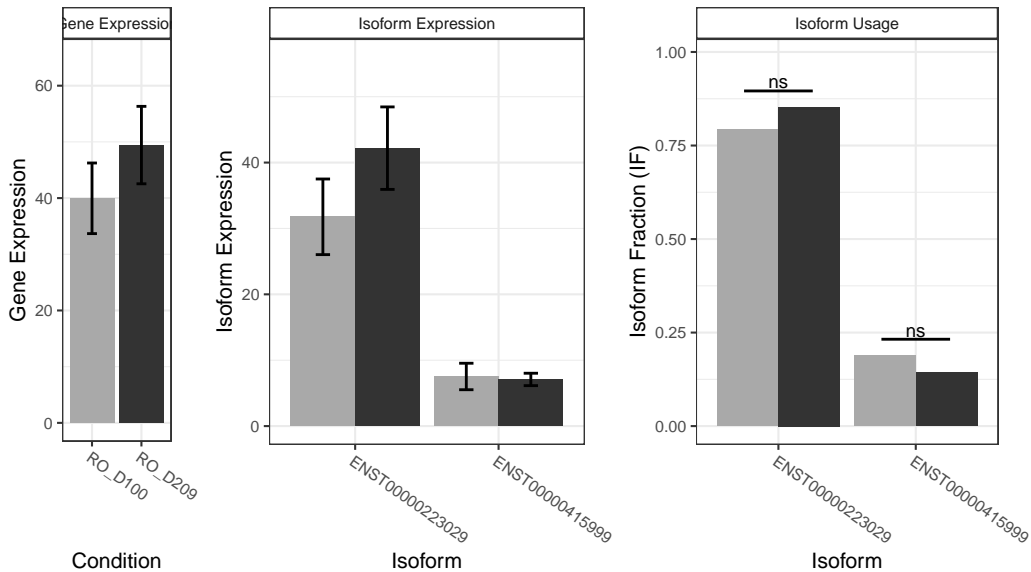
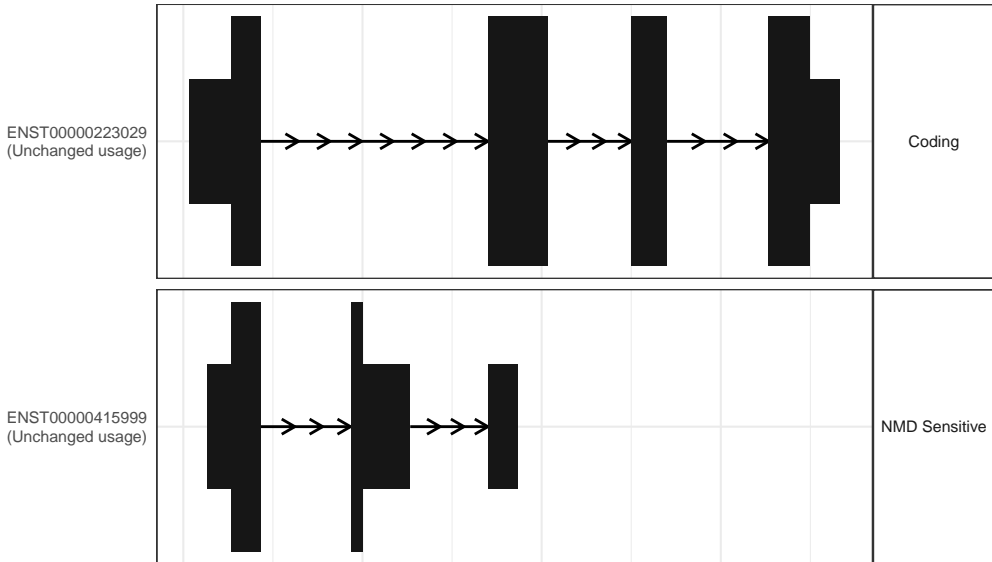
The isoform switch in OLFM3 (RO_D100 vs RO_D209)



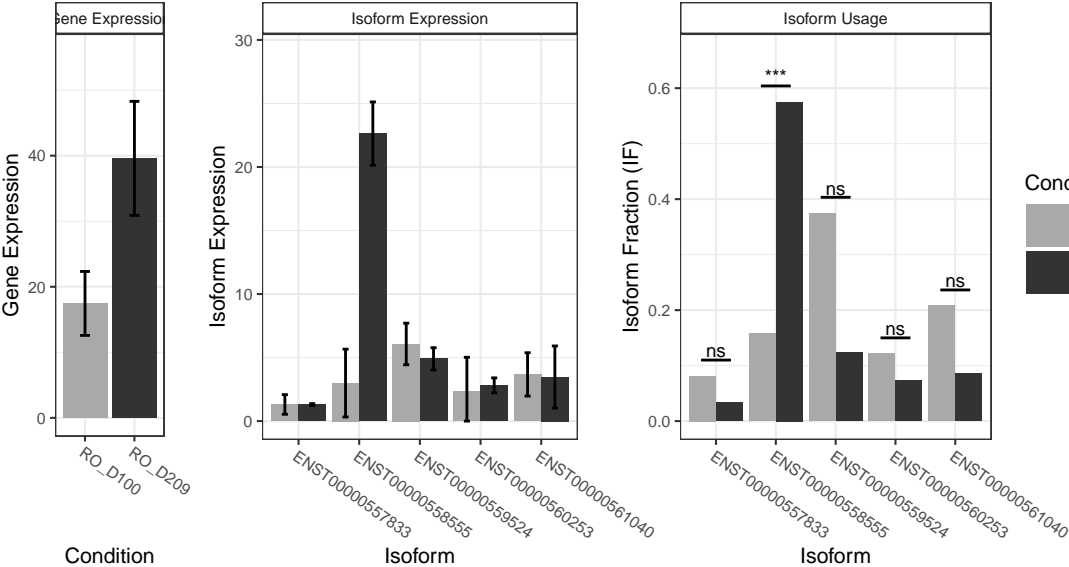
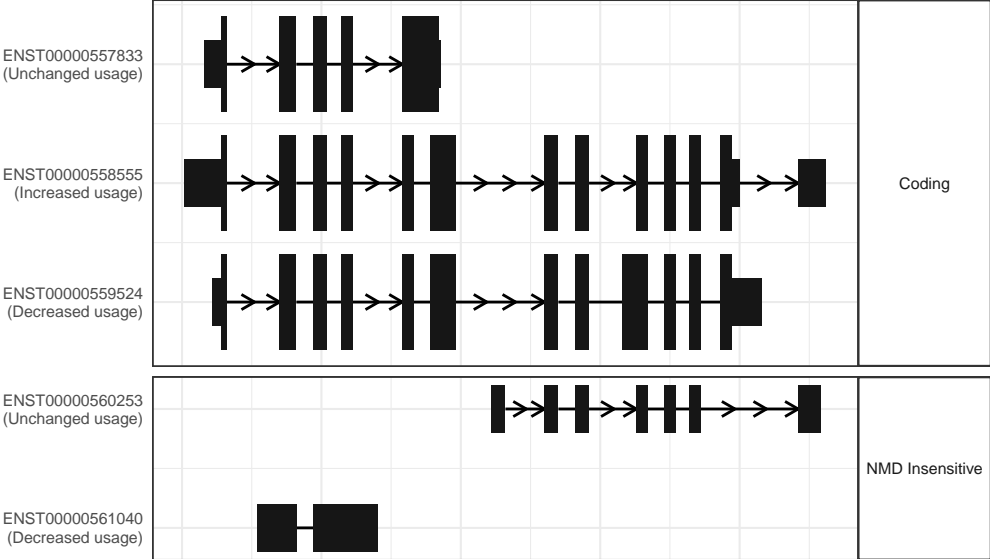
The isoform switch in SMG1 (RO_D100 vs RO_D209)



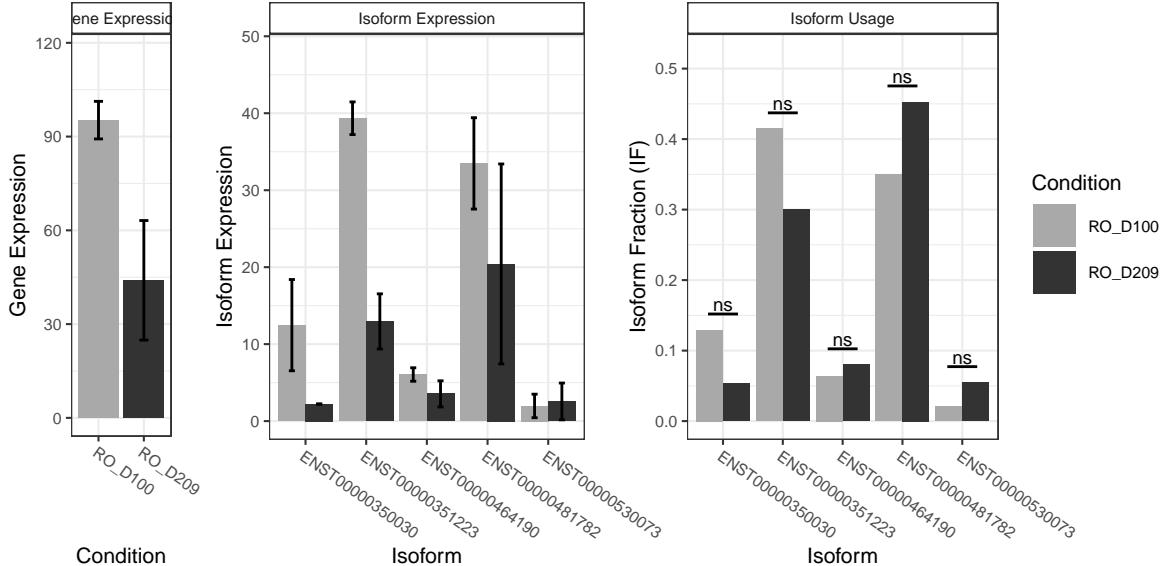
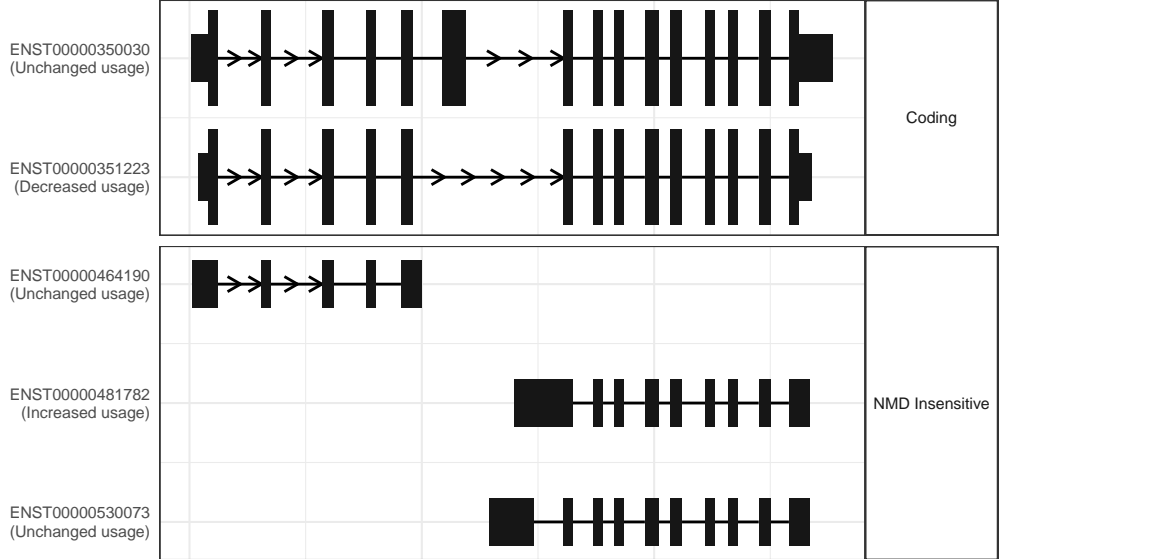
The isoform switch in AIMP2 (RO_D100 vs RO_D209)



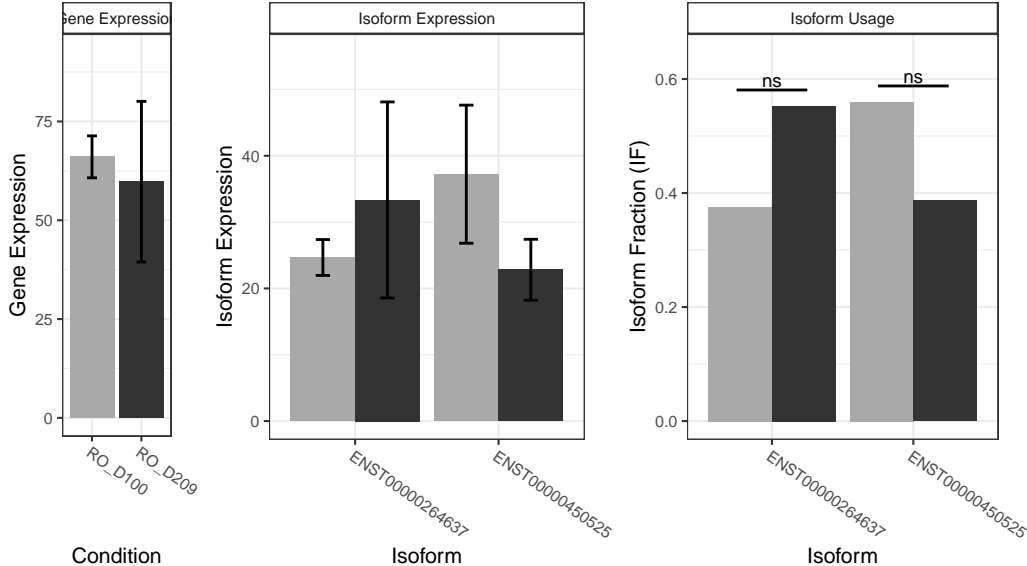
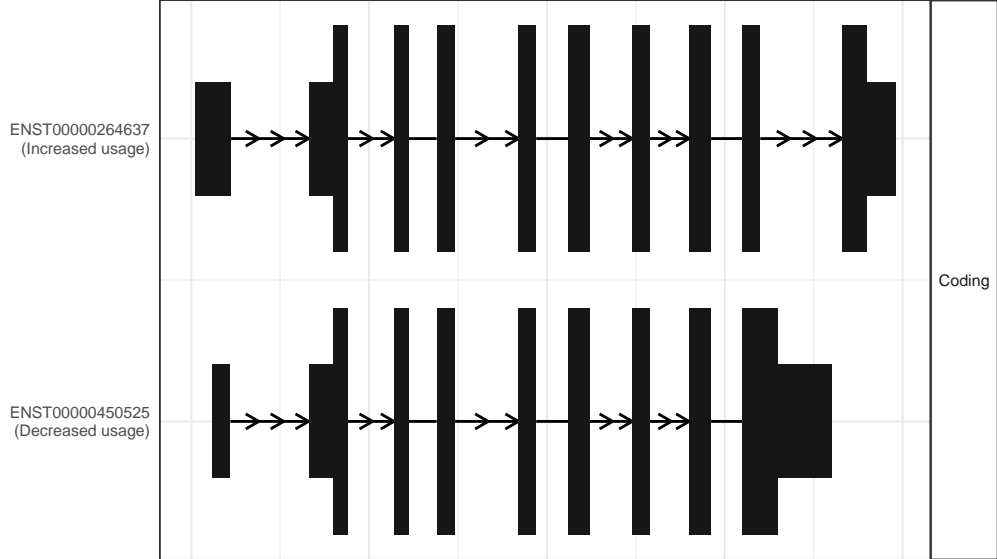
The isoform switch in MEIS3 (RO_D100 vs RO_D209)



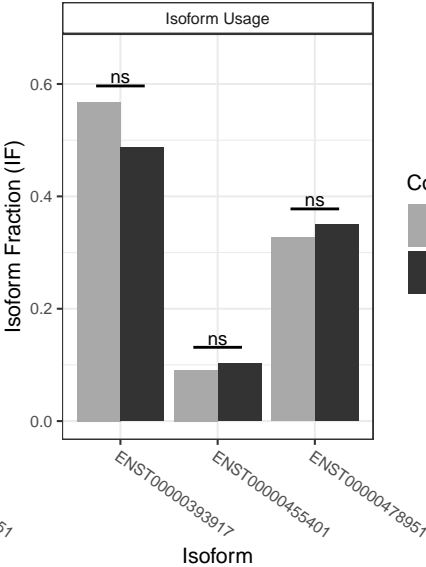
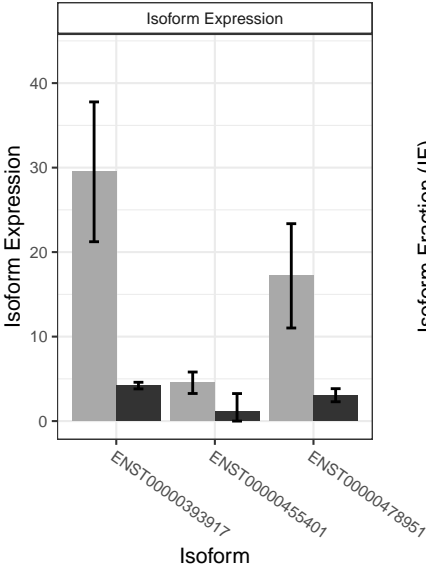
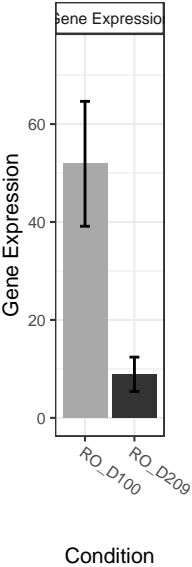
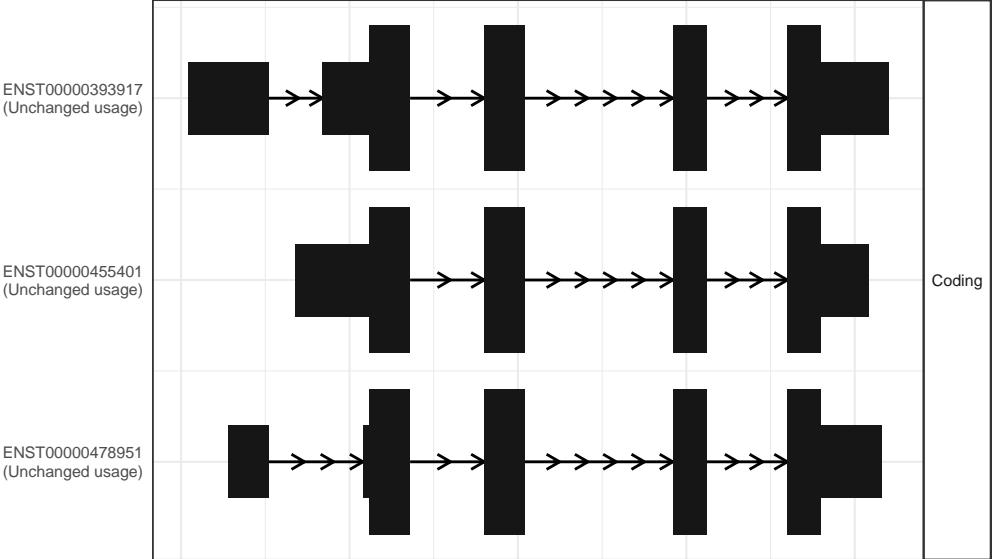
The isoform switch in NASP (RO_D100 vs RO_D209)



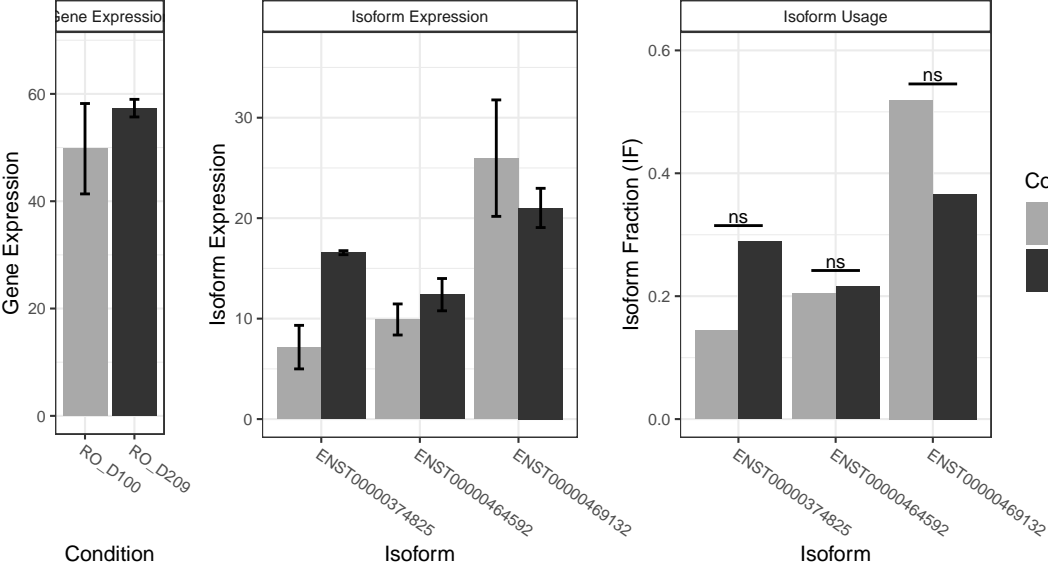
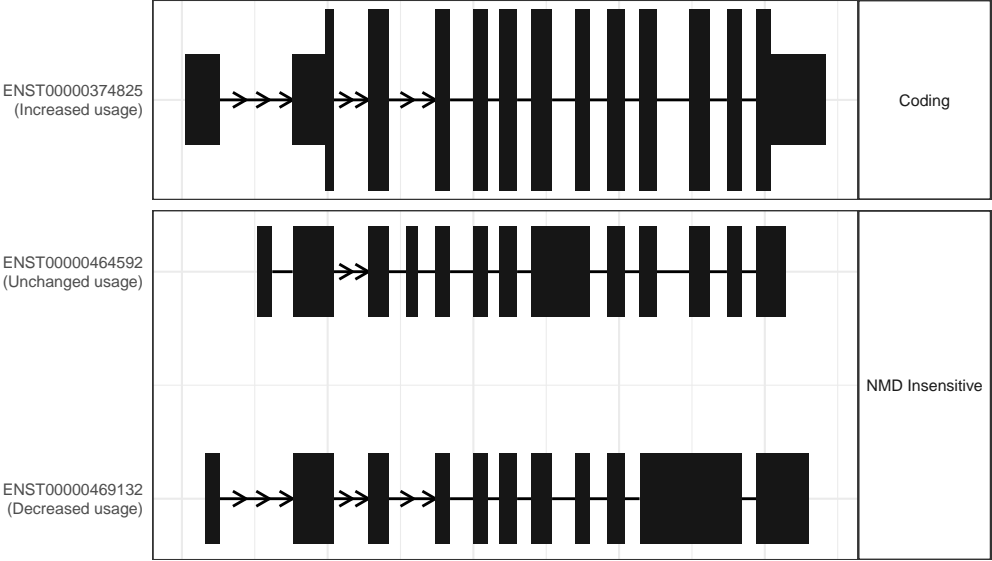
The isoform switch in THRA (RO_D100 vs RO_D209)



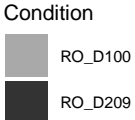
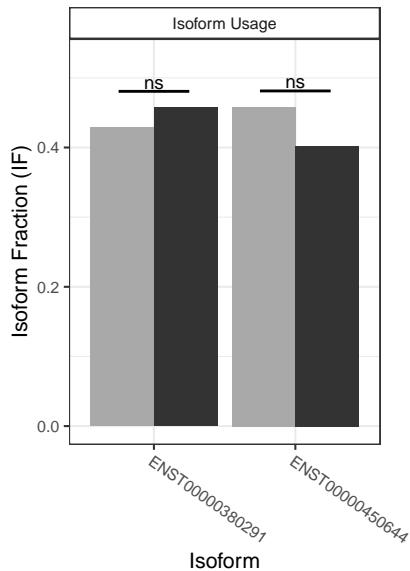
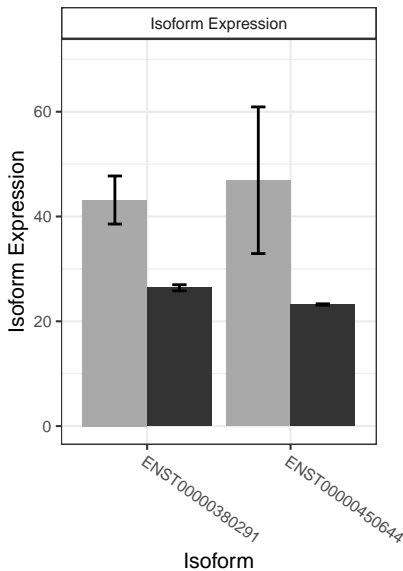
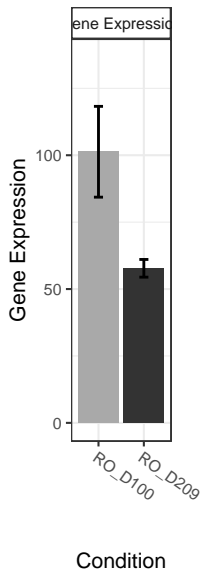
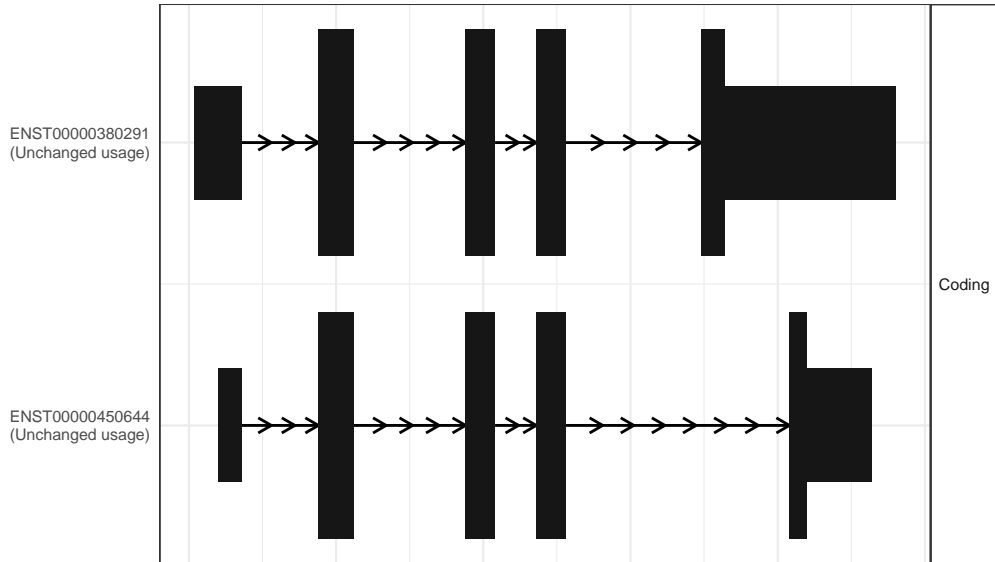
The isoform switch in TAGLN3 (RO_D100 vs RO_D209)



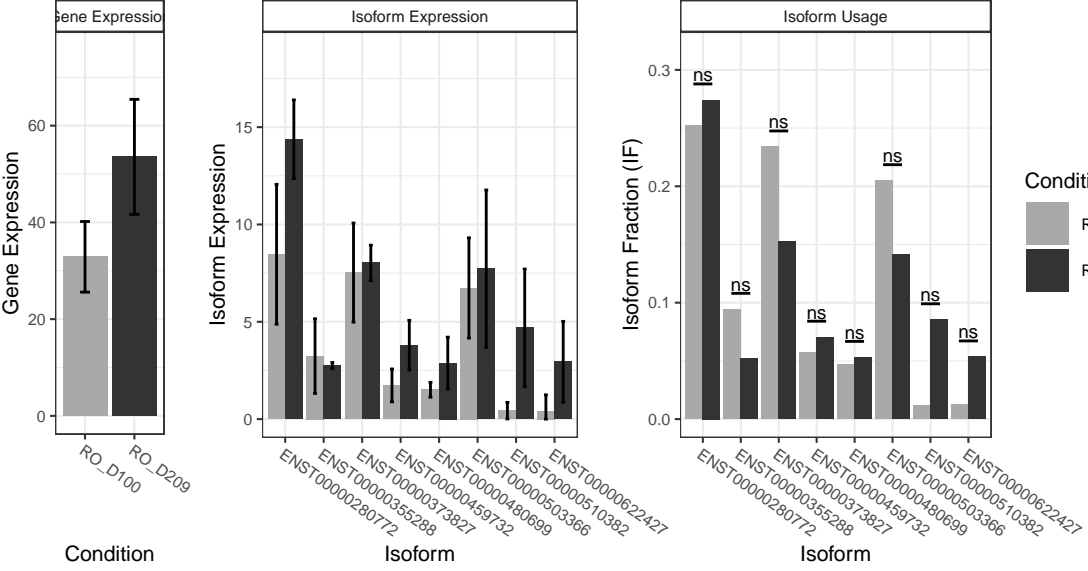
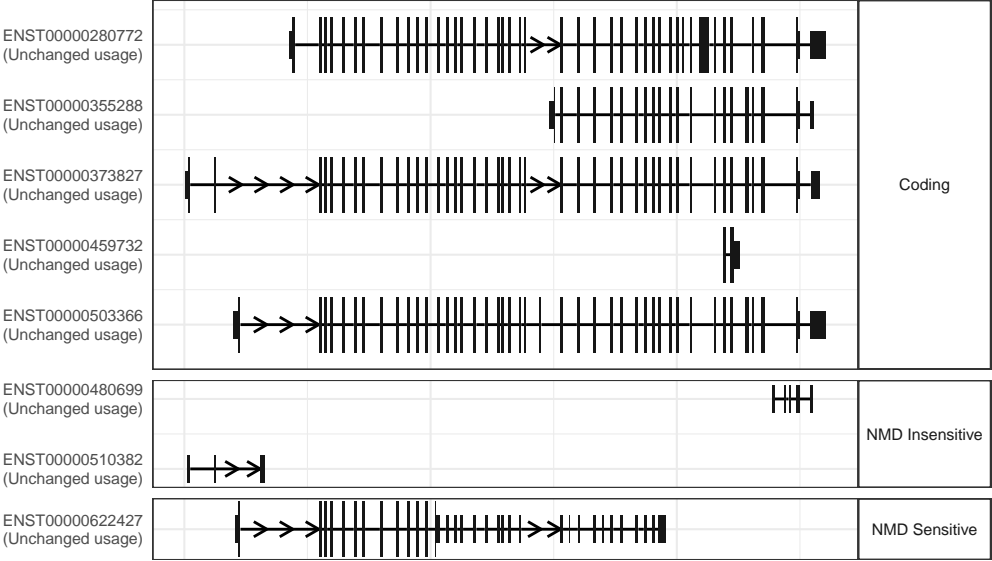
The isoform switch in BRD2 (RO_D100 vs RO_D209)



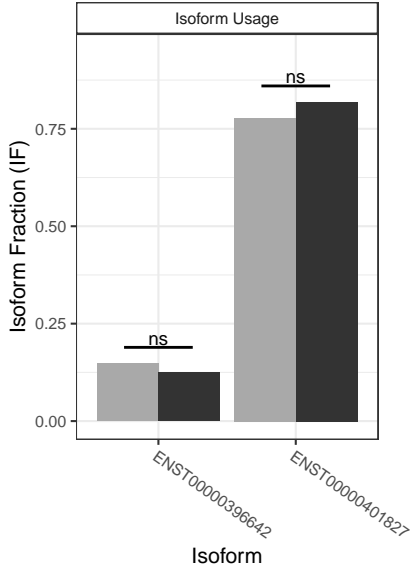
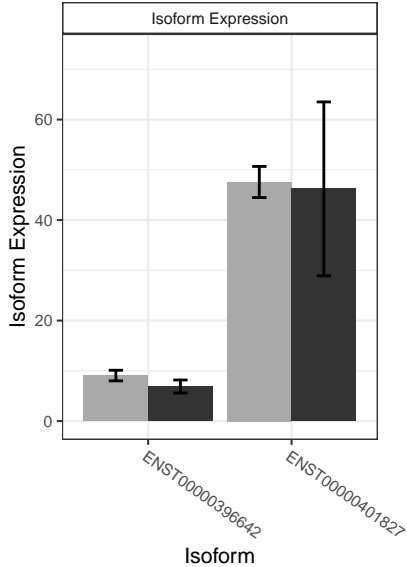
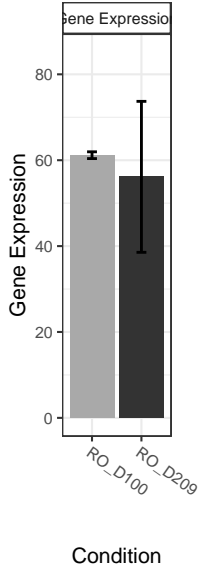
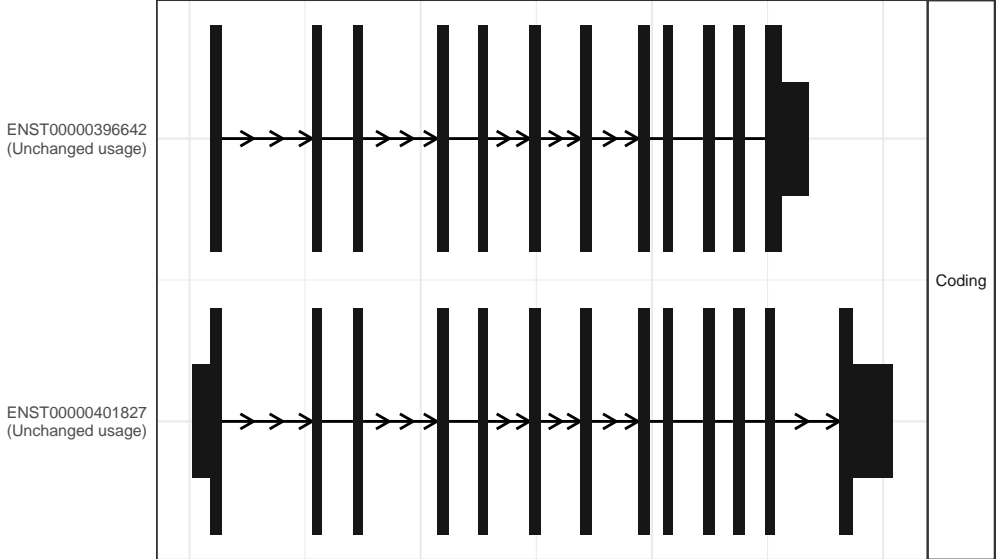
The isoform switch in AP1S2 (RO_D100 vs RO_D209)



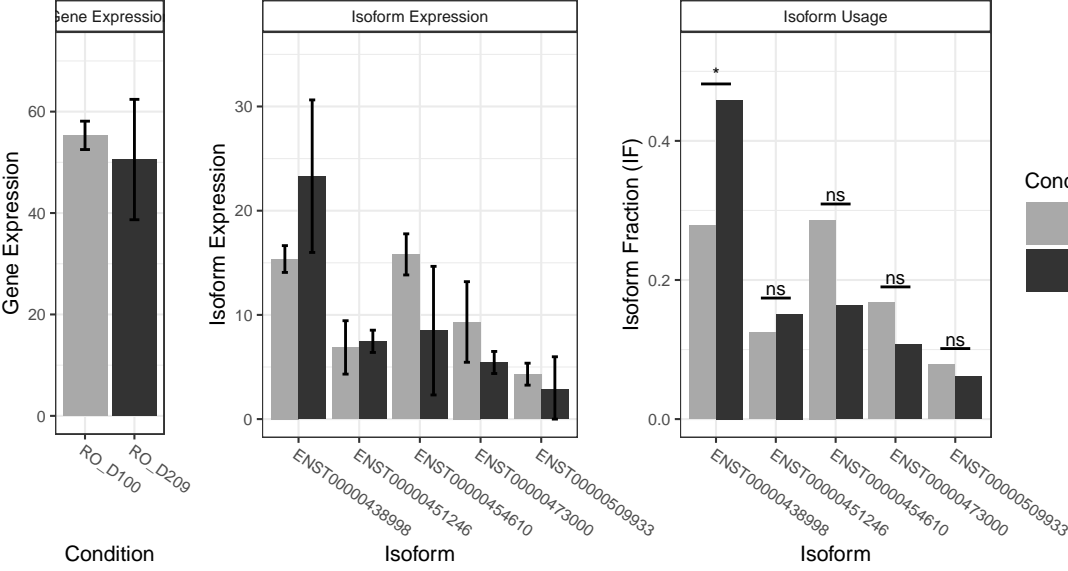
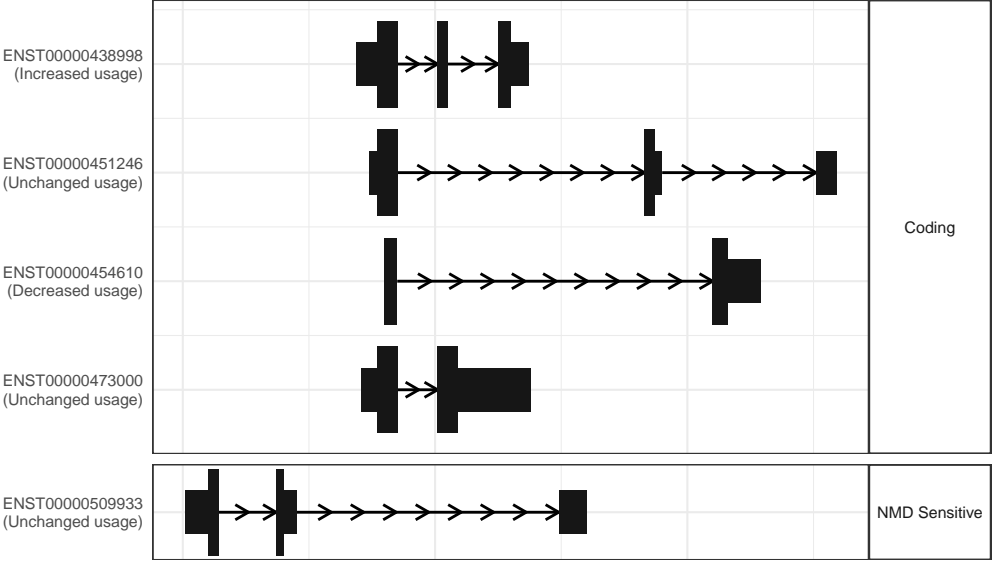
The isoform switch in ANK3 (RO_D100 vs RO_D209)



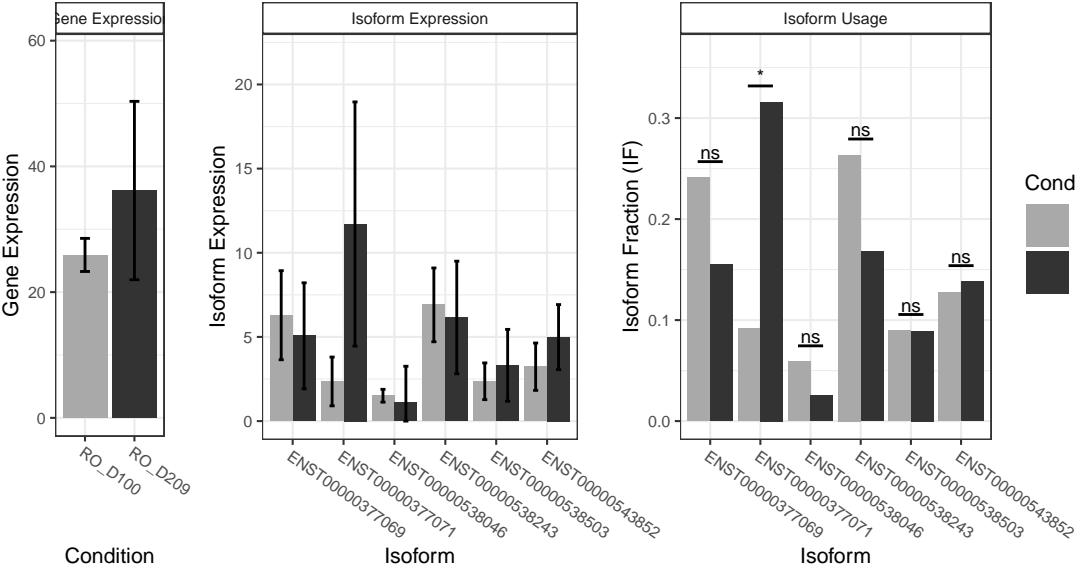
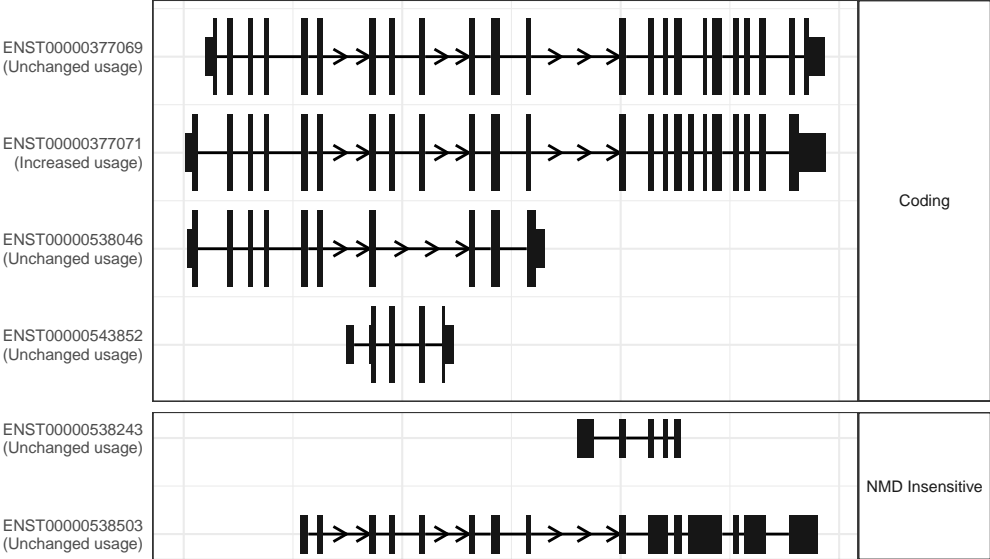
The isoform switch in PDE7A (RO_D100 vs RO_D209)



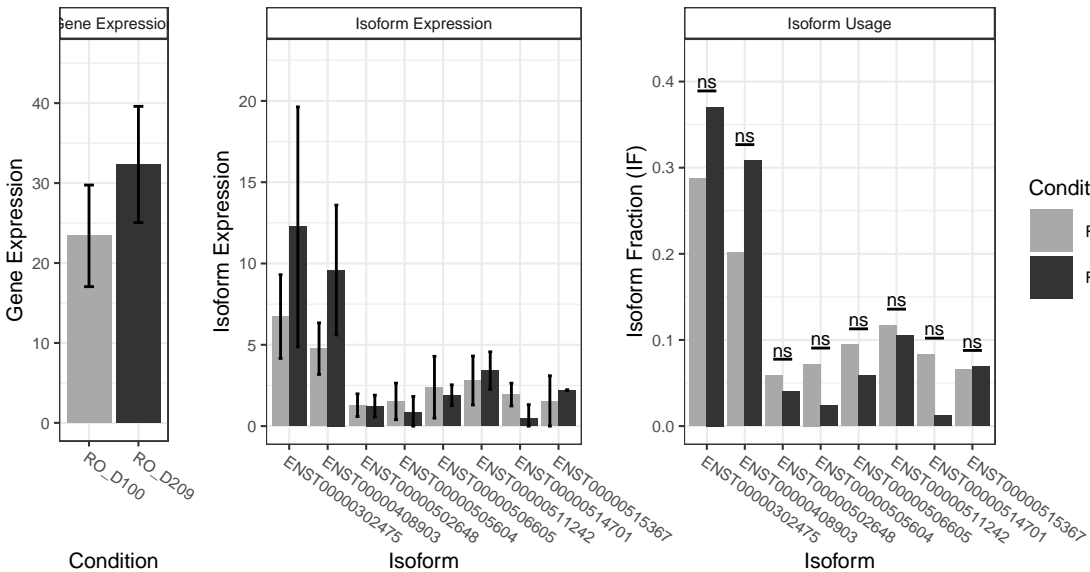
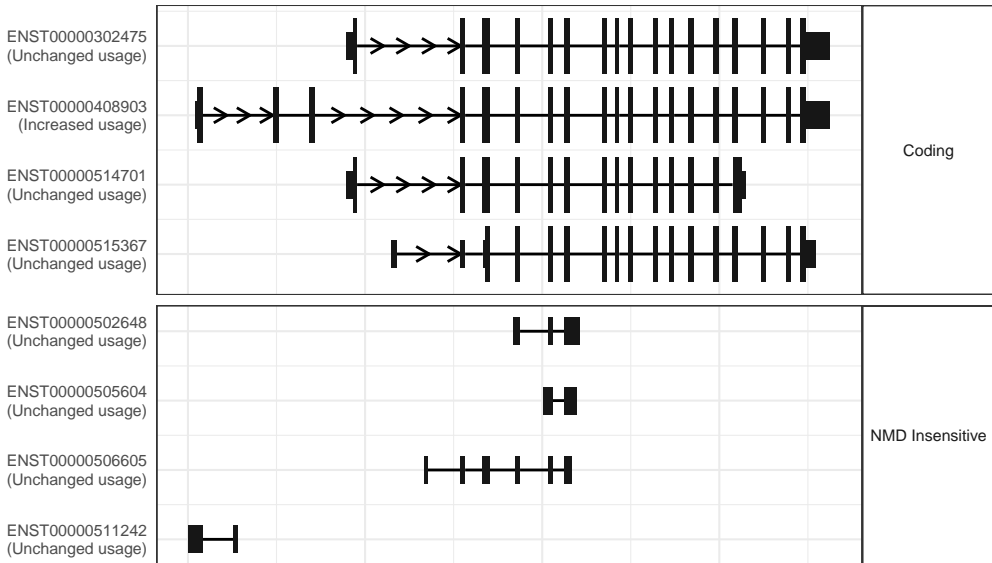
The isoform switch in PSMG4 (RO_D100 vs RO_D209)



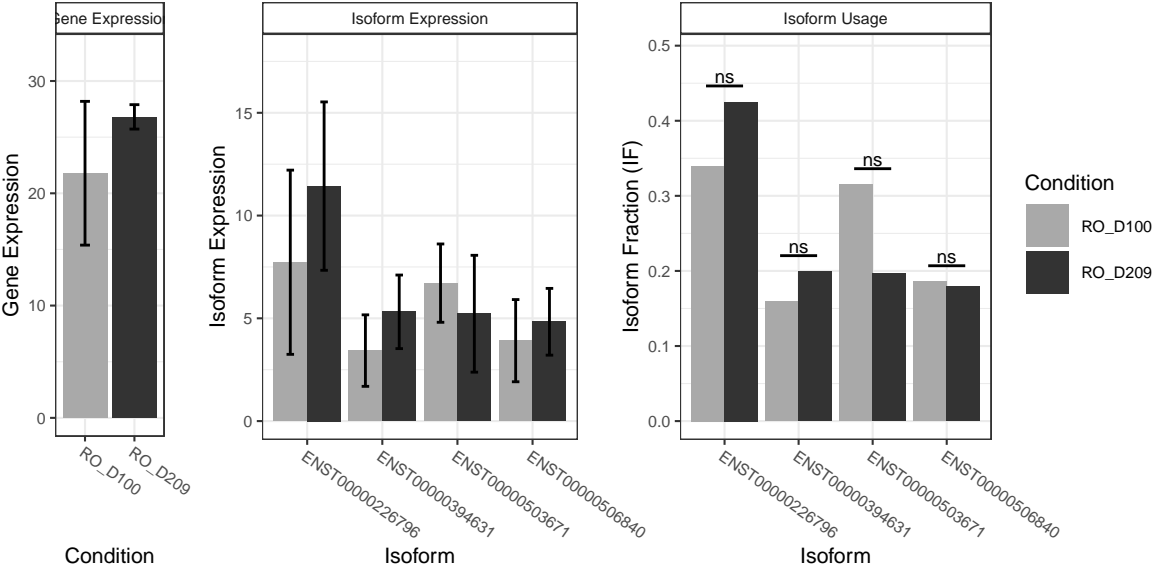
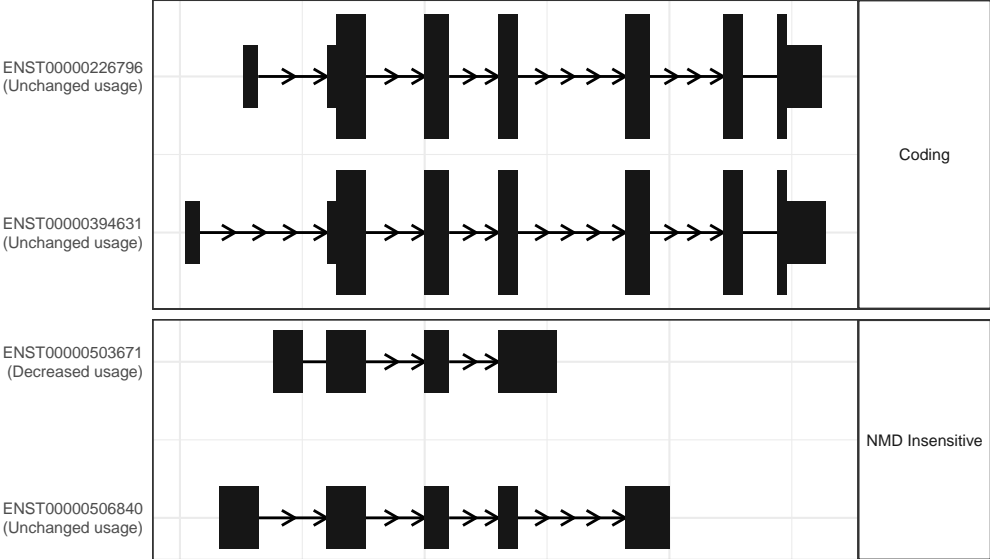
The isoform switch in KDM2B (RO_D100 vs RO_D209)



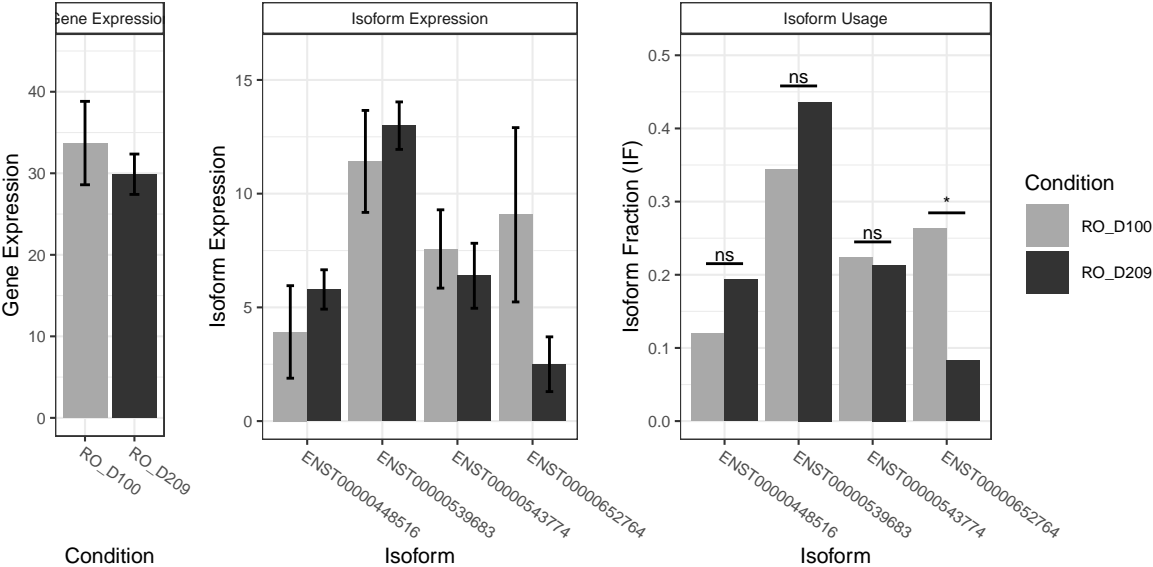
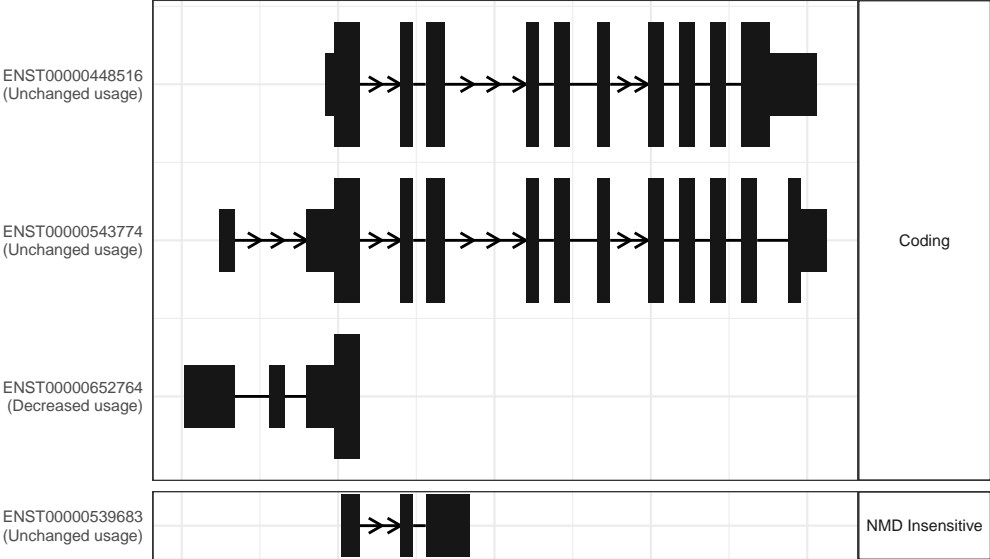
The isoform switch in MCC (RO_D100 vs RO_D209)



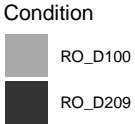
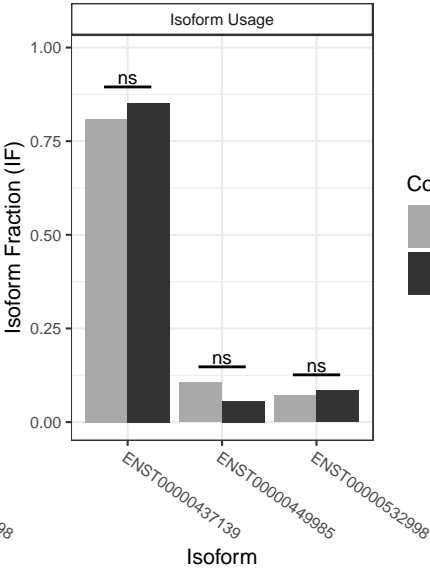
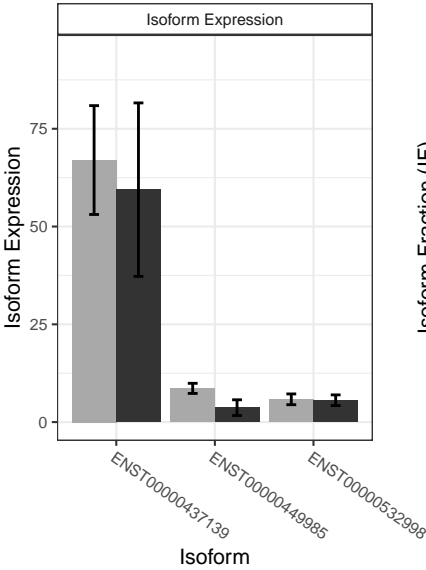
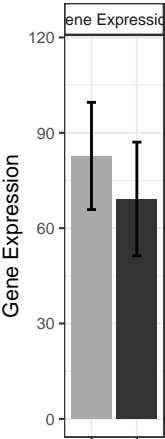
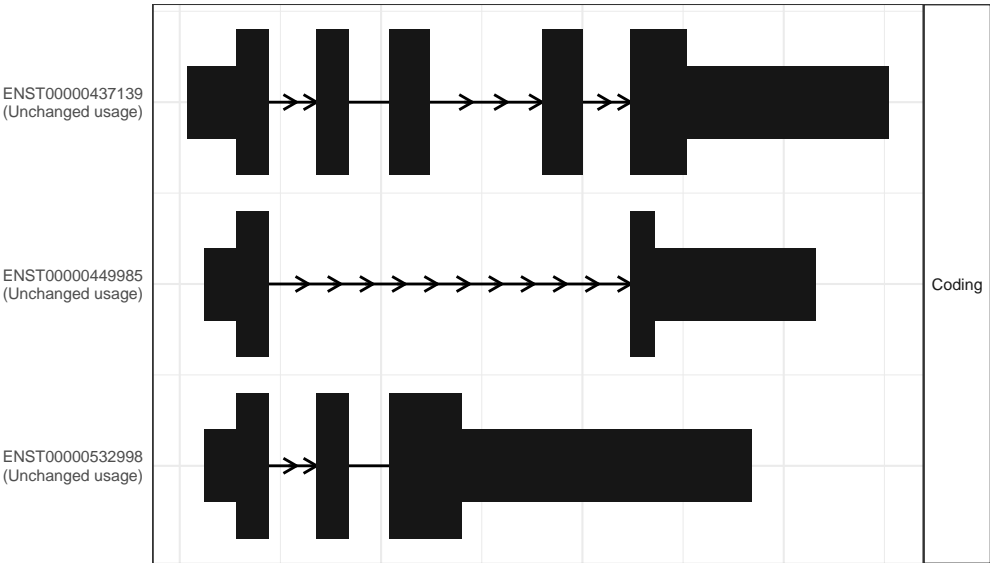
The isoform switch in GAR1 (RO_D100 vs RO_D209)



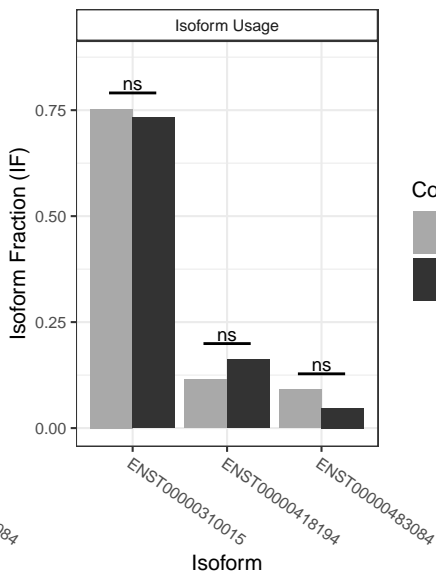
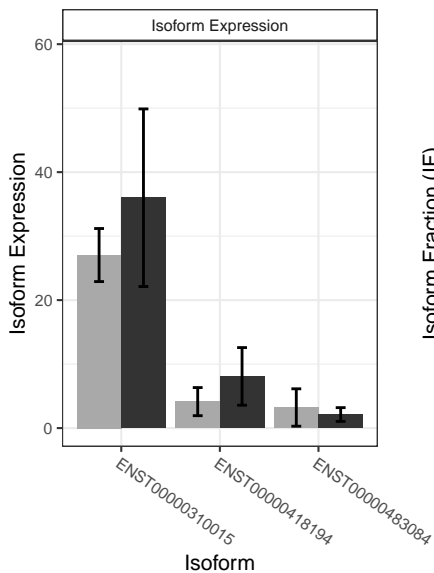
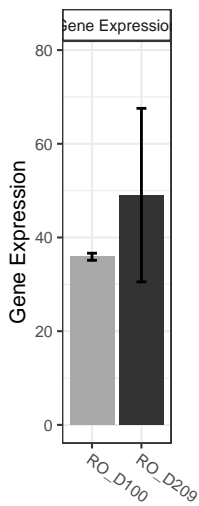
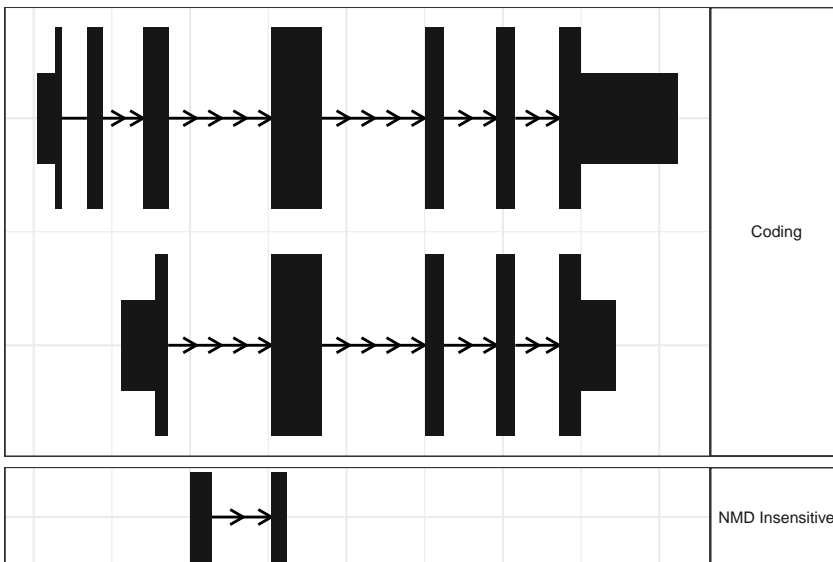
The isoform switch in KAT8 (RO_D100 vs RO_D209)



The isoform switch in TMEM107 (RO_D100 vs RO_D209)



The isoform switch in SP3 (RO_D100 vs RO_D209)

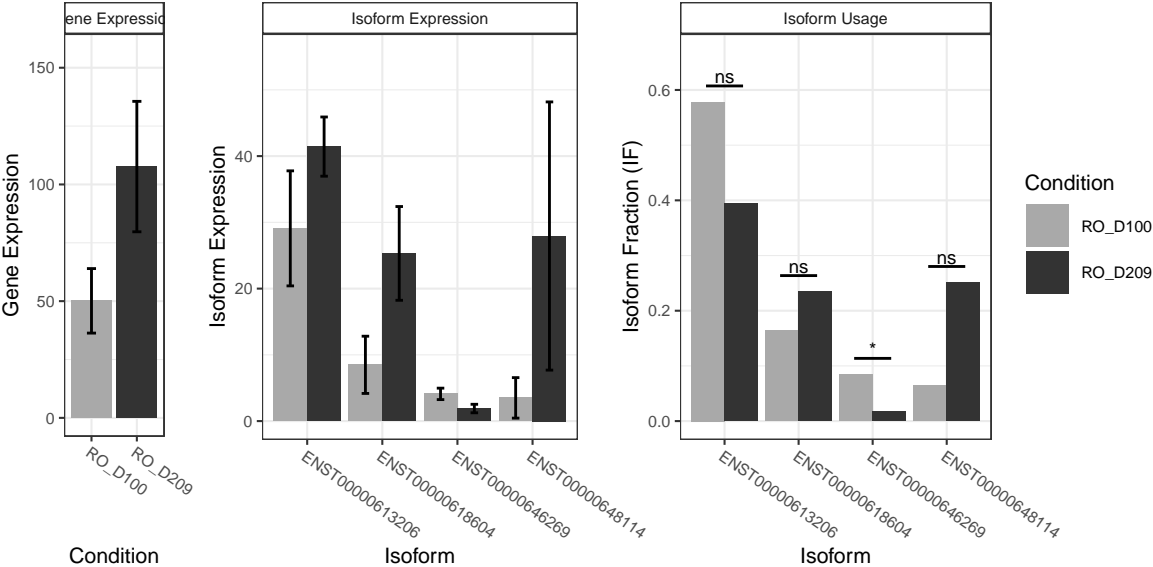
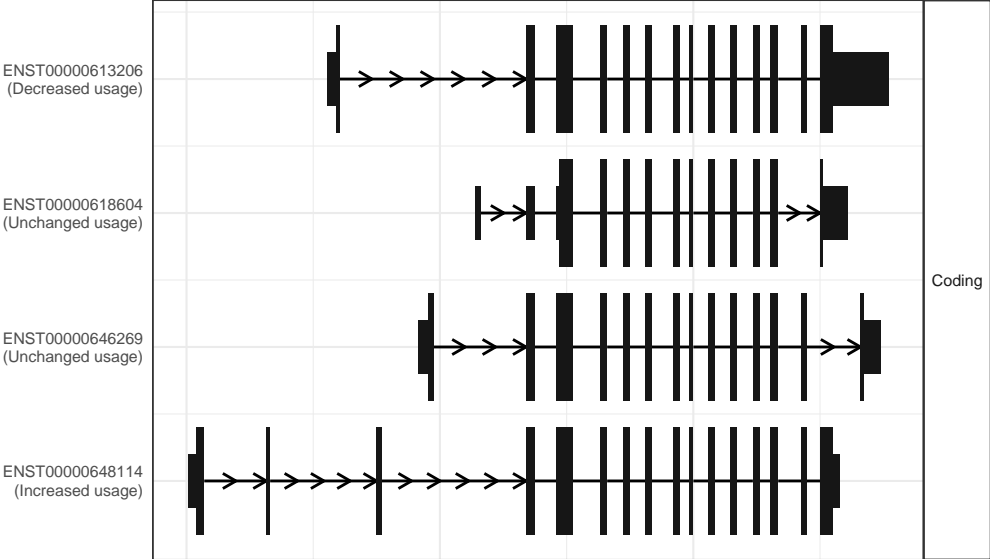


Condition

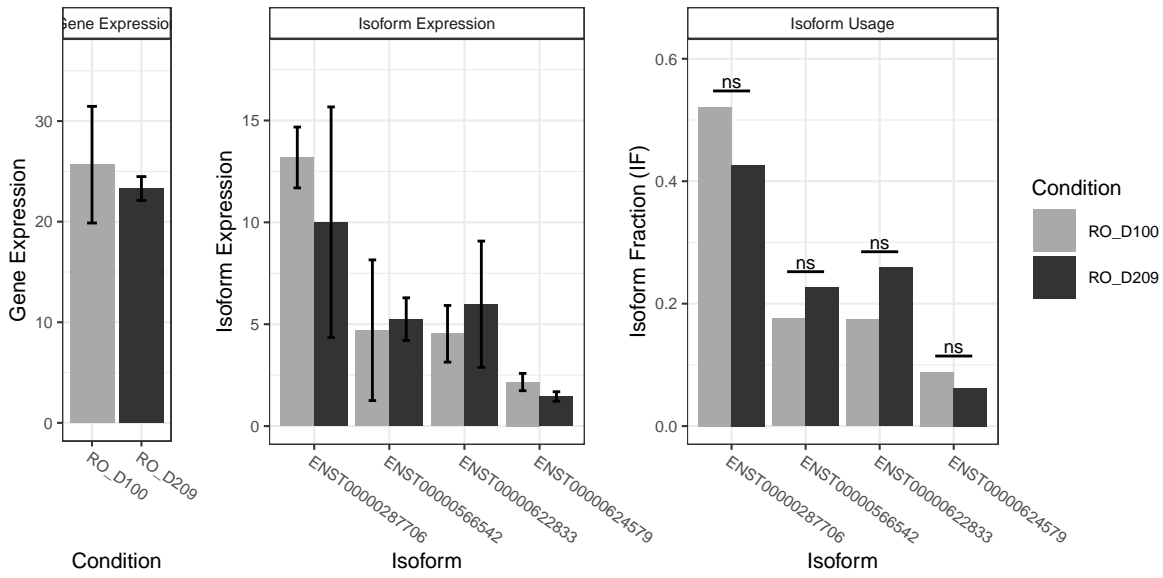
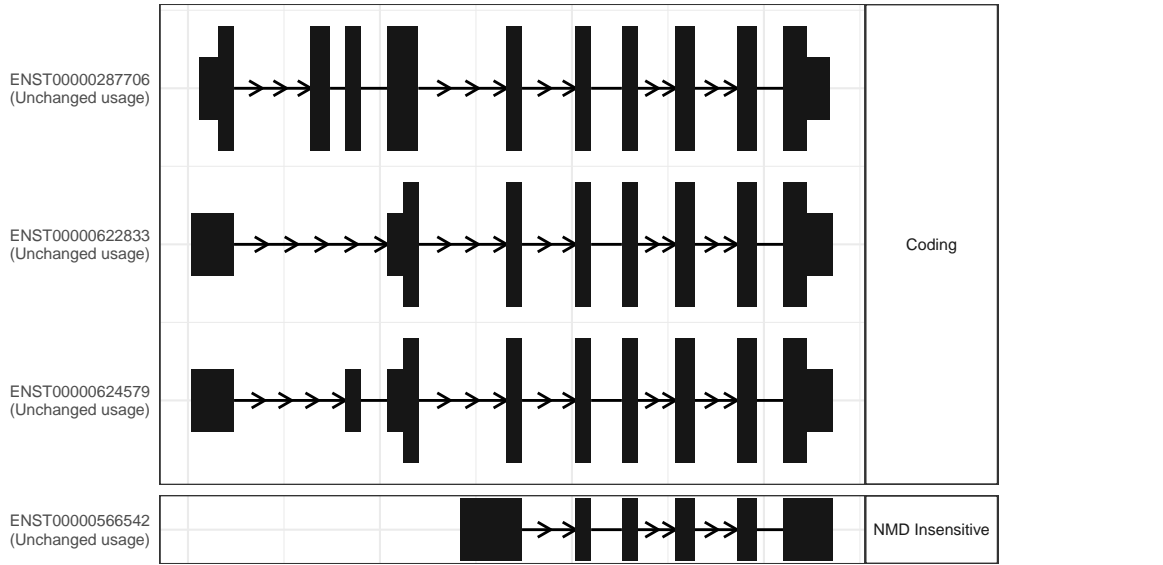
RO_D100

RO_D209

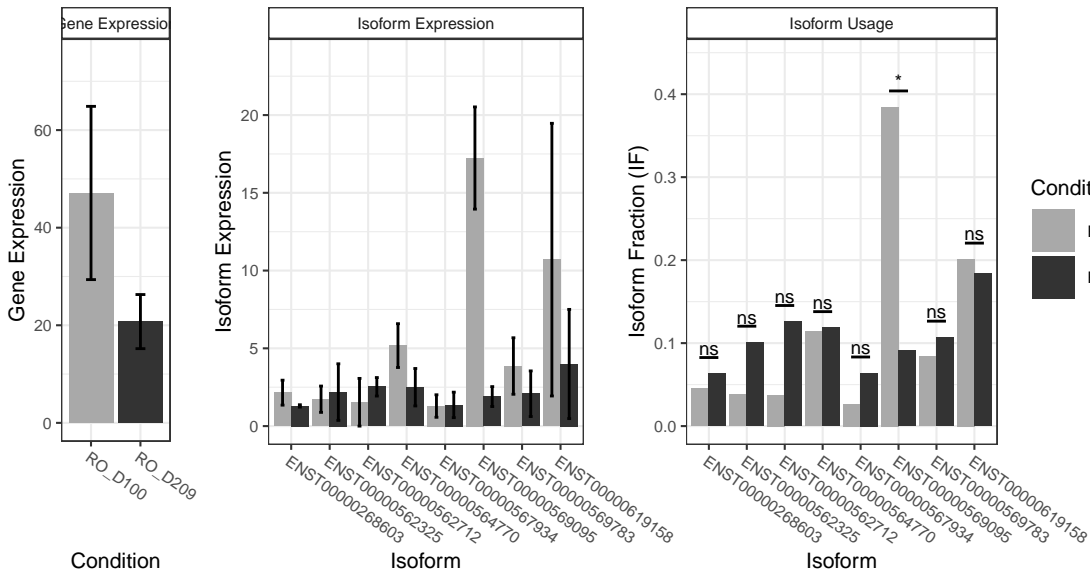
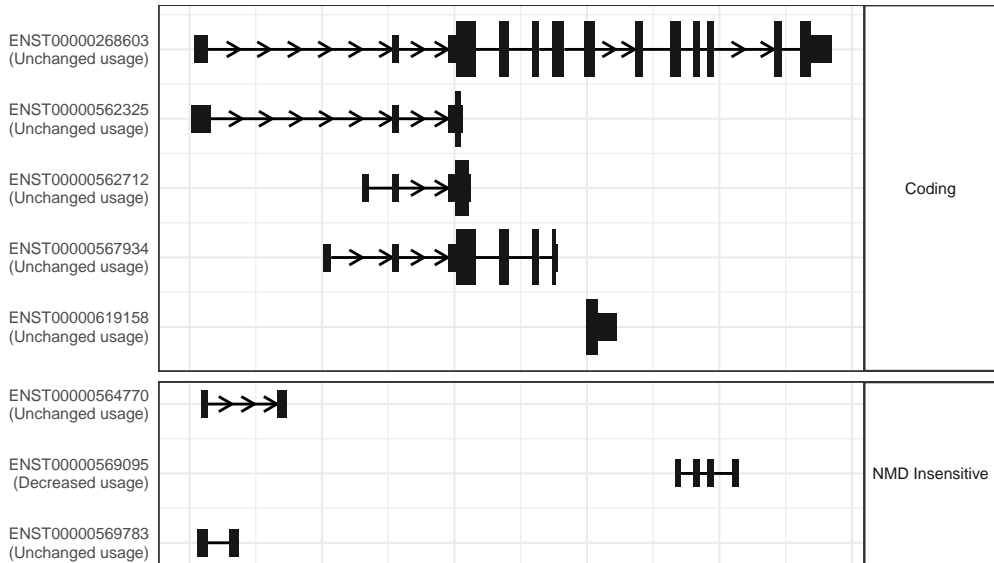
The isoform switch in IQSEC1 (RO_D100 vs RO_D209)



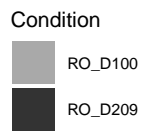
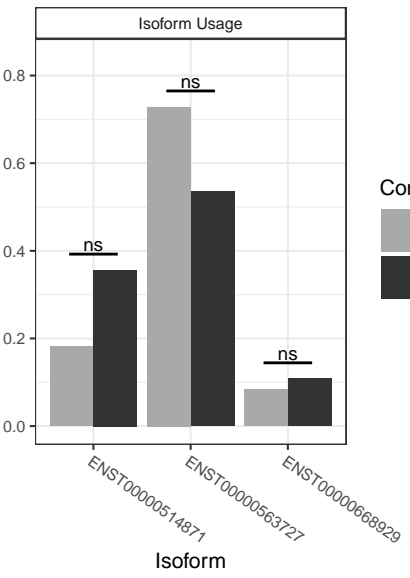
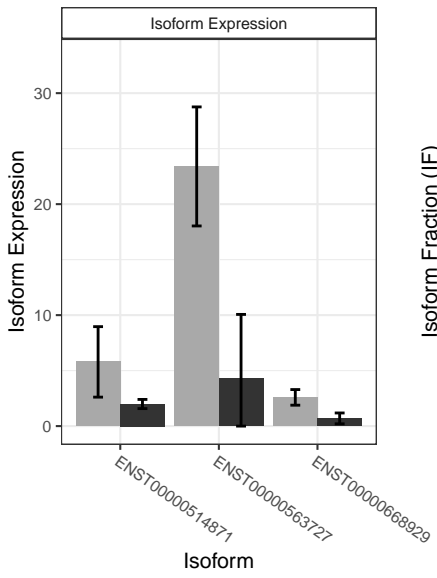
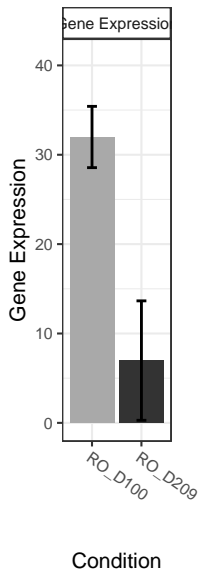
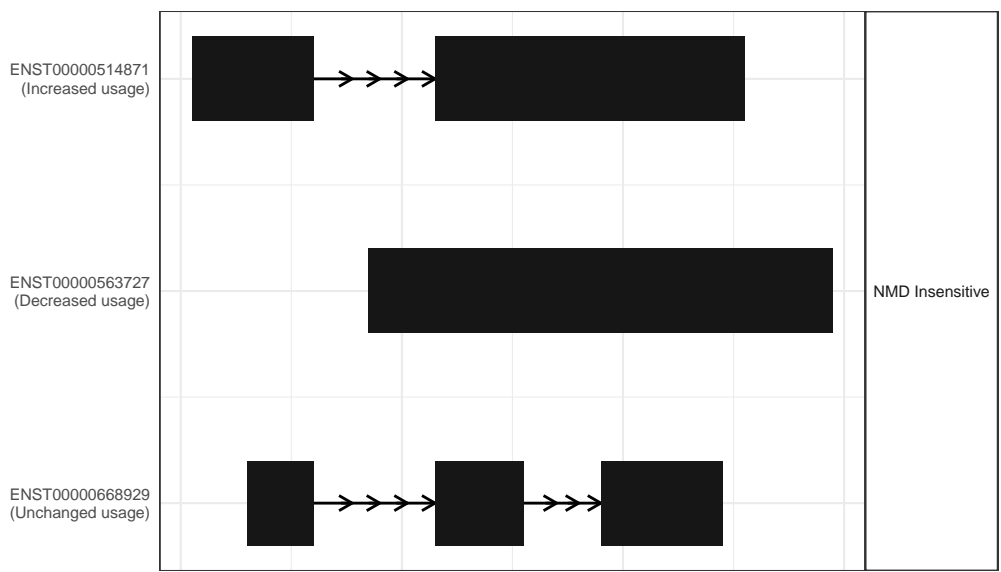
The isoform switch in NTAN1 (RO_D100 vs RO_D209)



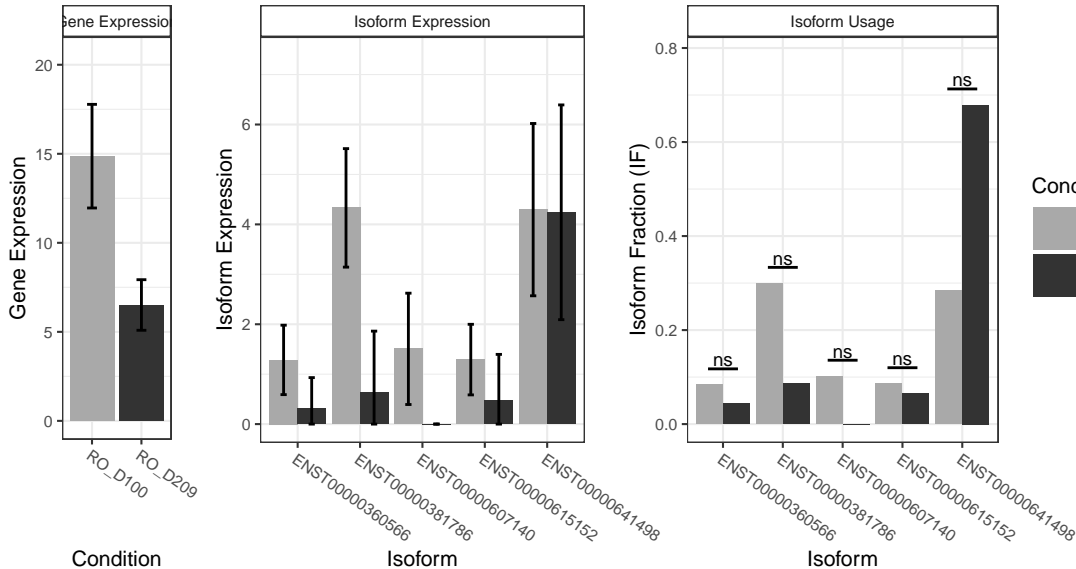
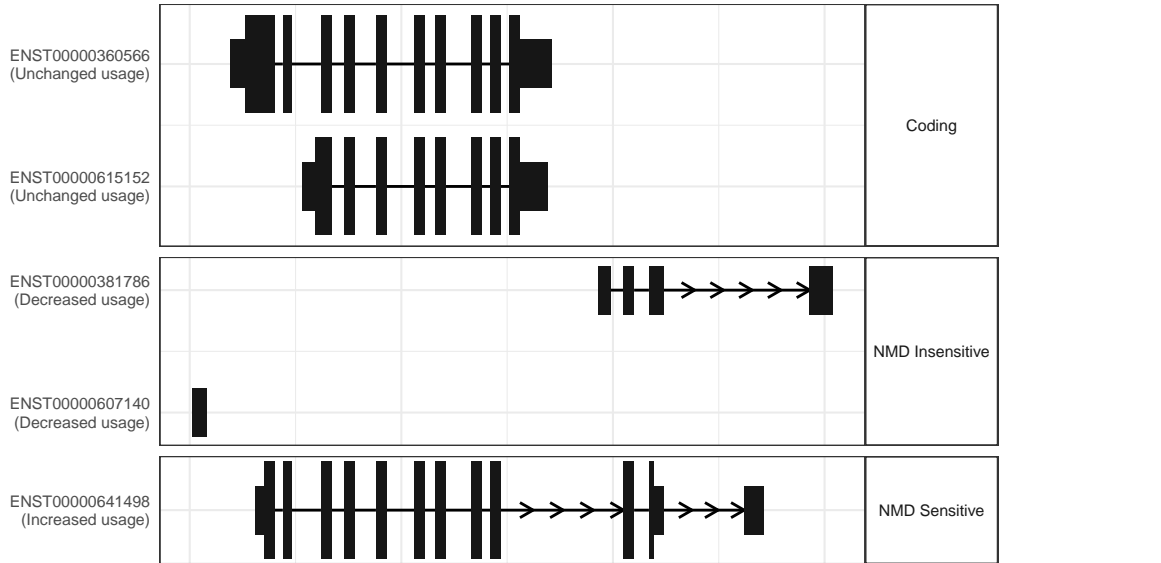
The isoform switch in CDH11 (RO_D100 vs RO_D209)



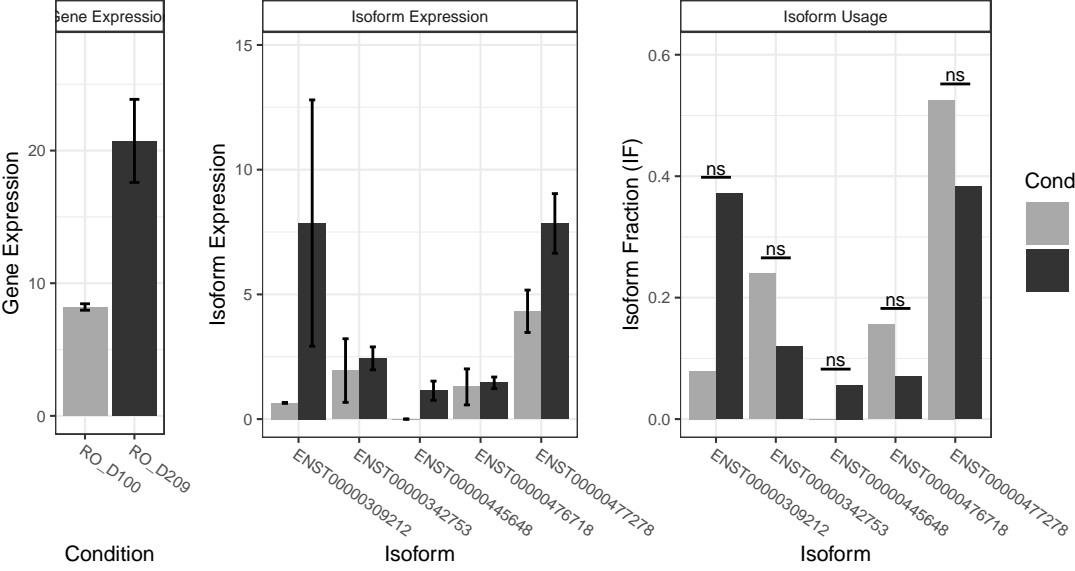
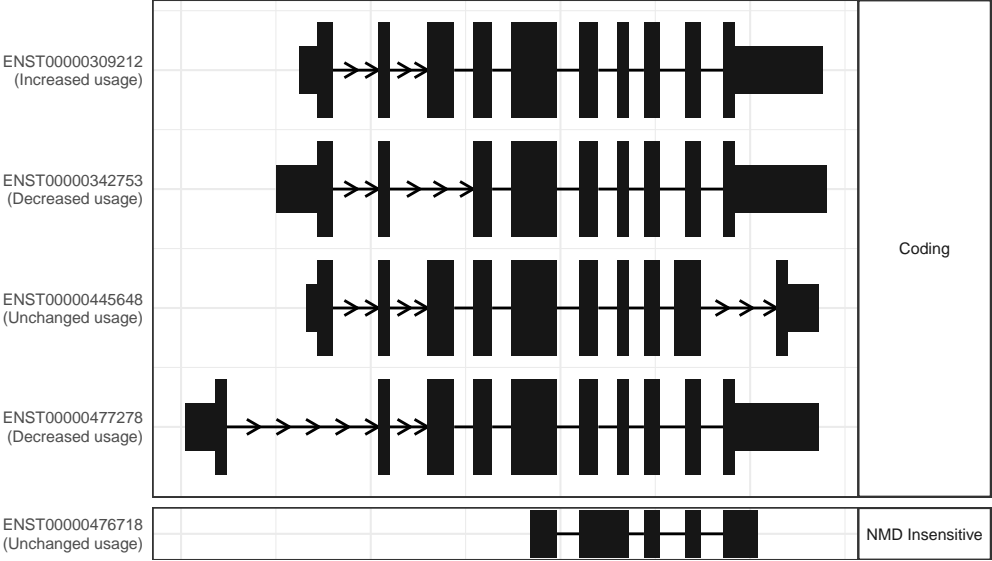
isoform switch in ENSG00000248540 (RO_D100 vs RO_D209)



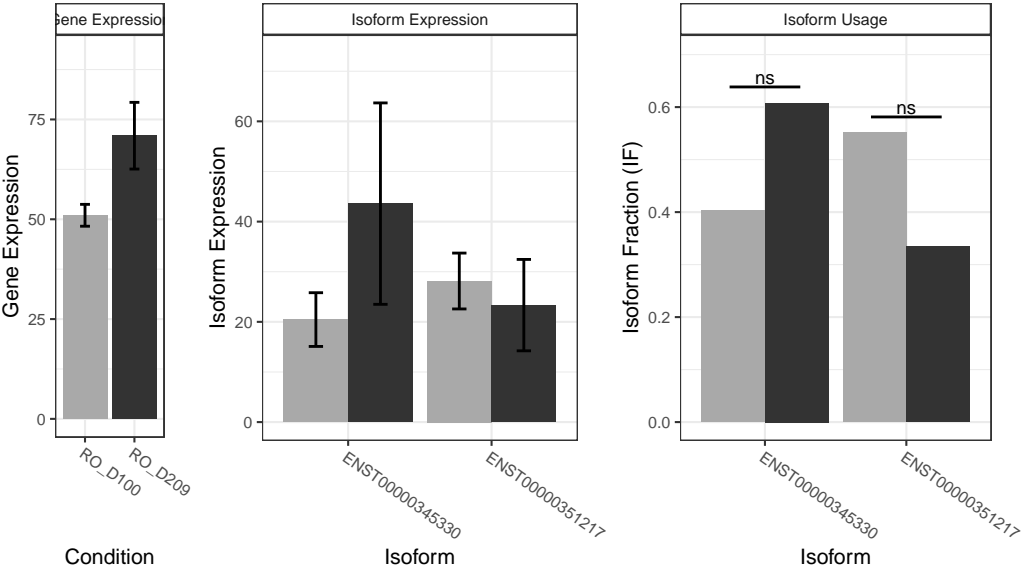
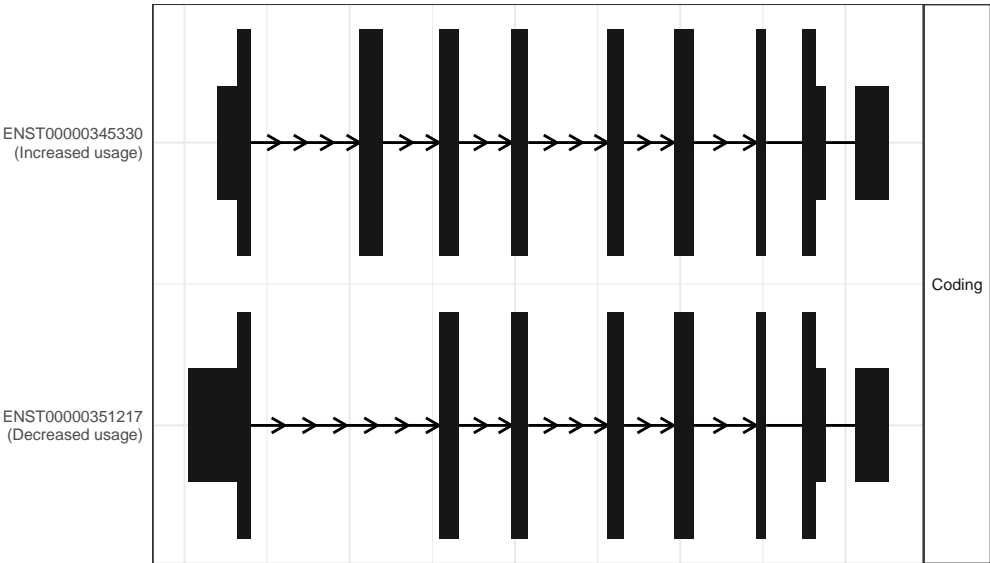
The isoform switch in RRM2 (RO_D100 vs RO_D209)



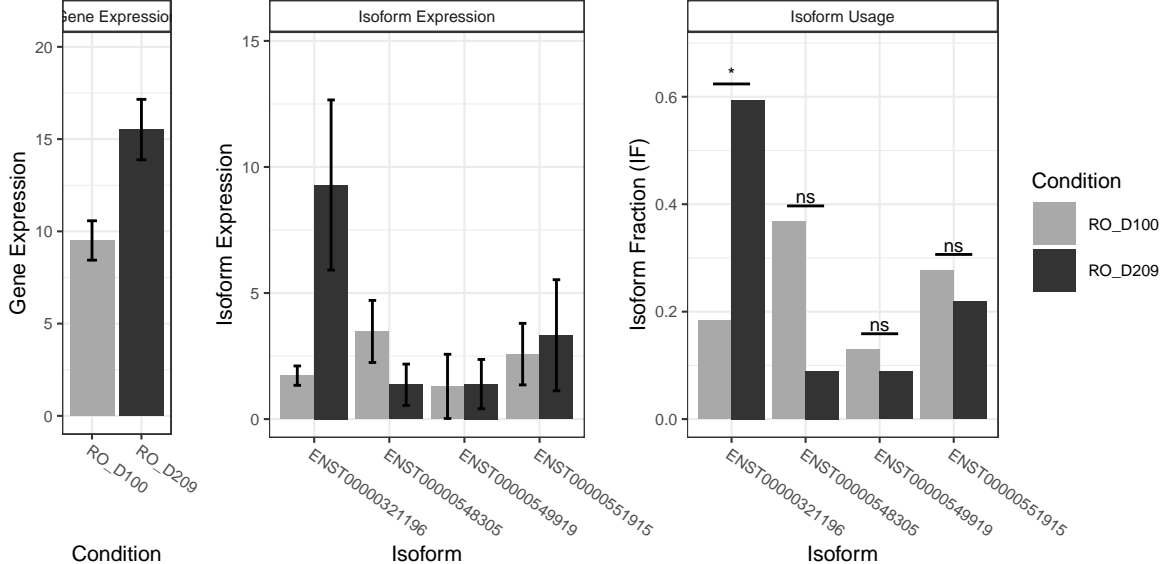
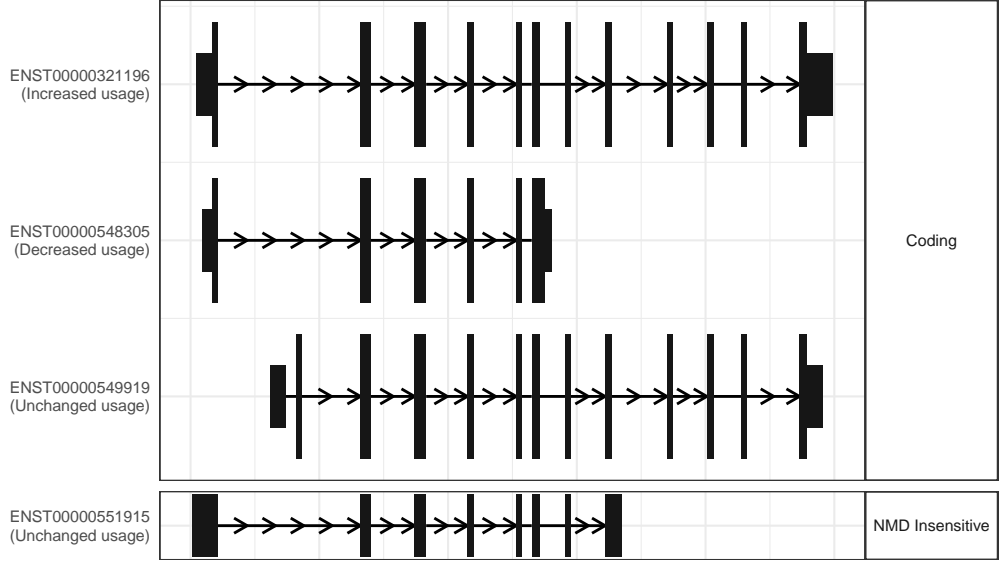
The isoform switch in MXRA8 (RO_D100 vs RO_D209)



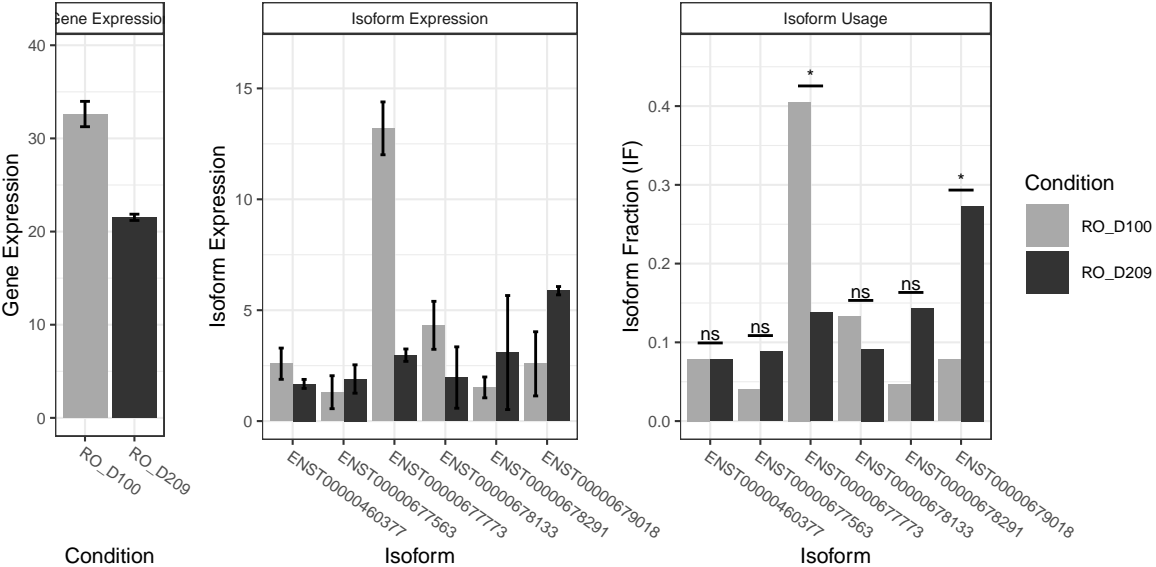
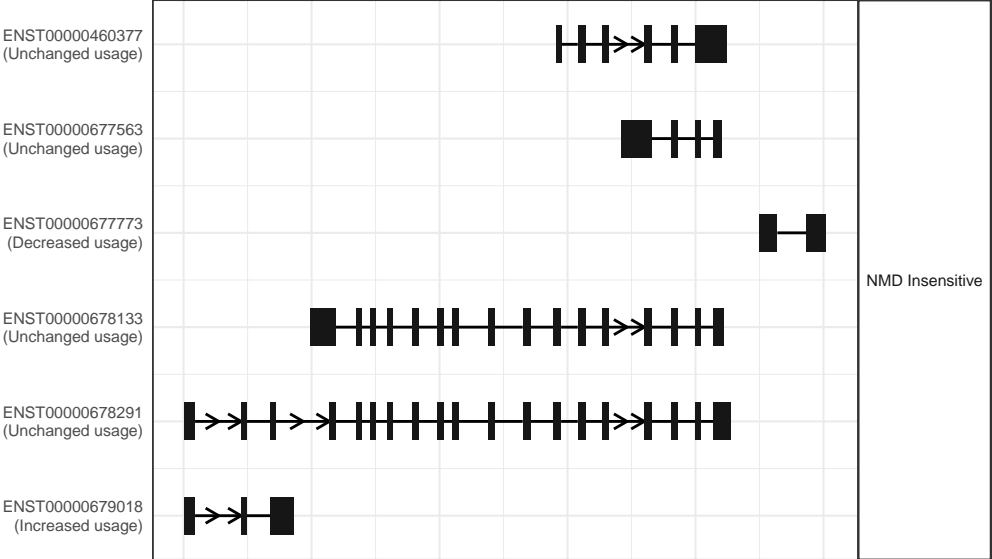
The isoform switch in NPTN (RO_D100 vs RO_D209)



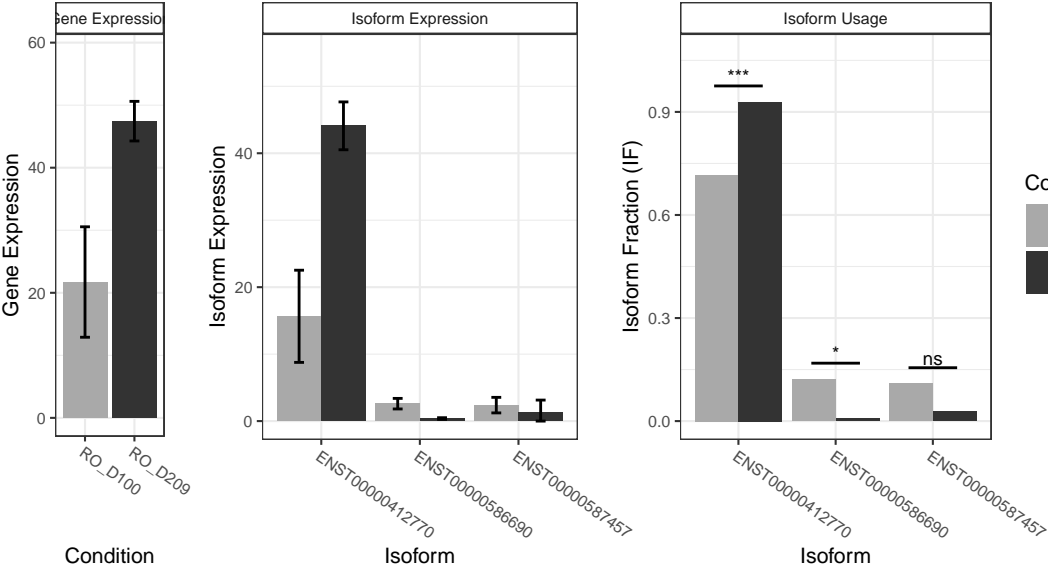
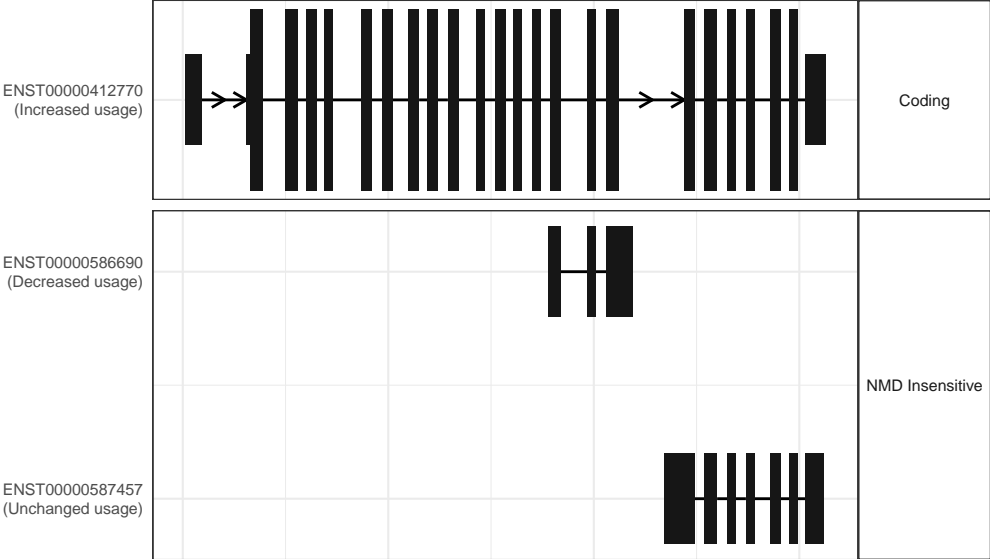
The isoform switch in TMTC2 (RO_D100 vs RO_D209)



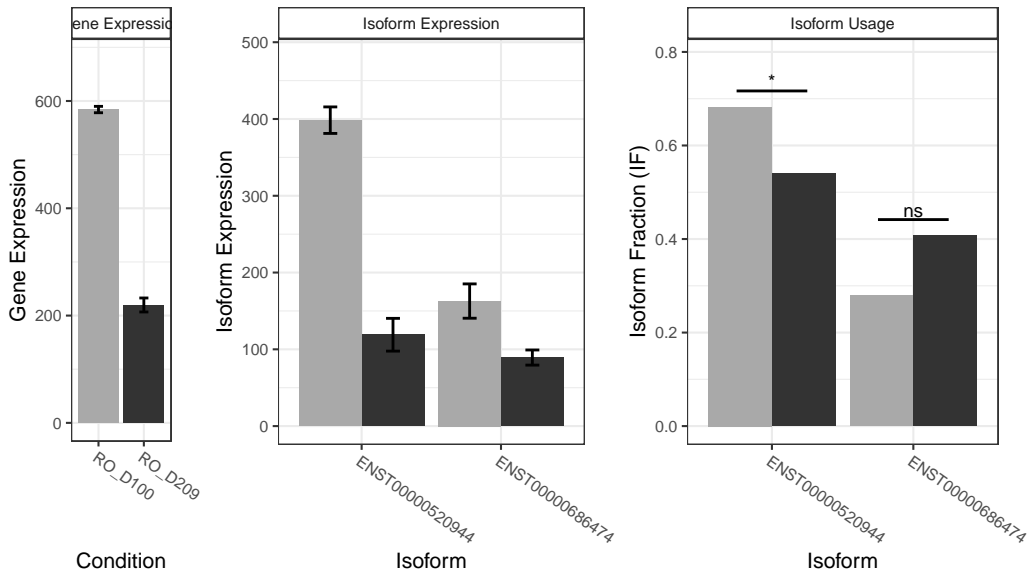
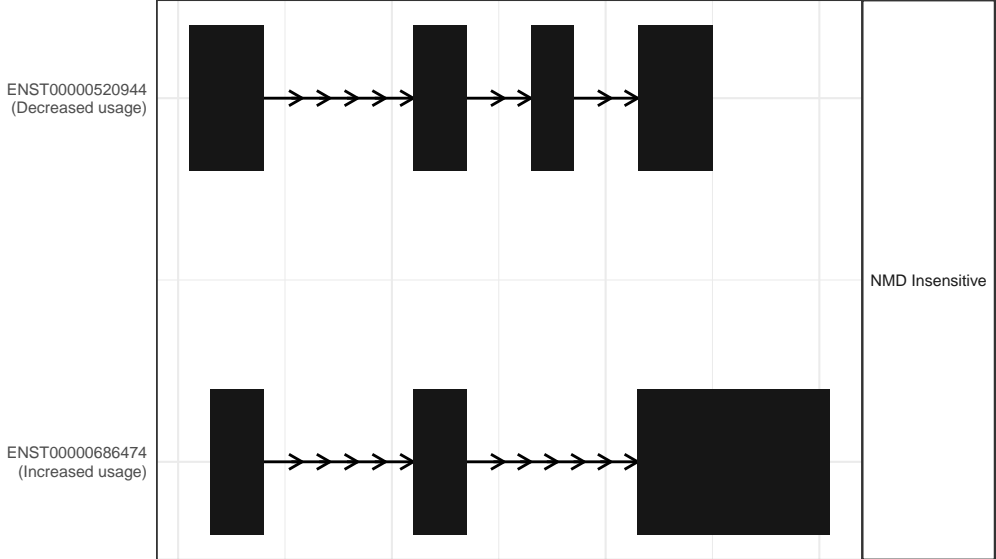
The isoform switch in KIF5C (RO_D100 vs RO_D209)



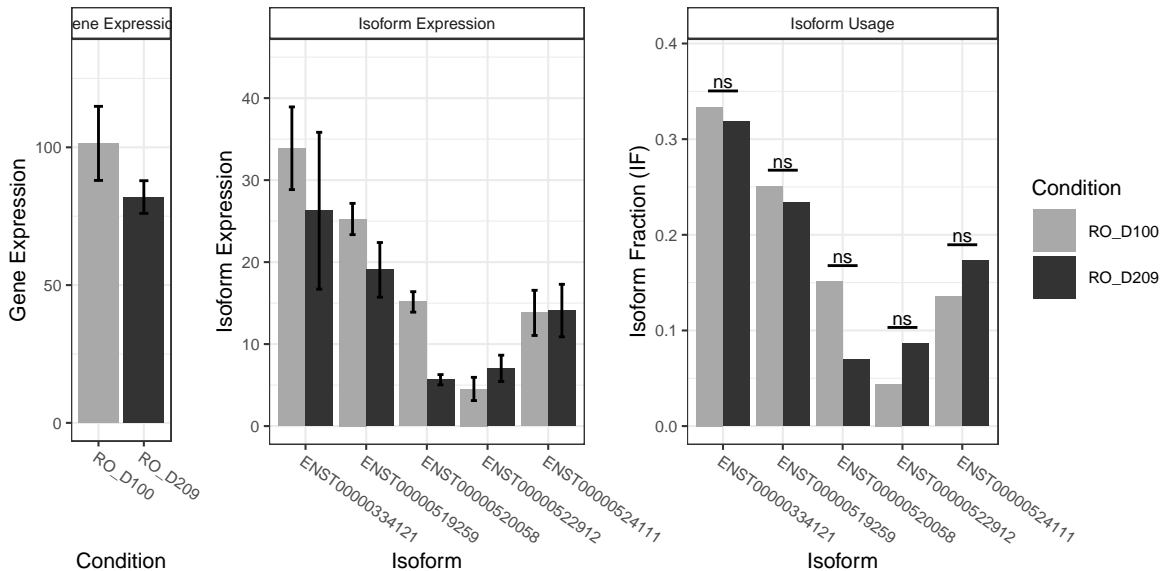
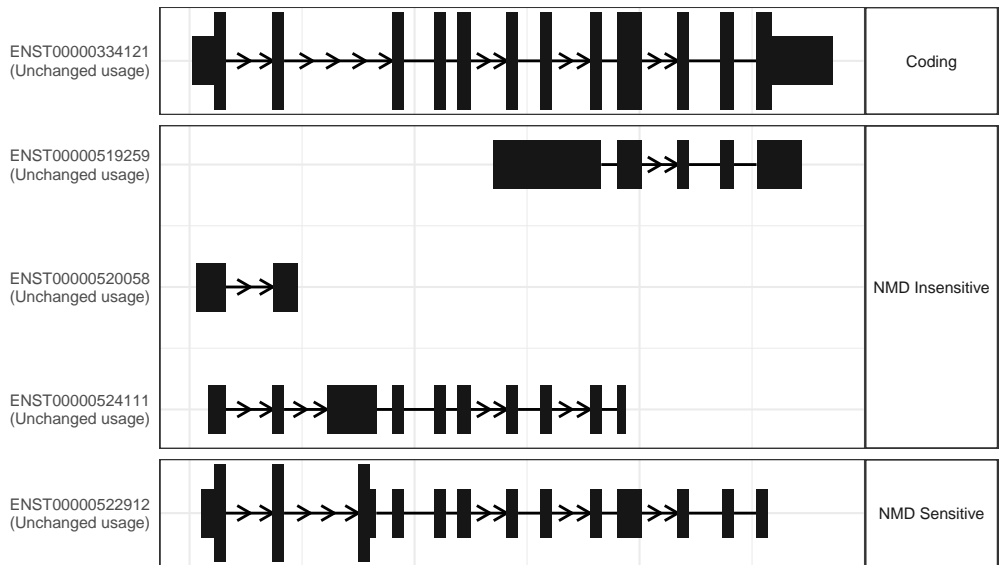
The isoform switch in PPP6R1 (RO_D100 vs RO_D209)



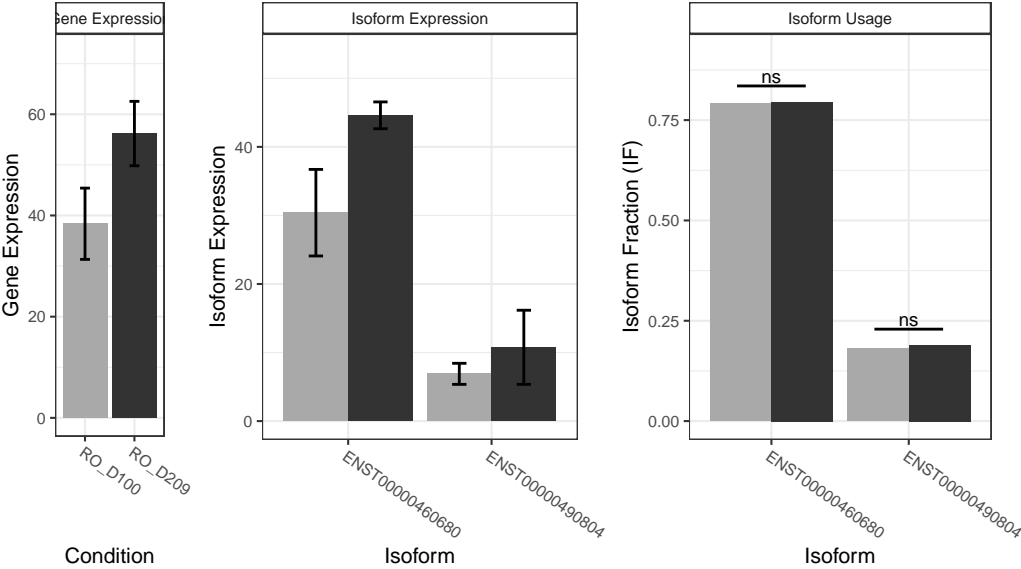
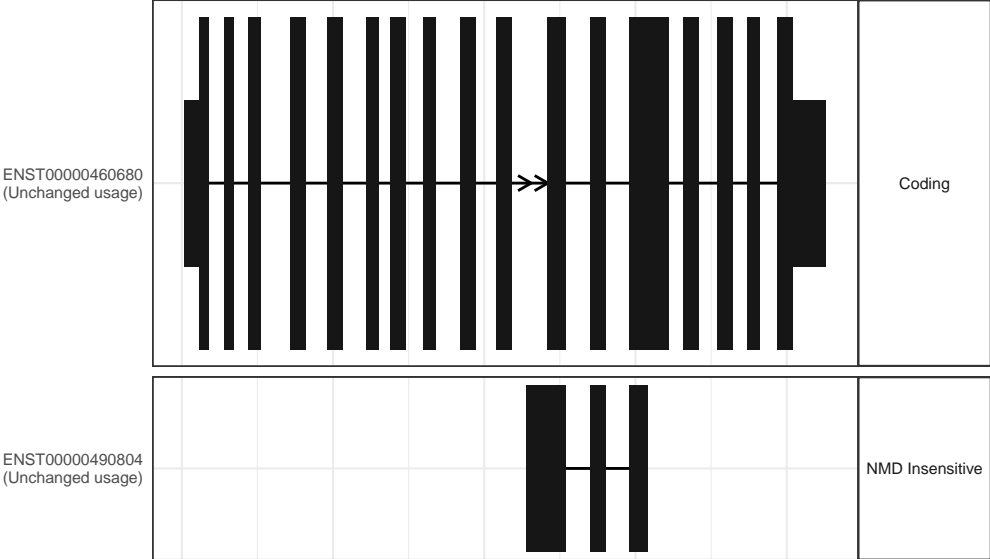
The isoform switch in SNHG6 (RO_D100 vs RO_D209)



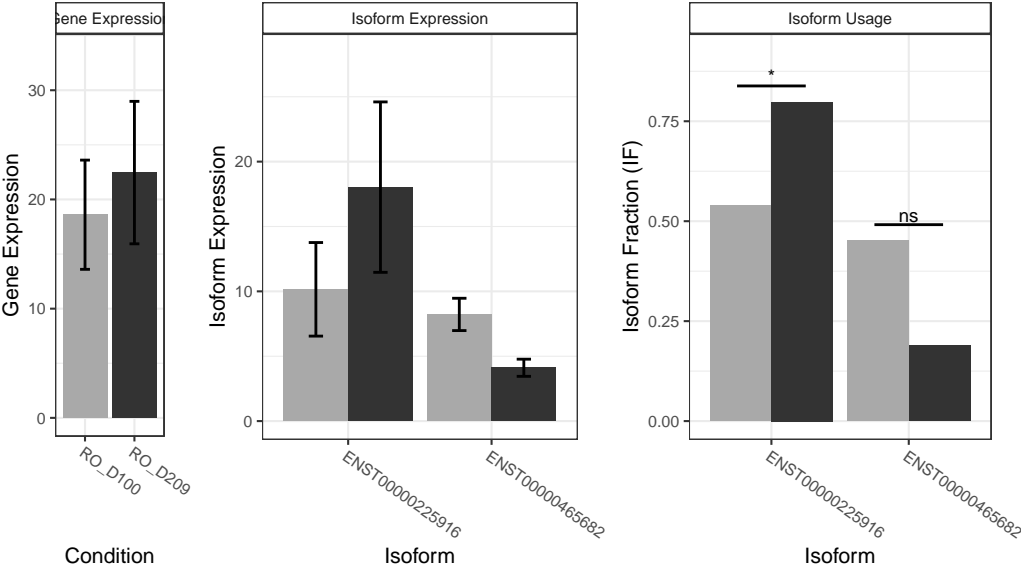
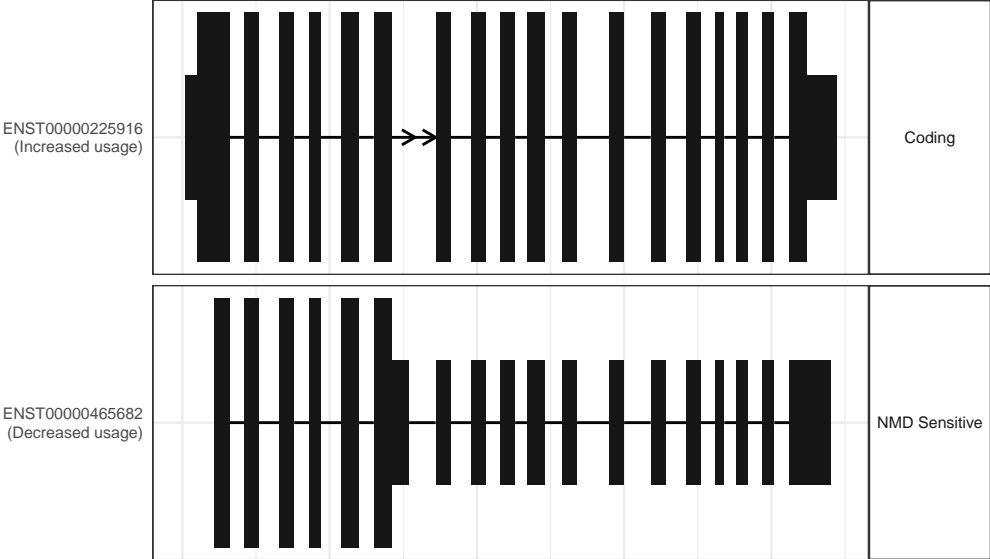
The isoform switch in SREK1 (RO_D100 vs RO_D209)



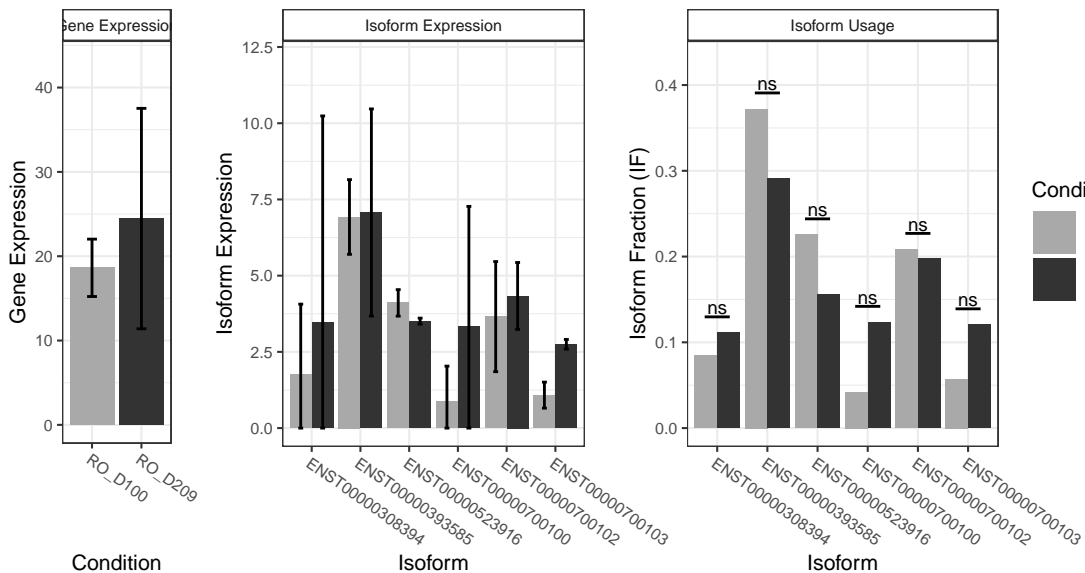
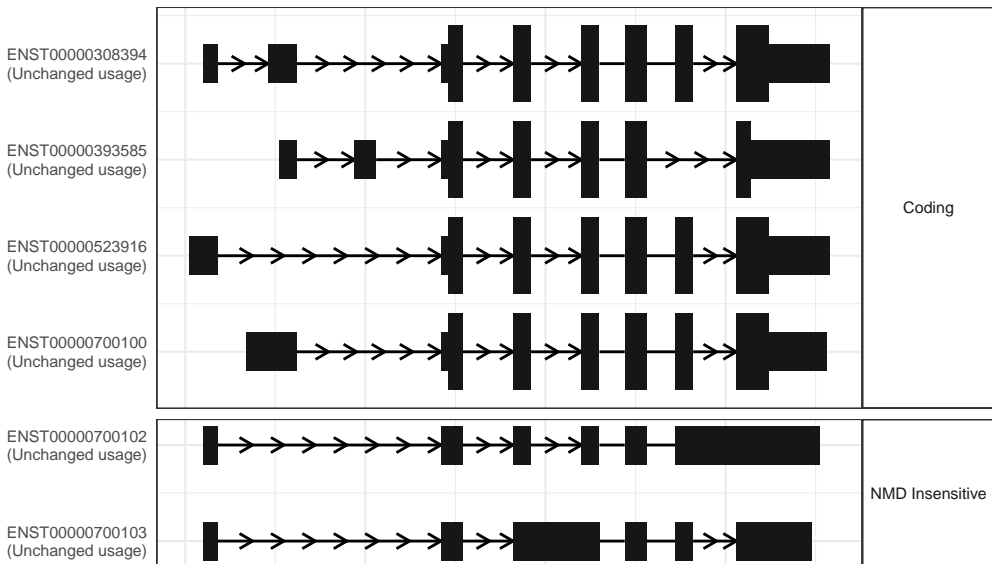
The isoform switch in BAP1 (RO_D100 vs RO_D209)



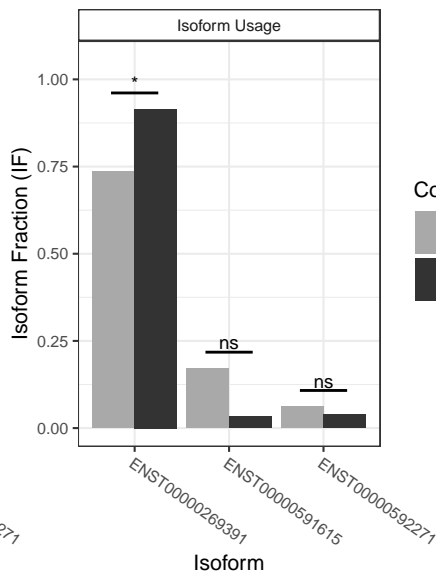
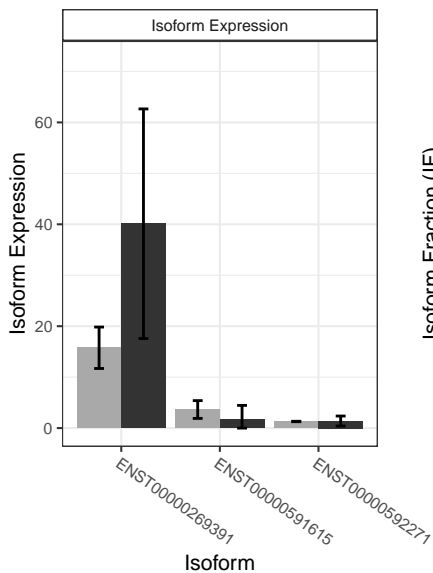
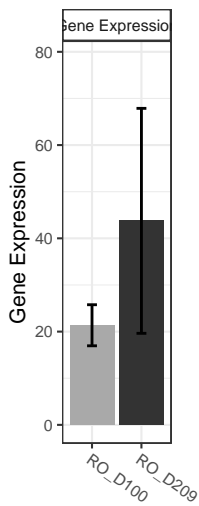
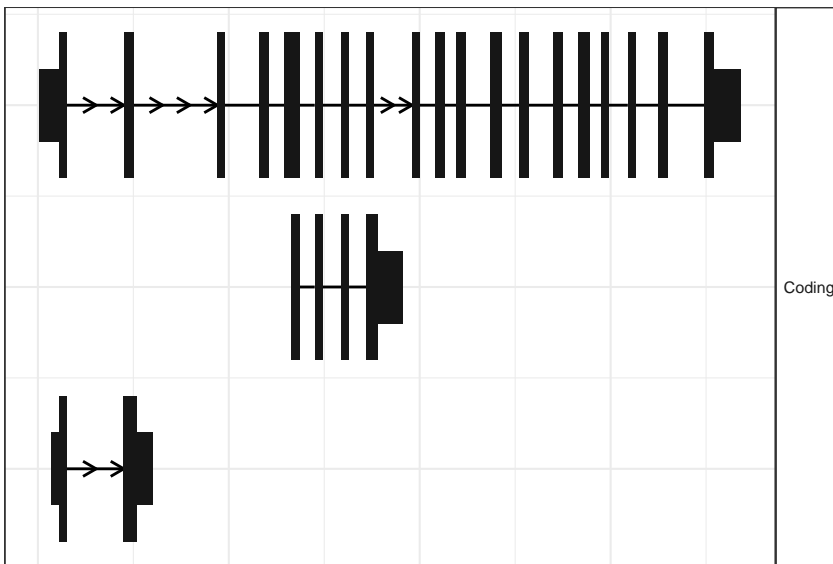
The isoform switch in KAT2A (RO_D100 vs RO_D209)



The isoform switch in CASP3 (RO_D100 vs RO_D209)



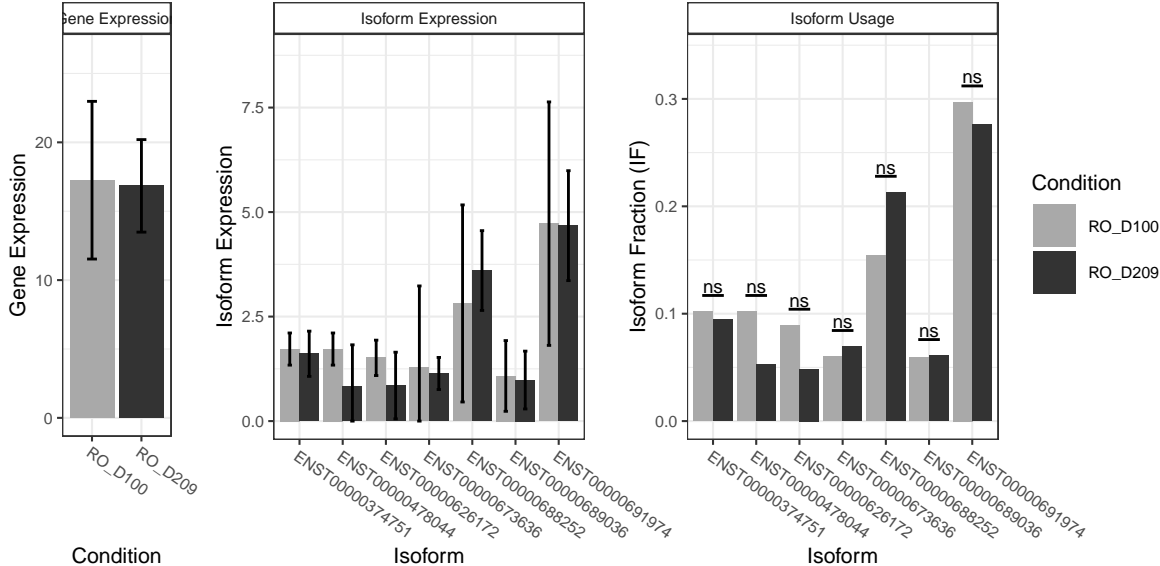
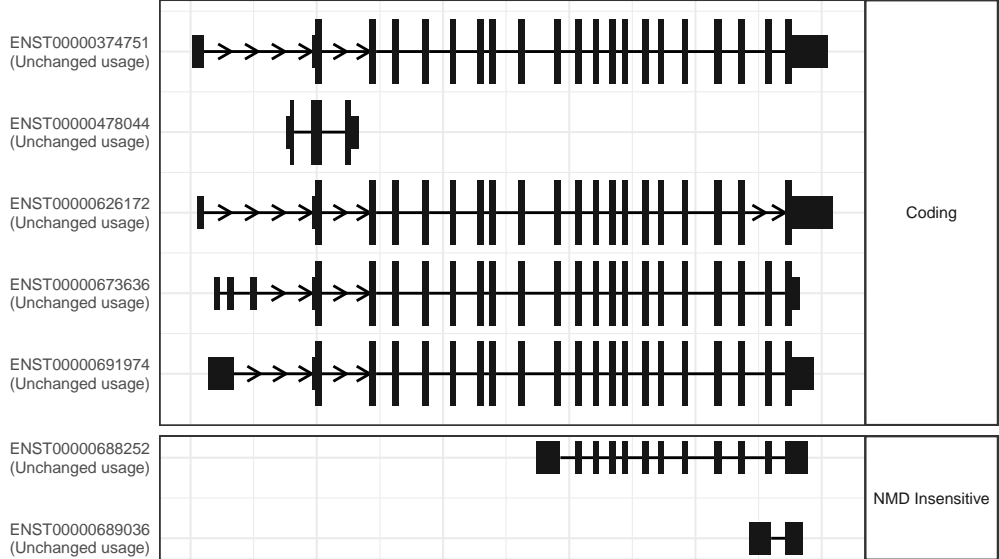
The isoform switch in RNF157 (RO_D100 vs RO_D209)



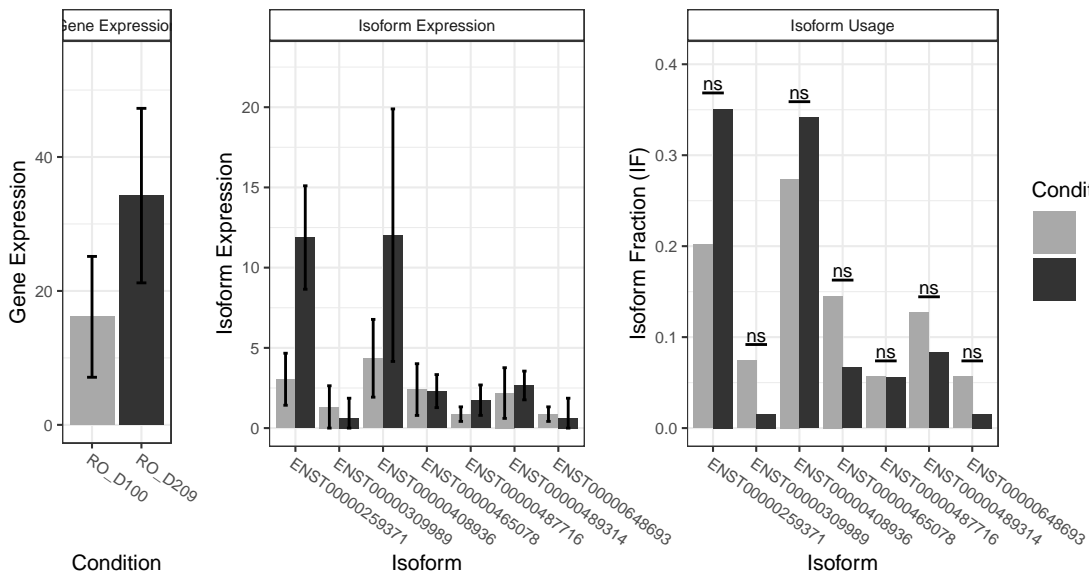
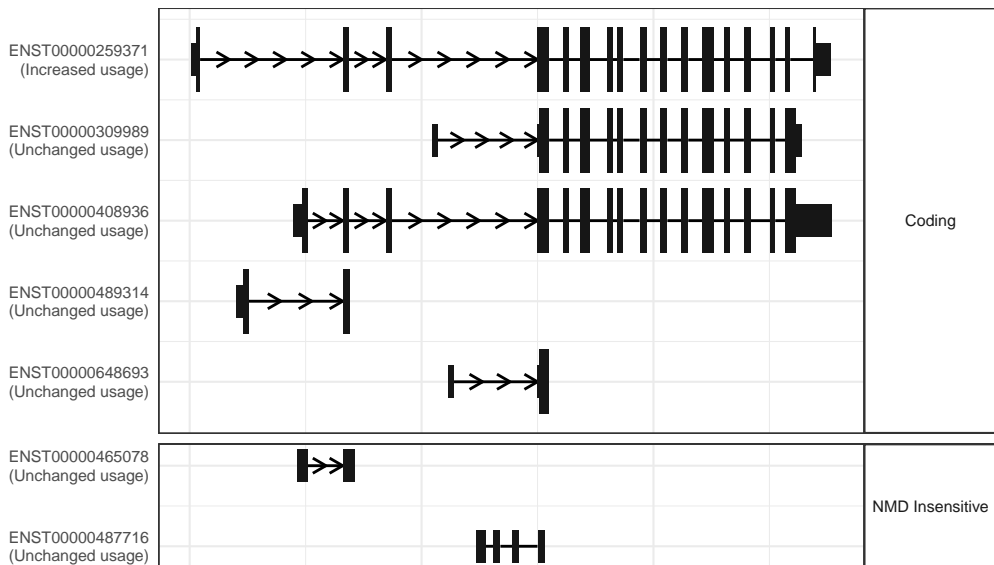
Condition



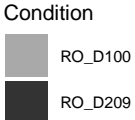
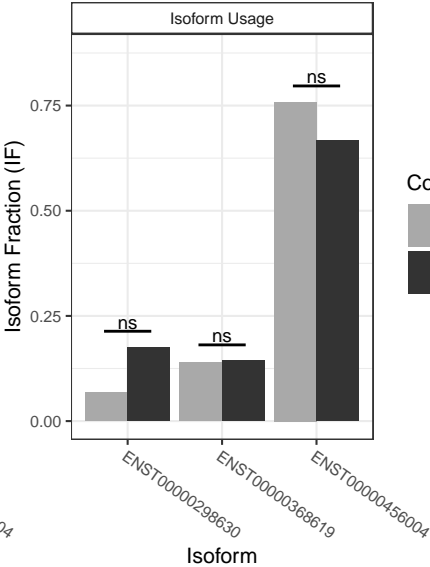
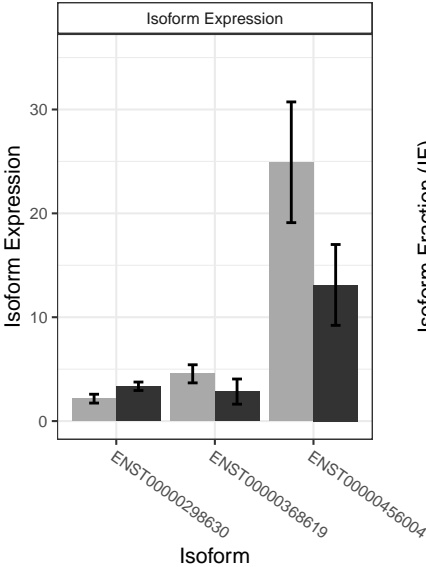
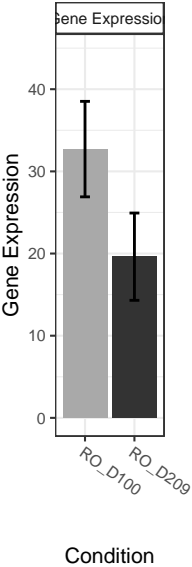
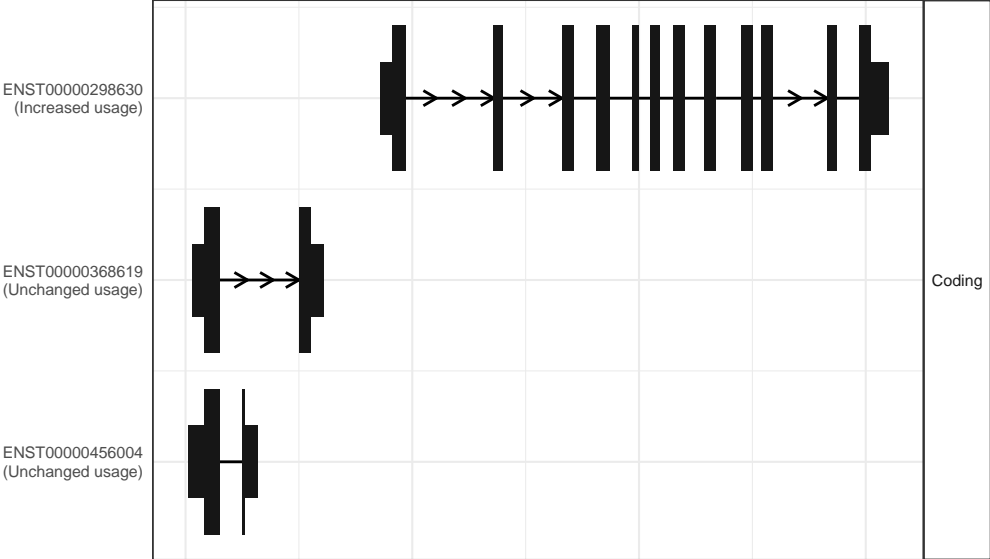
The isoform switch in CUL2 (RO_D100 vs RO_D209)



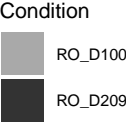
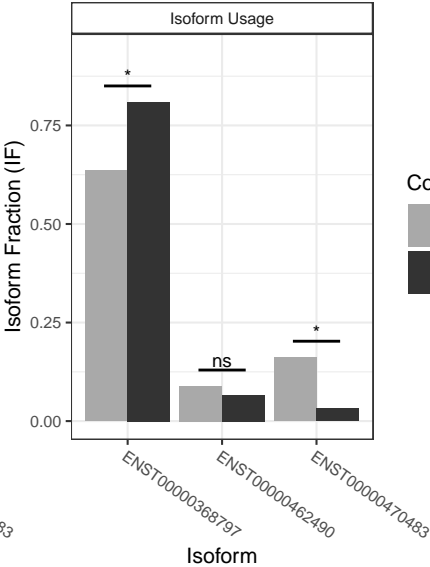
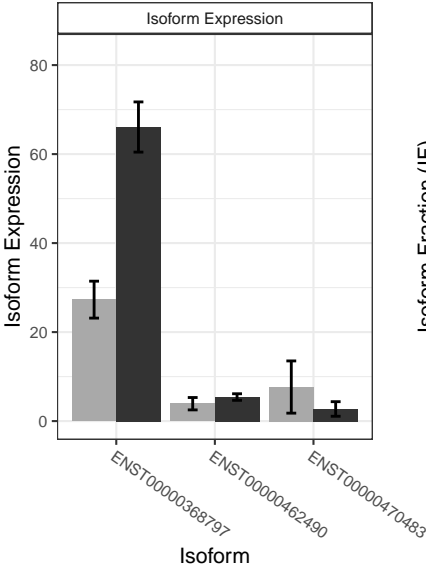
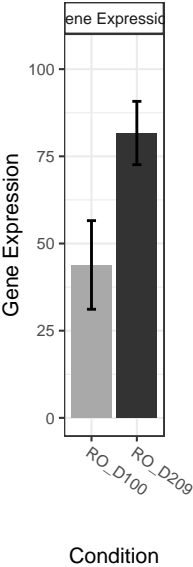
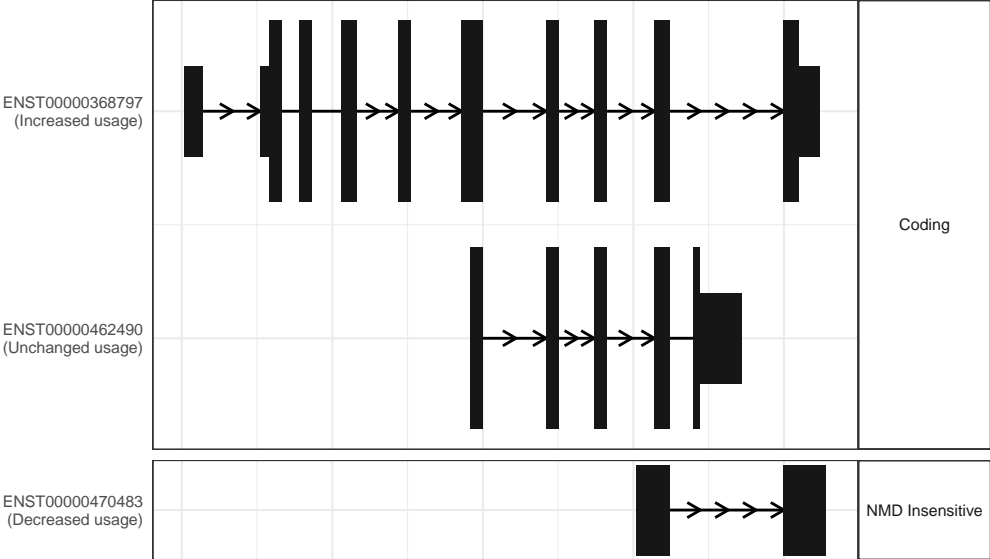
The isoform switch in DAB2IP (RO_D100 vs RO_D209)



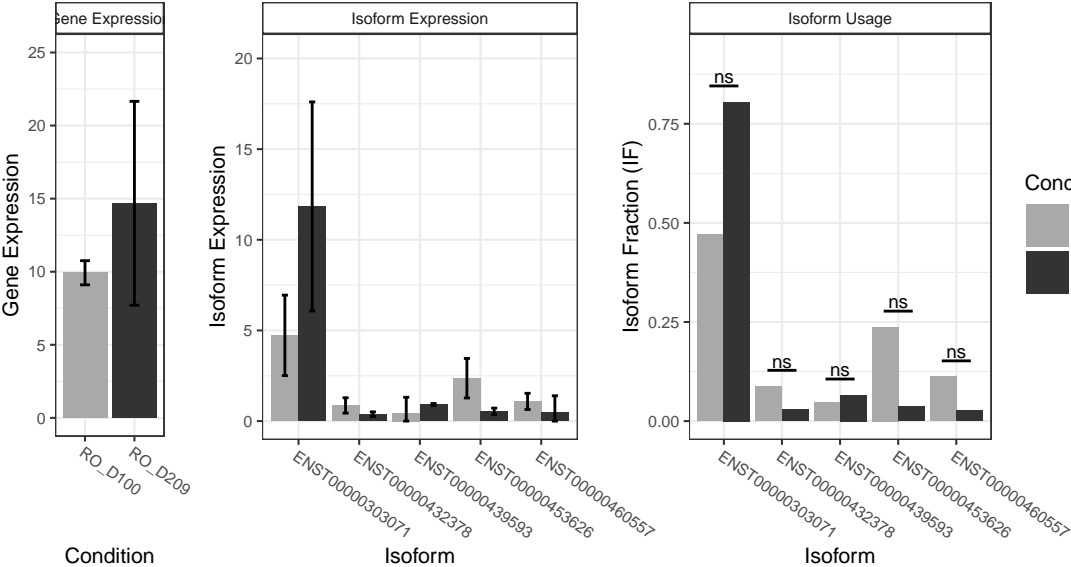
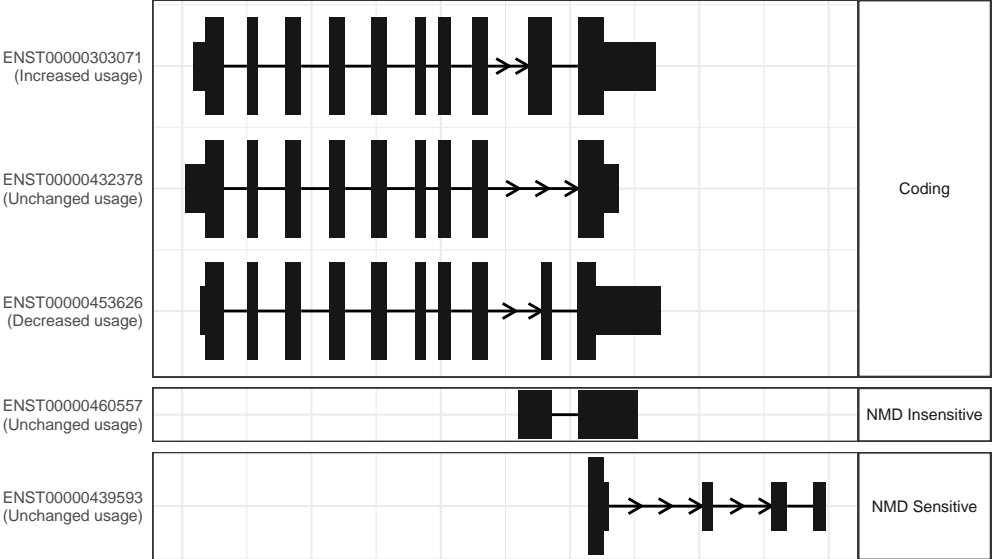
The isoform switch in STK32C (RO_D100 vs RO_D209)



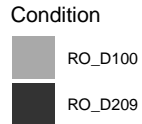
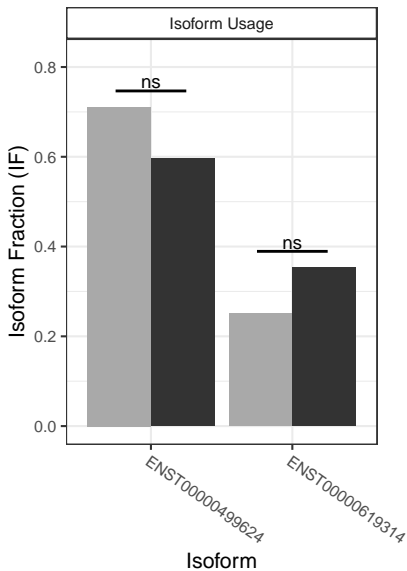
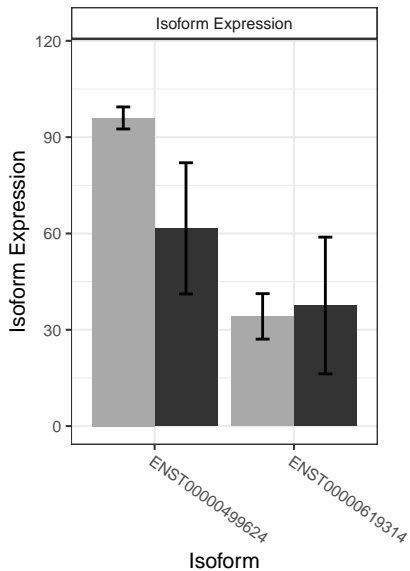
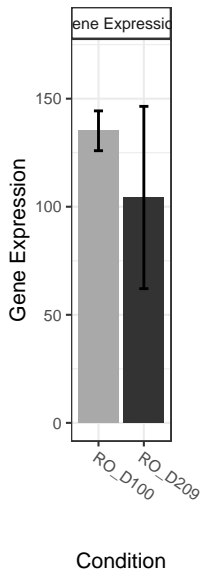
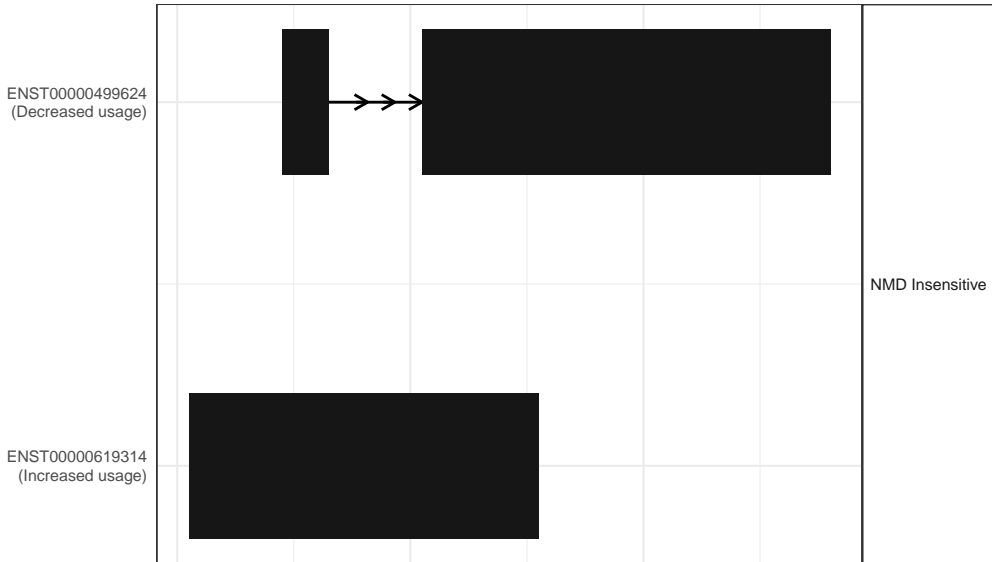
The isoform switch in UROS (RO_D100 vs RO_D209)



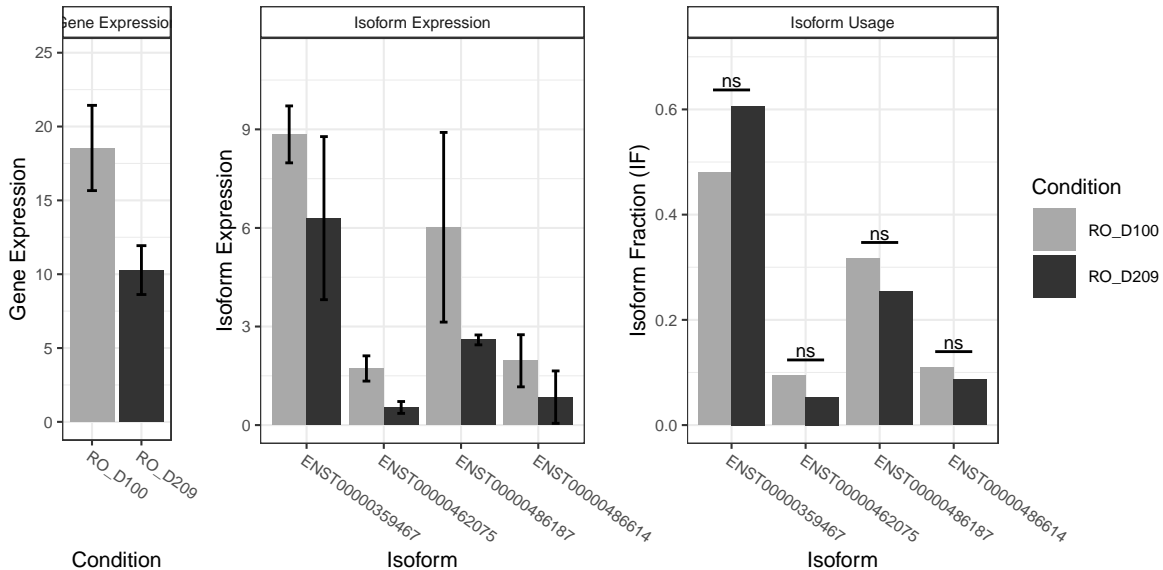
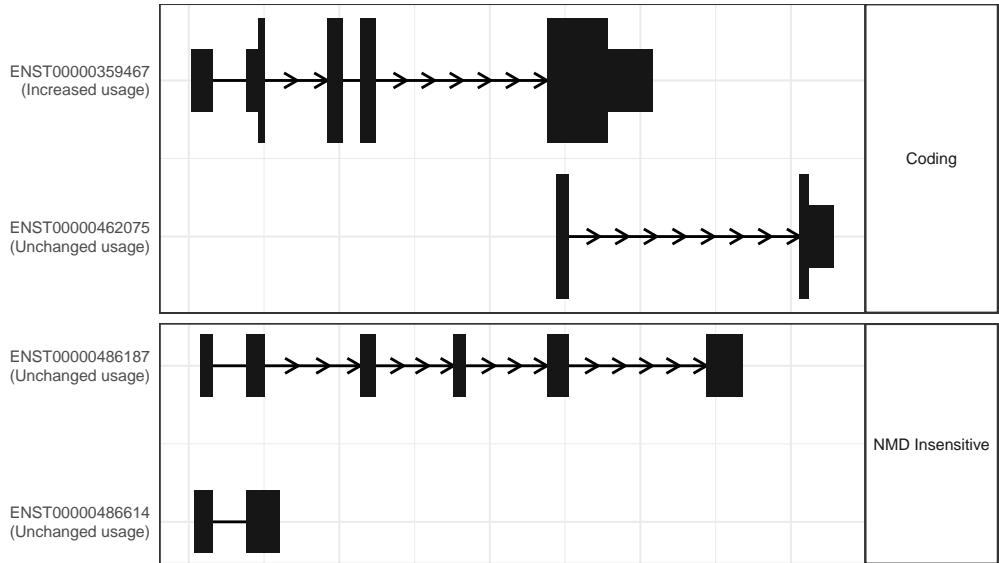
The isoform switch in DONSON (RO_D100 vs RO_D209)



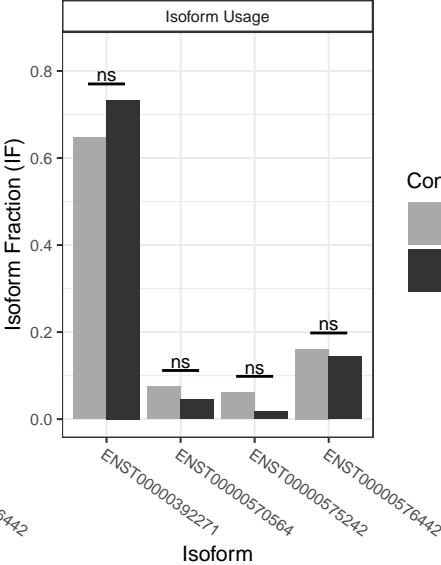
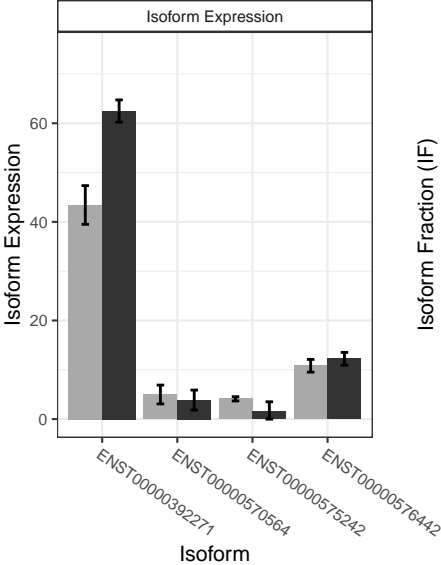
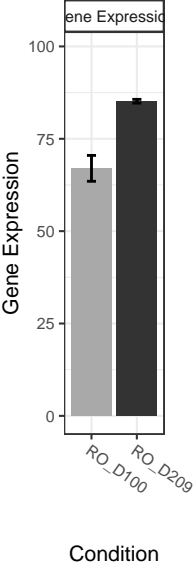
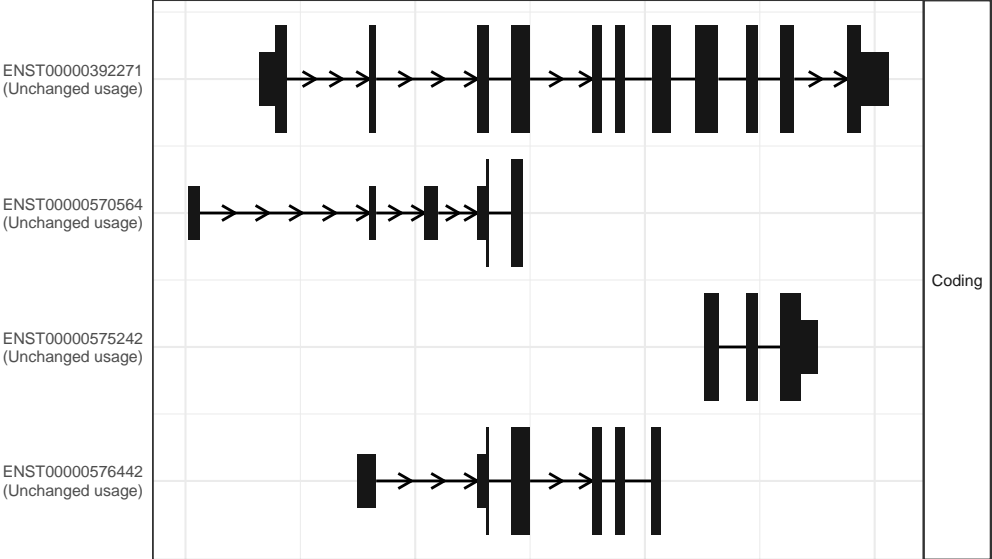
The isoform switch in GABPB1-AS1 (RO_D100 vs RO_D209)



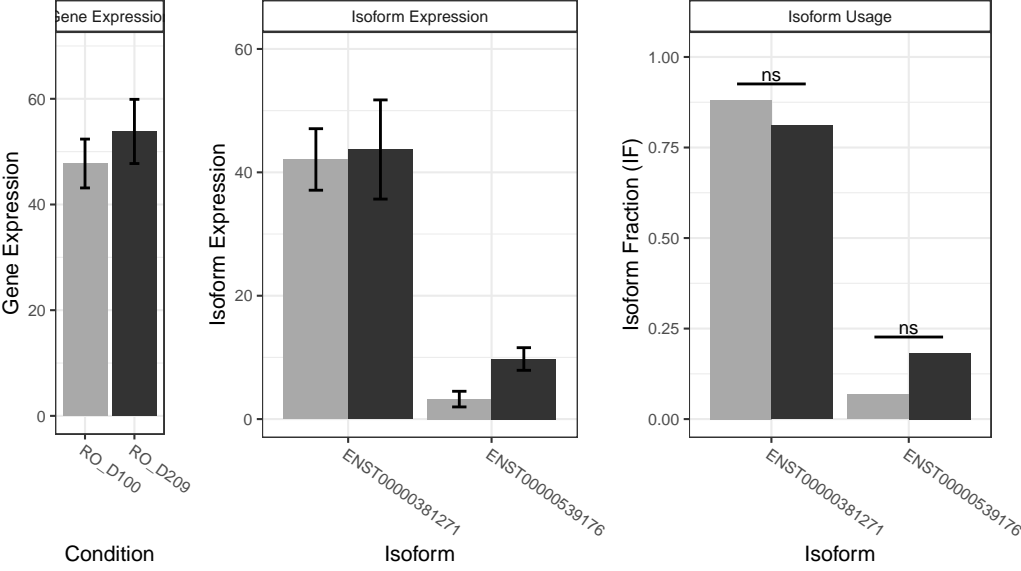
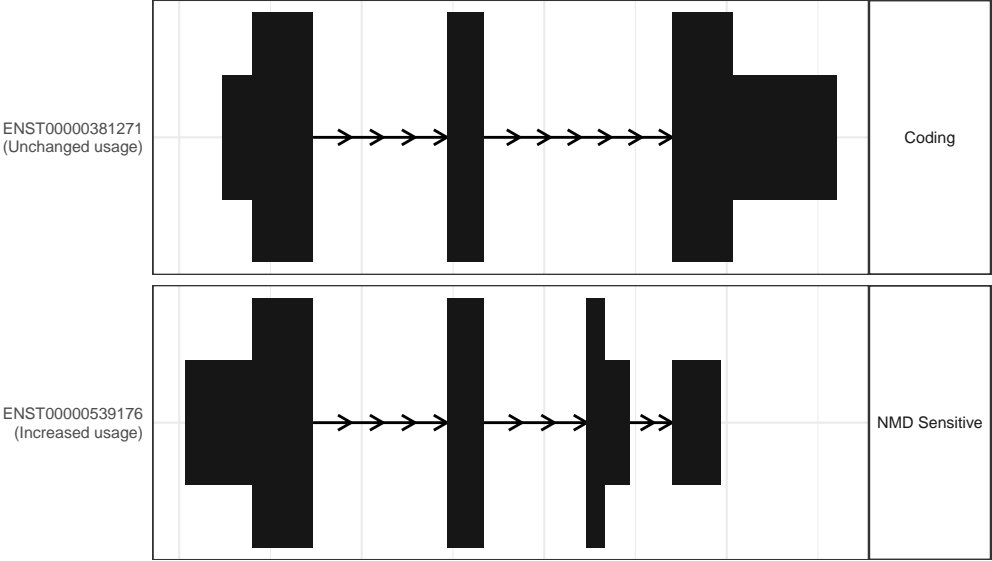
The isoform switch in ZNF33B (RO_D100 vs RO_D209)



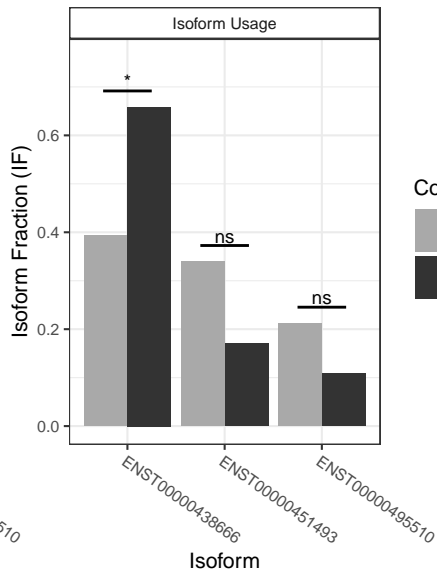
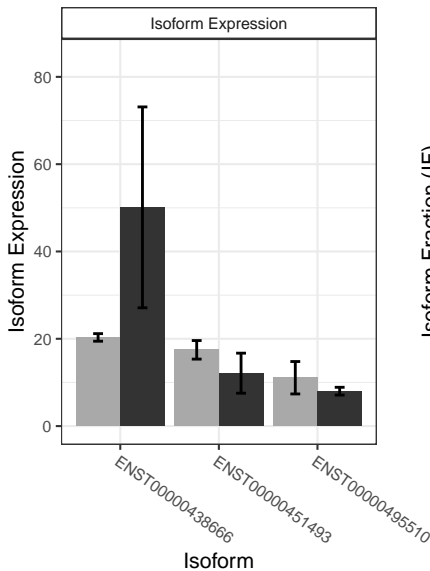
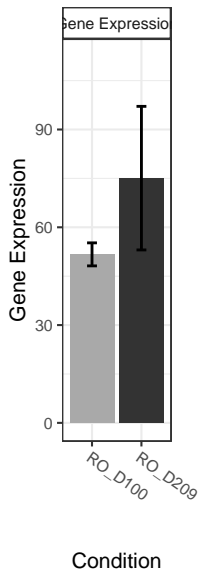
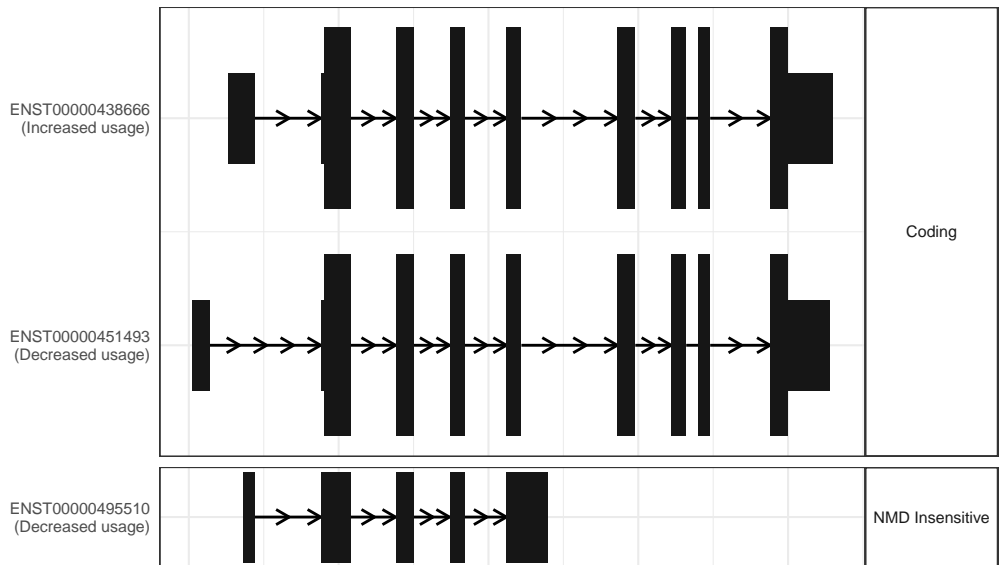
The isoform switch in URI1 (RO_D100 vs RO_D209)



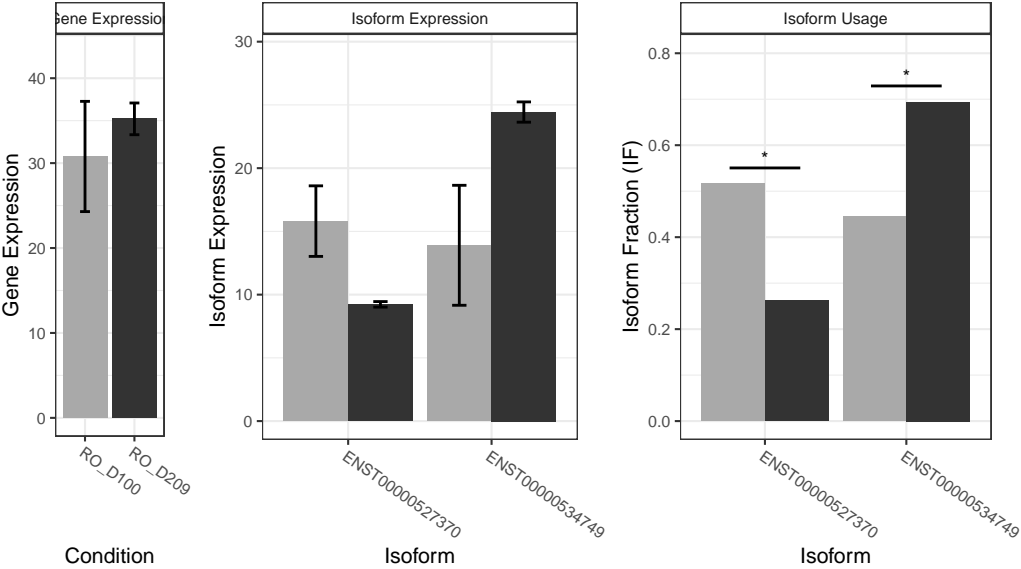
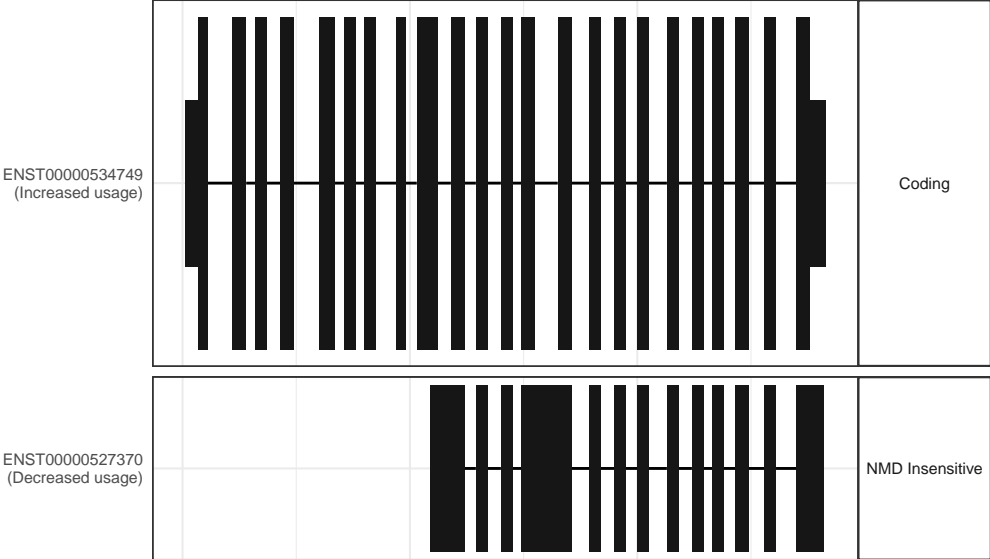
The isoform switch in KLHL42 (RO_D100 vs RO_D209)



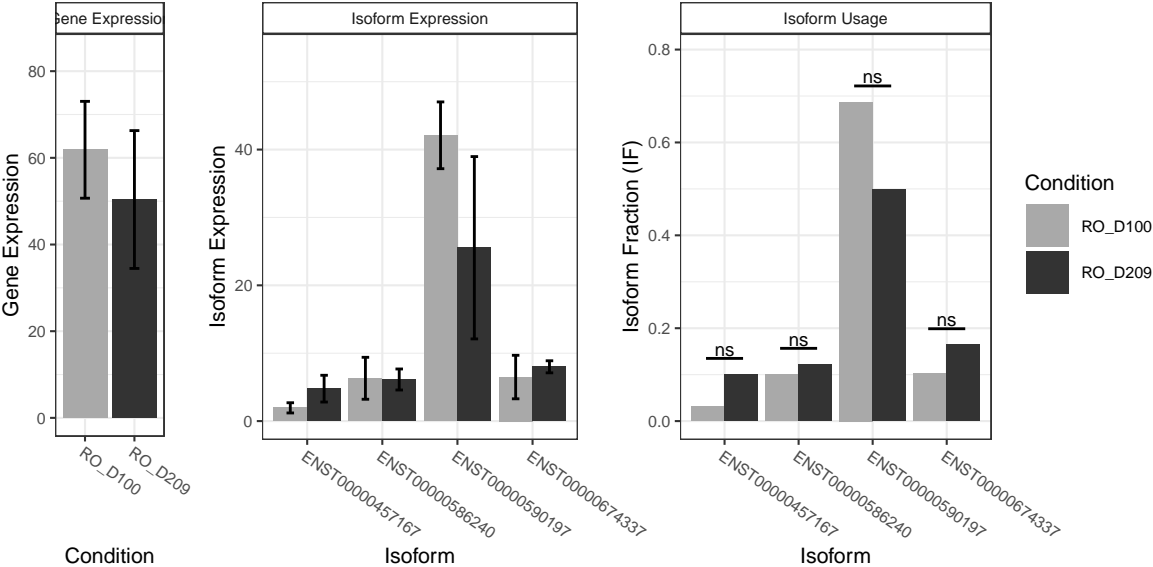
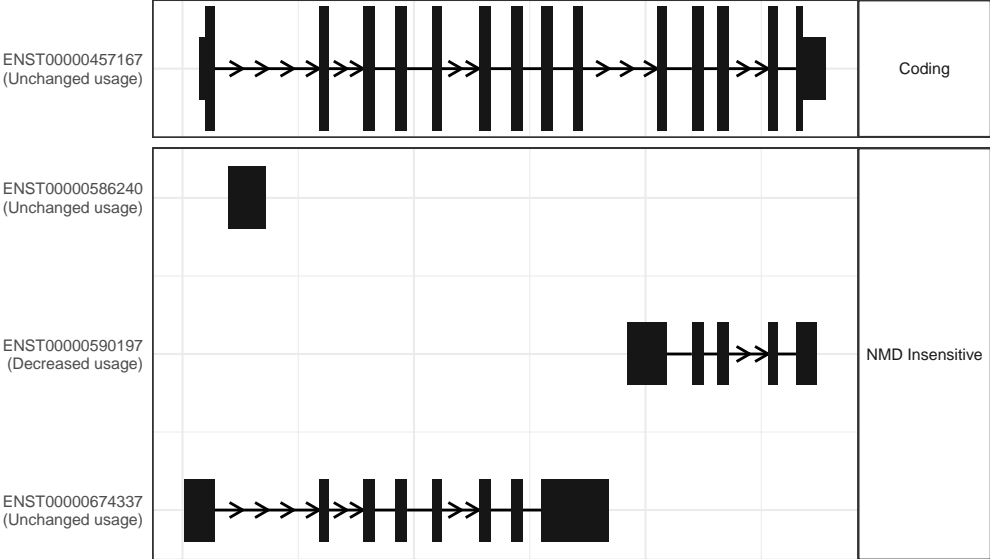
The isoform switch in SPART (RO_D100 vs RO_D209)



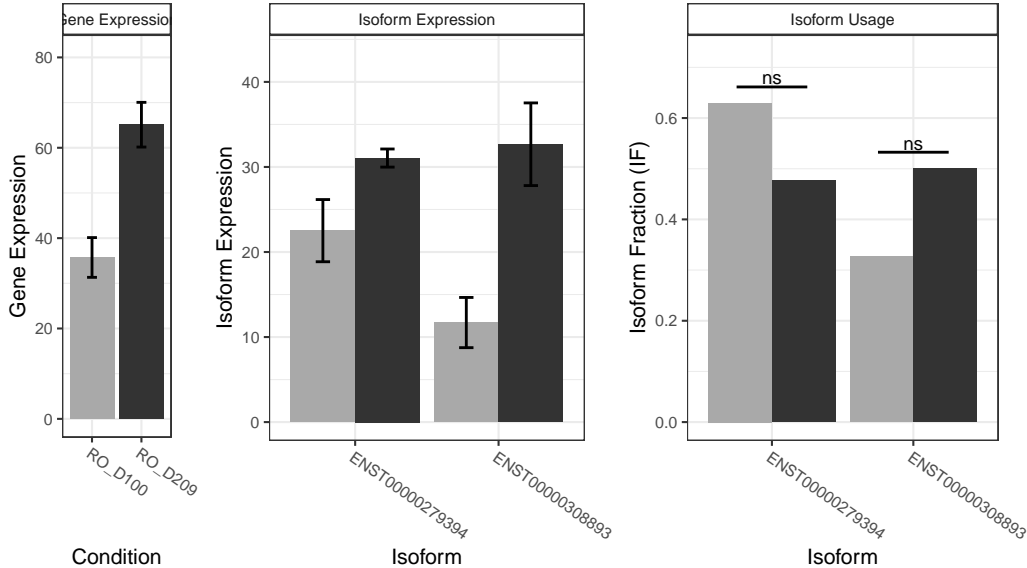
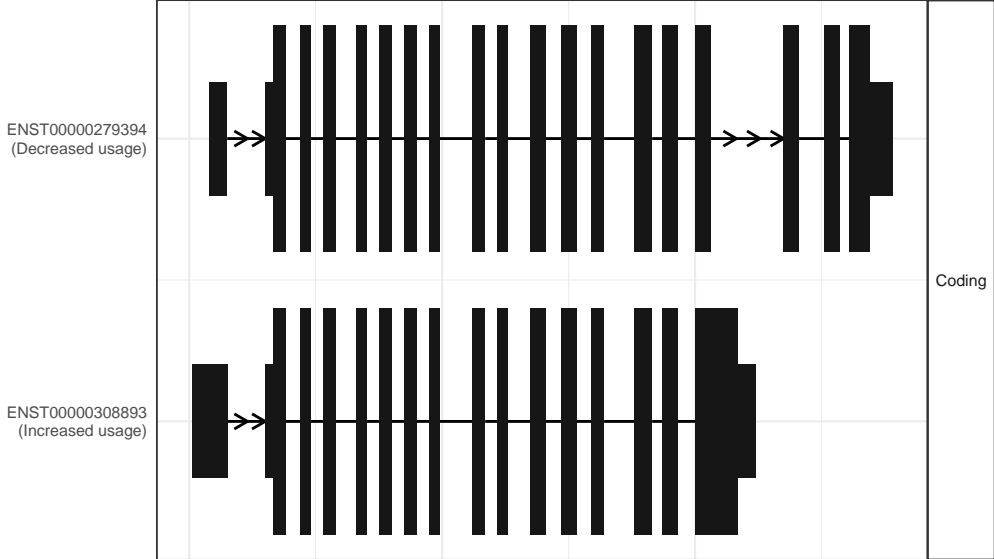
The isoform switch in PITPNM1 (RO_D100 vs RO_D209)



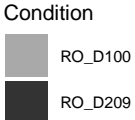
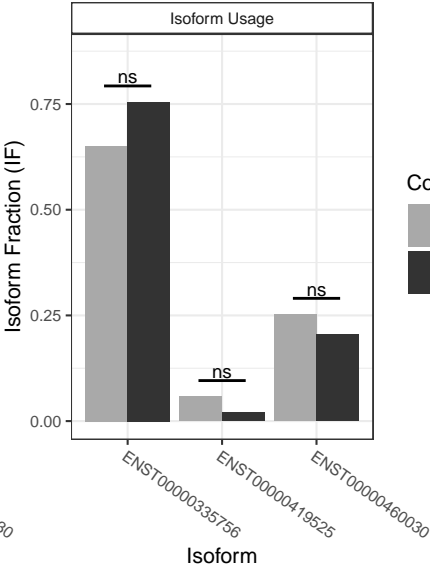
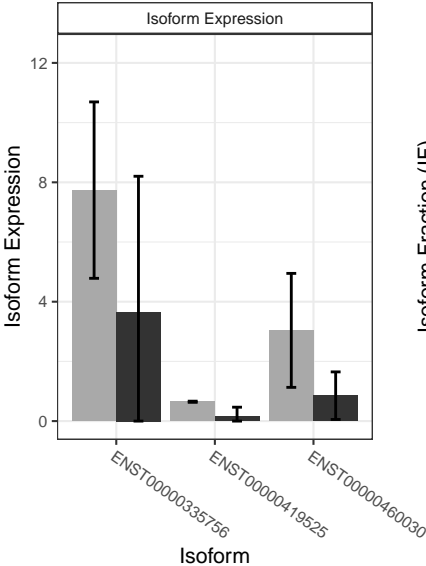
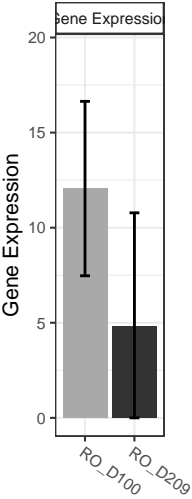
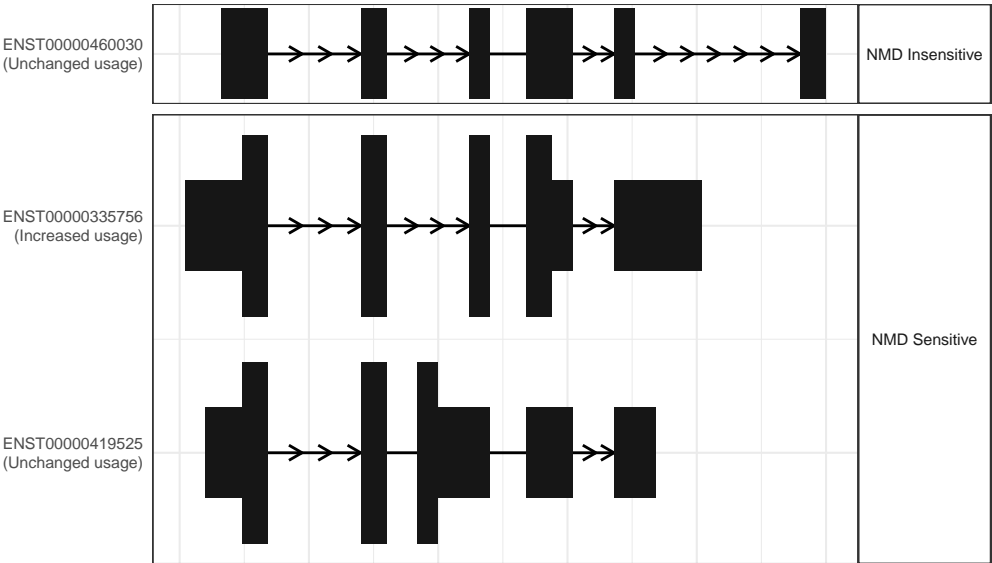
The isoform switch in DNAJC7 (RO_D100 vs RO_D209)



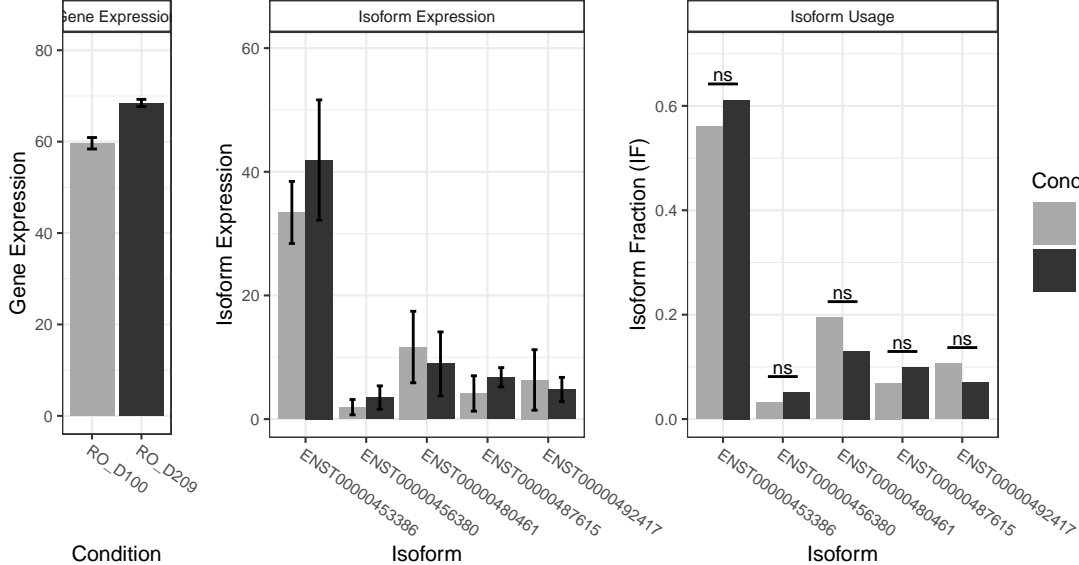
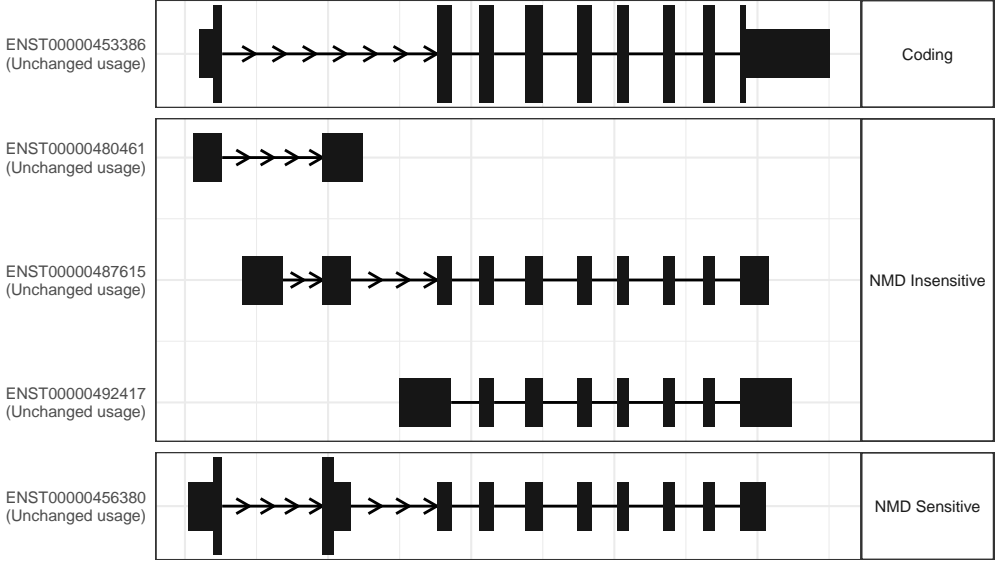
The isoform switch in TAOK2 (RO_D100 vs RO_D209)



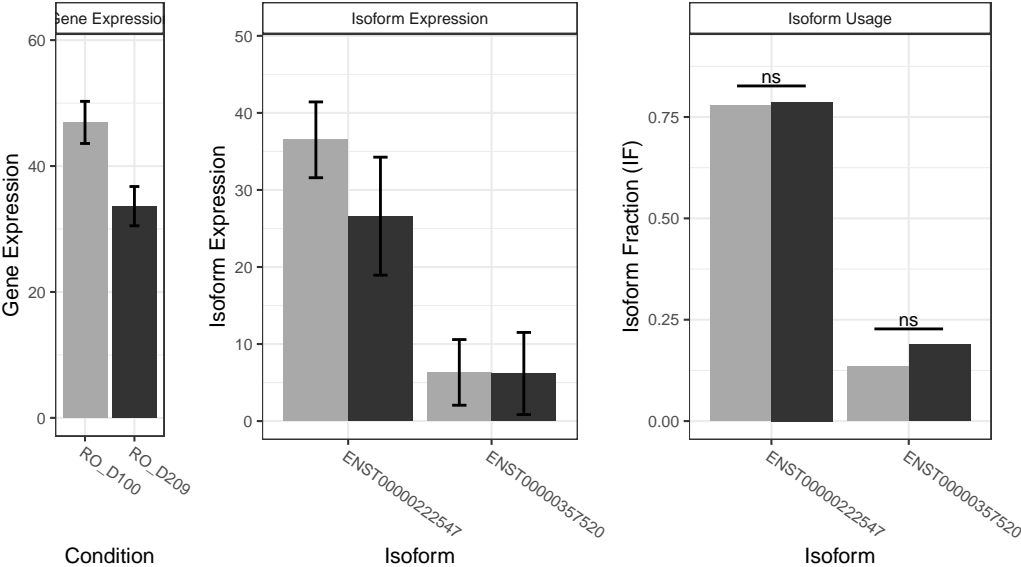
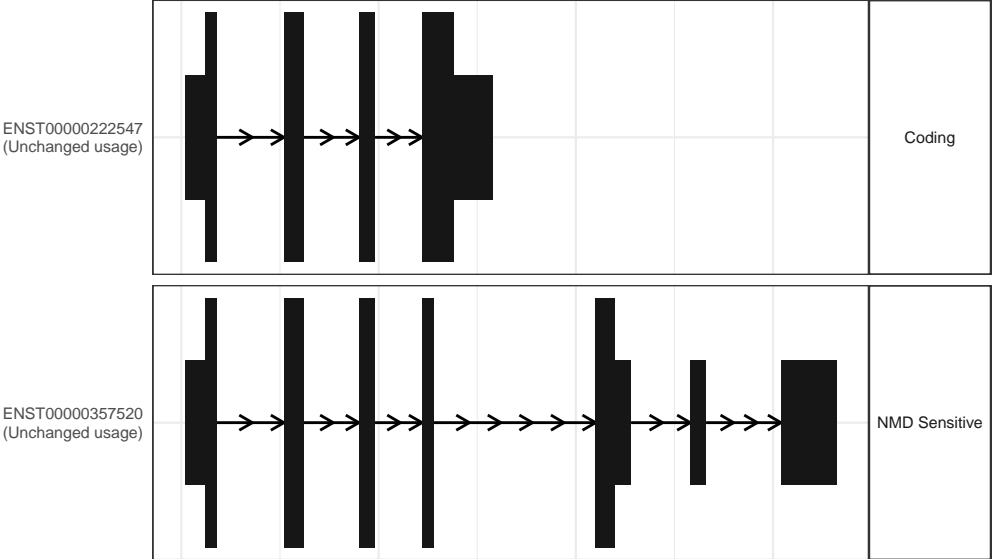
The isoform switch in CENPA (RO_D100 vs RO_D209)



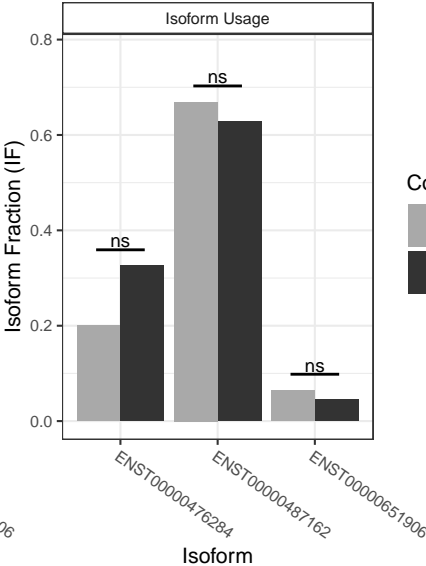
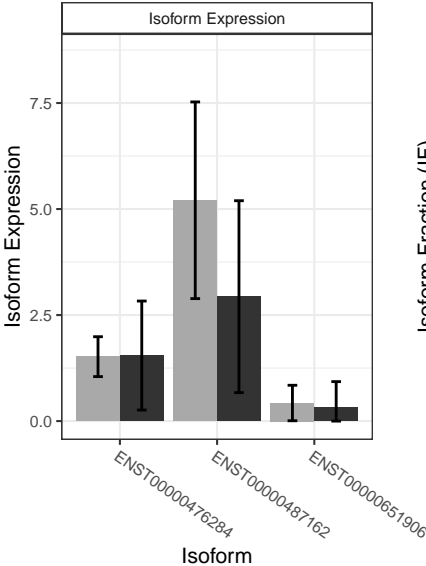
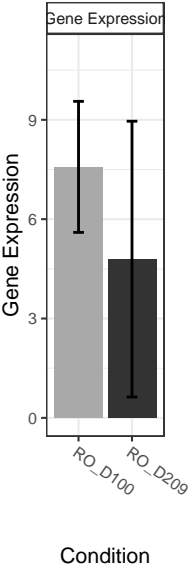
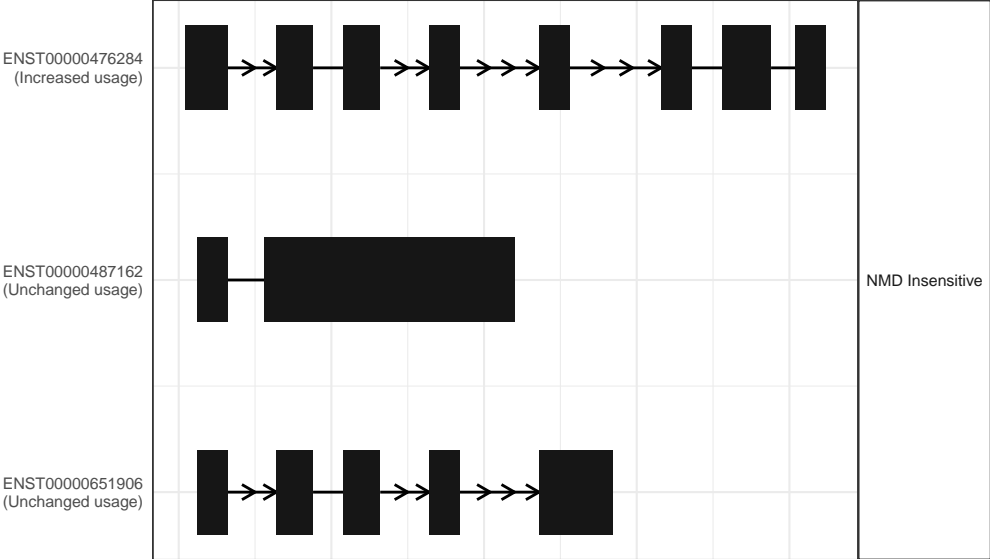
The isoform switch in TRA2B (RO_D100 vs RO_D209)



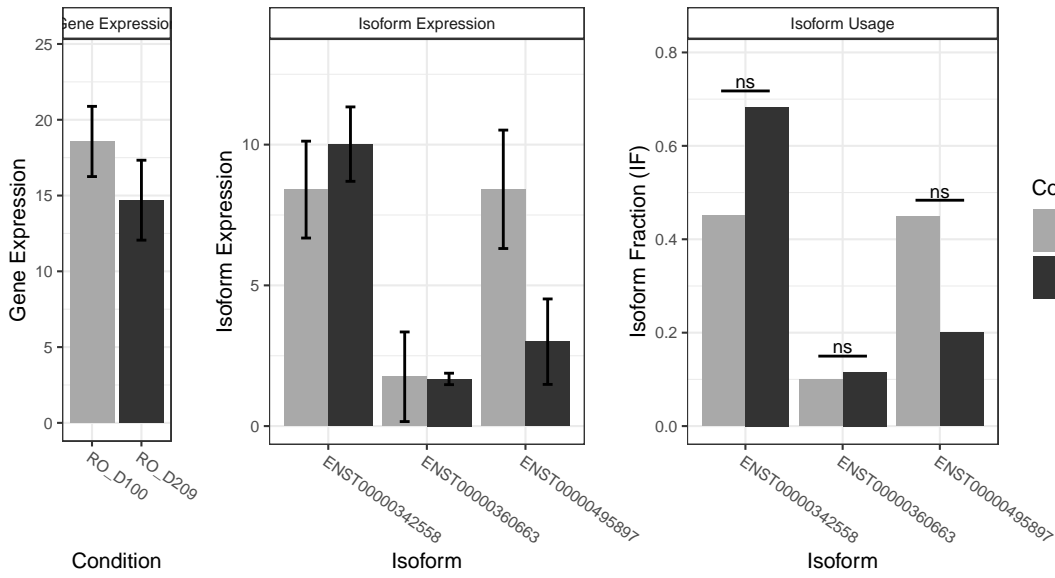
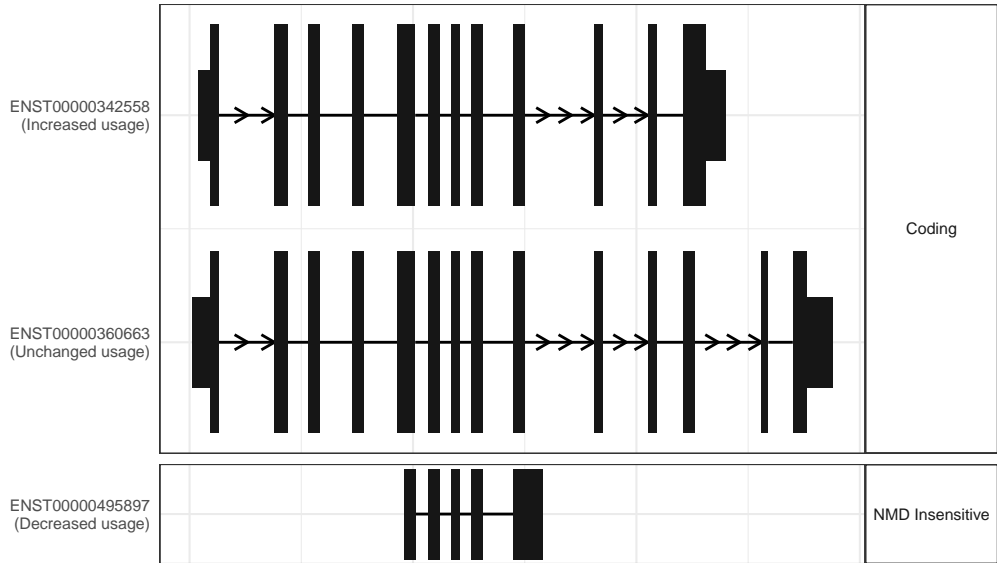
The isoform switch in BET1 (RO_D100 vs RO_D209)



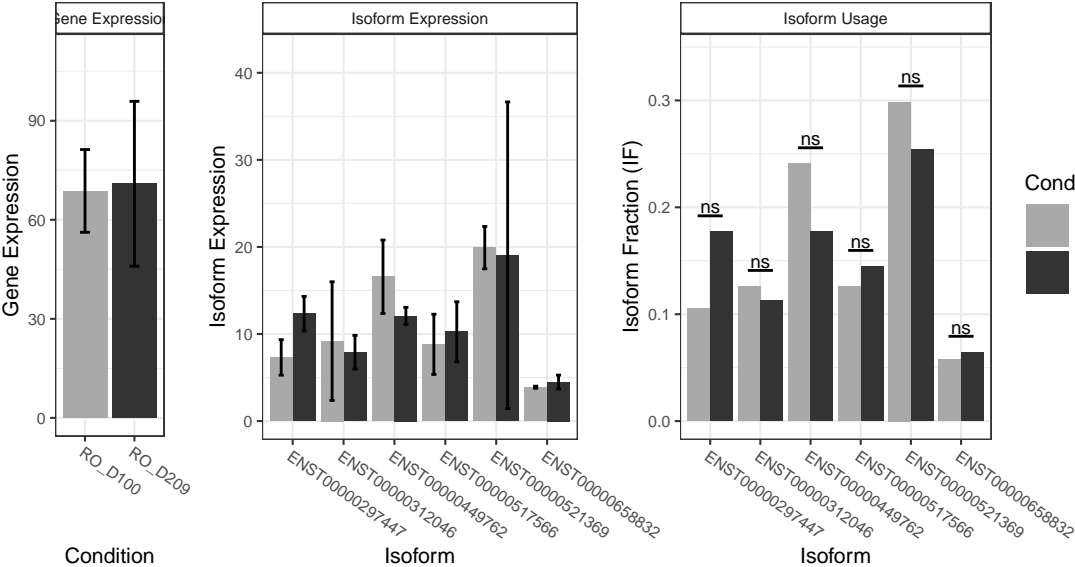
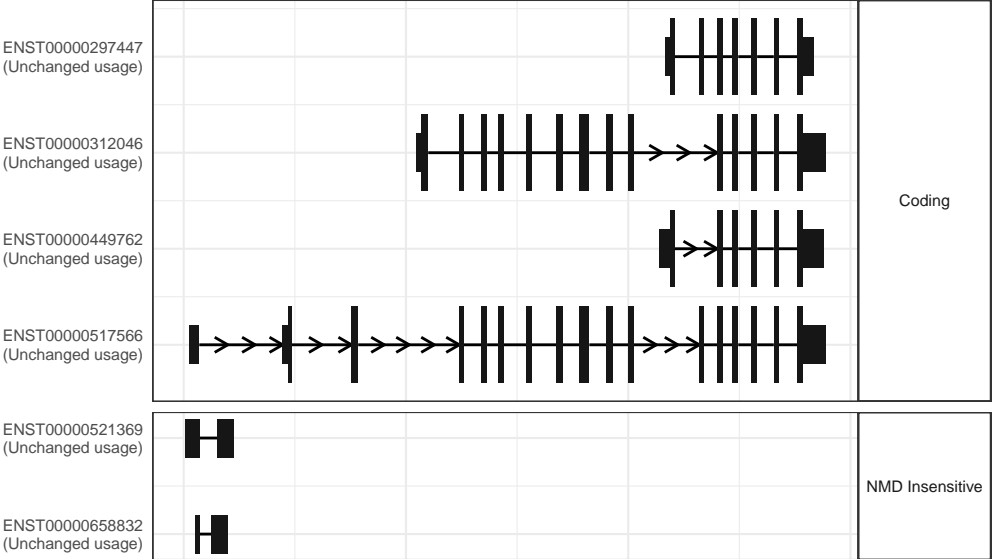
The isoform switch in TYMP (RO_D100 vs RO_D209)



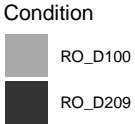
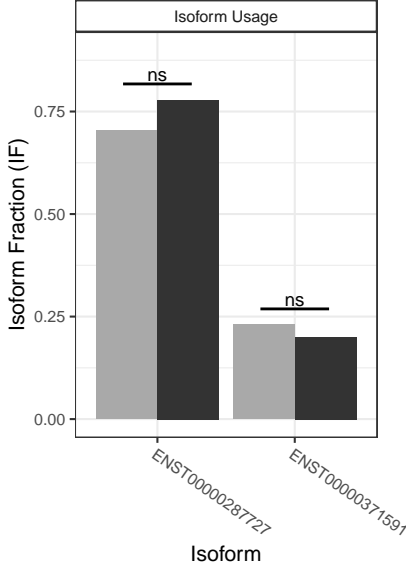
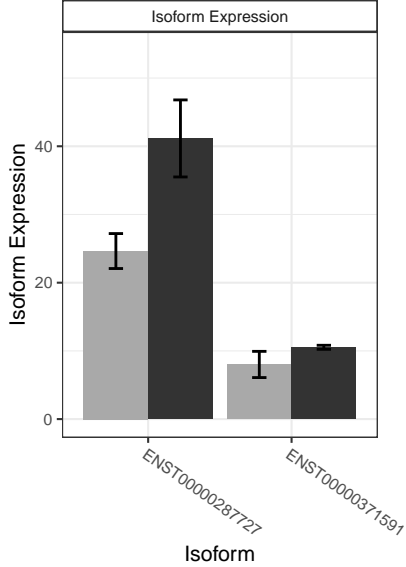
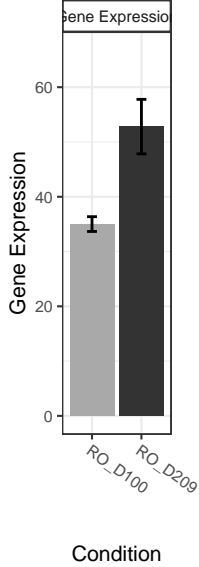
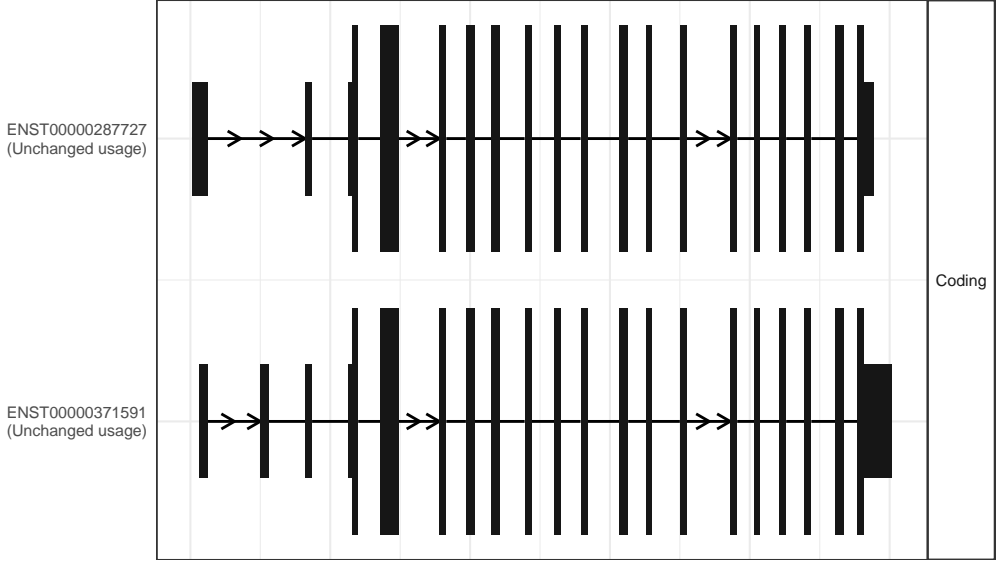
The isoform switch in PPP3CB (RO_D100 vs RO_D209)



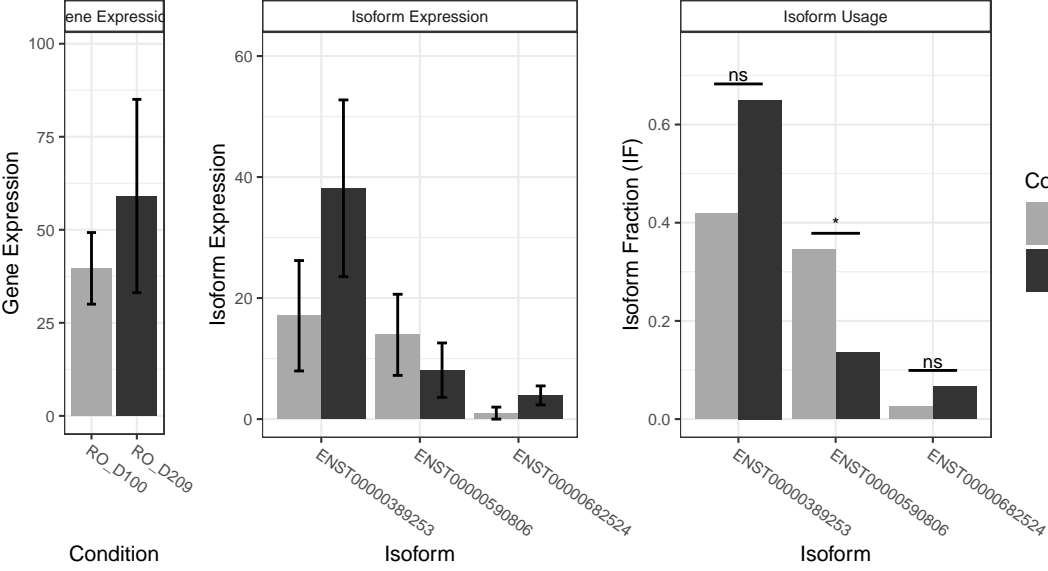
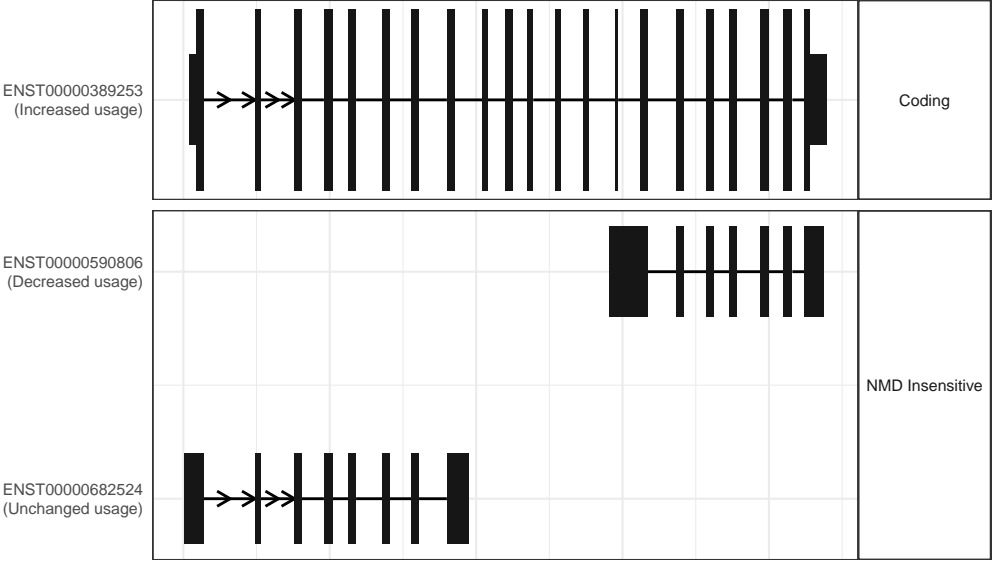
The isoform switch in OXR1 (RO_D100 vs RO_D209)



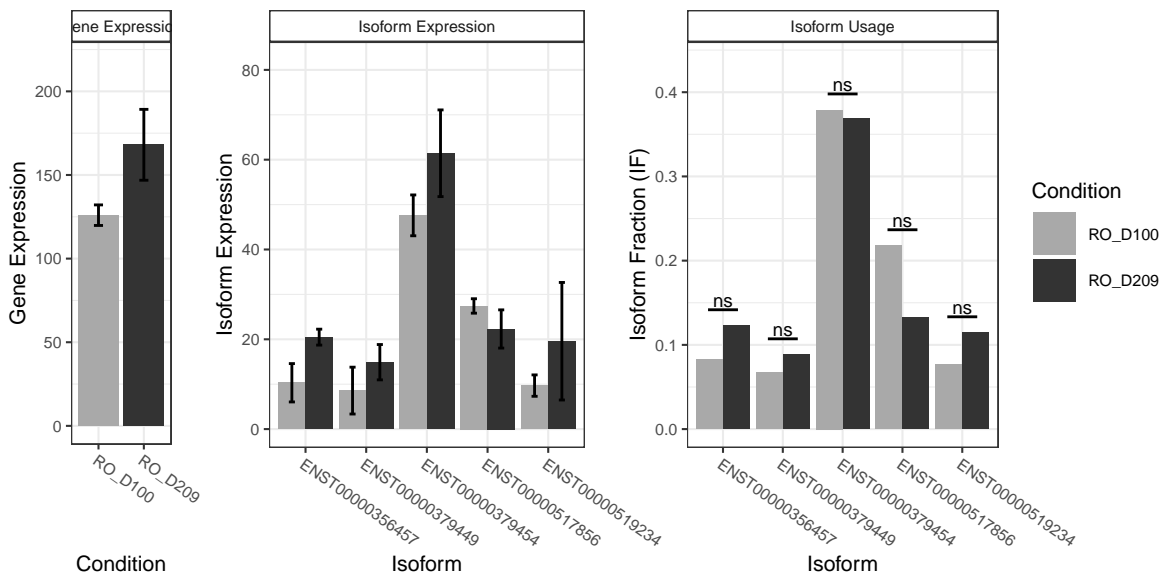
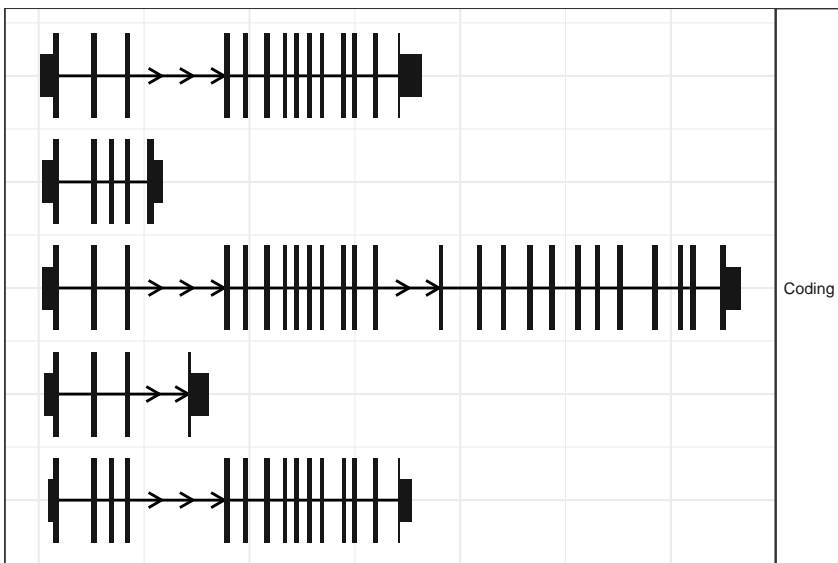
The isoform switch in ZFYVE9 (RO_D100 vs RO_D209)



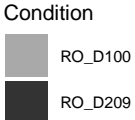
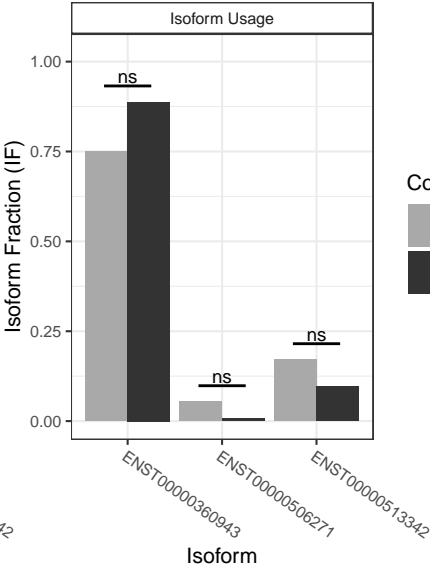
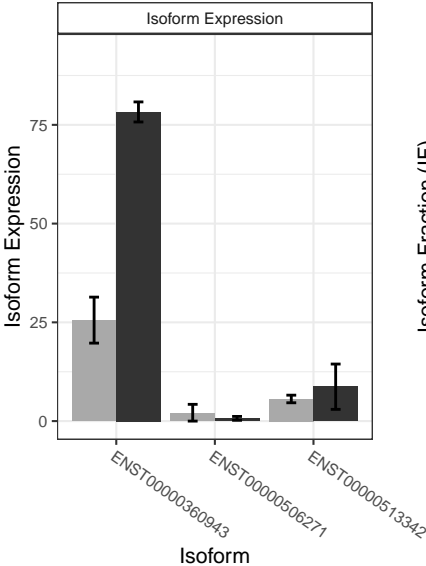
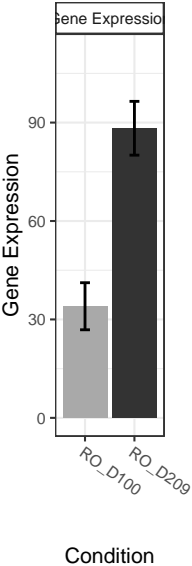
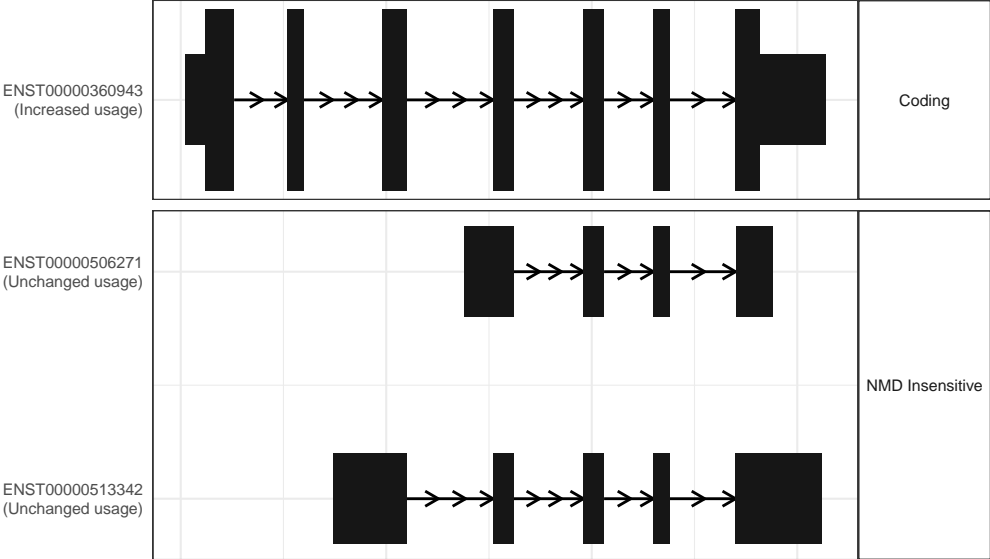
The isoform switch in DNM2 (RO_D100 vs RO_D209)



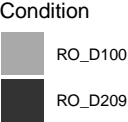
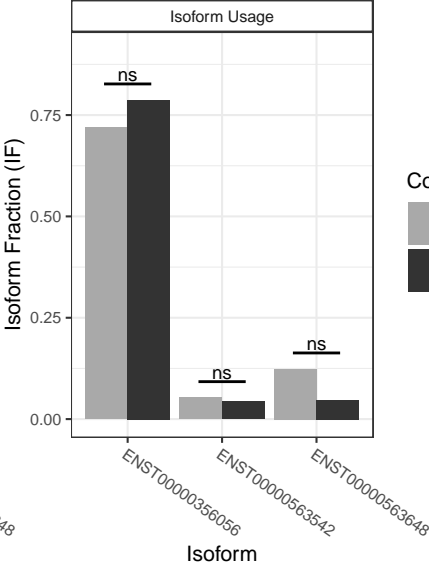
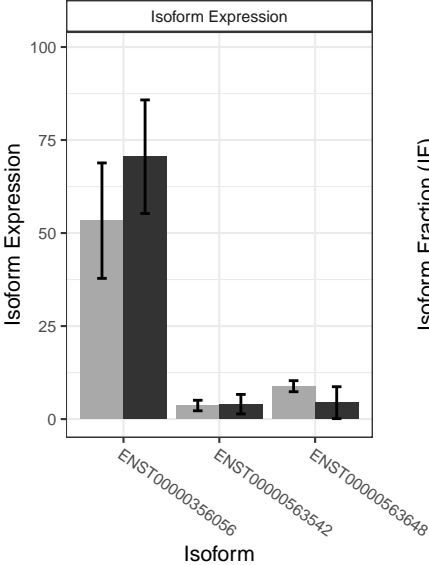
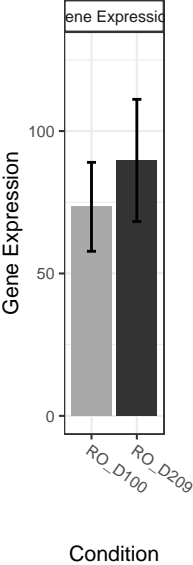
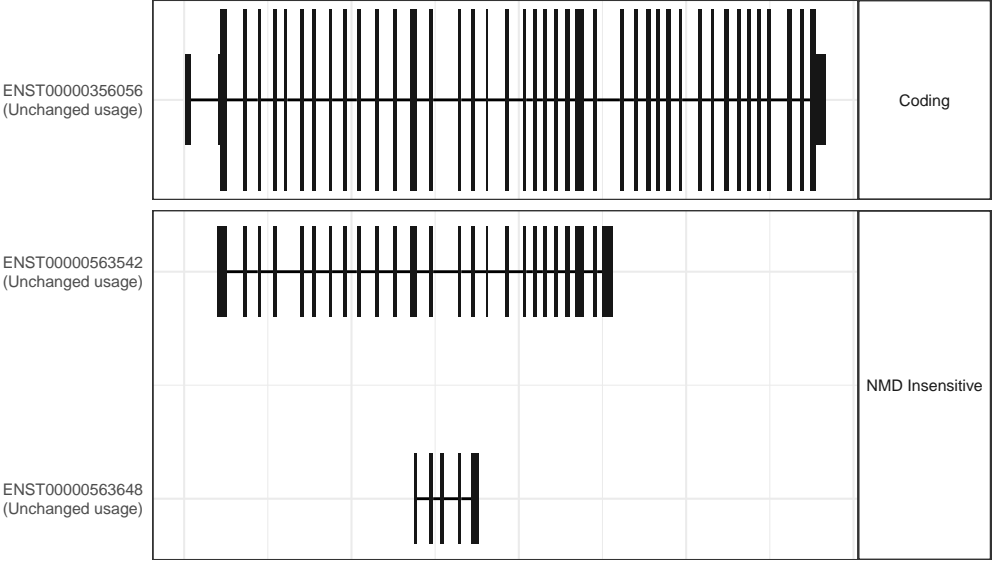
The isoform switch in ASPH (RO_D100 vs RO_D209)



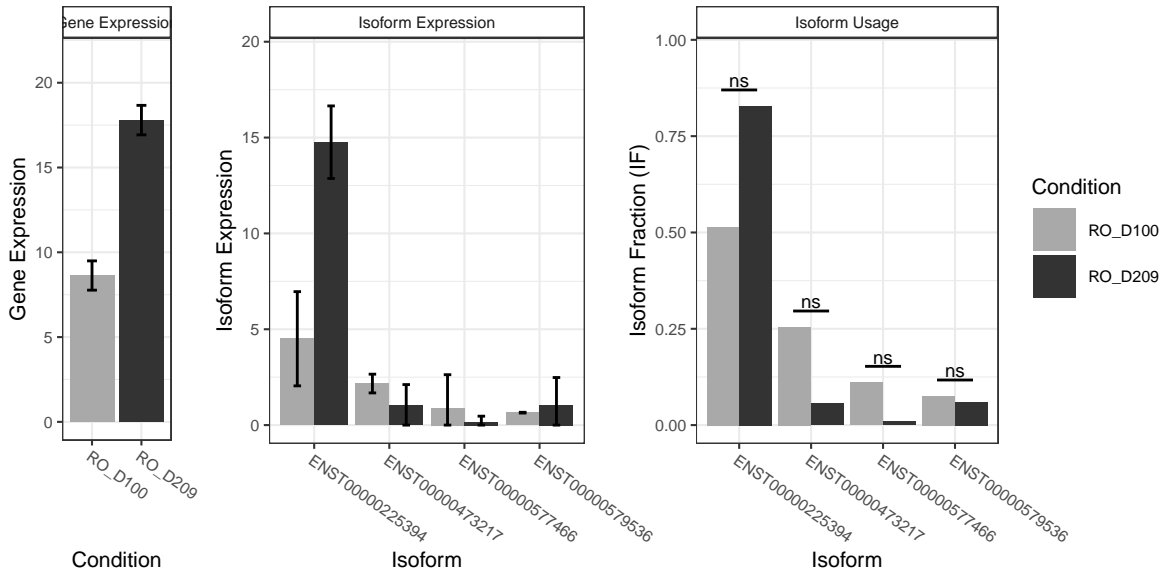
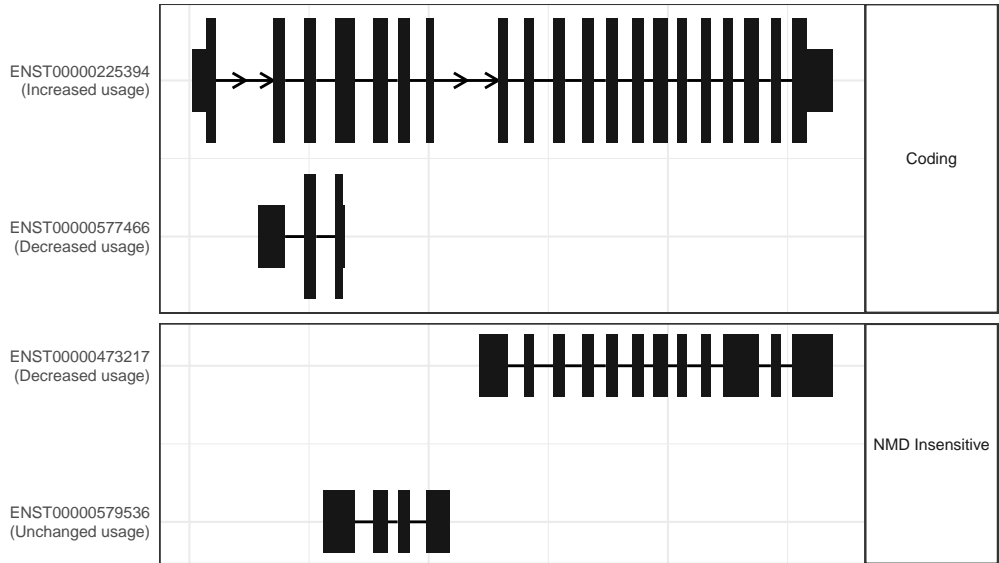
The isoform switch in UBE2Z (RO_D100 vs RO_D209)



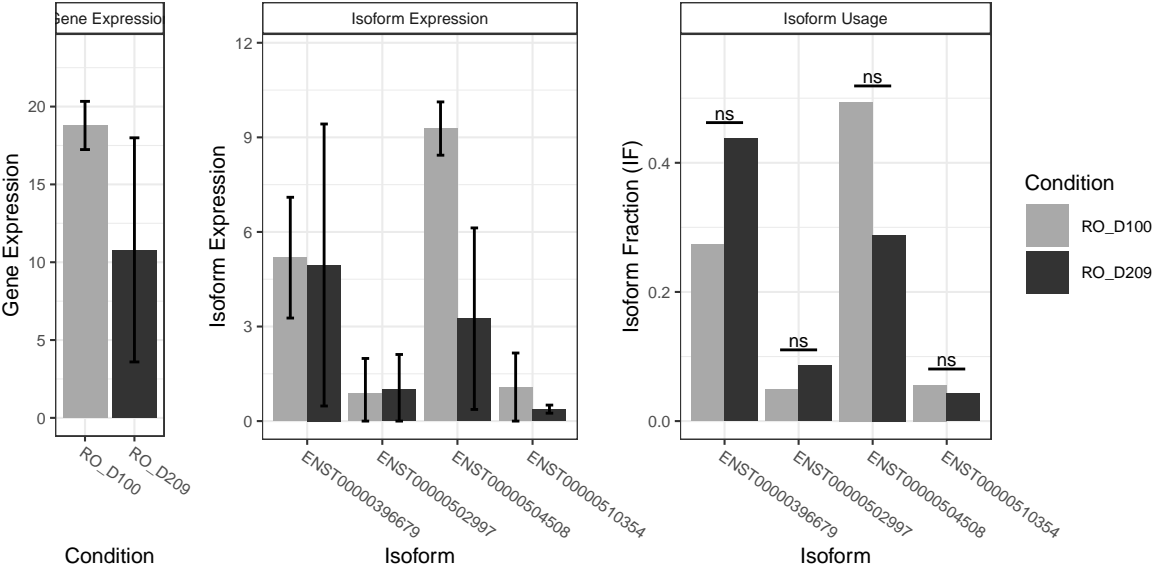
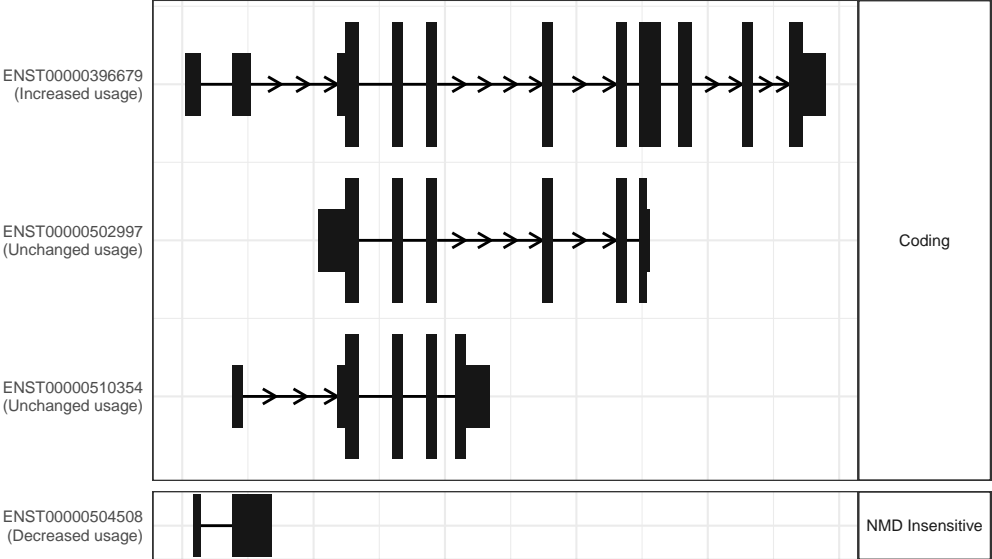
The isoform switch in MYO9A (RO_D100 vs RO_D209)



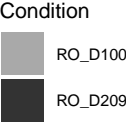
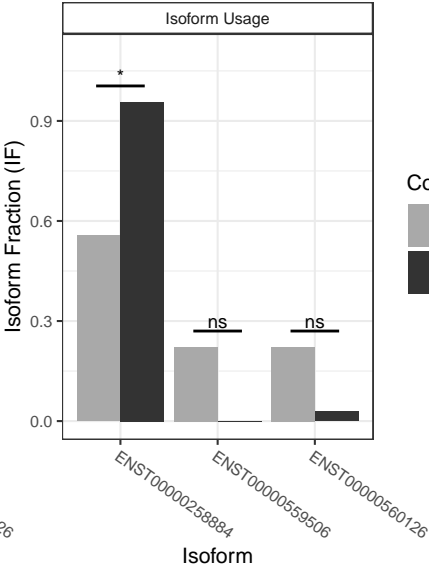
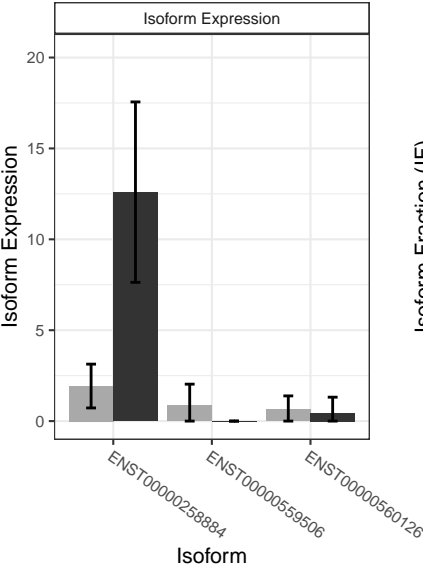
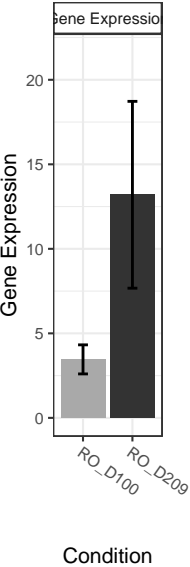
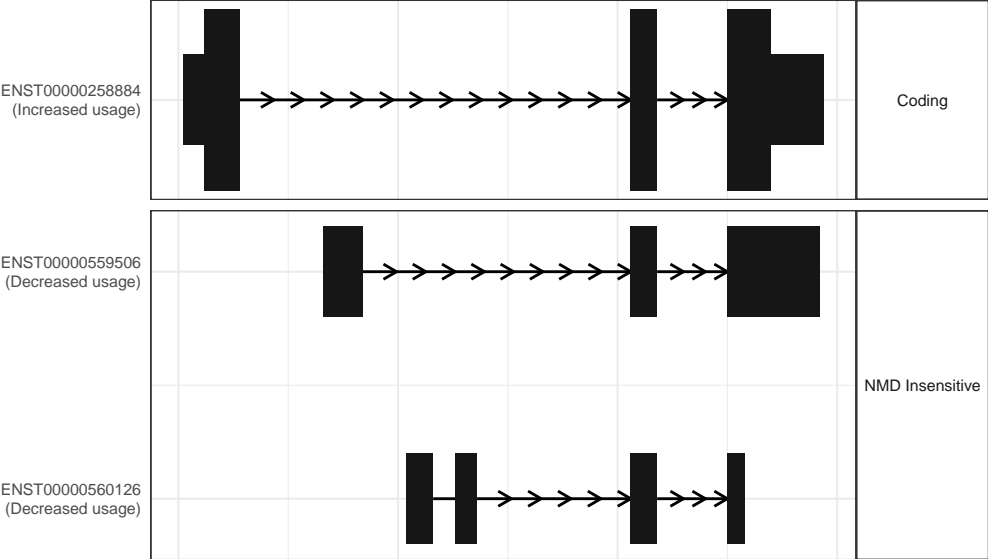
The isoform switch in GIT1 (RO_D100 vs RO_D209)



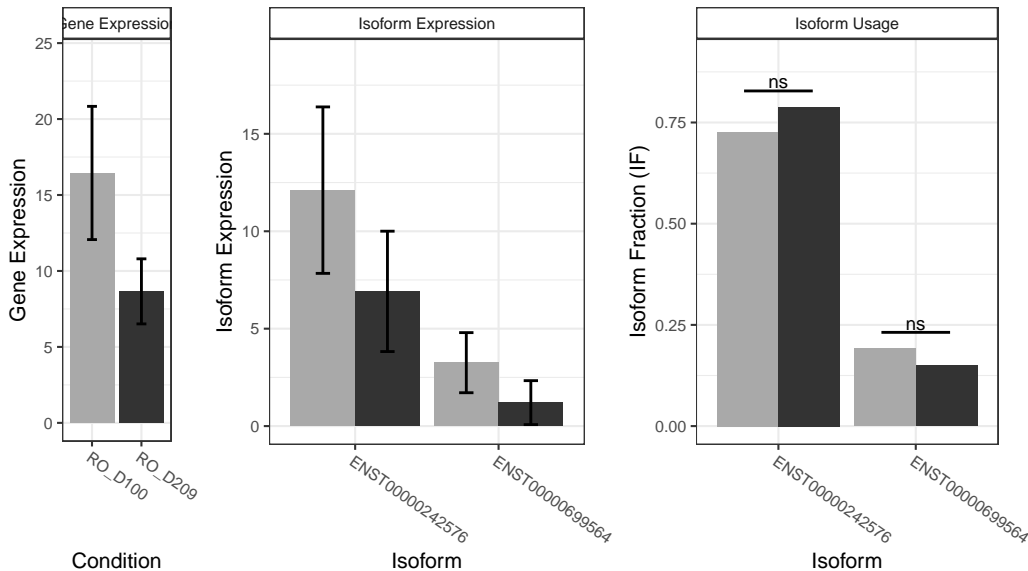
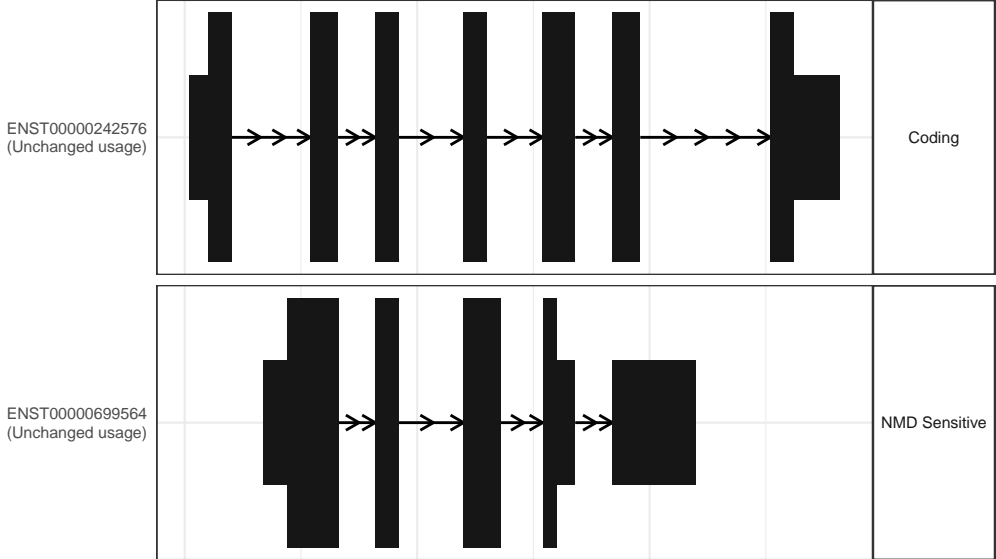
The isoform switch in CENPK (RO_D100 vs RO_D209)



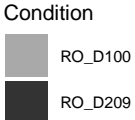
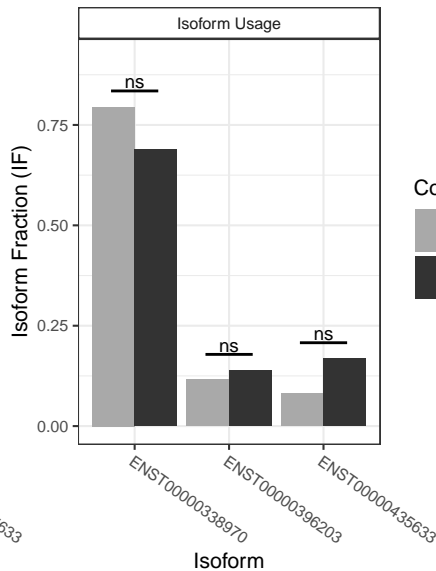
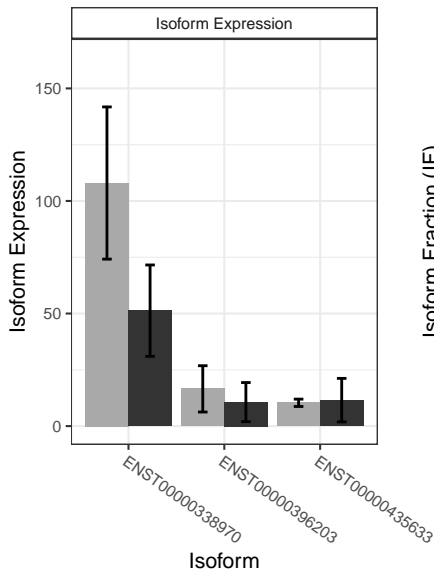
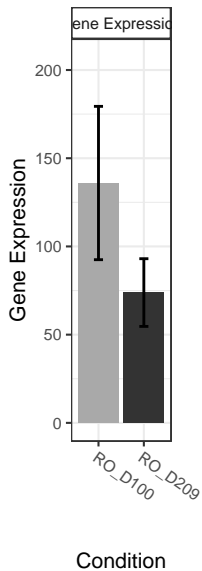
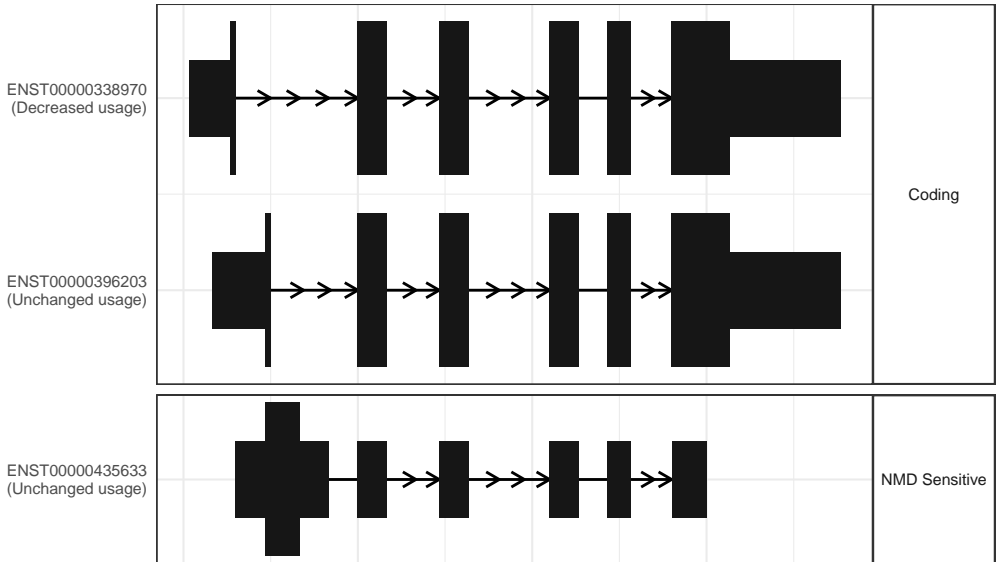
The isoform switch in ABHD17C (RO_D100 vs RO_D209)



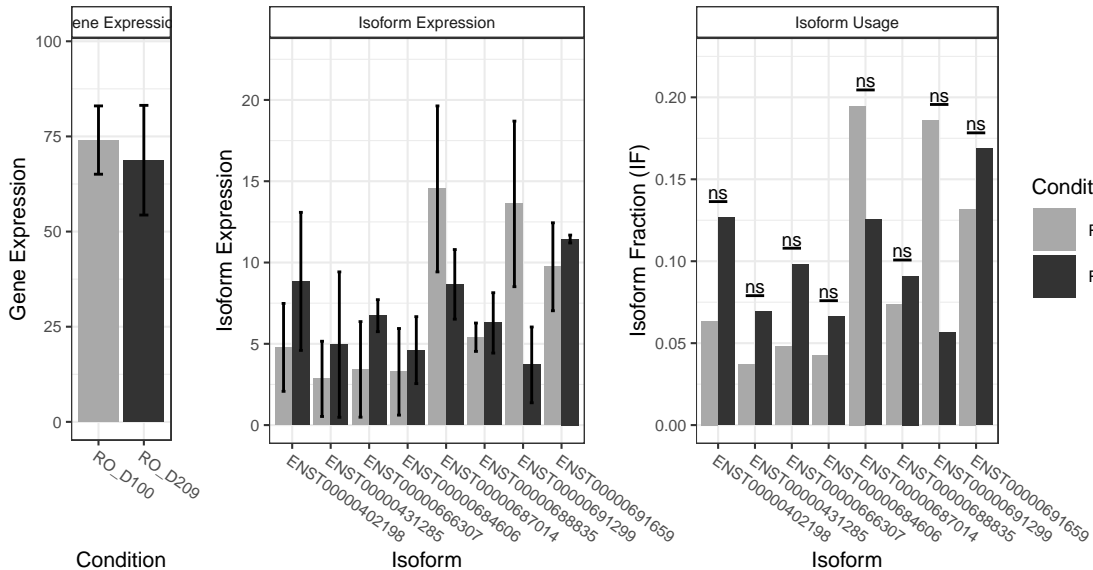
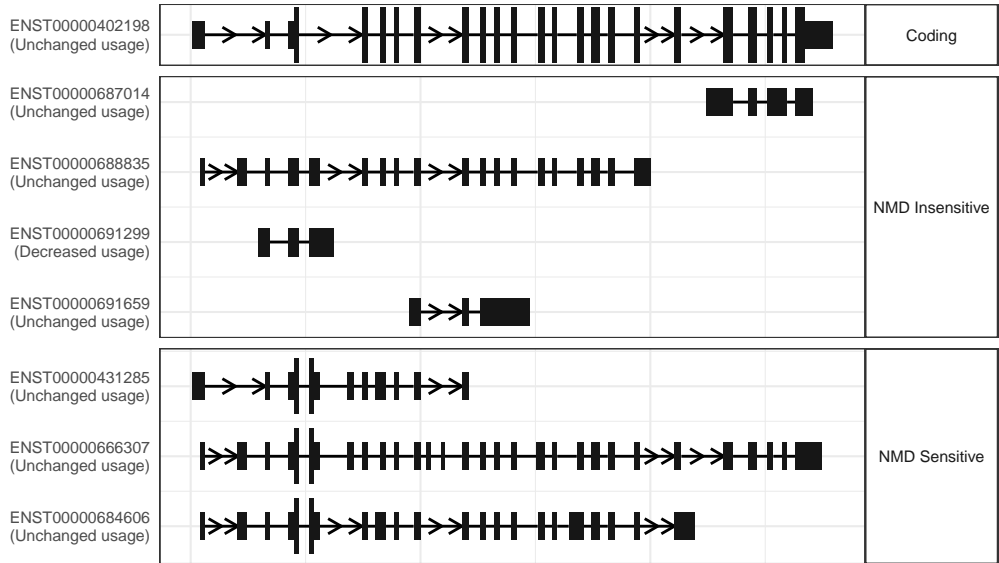
The isoform switch in UNG (RO_D100 vs RO_D209)



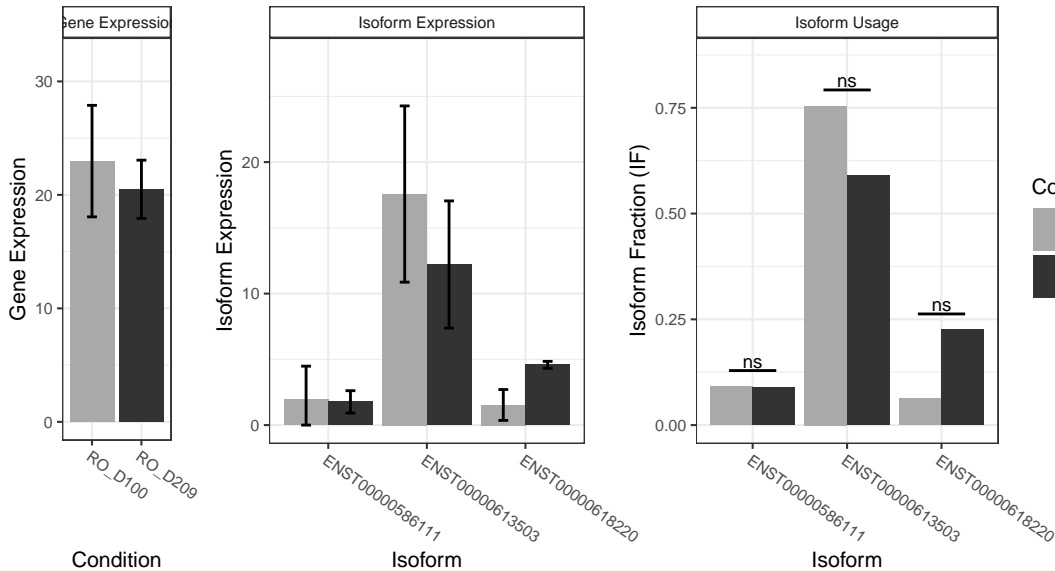
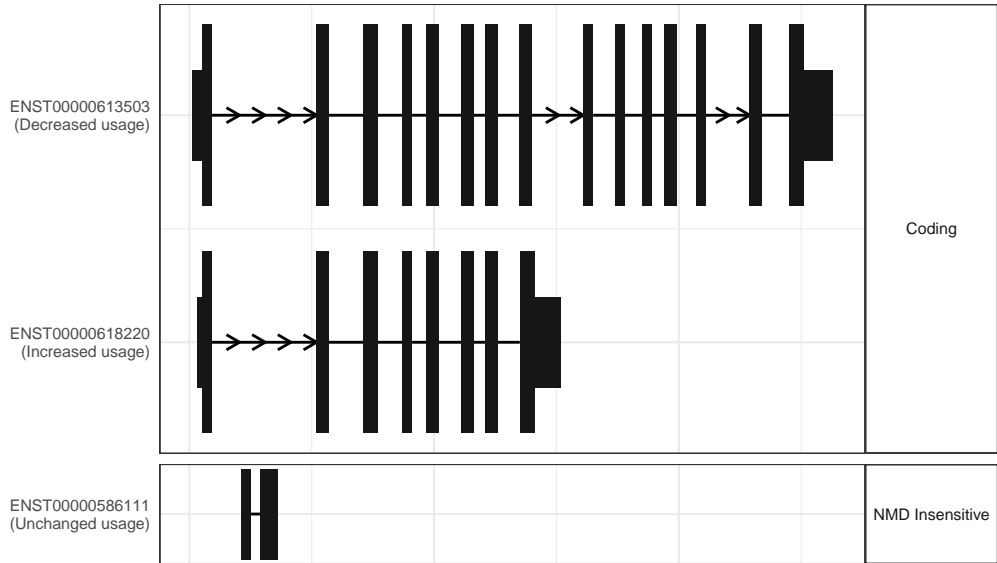
The isoform switch in RPL14 (RO_D100 vs RO_D209)



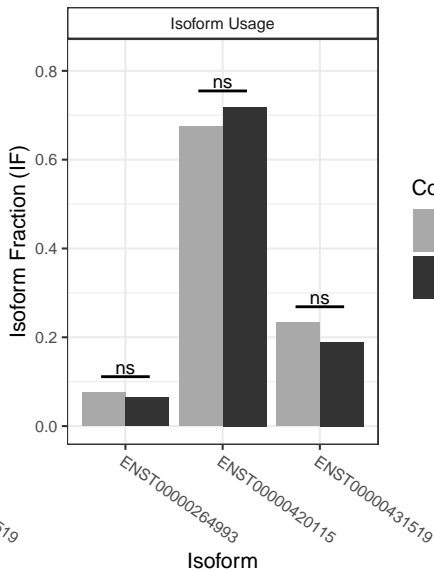
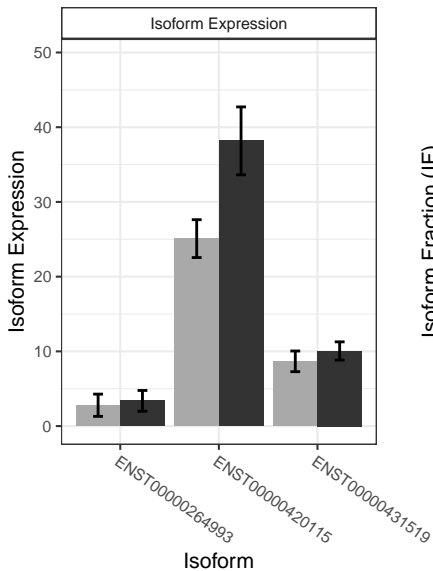
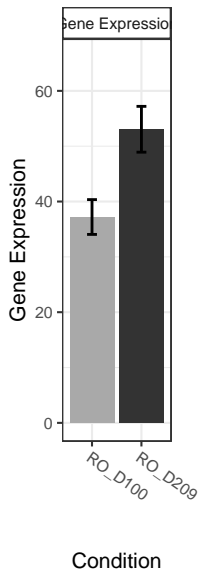
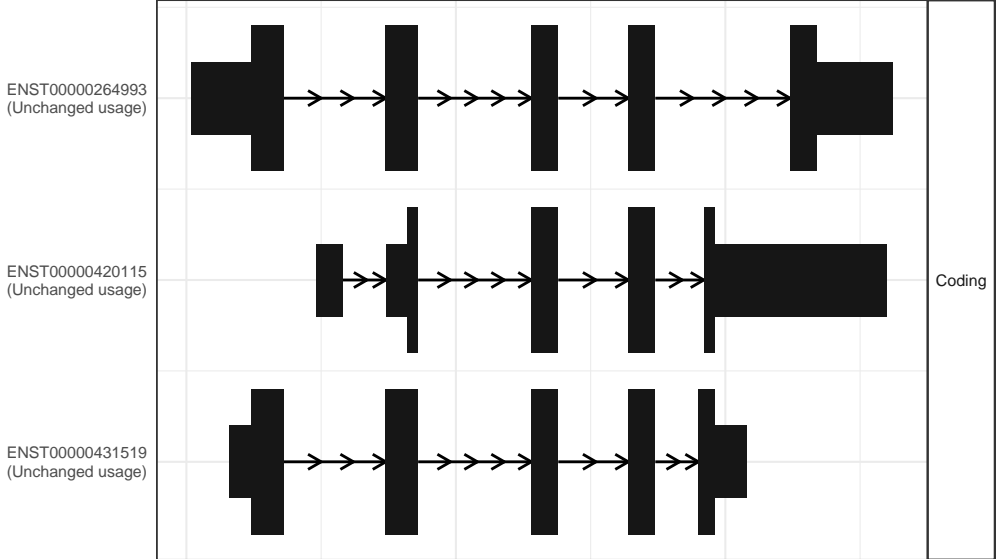
The isoform switch in SETD5 (RO_D100 vs RO_D209)



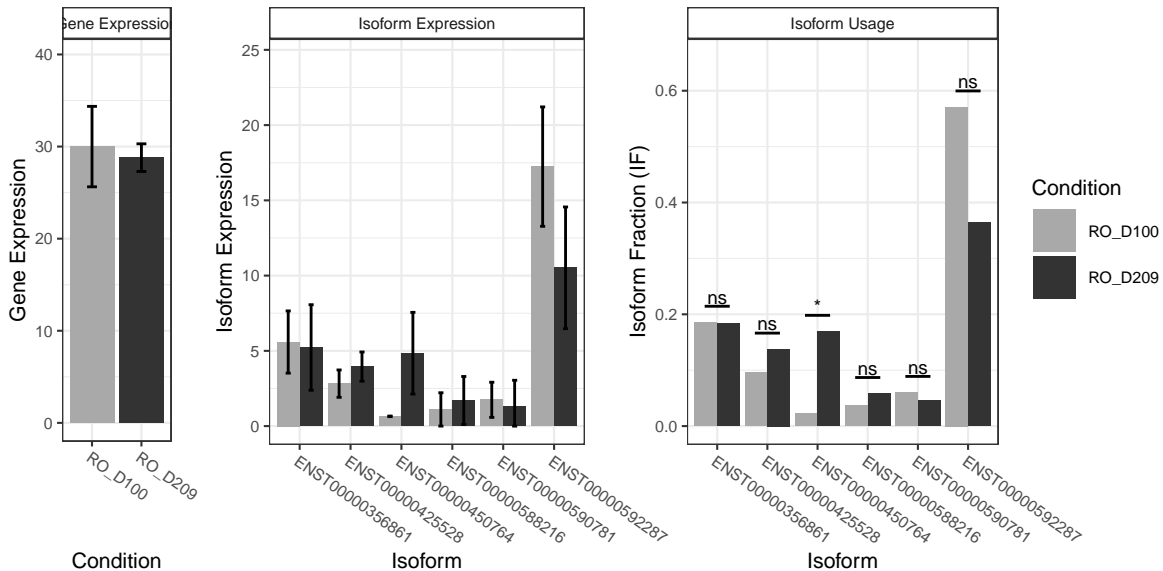
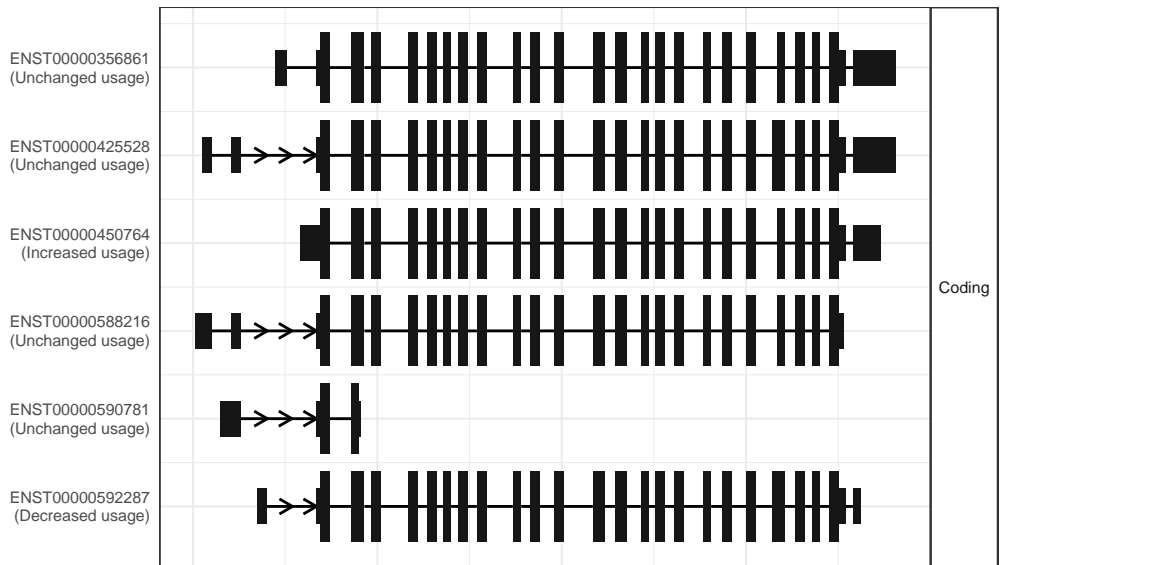
The isoform switch in SPPL2B (RO_D100 vs RO_D209)



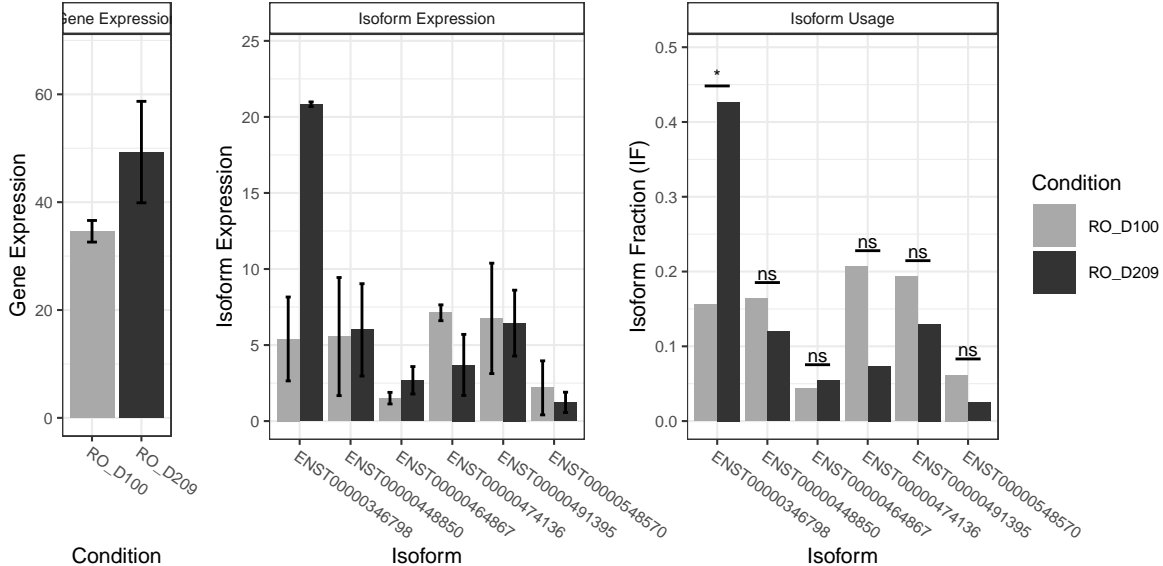
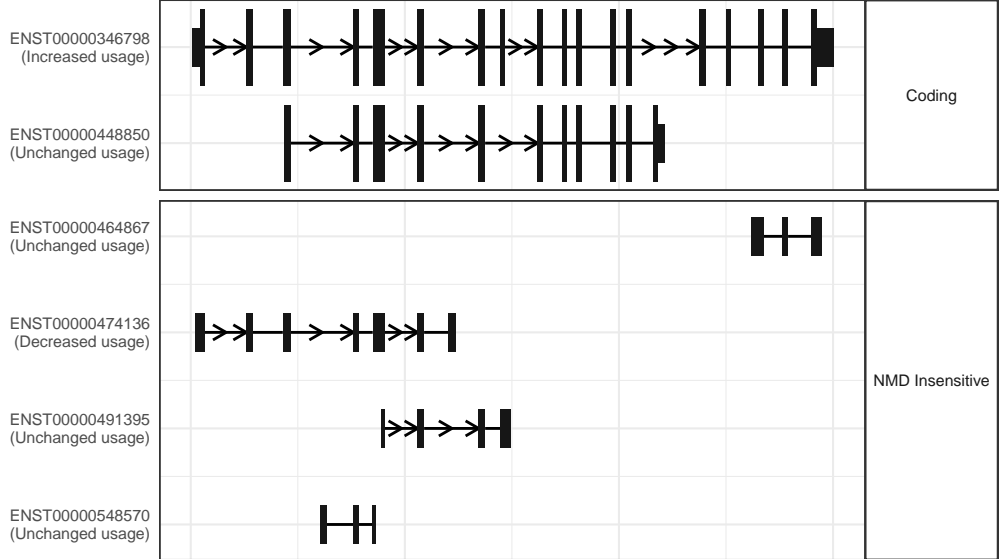
The isoform switch in CDV3 (RO_D100 vs RO_D209)



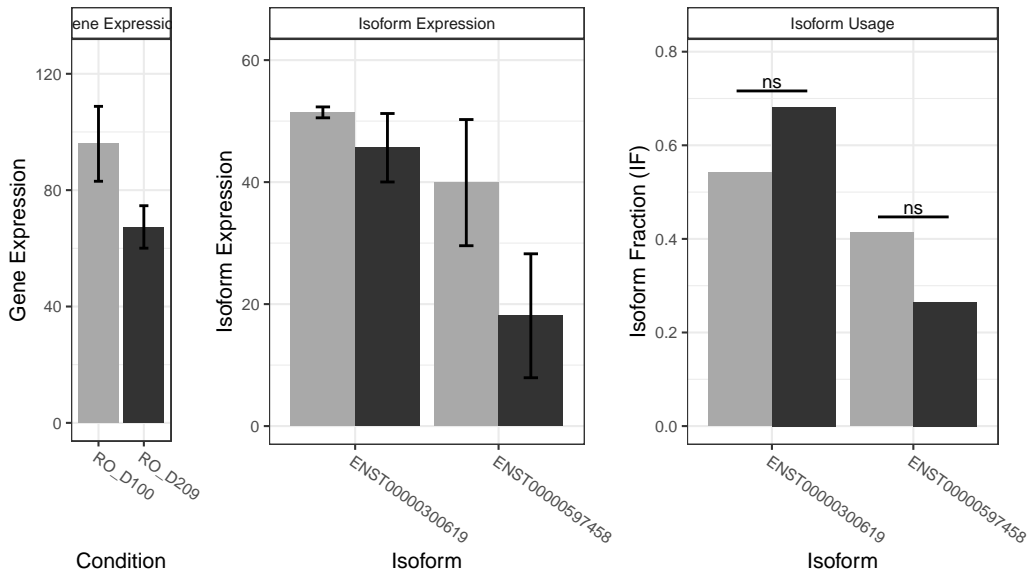
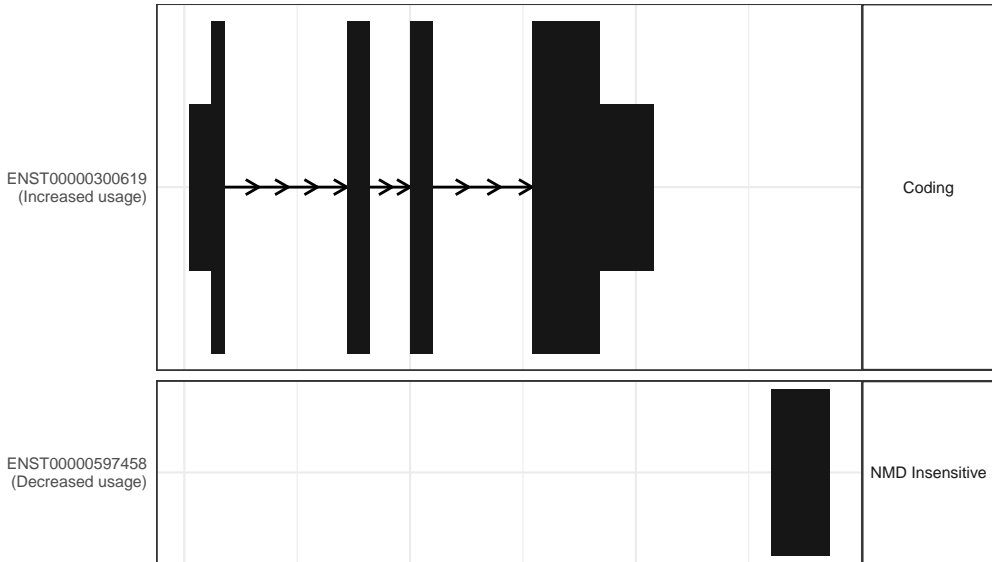
The isoform switch in TNPO2 (RO_D100 vs RO_D209)



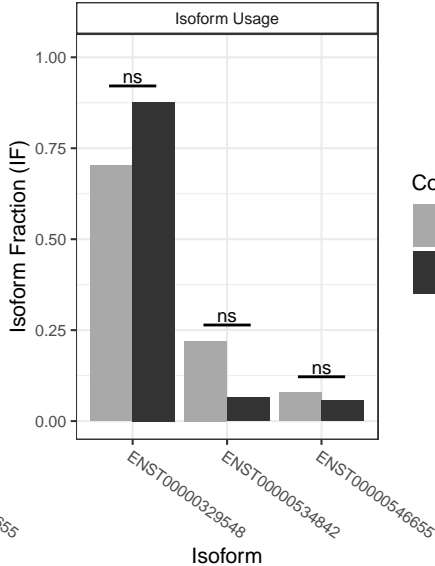
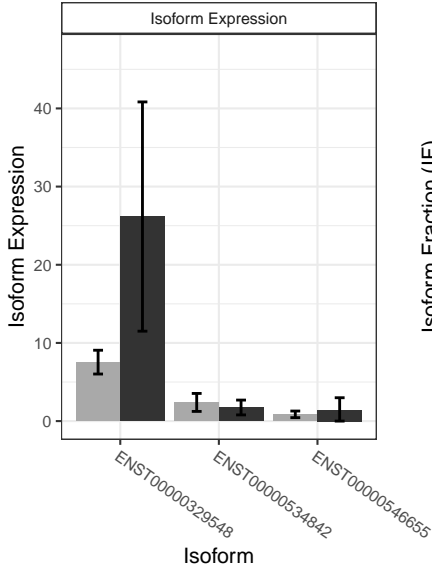
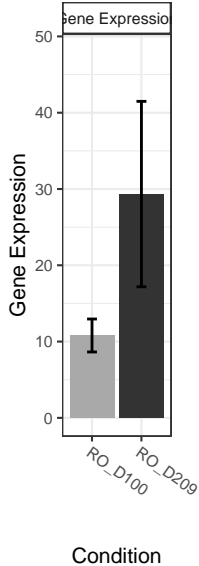
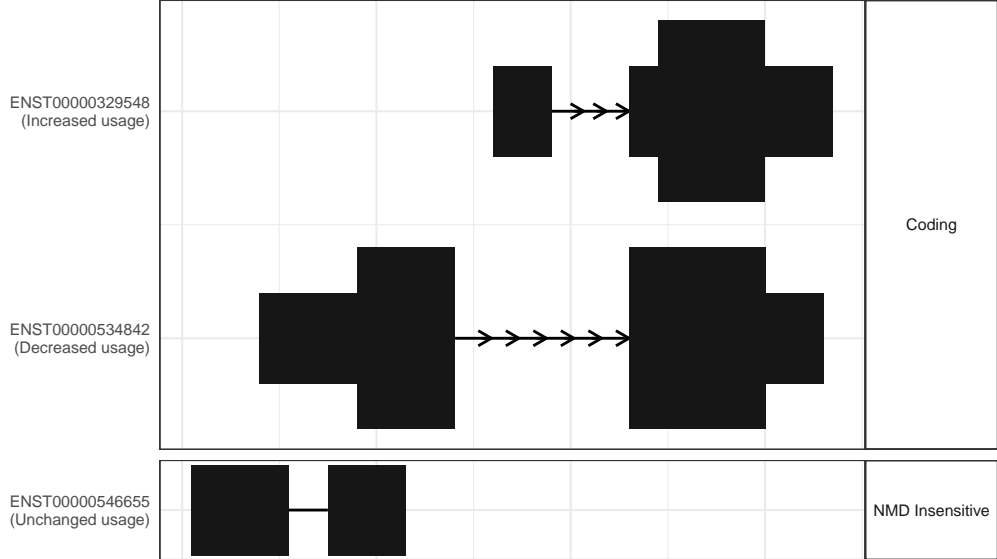
The isoform switch in APP (RO_D100 vs RO_D209)



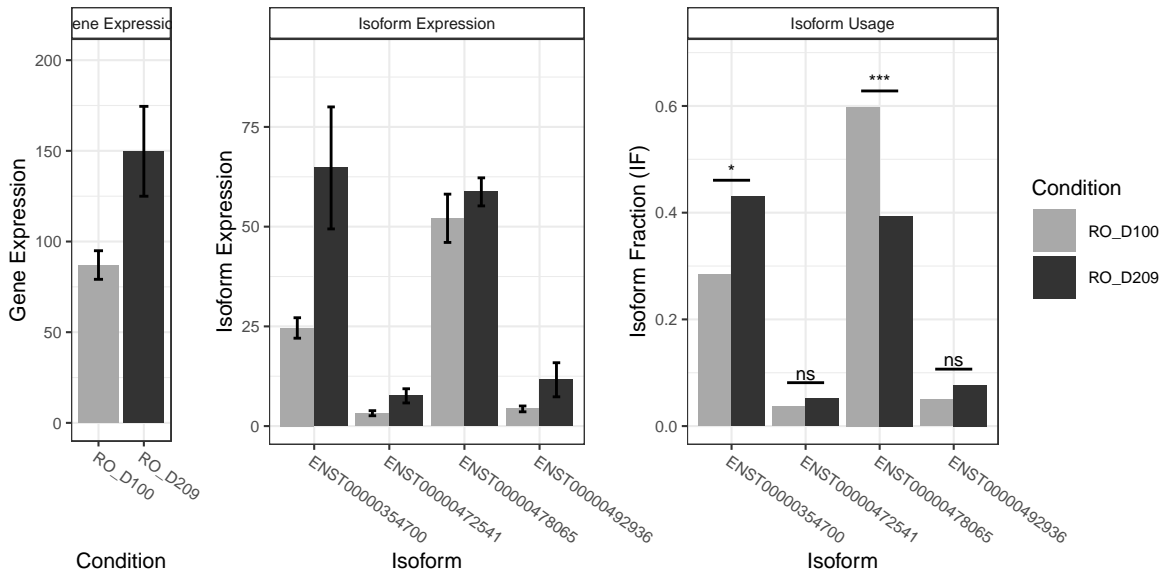
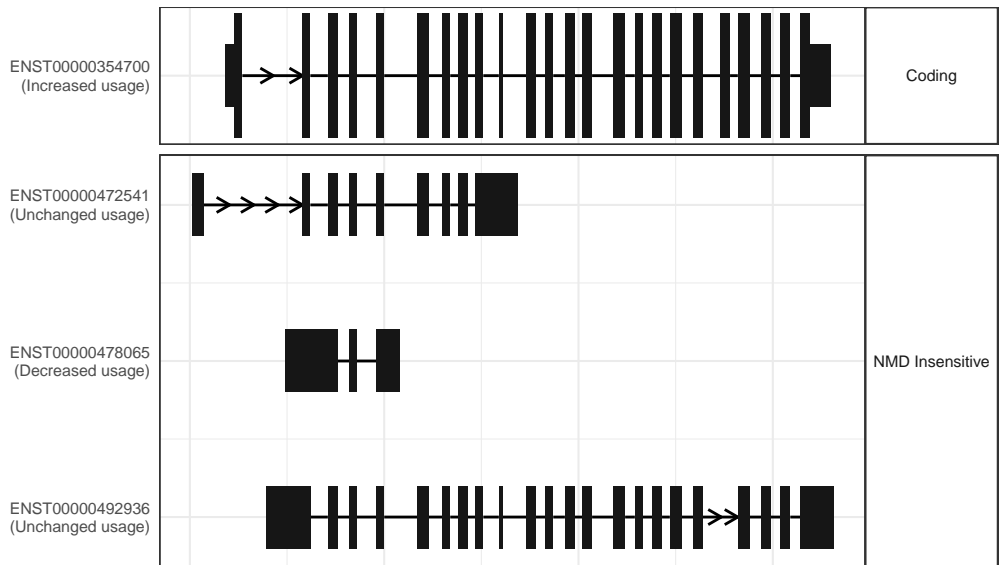
The isoform switch in ZNF91 (RO_D100 vs RO_D209)



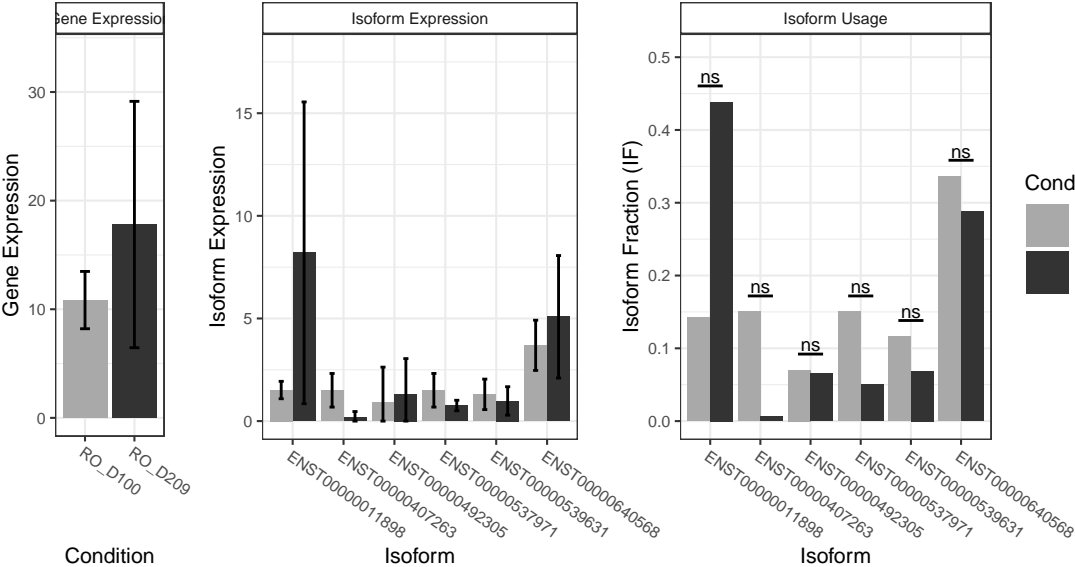
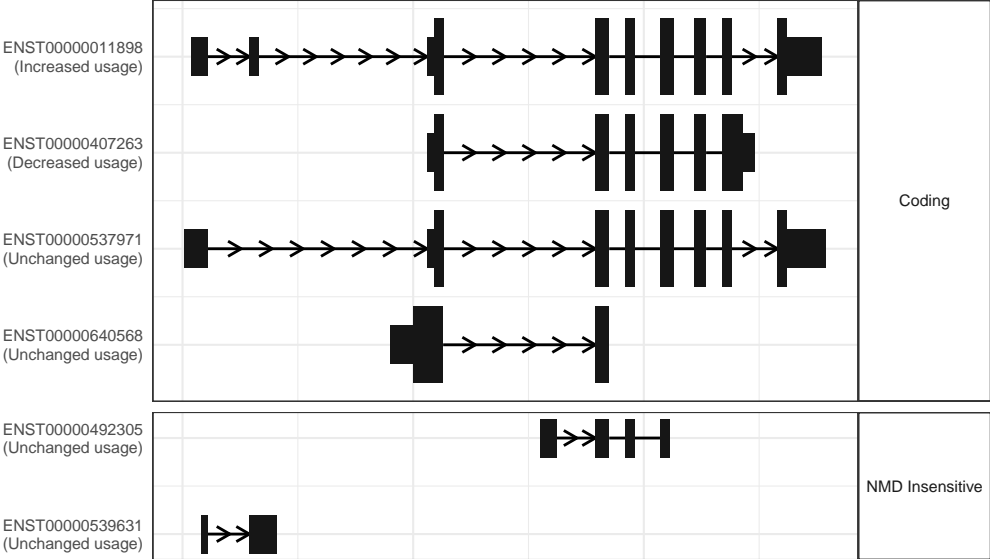
The isoform switch in MFSD5 (RO_D100 vs RO_D209)



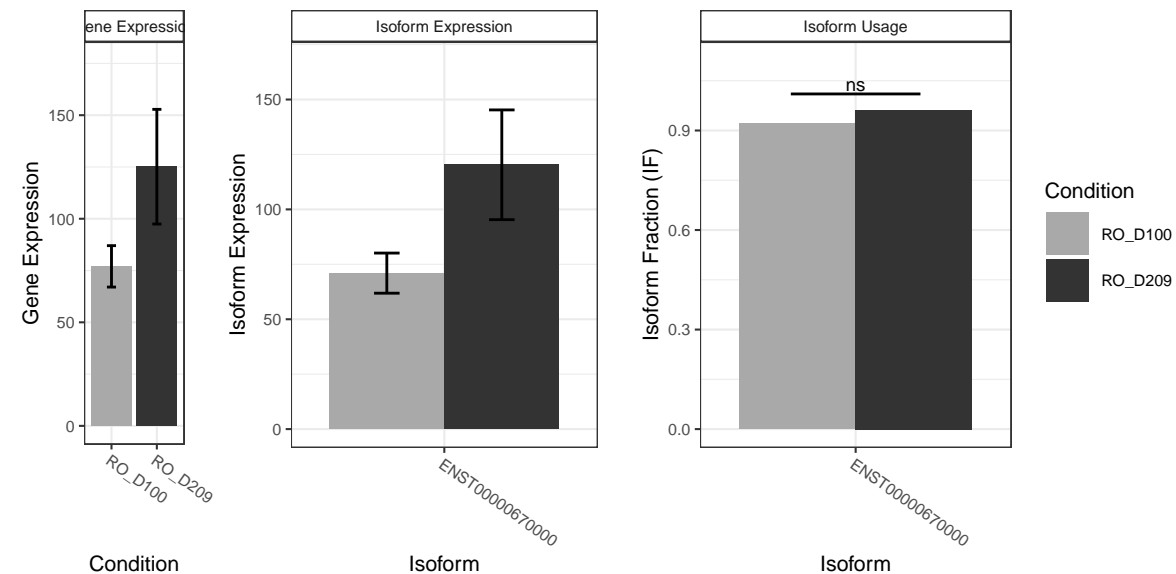
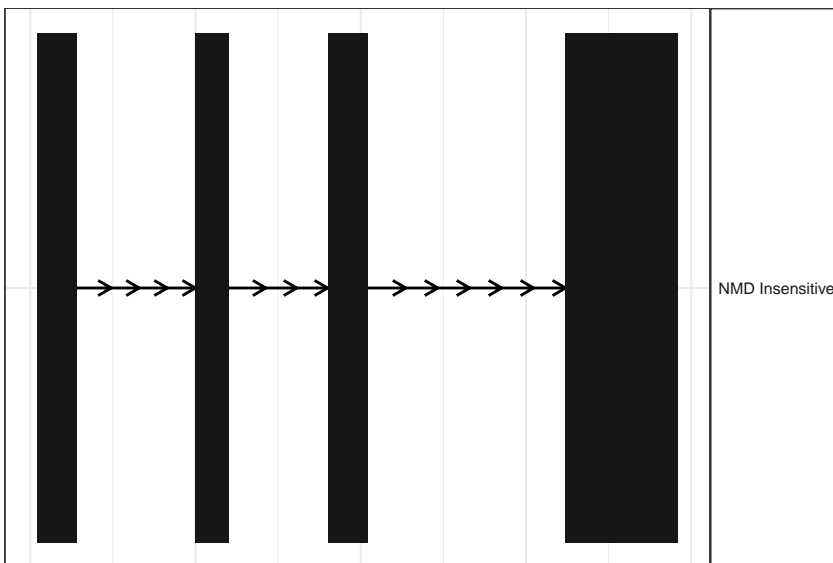
The isoform switch in ACAP3 (RO_D100 vs RO_D209)



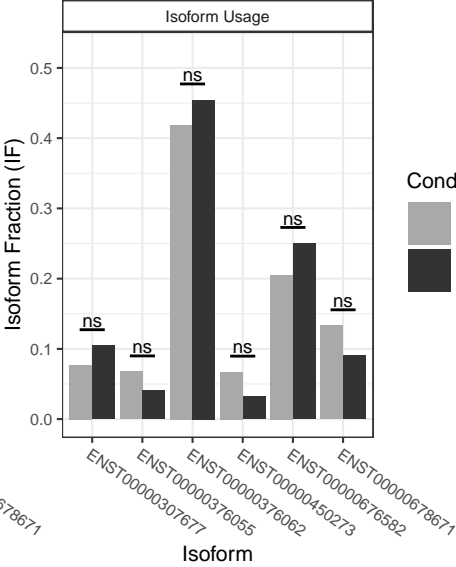
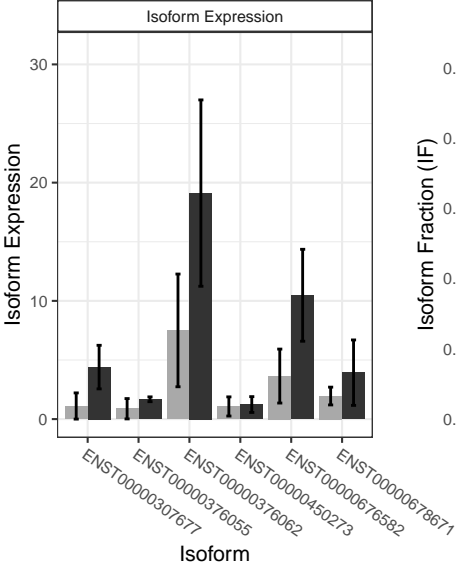
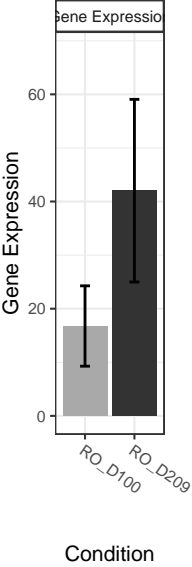
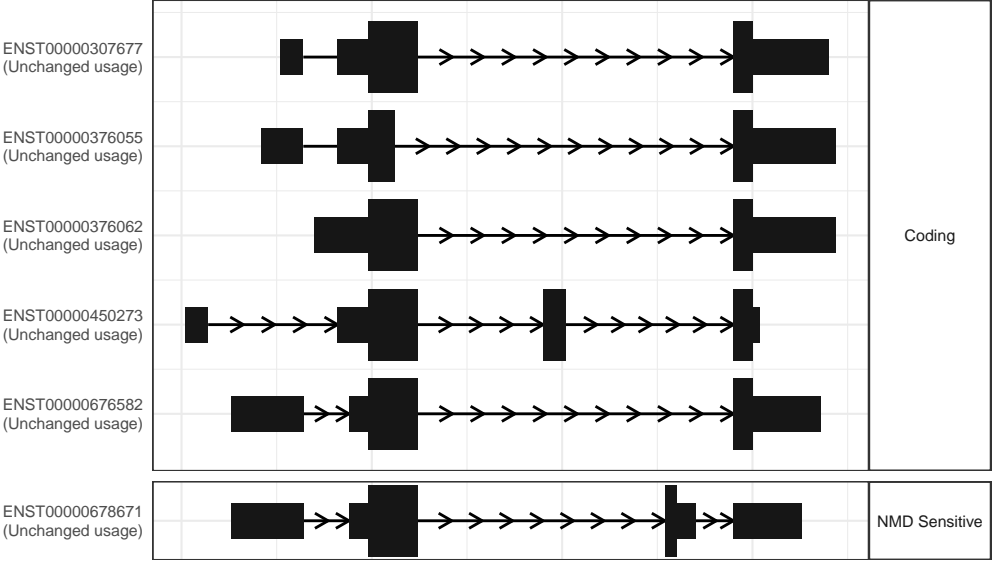
The isoform switch in TSPAN9 (RO_D100 vs RO_D209)



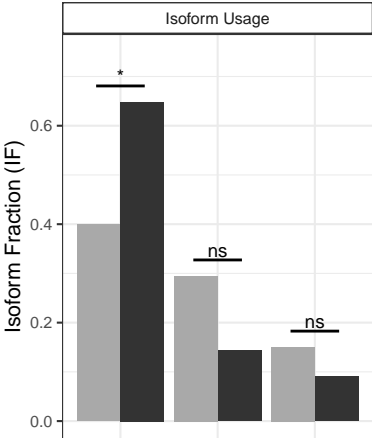
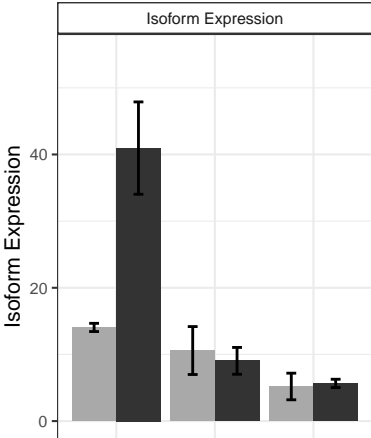
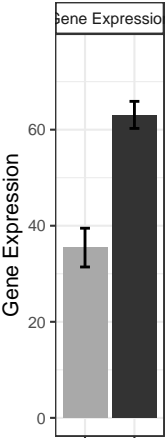
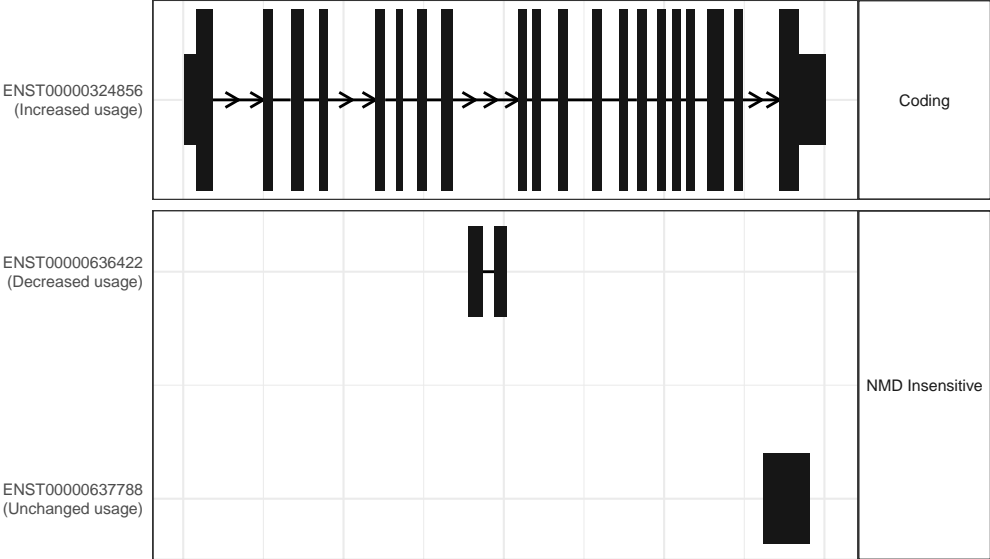
The isoform switch in WARS2-AS1 (RO_D100 vs RO_D209)



The isoform switch in BCL2L1 (RO_D100 vs RO_D209)



The isoform switch in ARID1A (RO_D100 vs RO_D209)

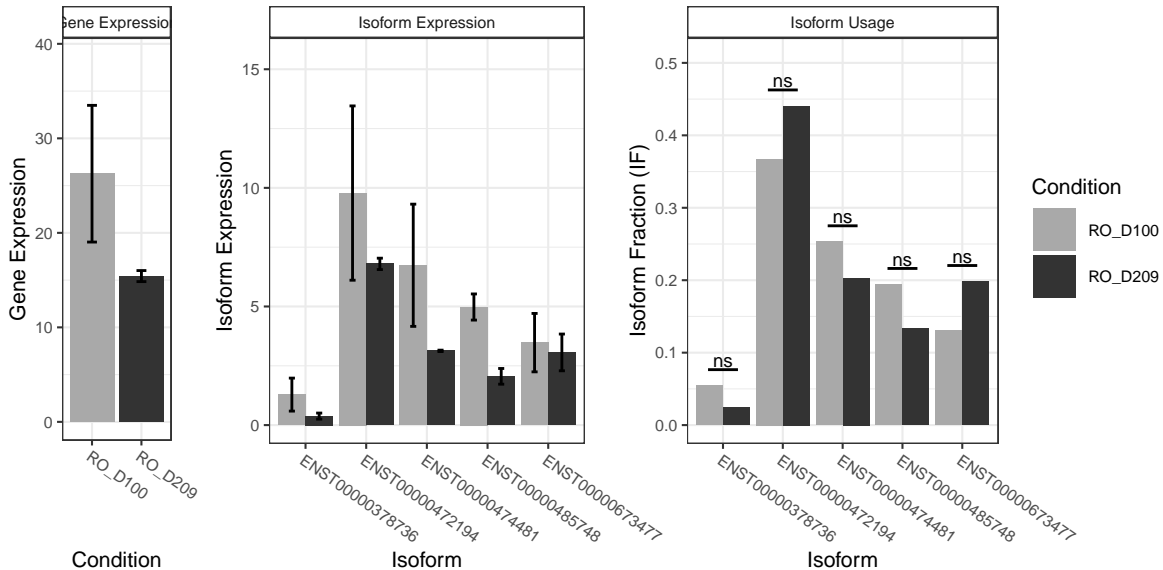
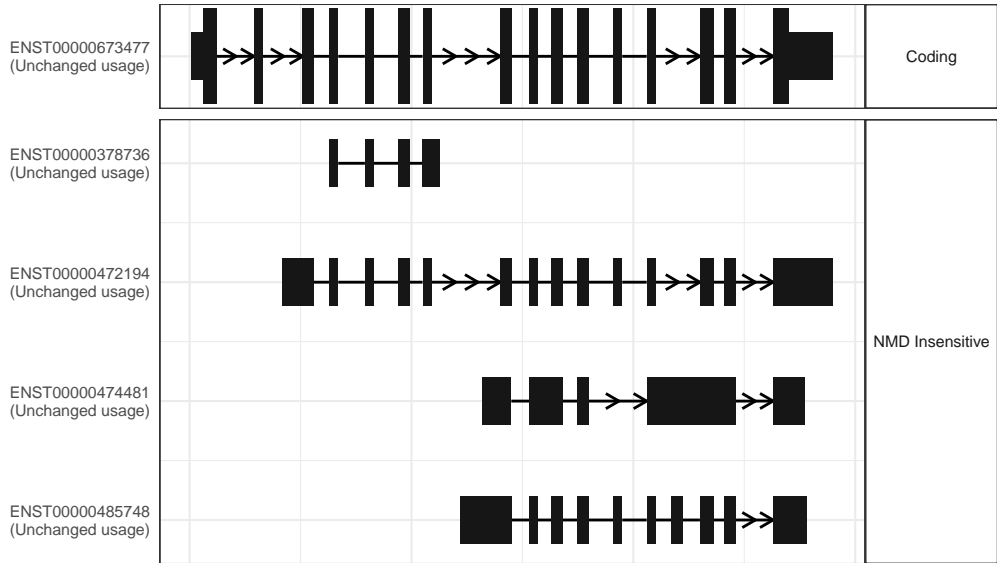


Condition

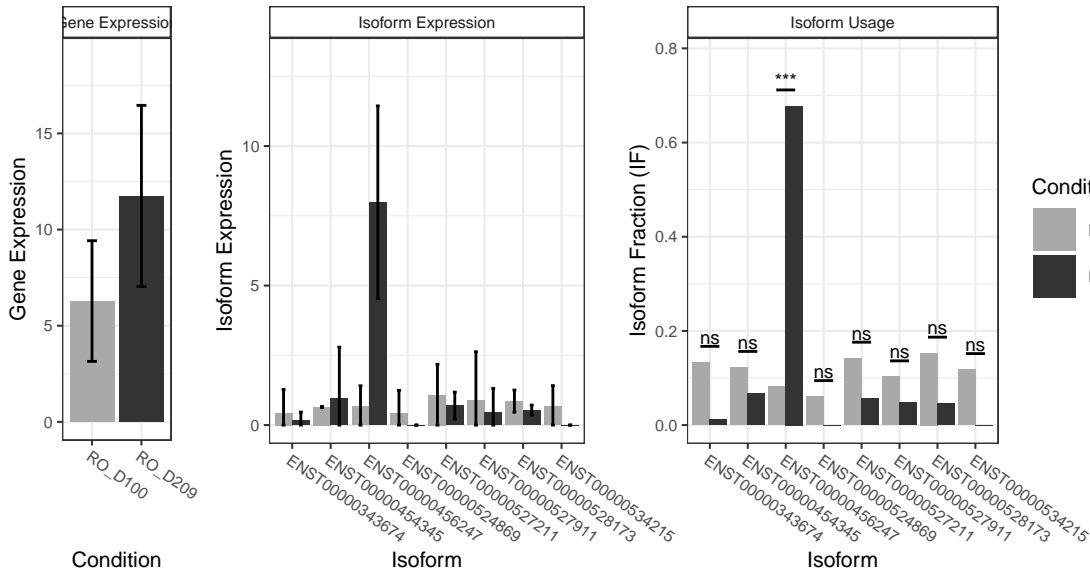
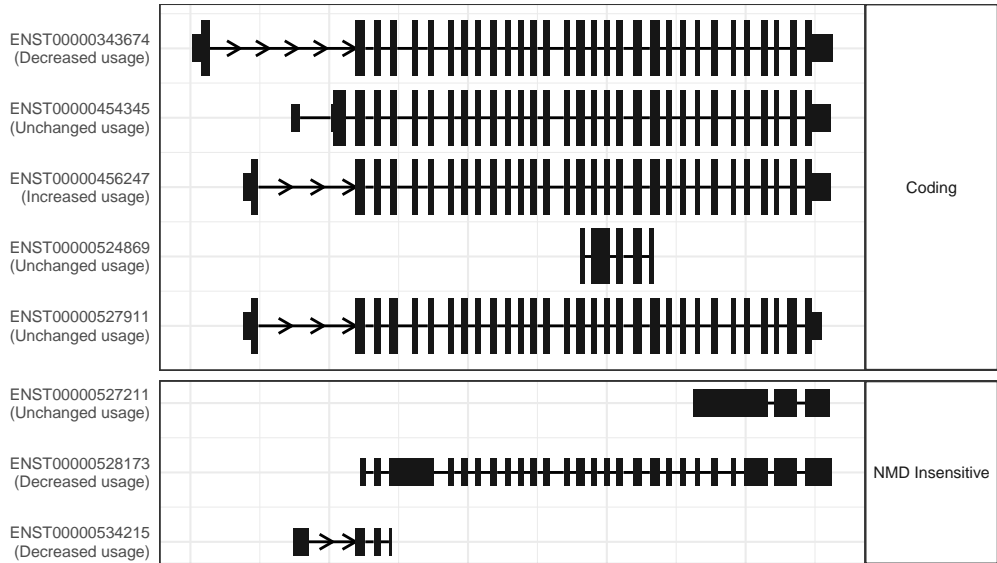
Isoform

Isoform

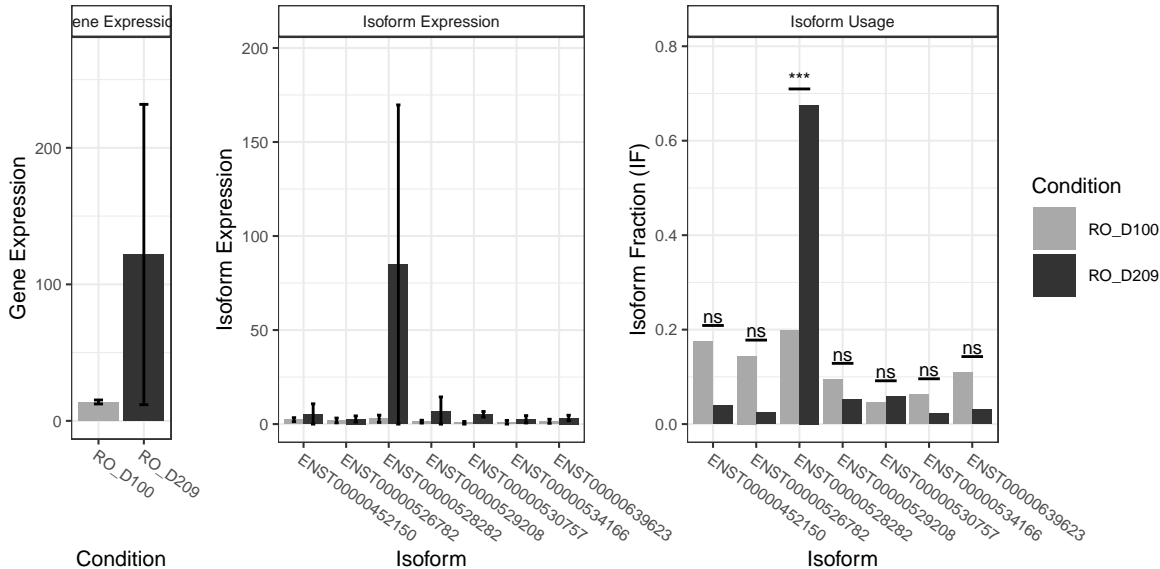
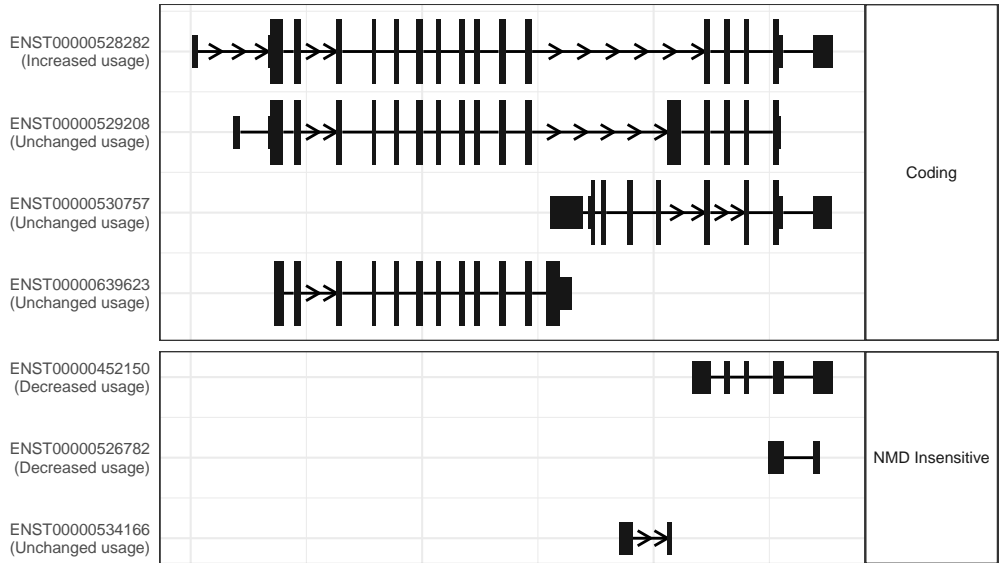
The isoform switch in ATAD3B (RO_D100 vs RO_D209)



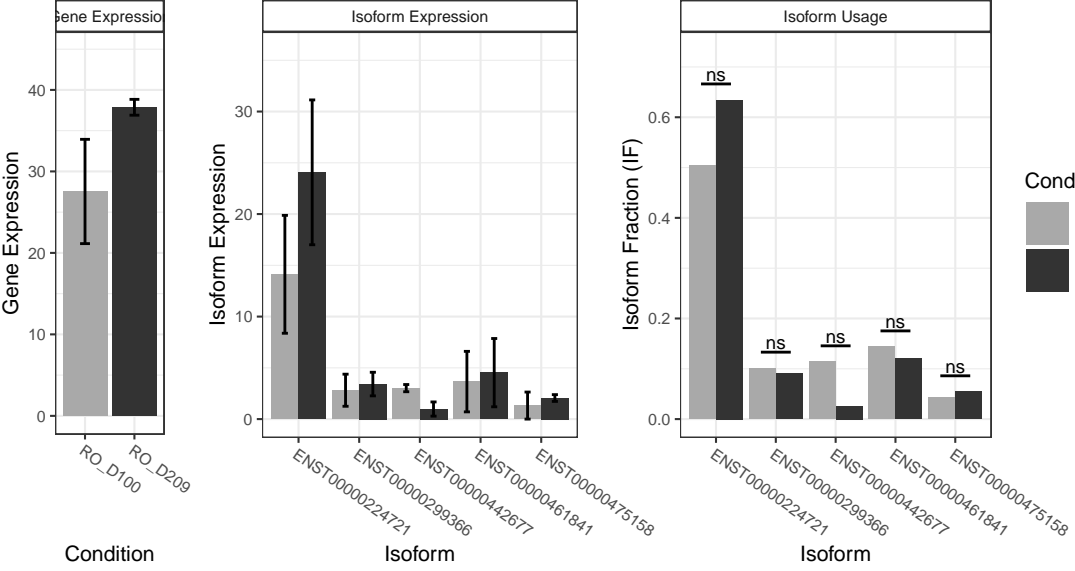
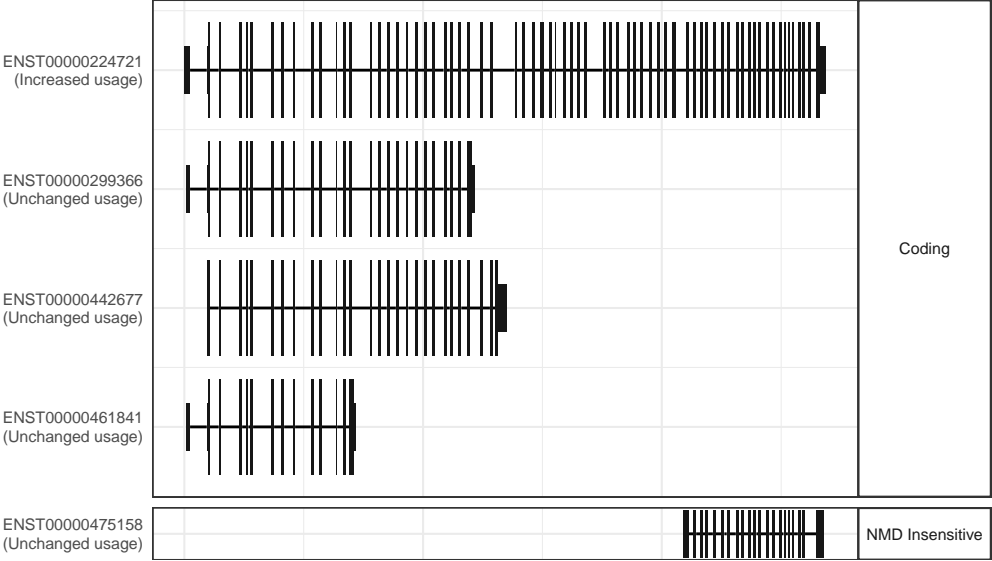
The isoform switch in DGKZ (RO_D100 vs RO_D209)



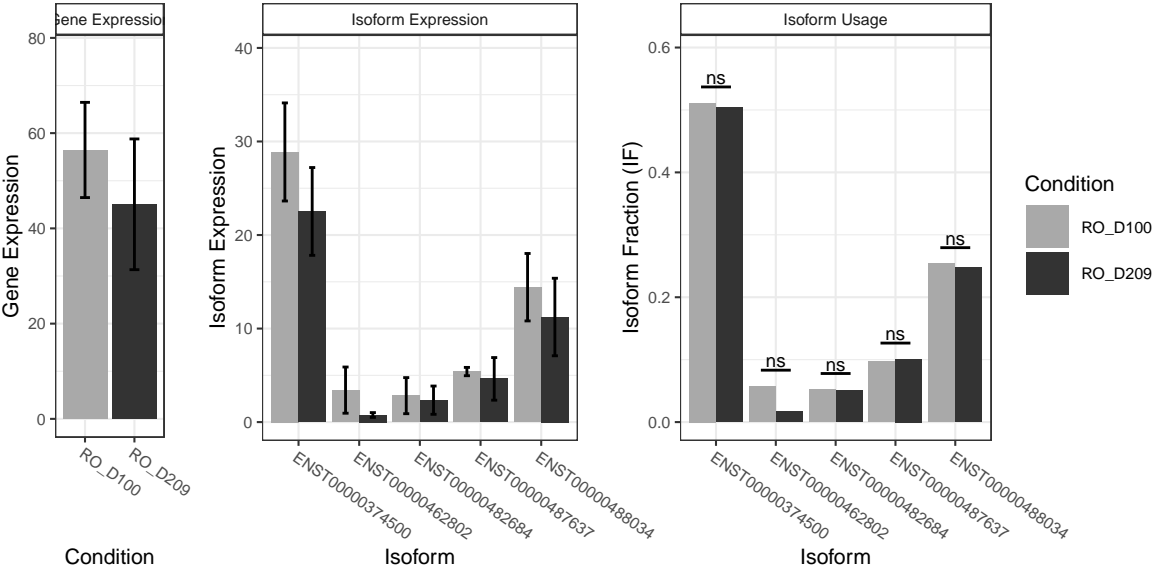
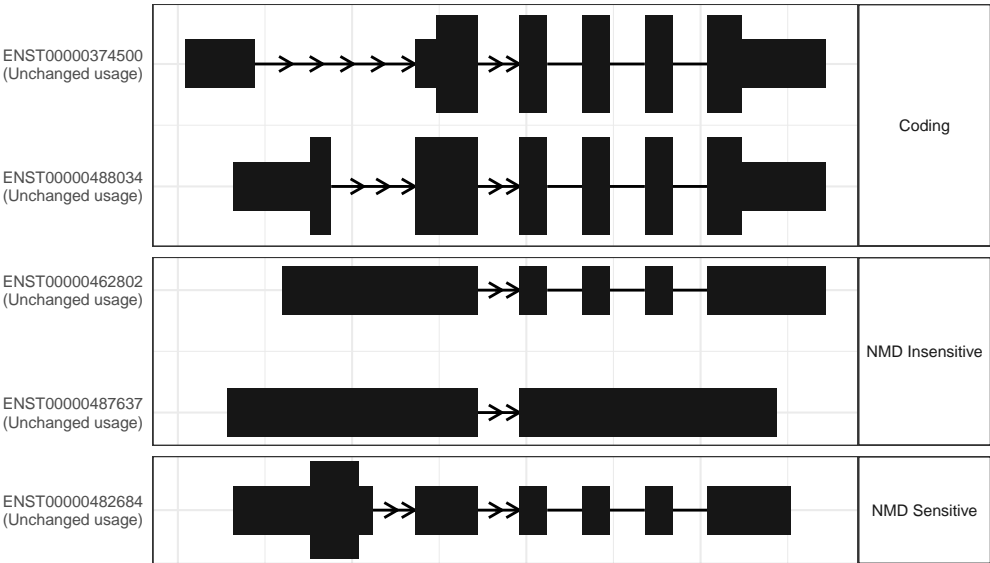
The isoform switch in EPB41L2 (RO_D100 vs RO_D209)



The isoform switch in CDH23 (RO_D100 vs RO_D209)



The isoform switch in CUTA (RO_D100 vs RO_D209)



The isoform switch in MAX (RO_D100 vs RO_D209)

